

INSTITUTUL POLITEHNIC "TRAIAN VUIA" TIMIȘOARA
FACULTATEA DE MECANICĂ

ing. Mihai Jădăneanț

CONTRIBUȚII LA STUDIUL SCHIMBULUI DE CĂLDURĂ
SI DE SUBSTANȚĂ ÎN TURNURILE DE RĂCIRE

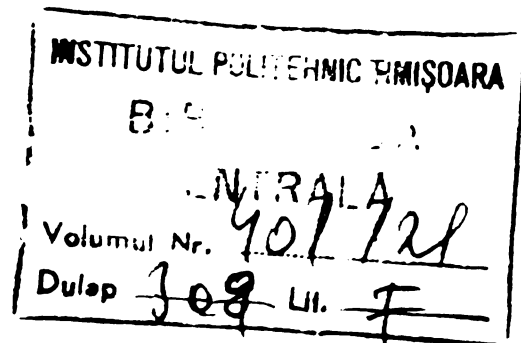
- Teză de doctorat -

Conducător științific:

Profesor dr. ing. CORNEL UNGUREANU

BIBLIOTECĂ CENTRALĂ
UNIVERSITATEA "POLITEHNICA"
TIMIȘOARA

- 1980 -



Cuprins

	pag.
1. Introducere	3
2. Schimbul de căldură și de substanță	8
2.1. Definirea coeficientului de schimb de substanță și a cifrelor de transfer	8
2.2. Definirea funcției \emptyset pentru turnuri de răcire	12
2.3. Relațiile de calcul ale schimbului de căldură și de substanță pentru curgerea în contracurent, cazul aerului nesatu- rat	14
2.4. Relațiile de calcul pentru curgerea în contracurent, cazul aerului saturat	20
2.5. Relațiile de calcul ale schimbului de căldură și de substanță pentru curge- rea în curent încrucișat, cazul aerului nesaturat	24
2.6. Relațiile de calcul pentru curgerea în curent încrucișat, cazul aerului saturat	27
3. Calculul schimbului de căldură și de sub- stanță cu ajutorul funcției \emptyset	29
3.1. Cazul curgerii în contracurent	29
3.2. Cazul curgerii în curent încrucișat	34
3.3. Considerații asupra atingerii stării de saturatie a aerului	40
4. Utilizarea teoriei funcției \emptyset în calculul practic al turnurilor de răcire în contra- current	49
4.1. Determinarea cifrelor de transfer la turn dat	49
4.2. Determinarea parametrilor apei și aerului la ieșire, în cazul proiectării turnului	54
5. Utilizarea teoriei funcției \emptyset , în calculul practic al turnurilor de răcire în curent încrucișat	54
5.1. Determinarea cifrelor de transfer la turn dat	54

5.2. Determinarea parametrilor apei și acerului la ieșire, în cazul proiec- tării turnului	60
6. Comparație cu alte metode	62
6.1. Metoda Merkel (rezolvare Spangemacher)	62
6.2. Metoda Berman	63
6.3. Metoda Helfand	66
6.4. Concluzii privind metodele de calcul	68
7. Cercetarea experimentală	71
7.1. Cercetarea experimentală pe standul pilot turn de răcire în contracurent	71
7.2. Cercetarea experimentală pe standul pilot turn de răcire în curent încrucișat	95
7.3. Cercetarea experimentală pe standul mono- placă în contracurent	102
8. Factorul Lewis $\frac{Sc_p}{\alpha}$	116
9. Concluzii	122
10. Bibliografie	127

1. Introducere

Transpunerea în viață a obiectivelor dezvoltării economico sociale a țării stabilite de cel de al XIII-lea Congres al Partidului Comunist Român este determinată în măsură hotărîtoare de corelarea nivelurilor creșterii economice a României cu resursele materiale ale țării, resurse în cadrul cărora locul central îl ocupă energia. Ca urmare, asigurarea unei baze energetice corespunzătoare necesităților țării, ca și gospodărirea cât mai ratională și economisirea în grad înalt a resurselor energetice și a combustibililor constituie probleme importante, de stringentă actualitate, privite cu înaltă responsabilitate patriotică de partidul și statul nostru.

Problematica complexă a dezvoltării și folosirii bazei energetice a țării își găsește reflectarea științifică în "Programul directivă de cercetare și dezvoltare în domeniul energiei pe perioada 1981-1990 și orientările principale pînă în anul 2000", program care are ca premisă "... necesitatea ca în viitorul deceniu România să devină independentă din punct de vedere al combustibilului și energiei" .

În tendință generală spre optimizarea și reducerea consumului specific de combustibil, "epuizarea" în sens relativ a perfecționărilor aduse extremității calde a ciclului centralelor termoelectrice a îndreptat atenția cercetătorilor spre extremitatea rece, respectiv spre turnul de răcire, neglijat în trecut atât din cauza potențialului relativ scăzut al nivelului energiei vehiculate, cât și din cauza dificultăților întîmpinate în cuprinderea matematică a fenomenelor.

Cheltuielile legate de construcția și exploatarea turnurilor de răcire, chiar dacă nu reprezintă decît 4-5% din totalul investițiiei și al exploatarii, au valori absolute tot mai mari. În același timp din cauza dezvoltării instalațiilor de climatizare și frig, vîrful de sarcină se deplasează tot mai mult spre sezonul cald, adică tocmai spre anotimpul cînd mediul oferă ciclului parametrii săi cei mai dezavantajosi.

Îmbunătățirile de randament care ar putea fi obținute prin îmbătrânirea performanțelor extremității reci a ciclului, dacă acum două decenii erau cu mult inferioare creașterilor oferite

prin perfecționarea extremității calde, din cauza dezvoltării inegale a celor două sectoare, au acuma același ordin de mărime, cu perspectiva unei creșteri mai mari a ponderii sectorului rece.

La atare dimensiuni și cu astfel de aspecte noi, etapa în care răcirea era tratată ca o anexă este depășită. A adînci cunoașterea funcționării turnurilor de răcire cere în primul rînd cercetarea tuturor comportamentelor domeniului. Din această cauză, în ultimii ani autorul a desfășurat în paralel o activitate teoretică și experimentală susținută pentru stabilirea unor metode de calcul care să se apropie cât mai mult de desfășurarea reală a proceselor și pentru găsirea unor soluții constructive noi, mai eficiente și mai economice.

Atât cercetările teoretice, cât și cele experimentale au vizat întreaga gamă a turnurilor de răcire utilizate la noi în țară, în teză tratîndu-se astfel atât aspectele legate de teoria și funcționarea turnurilor de răcire în contracurent cât și a celor cu curgere în curent încrucișat. Determinările experimentale au fost efectuate pe standul monoplacă în contracurent și pe standurile pilot turn de răcire în contracurent și turn de răcire în curent încrucișat.

Pentru ambele tipuri de turnuri de răcire s-a constatat că metodica de calcul cea mai apropiată de fenomenul real este cea bazată pe teoria funcției \emptyset , toate prelucrările experimentale efectuîndu-se cu această metodică de calcul. Experimental a fost studiată o gamă întreagă de tipuri de umpluturi, plecînd de la clasicele plăci plane din azbociment și terminînd cu rulouri din plăse de masă plastică. Pe baza determinărilor experimentale efectuate pe standul monoplacă s-au tras concluzii asupra variației factorului Lewis în decursul procesului de schimb de căldură și substanță.

Autorul ține să aducă un pios omagiu regretatului prof.em. dr.docent ing. Ioan Vlădea sub a cărui înțeleaptă îndrumare s-a format ca cercetător și deosebite mulțumiri tovarășului prof.dr. ing.Cornel Ungureanu sub a cărui competență conducere a fost elaborată teza de doctorat.

Totodată autorul aduce calde mulțumiri tovarășului conf. Jr.ing.Nicolae Oancea pentru sprijinul acordat. Recunoștința sa se adresează de asemenea tuturor colegilor din catedră care prin discuții, sugestii și colaborări sub diferite forme l-au ajutat pe tot parcursul elaborării lucrării.

Notatii utilizate

A	- m	- dimensiune liniară
a	- m^2/s	- difuzivitate termică
c	-	- coeficient; cifră de răcire (după Merkел)
B	- m	- dimensiune liniară
b	- m/m	- coeficient de evaporare
b	-	- coeficient
b_a	- m	- lățime
C	- kg/m^3	- concentrație
c	- J/kg.K	- capacitate calorică specifică
h, h_a	- m	- înălțime
i	- J/kg	- entalpie specifică
j_B	-	- factorul Colburn pentru schimb de substanță
j_W	-	- factorul Colburn pentru schimb de căldură
K_e	-	- cifră de evaporare
K_G	- $kmol.s/kg.m$	- coeficient de schimb de substanță
k	- m^2/s	- coeficient de difuziune
Le	-	- criteriul Lewis
l	- m	- lungime
M	- kg/kmol	- masa moleculară
\dot{m}	- kg/s	- debit de substanță
\dot{n}	- $kg/m^2.s$	- densitate de flux de substanță
Nu	-	- criteriul Nusselt
Nu'	-	- criteriul Nusselt de ordinul doi
Pr	-	- criteriul Prandtl
p	- N/m^2	- presiune
\dot{Q}	- W	- flux de căldură
\dot{q}	- W/m^2	- densitate de flux de căldură
R	- J/kg.K	- constanta gazului
Re	-	- criteriul Reynolds
r	- J/kg	- căldura de vaporizare
S	- m^2	- suprafața de contact apă/aer
S_c	-	- criteriul Schmidt
s	- m	- grosimea plăcilor
T	- K	- temperatură absolută
t	- $^{\circ}C$	- temperatură uscată

δ	= m	- pasul dintre plăci
V	= m^3	- volum
w	= m/s	- viteză
X, x	= kgw/kgL	- conținut de umiditate
x, y, z	-	- coordonate carteziene
α	= W/m ² K	- coeficient de convectie termică
β	= m/s	- coeficient de schimb de substanță
ρ_{xv}	= kg/m ³ .s	- coeficient volumic de schimb de substanță
σ	= m	- ecart dintre plăci; grosime
η	= N.s/m ²	- viscozitate dinamică
τ	-	- randamentul repartizării apei
η_A	-	- grad de răcire
λ	= KgL/kgw	- debit specific de aer
λ	= W/m.K	- coeficient de conductibilitate termică
ν	= m ² /s	- viscozitate cinematică
ϱ	= kg/m ³	- densitate
ζ	= kg/m ² .s	- coeficient de schimb de substanță
ζ	= °C	- temperatură umedă
φ	= %	- umiditate relativă
ψ	= %	- grad de saturatie

Indici pласатиjos

B	- după Berman
b	- barometric
F	- după Fuller
K	- după Koch
L	- aer
M	- molar
M_1, M_2	- după Merkel
m	- mediu
p	- la presiune constantă
S _h	- după Sherwood
S _p	- după Spangemacher
s	- saturatie
u	- umed
v	- vaporii; volumic
w	- apă
0	- limita de separare a fazelor
1	- intrare
2	- ieșire

Indici plasati sus

- " - densitate de flux
- ↔ - la temperatura apel
- c - relativ la căldură
- s - relativ la substanță
- t - turbulent

2. Schimbul de căldură și de substanță

2.1. Definirea coeficienților de schimb de substanță și a cifrelor de transfer

Pentru cel mai simplu mod de schimb de substanță - evaporarea-Dalton a fost primul care a scris o relație matematică, care stabilește cantitatea de vaporii formată în unitatea de timp, funcție de diferența dintre presiunea p_{so} a vaporilor formati imediat deasupra oglinzii lichidului și presiunea p_v a vaporilor aflați în gazul de deasupra lichidului la o distanță mai mare de oglindă [13] :

$$-\dot{m}_w = b(p_{so} - p_v) \cdot dS \quad [\text{kg/s}] \quad (1)$$

Deasupra oglinzii lichidului va exista totdeauna un strat limită laminar saturat cu vaporii, în care căldura se transmite prin conductivitate pură, iar substanța trece numai prin difuziune. Densitatea curentului de difuziune este după Pick:

$$\dot{n}_w = -k \cdot \frac{dc}{dy} \quad [\text{kg/m}^2 \cdot \text{s}] \quad (2)$$

Având în vedere analogia triplă dintre schimbul de impulsuri, de căldură și de substanță [19], pentru schimbul de substanță se poate scrie:

$$(w \cdot \text{grad } w) = k \cdot \nabla^2 c \quad (3)$$

sau sub forma:

$$\beta \cdot (c_0 - c) = \dot{n}_w = -k \frac{dc}{dy} \quad [\text{kg/m}^2 \cdot \text{s}] \quad (4)$$

Densitatea fluxului de substanță \dot{n}_w care trece prin suprafața de separație este proporțională cu căderea de concentrație la perete, la care concentrația c ne dă cantitatea substanței difuzate în unitatea de volum de amestec. Partea stângă a ecuației (4) definește coeficientul de schimb de substanță β .

Deci pornind de la ecuația schimbului de căldură:

$$\alpha \cdot (t_0 - t) = \dot{q} = -k \frac{dc}{dy} \quad \left[\text{W/m}^2 \right] \quad (5)$$

se poate scrie criteriul Nusselt:

$$Nu = \frac{\alpha \cdot l}{\lambda} \quad (6)$$

din ecuația (4) se poate scrie analog un alt raport adimensional,

$$Nu' = \frac{\beta \cdot l}{k} \quad (7)$$

numit și criteriul Nusselt de ordinul doi. Raportul celor două mărimi de transport și și dă criteriul Prandtl:

$$Pr = \frac{\gamma}{\alpha} \quad (8)$$

care se folosește ca parametru pentru obținerea cimpului de temperatură din cimpul de viteză. Aceeași însemnatate o are criteriul Schmidt:

$$Sc = \frac{\nu}{\alpha} \quad (9)$$

pentru cimpul de concentrații. Al treilea raport dintre cele trei mărimi de transport este α/k care se indică în literatură ca și criteriul Lewis :

$$Le = \frac{Sc}{Pr} = \frac{\alpha}{k} \quad (10)$$

Această expresie este hotărîtoare cind trebuie să se stabilească procesul de schimb de substanță dintr-un proces de schimb de căldură (sau invers), sau cind amândouă procesele se obțin în același cimp.

În schimbul de căldură și de substanță, un rol important îl joacă și factorul Lewis, definit din ecuația dezvoltată a lui Merkel [36] :

$$\lambda \cdot di_L = c_w \cdot dt_w = \frac{\dot{m}_w}{\dot{m}_w} \left[(i_s - i_L) + c_p \cdot (t_w - t_L) \left(\frac{\alpha}{C_p} - 1 \right) \right] \cdot ds \quad (11)$$

adică:

$$\text{fact. Lewis} = \frac{C_p}{\alpha} \quad (12)$$

în care c_p reprezintă capacitatea calorică specifică la presiune constantă a aerului umed;

$$c_p = c_{pL} + x \cdot c_{pv} \quad [\text{J/kg.K}] \quad (13)$$

În schimbul de căldură și cel de substanță se poate folosi de asemenea criteriul Stanton:

$$St = \frac{Nu}{Re \cdot Pr} = \frac{\alpha}{w \cdot g \cdot c_p} \quad (14)$$

și

$$St' = \frac{Nu'}{Re \cdot Sc} = \frac{\beta}{w} \quad (15)$$

Pentru reprezentarea procesului de schimb de substanță au fost întrebuită și formule empirice de interpolare în forma $Nu = f(Re)Pr^n$. Pentru exponentul n s-a găsit valoarea 1/3, fapt folosit de Colburn pentru definirea unui coeficient de schimb de căldură:

$$j_w = \frac{Nu}{Re \cdot Pr} Pr^{2/3} = St \cdot Pr^{2/3} = \frac{\alpha}{w \cdot g \cdot c_p} Pr^{2/3} \quad (16)$$

și a unui coeficient de schimb de substanță:

$$j_s = \frac{Nu'}{Re \cdot Sc} Sc^{2/3} = St' \cdot Sc^{2/3} = \frac{\beta}{w} Sc^{2/3} \quad (17)$$

Densitatea fluxului de substanță se poate exprima și cu ajutorul conținutului de umiditate x :

$$\dot{m}_w = \bar{U} \cdot (x_o - x) \quad [\text{kg/m}^2 \cdot \text{s}] \quad (18)$$

Din egalitatea relațiilor (4) și (18) și ținând cont că $C = p/R \cdot T$ se poate scrie:

$$\frac{\beta}{R \cdot T} (p_o - p) = \dot{m}_w = \bar{U} \cdot (x_o - x) \quad [\text{kg/m}^2 \cdot \text{s}] \quad (19)$$

și

$$\bar{U} = \frac{\beta}{R \cdot T} \frac{p_o - p}{x_o - x} \approx \beta \cdot \rho \quad [\text{kg/m}^2 \cdot \text{s}] \quad (20)$$

relație care stabilește legătura dintre cei doi coeficienți de schimb de substanță β și \bar{U} .

In locul coeficientului de transfer de substanță β definit prin relația (4) în literatura americană se folosește mărimea K_G definită prin relația:

$$\dot{m}_w = \frac{\beta}{R \cdot T} (p_o - p) = K_G \cdot M (p_o - p) \quad [\text{kg/m}^2 \cdot \text{s}] \quad (21)$$

și exprimată în funcție de β :

$$K_G = \frac{\beta}{R \cdot M \cdot T} \quad \left[\frac{\text{kmol} \cdot \text{s}}{\text{kg} \cdot \text{m}} \right] \quad (22)$$

Introducind în relația (11) simplificarea propusă de Lewis

$\frac{G \cdot c_p}{L} = 1$ și acceptată în foarte multe cazuri, aceasta se reduce la forma bine cunoscutăi ecuații fundamentale a lui Merkel:

$$\frac{\dot{G} \cdot dS}{\dot{M}_w} = \frac{c_w \cdot dt_w}{i_s - i_L} = \frac{\lambda \cdot di}{i_s - i_L} \quad (23)$$

care prin integrare definește cifra de evaporare K_e (criteriul Merkel):

$$K_e = \frac{\dot{G} \cdot S}{\dot{M}_w} \quad (24)$$

Cum adesea nu se poate aprecia corect suprafața de contact apă/aer din turnurile de răcire, s-a introdus un coeficient volumic de schimb de substanță, definit prin relația:

$$\beta_{xv} = \frac{\dot{G} \cdot S}{V} \quad [kg/m^3 \cdot s] \quad (25)$$

cu ajutorul căruia relația (24) devine:

$$K_e = \frac{\beta_{xv} \cdot V}{\dot{M}_w} \quad (26)$$

Utilizând debitul de aer în locul debitului de apă în relația (24) se obține o altă "cifră de evaporare":

$$K_e^+ = \frac{\dot{G} \cdot S}{\dot{M}_L} \quad (27)$$

Tot în literatura americană se folosește o expresie asemănătoare cifrei de evaporare [37] și anume:

$$N.T.U = \frac{K_G \cdot S \cdot Z}{\dot{M}_w} \quad (28)$$

notăția reprezentând inițialele expresiei: Number of Transfer Units. Legat de această expresie mai avem și:

$$H.T.U = \frac{\dot{M}_w \cdot c_p \cdot V}{K_G \cdot S} \quad (29)$$

care înseamnă Height of a Transfer Unit. Într-un turn de răcire, H.T.U reprezintă înălțimea unei umpluturi de același tip cu umplutura reală, necesară pentru a produce același efect ca și o suprafață teoretică la care cele două fluide la ieșire sunt în echilibru între ele.

Scrise pe partea aerului, aceste expresii devin:

$$N.A.T.U = \frac{K_G \cdot S \cdot Z}{\dot{M}_L} ; H.A.T.U = \frac{\dot{M}_L \cdot c_p \cdot V}{K_G \cdot S} \quad (30)$$

2.2. Definirea funcției ϕ pentru turnuri de răcire

In tehnica schimbătoarelor de căldură este deja bine introdusă funcția ϕ , cît și pusă la punct utilizarea ei [43], [44]. La modul cel mai general, expresia matematică a funcției ϕ este:

$$\phi = \frac{\frac{t_1^{\text{cald}} - t_2^{\text{cald}}}{t_1^{\text{cald}} - t_1^{\text{rece}}}}{t_1^{\text{cald}} - t_1^{\text{rece}}} \quad (31)$$

Indiferent ce tipui turnului de răcire - contracurent sau curent încrucișat - se poate defini pentru acest caz funcția ϕ prin relația:

$$\phi = \frac{i_{L2} - i_{L1}}{i_s(t_{wl}) - i_{L1}} = \frac{i_{L2} - i_{L1}}{i_{s1}^+ - i_{L1}} \quad (32)$$

Care reprezintă raportul dintre preluarea reală de căldură de către aer și preluarea maxim posibilă pentru condițiile date. Prin entalpia $i_s(t_{wl})$ se înțelege entalpia la saturatie a aerului la temperatura t_{wl} de intrare a apei în turn. Pentru simplificarea scrierii, se va utiliza pentru această mărime notația i_{s1}^+ .

Pentru a se putea integra relațiile matematice dificile care descriu funcționarea turnurilor de răcire, s-a presupus în primă ipoteză, liniaritatea curbei de saturatie, sub forma:

$$i_{s1}^+ = a + b \cdot t_w \quad (33)$$

Utilizând relația (33) cît și ecuația de bilanț termic a turnului de răcire:

$$dQ = \dot{M}_L \cdot di = \dot{M}_w \cdot c_w \cdot dt_w \quad (34)$$

se poate modifica relația (32) definind funcția ϕ cu relația:

$$\phi = \frac{i_{L2} - i_{L1}}{i_{s1}^+ - i_{L1}} = \frac{\dot{M}_w \cdot c_w \cdot \Delta t_w}{\dot{M}_L \cdot (i_{s1}^+ - i_{L1})} = \frac{c_w \cdot \Delta t_w}{(i_{s1}^+ - i_{L1})} \quad (35)$$

Dacă considerăm $i_s^+ = a + b \cdot t_w$, se poate scrie și $di_s^+ = b \cdot dt_w$, deci relația (34) devine:

$$d\dot{Q} = \dot{M}_w \cdot c_w \cdot dt_w = \dot{M}_w \frac{c_w}{b} di_s^+ \quad (36)$$

ceea ce conduce la modificarea expresiei (35) sub forma:

$$\frac{i_{s1}^+ - i_{s2}^+}{i_{s1}^+ - i_{L1}} = \frac{b \cdot \lambda}{c_w} \varphi \quad (37)$$

Scăzând cifra 1 în ambele părți ale relației (32) se obține:

$$\frac{i_{s1}^+ - i_{L2}}{i_{s1}^+ - i_{L1}} = 1 - \varphi \quad (38)$$

Scăzând cifra 1 în ambele părți ale relației (37) se obține:

$$\frac{i_{s2}^+ - i_{L1}}{i_{s1}^+ - i_{L1}} = 1 - \frac{b \cdot \lambda}{c_w} \varphi \quad (39)$$

Scăzând relația (37) din (38) se obține:

$$\frac{i_{s2}^+ - i_{L2}}{i_{s1}^+ - i_{L1}} = 1 - (1 + \frac{b \cdot \lambda}{c_w}) \cdot \varphi \quad (40)$$

In tratarea schimbătoarelor de căldură cu ajutorul funcției φ s-a introdus și noțiunea de simetrie, putîndu-se considera după voie unul sau celălalt fluid care participă la schimbul energetic ca fluid principal, rezultatul fiind același. Noțiunea de simetrie este valabilă și în cazul turnurilor de răcire. Relațiile (31) ... (40) au fost scrise toate prin considerarea aerului ca fluid principal. Considerind apă ca fluid principal se poate scrie o nouă expresie pentru funcția φ :

$$\varphi_w = \frac{i_{s1}^+ - i_{s2}^+}{i_{s1}^+ - i_{L1}} \quad (41)$$

care reprezintă raportul dintre cedarea reală de căldură de către apă și cedarea maxim posibilă de căldură. Legătura dintre cele două expresii este dată de relația:

$$\phi = \frac{c_w}{b \cdot \lambda} \phi_w \quad (42)$$

2.3. Relațiile de calcul ale schimbului de căldură și de substanță pentru curgerea în contracurent, cazul aerului nesaturat

Pentru stabilirea relațiilor matematice, se va considera modelul simplificat al unui canal limitat de două plăci plane verticale, apă prelungindu-se doar pe una din ele, iar aerul trecând în contracurent prin acest canal (fig.1).

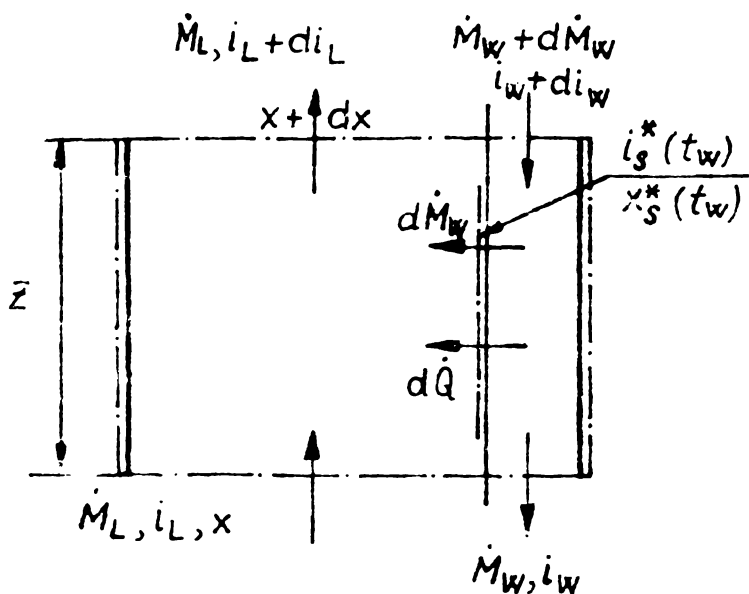


Fig.1. Modelul de calcul

In consecință, conținutul de umiditate al aerului la zona de separație va fi:

$$x_0 = x_s(t_w);$$

- se neglijă variația cu temperatura a capacitaților calorice specifice;
- suprafețele de schimb de căldură și de substanță sunt egale ca mărime.

Entalpia aerului umed se va calcula cu relația cunoscută:

$$i_L(l+x) = c_{pL} \cdot t_L + x(c_{pv} \cdot t_L + r) \quad (43)$$

In cazul în care aerul este saturat cu vaporii de apă, relația se va scrie sub forma:

$$i_{Ls}(t_L) = c_{pL} \cdot t_L + x_s(c_{pv} \cdot t_L + r) = i_{Ls} \quad (44)$$

Un caz particular îl reprezintă acela al saturării aerului la temperatura apelui t_w :

$$i_{Ls}(t_w) = i_s^+ = c_{pL} \cdot t_w + x_s(c_{pv} \cdot t_w + r) \quad (45)$$

Entalpia apelui va fi:

$$i_w = c_w \cdot t_w \quad (46)$$

Bilanțul energetic pentru o secțiune carecăre în modelul considerat va fi:

$$\dot{M}_L \cdot d_i_L - \dot{M}_w \cdot d_i_w - i_w \cdot d\dot{M}_w = 0 \quad (47)$$

iar bilanțul masic:

$$\dot{M}_L \cdot dx - d\dot{M}_w = 0 \quad (48)$$

Normal, bilanțul se scrie chiar pentru zona de separație, astfel încât creșterea de entalpie a aerului va fi:

$$\dot{M}_L \cdot d_i_L = i_v \cdot d\dot{M}_w + dQ \quad (49)$$

unde aportul convectiv de căldură este:

$$dQ = \alpha \cdot (t_w - t_L) \cdot ds \quad (50)$$

In diagrama $i-x$, fig.2, este arătată desfășurarea schim-

bării stării aerului, cît și a stratului limită al apelui în procesul de răcire. Considerindu-se cazul aerului nesaturat la ieșirea din turn, de stare t_{L2}, x_2 , el se mai găsește în schimb de căldură și de măsă cu apa care are starea din stratul de separație t_{w1} .

Același proces se poate reprezenta și în diagrama $i-t$, fig.3.

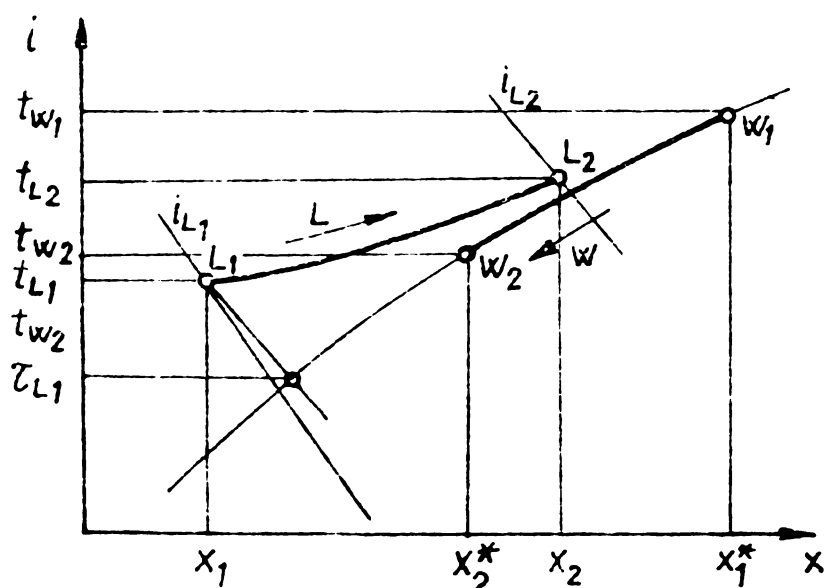


Fig.2. Variatia stării aerului și a stratului limită al apelui în procesul de răcire.

Aici variația stării aerului este dată de dreapta L_1L_2 , a stratului limită al apelui de curba W_1W_2 . În plus, este reprezentată și așa numita dreaptă de lucru a turnului de răcire (C_1C_2), definită prin relația (58).

Utilizând și relația (18), se poate scrie creșterea de entalpie a aerului:

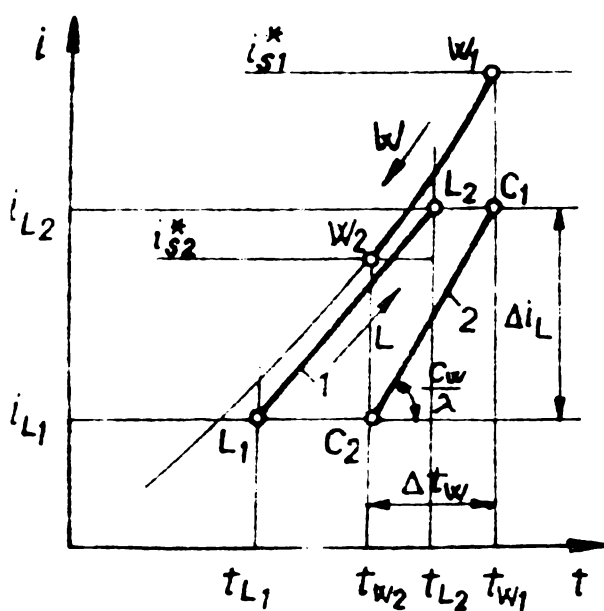


Fig.3. Variatia stării aerului și apei în procesul de răcire.

$$\dot{M}_L \cdot di_L = [\alpha \cdot (t_w - t_L) + \bar{J} \cdot (x_s - x)(c_{pv} \cdot t_w + r)] \cdot dS \quad (51)$$

Din această relație se pot elimina temperaturile apei și aerului, utilizând relațiile (13), (44) și (45), sub forma:

$$t_L = \frac{i_L - x \cdot r}{c_{pL} + x_s c_{pv}} ;$$

$$t_w = \frac{i_s^+ - x_s r}{c_{pL} + x_s c_{pv}} \quad (52)$$

$$\begin{aligned} \dot{M}_L \cdot di_L = & \left[\alpha \cdot \left(\frac{i_s^+ - x_s r}{c_{pL} + x_s c_{pv}} - \frac{i_L - x \cdot r}{c_{pL} + x \cdot c_{pv}} \right) + \right. \\ & \left. + \bar{J} \cdot (x_s - x)(c_{pv} \cdot t_w + r) \right] \cdot dS \end{aligned} \quad (53)$$

și după transformări obținând relația:

$$\begin{aligned} \dot{M}_L \cdot di_L = & \bar{J} \cdot dS \left[(i_s^+ - i_L) + \left(\frac{\alpha}{\bar{J} \cdot c_p} - 1 \right) (i_s^+ - i_L) - \right. \\ & \left. - (x_s - x)(c_{pv} \cdot t_w + r) \right] \end{aligned} \quad (54)$$

Imediat, cu ajutorul relației (47) se va obține și:

$$\begin{aligned} \dot{M}_w \cdot di_w = & \bar{J} \cdot \left[(i_s^+ - i_L) + \left(\frac{\alpha}{\bar{J} \cdot c_p} - 1 \right) (i_s^+ - i_L) - (x_s - x)(c_{pv} \cdot t_w + r) - \right. \\ & \left. - (x_s - x) \cdot c_w \cdot t_w \right] \end{aligned} \quad (55)$$

Relațiile (13), (54) și (55) reprezintă un sistem de ecuații diferențiale obișnuite de ordinul întâi și descriu variația mărimilor i_L , x și t_w în dependență de suprafața de contact apă/aer, S . Acest sistem, datorită nelinearității, nu se poate rezolva imediat. Pentru integrarea numerică se alege deobicei drept variabilă independentă variația monotonă a temperaturii

apei. Astfel, din ecuațiile (48), (13) și (55) rezultă:

$$\frac{dx}{dt_w} = c_w \frac{\dot{M}_w}{\dot{M}_L} \left[\frac{x_s - x}{i_s^+ - i_L + (\frac{\alpha}{f \cdot c_p} - 1)(i_s^+ - i_L - (c_{pv} t_w + r)) - (x_s - x)c_w t_w} \right] \quad (56)$$

iar din relațiile (54) și (55):

$$\frac{di_L}{dt_w} = c_w \frac{\dot{M}_w}{\dot{M}_L} \left[1 + \frac{(x_s - x)c_w t_w}{i_s^+ - i_L + (\frac{\alpha}{f \cdot c_p} - 1)(i_s^+ - i_L - (x_s - x)(c_{pv} t_w + r)) - (x_s - x)c_w t_w} \right] \quad (57)$$

Dacă în relațiile (54)...(57) se introduce simplificarea admisă de Lewis și anume $\frac{f \cdot c_p}{\alpha} = 1$, precum și aproximarea $(x_s - x)c_w t_w \ll i_s^+ - i_L$, se obține de fapt ecuația fundamentală a lui Merkel:

$$\dot{M}_L \cdot di_L = \dot{M}_w \cdot di_w = f \cdot (i_s^+ - i_L) \cdot dS \quad (58)$$

Exceptând ipoteza lui Lewis, săt de subliniat celelalte două simplificări, și anume:

- neglijarea aportului de căldură sensibilă al vaporilor la creșterea entalpiei aerului;
- neglijarea căldurii cedate aerului de vaporii care se condensează în partea superioară a turnului.

Toți cercetătorii, începând cu Merkel însuși, săt de acord că aceste simplificări duc la o denaturare a rezultatelor, care este cu atât mai mare, cu cât ne apropiem de echilibrul termodynamic. Denaturarea se face în sensul obținerii unor cifre de evaporație pe mai mici, deci implicit necesarul unor suprafete mai mici de contact apă/aer.

Cea mai importantă simplificare care trebuie revizuită este cea a ipotezei lui Lewis : $Le = 1$. Merkel [36], a propus următoarea relație:

$$\frac{\alpha}{f \cdot c_p} = \frac{t_{L2} - t_{L1}}{t_{wm} - t_{Lm}} \cdot \frac{x_{sm}^+ - x_{Lm}}{x_2 - x_1} \quad (59)$$

iar Colburn relația:

$$\frac{\alpha}{f \cdot c_p} = \left(\frac{Sc}{Pr} \right)^{2/3} = Le^{2/3} \quad (60)$$

401/21
300 F

London, Mason și Boelter [34], au propus relația de legătură:

$$\frac{\alpha}{\bar{U} \cdot c_p} = \frac{\frac{t_{L2} - t_{L1}}{(t_{w2} - t_{L1}) - (t_{wl} - t_{L2})}}{\frac{x_2 - x_1}{(x_{s2}^+ - x_1) - (x_{s1}^+ - x_2)}} \cdot \frac{\ln \frac{t_{w2} - t_{L1}}{t_{wl} - t_{L2}}}{\ln \frac{x_{s2}^+ - x_1}{x_{s1}^+ - x_2}} \quad (61)$$

În fine, Poppe [45], pe baza rezultatelor lui Schlünder propune ca și relație:

$$\frac{\alpha}{\bar{U} \cdot c_p} = Le^{2/3} \cdot \frac{\exp(\varphi_x^2)(1 + \operatorname{erf}(\varphi_x))}{\exp(\varphi_x^2/Le)(1 + \operatorname{erf}(\varphi_x/\sqrt{Le}))} \quad (62)$$

Dar nici una din relațiile amintite nu are pretenția de a fi exactă și de a descrie întocmai fenomenul real. Valorile exacte ale lui α și \bar{U} se pot determina doar la măsurători precise ale stării aerului la ieșire și apoi prin închiderea bilanțului energetic.

De asemenea, starea aerului trebuie să se afle și la ieșirea din turn în domeniul nesaturat, căci variația stării aerului și prin aceasta factorul Lewis nu mai poate fi definit univoc cind starea aerului la ieșire se află pe linia de saturatie.

Cu toate acestea, părerea unanimă pînă în prezent, este aceea a plasării valorii factorului Lewis între 0,95 și 1,1. Aceasta și pe baza cercetărilor fundamentale (citîndu-l pe Bosnjaković [8]), cît și a celor experimentale, ca de exemplu a lui Thomas și Houston [51].

În figura 4 este trasa variația factorului Lewis în funcție de gradul de saturatie ψ , cu x_o^+ ca parametru (aici gradul de saturatie este definit ca $\psi = x/x_o^+$), pentru o evaporare izotermă; iar în figura 5 este trasa variația factorului Lewis pentru o evaporare adiabatică. Amîndouă diagramele au fost trase după [19] pentru o valoare a cifrei Lewis: $Le = 0,865$.

În literatura sovietică, Helfand [22] propune următorul sistem de ecuații pentru cazul discutat:

$$\begin{aligned} \frac{\partial \dot{M}_w}{\partial z} &= b \cdot (p_s^+ - p) \\ \frac{\partial t_w}{\partial z} &= \frac{1}{m_w \cdot c_w} [\alpha(t_w - t_L) + b \cdot r \cdot (p_s^+ - p)] \end{aligned} \quad (63)$$

$$\frac{\partial i_L}{\partial z} = \frac{c_w}{m_L} \left(\dot{m}_w \frac{\partial t_w}{\partial z} + t_w \frac{\partial \dot{M}_w}{\partial z} \right)$$

$$\frac{\partial p}{\partial z} = - \frac{1}{m_L} b \frac{(p_b - p)^2}{0.622 \cdot p_b} (p_s^+ - p)$$

care, transcrise în funcție de conținutul de umiditate se prezintă sub forma:

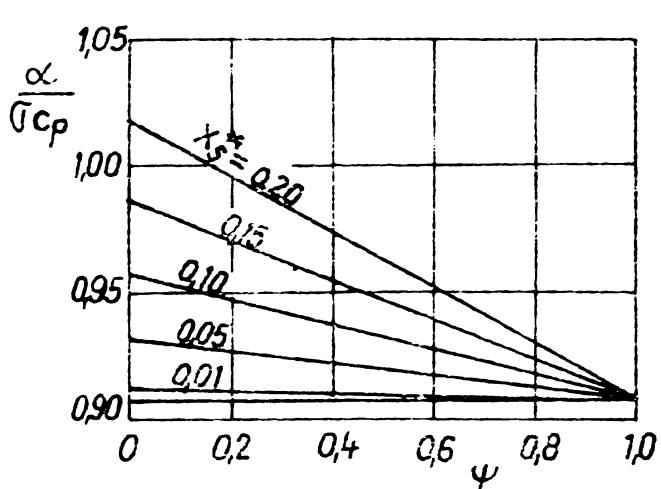


Fig.4. Variatia factorului Lewis pentru evaporare izotermă

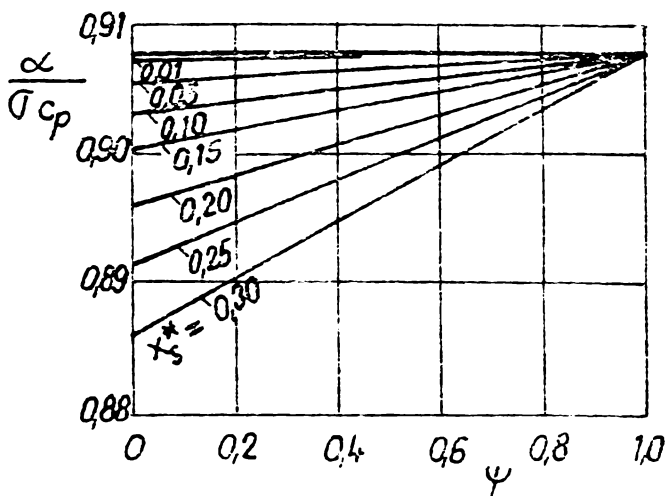


Fig.5. Variatia factorului Lewis pentru evaporare adiabatică

$$\frac{\partial \dot{M}_w}{\partial z} = \bar{U} \cdot (x_s^+ - x)$$

$$\frac{\partial t_w}{\partial z} = \frac{1}{\dot{m}_w \cdot c_w} [\alpha \cdot (t_w - t_L) + \bar{U} \cdot r \cdot (x_s^+ - x)] \quad (64)$$

$$\frac{\partial t_L}{\partial z} = \frac{c_w}{c_p \cdot \dot{m}_L} \left[\dot{m}_w \frac{\partial t_w}{\partial z} + \frac{1}{c_w} (t_w c_w - r - c_w \cdot t_L) \frac{\partial \dot{M}_w}{\partial z} \right]$$

$$\frac{\partial x}{\partial z} = \frac{1}{\dot{m}_L} \frac{\partial \dot{M}_w}{\partial z}$$

Aceste relații, se observă că sunt similare celor scrise deja mai sus. Berman [6], pleacă de la aceleasi ecuații de bază (47), (48) și (49), propunând o formulă de calcul a diferenței medii logaritmice de entalpie (v. § 6.2). Având aceleasi relații de pornire, Spangemacher [47], [48] calculează valoarea cișnerei de evaporare K_e tot pe baza unei diferențe medii logaritmice de entalpii, introducind și un factor de corecție pentru

micșorarea efectului simplificărilor acceptate în calcul.

2.4. Relațiile de calcul pentru curgerea în contracurent, cazul aerului saturat

In unele cazuri se observă o suprapunere a temperaturii aerului uscat și umed la ieșire, astfel că starea aerului se găsește în domeniul suprasaturat (fig.6). In aceste cazuri, trebuie

ca variația stării aerului să intersecteze într-un anumit punct, aflat în interiorul turnului de răcire, curba de saturatie.

Koch [32] susținea că variația stării aerului după atingerea stării de saturatie va urmări linia de saturatie. Dacă temperatura aerului crește prin transfer convectiv de căldură în măsură mai mică decât presiunea parțială cresătoare a vaporilor de apă corepunzătoare temperaturii de saturatie, atunci aerul va fi suprasaturat, iar vaporii formați prin evaporare vor ceda căldură aerului și se vor condensa, cu formarea de ceată.

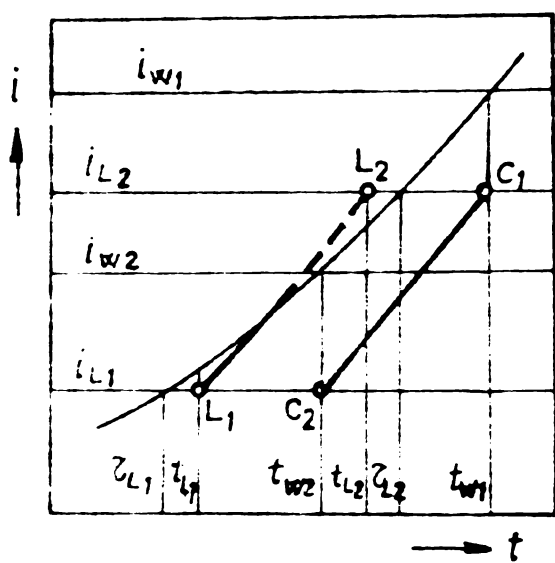
Fig.6. Variația stării aerului în turnul de răcire, în domeniul suprasaturat.

lui și se vor condensa, cu formarea de ceată.

Thomas și Houston [51] sunt mai puțin categorici în afirmațiile lor, arătând că din momentul în care starea aerului a atins curba de saturatie, variația ulterioară a stării sale poate fie să urmărească curba de saturatie, fie să se continue în zona suprasaturată. In general este greu de stabilit care caz se stabileste în turnul de răcire, datorită influențelor străine care pot conduce la concluzii eronate.

Mehlig [35] pe baza triplei analogii arată că variația stării aerului într-o diagramă x-t va reprezenta o linie dreaptă, având două variante (fig.7a și 7b): - aerul din centrul curentului este nesaturat, el atingând la un moment dat curba de saturatie; - aerul din centrul curentului este saturat, în tot domeniul curgerii având suprasaturatie.

In continuare, el consideră că dacă între stratul limită și axa curentului mai există o cădere de presiuni parțiale, aceste straturi apropriate de pereti la temperatură constantă nu vor



mai putea prelua vaporii de apă. O preluare ulterioră de către

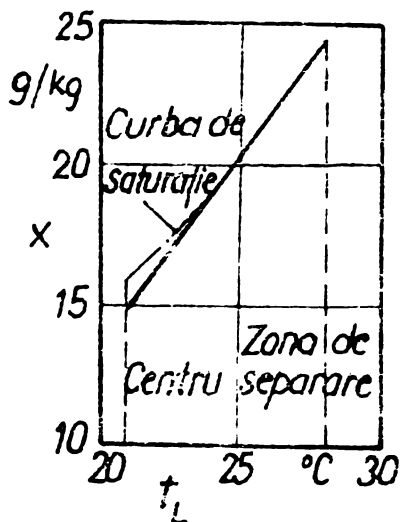


Fig. 7a. Variatia stării aerului dacă centrul curentului este ne-saturat.

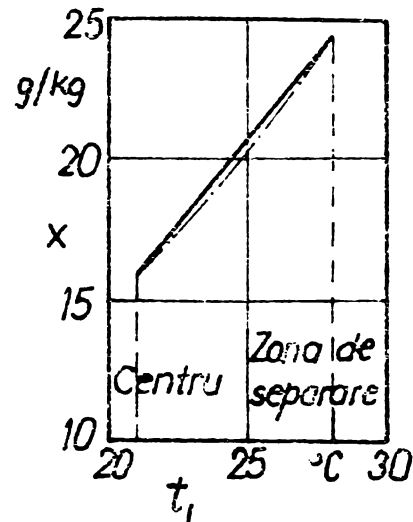


Fig. 7b. Variatia stării aerului dacă centrul curentului este saturat.

aer a vaporilor de apă se poate realiza doar în condițiile cind temperatura aerului crește printr-un transport convectiv de căldură. Înseamnă că linia de variație a stării aerului va urma în cursul ei următor curba de saturatie, iar transferul ulterior de substanță este dependent doar de variația temperaturii aerului.

Urmărirea curbei de saturatie după atingerea stării de saturatie presupune o variație bruscă, deci după Poppe [45], trecerea la o stare fizică deosebită, pe care o exclude de la bun început. În continuare el ajunge la concluzia că factorul Lewis $\frac{\alpha}{\Gamma c_p} = 1$ pentru variația stării aerului în domeniul saturat și la relația

$$x_{so} - x = \frac{\alpha}{\Gamma c_p} (x_{sc} - x_s) \quad (65)$$

Pe baza acestei relații arată că saturarea aerului este posibilă doar în cazul în care $\alpha/\Gamma c_p < 1$, pentru că în cazul $\alpha/\Gamma c_p > 1$, schimbul energetic este mai mare, deci și creșterea de temperatură, față de saturarea lui cu apă.

Mai simplu, Helfand [22] nu-și mai pune problema mecanismului stării de saturatie sau chiar suprasaturație, admitînd doar posibilitatea aceasta și apoi a condensării excesului de umiditate. Prin condensarea excesului de umiditate din aer presupune

că entalpia aerului va diminua cu conținutul de căldură al condensului la temperatura aerului t_L .

Aceste ipoteze sunt valabile atât timp cât este vorba de un canal de dimensiuni relativ mari, la care se pot accepta noțiunile de centru al curgerii și strat limită în zona de separație. Pentru cazul concret al turnurilor de răcire în contracurent, cu prelungere, cu un ecart între plăci de 8 + 19 mm și o grosime a peliculei de ~ 1 mm, la care scurgerea are un caracter turbulent, este dificil de acceptat ideea unei suprasaturări a aerului datorită unui gradient al conținutului de umiditate în aer.

In ceea ce privește relațiile matematice, majoritatea cercetătorilor sunt de acord să negligeze condensul în bilanțul masic și deci să pornească de la relațiile scrise anterior (47)...(50), cu modificarea că entalpia aerului va fi acum:

$$i_L = [c_{pL} + c_{pv} \cdot x_s + c_w (x - x_s)] \cdot t_L + x_s \cdot r \quad [J/kg] \quad (66)$$

și

$$i_L^+ = [c_{pL} + c_{pv} \cdot x_s^+ + c_w (x - x_s^+)] \cdot t_w + x_s^+ \cdot r \quad [J/kg] \quad (67)$$

iar capacitatea calorică specifică a aerului umed:

$$c_{ps} = c_{pL} + c_{pv} \cdot x_s + c_w (x - x_s) \quad [J/kg.K] \quad (68)$$

In locul ecuațiilor (54) și (55) se obține acum:

$$\begin{aligned} \dot{M}_L \cdot di_L &= \bar{G} \cdot \left[i_{Ls}^+ - i_L + \left(\frac{\alpha}{\bar{G} c_p} - 1 \right) (i_{Ls}^+ - i_L - (x_s^+ - x)(r + c_{pv} \cdot t_w)) - \right. \\ &\quad \left. - \frac{\alpha}{\bar{G} c_p} (x - x_s^+) (r - (c_w - c_{pv}) t_w) \right] \cdot ds \end{aligned} \quad (69)$$

și

$$\begin{aligned} \dot{M}_w \cdot di_w &= \bar{G} \cdot \left[i_{Ls}^+ - i_L + \left(\frac{\alpha}{\bar{G} c_p} - 1 \right) (i_{Ls}^+ - i_L - (x_s^+ - x)(c_{pv} \cdot t_w + r)) - \right. \\ &\quad \left. - (x_s^+ - x)c_w t_w - \frac{\alpha}{\bar{G} c_p} (x - x_s^+) (r - (c_w - c_{pv}) t_w) \right] ds \end{aligned} \quad (70)$$

ultimul termen din aceste două relații reprezentând influența formării căii. Analog cu cazul nematurat se poate obține în continuare:

$$\frac{dx}{dt_w} = c_w \frac{\dot{M}_w}{\dot{M}_L} \frac{x_s^+ - x}{x_s^+ - x} \quad (71)$$

$$\text{și } \frac{di_L}{dt_w} = c_w \frac{\dot{M}_w}{\dot{M}_L} \left(1 + \frac{(x_s^+ - x) c_w t_w}{B_1} \right) \quad (72)$$

cu prescurtarea:

$$B_1 = \left[i_{Ls}^+ - i_L + \left(\frac{\alpha}{G \cdot c_p} - 1 \right) (i_{Ls}^+ - i_L - (x_s^+ - x)(r + c_{pv} t_w)) - (x_s^+ - x) c_w t_w - \frac{\alpha}{G \cdot c_p} (x - x_s)(r - (c_w - c_{pv}) t_w) \right] \quad (73)$$

și în final:

$$\frac{dx}{dt_w} = c_w \frac{\dot{M}_w}{\dot{M}_L} \frac{x_s^+ - x}{B_2} \quad (74)$$

$$\text{și } \frac{dt_L}{dt_w} = c_w \frac{\dot{M}_w}{\dot{M}_L} \frac{t_w - t_L}{B_2} \frac{B_3}{B_4} \quad (75)$$

cu prescurtările:

$$B_2 = \frac{\alpha}{G \cdot c_p} (t_w - t_L) c_p + (r - (c_w - c_{pv}) t_w) (x_s^+ - x) \quad (76)$$

$$B_3 = \frac{\alpha}{G \cdot c_p} + \frac{r - (c_w - c_{pv}) t_L}{t_w - t_L} + c_{pv} \frac{x_s^+ - x}{c_p} \quad (77)$$

$$B_4 = 1 + \frac{r - (c_w - c_{pv}) t_L}{c_p} \frac{dx_s}{dt_L} \quad (78)$$

Helfand [22] obține pentru aceleasi ipoteze relațiile:

$$\frac{\partial \dot{M}_w}{\partial z} = \frac{1}{\beta_w} b(p_s^+ - p_s) \quad (79)$$

$$\frac{\partial t_w}{\partial z} = \frac{1}{m_w \cdot \beta_w \cdot c_w} \left[\alpha(t_w - t_L) + b \cdot r(p_s^+ - p_s) \right] \quad (80)$$

$$\frac{\partial i_L}{\partial z} = \frac{c_w \cdot \beta_w}{\beta_{Lw}^2 \left[1 - c_w t_L \frac{0,622 \cdot p_b}{(p_b - p_s)^2} \frac{dp_s}{di_L} \right]} \cdot \left[m_w \frac{\partial t_w}{\partial z} + (t_w - t_L) \frac{\partial \dot{M}_w}{\partial z} \right] \quad (81)$$

care transcrise pentru conținutul de umiditate x devin:

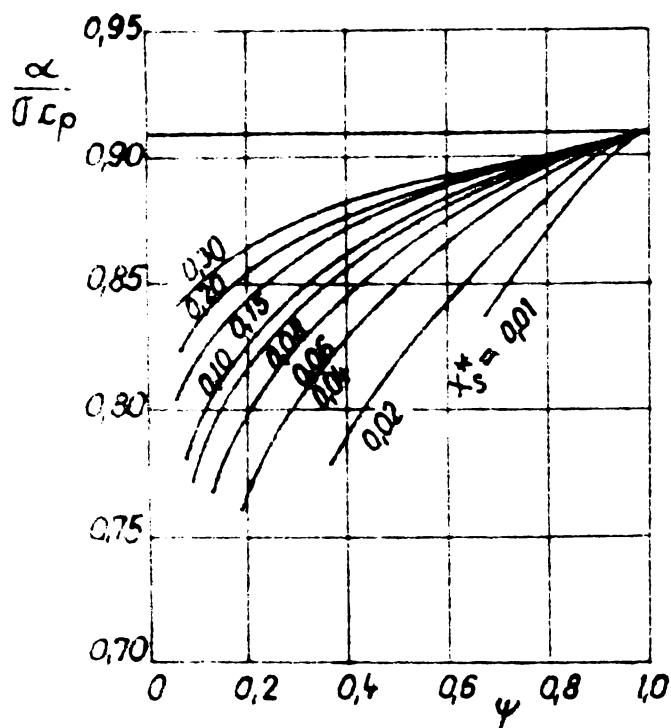
$$\frac{\partial \dot{M}_w}{\partial z} = - \frac{G}{\rho_w} (x_s^+ - x) \quad (82)$$

$$\frac{\partial t_w}{\partial z} = \frac{1}{m_w \cdot \rho_w \cdot c_w} [\alpha \cdot (t_w - t_L) + r \cdot x \cdot (x_s^+ - x_s)] \quad (83)$$

$$\frac{\partial t_L}{\partial z} = \frac{c_w \cdot \rho_w}{\rho_{Lw} [c_p + r \frac{\partial x_s}{\partial t_L}]} \cdot \left[m_w \frac{\partial t_w}{\partial z} + (t_w - t_L) \frac{\partial \dot{M}_w}{\partial z} \right] \quad (84)$$

și în acest caz se fac supozitii asupra valorii factorului Lewis, amintind doar o relație scrisă de Poppe [45] :

$$\frac{\alpha}{r \cdot c_p} = L_e^{2/3} \frac{(x_o - x)(r + c_p/f(T))_{\text{perete}}}{\zeta_o - \zeta} \quad (85)$$



unde: $\zeta = c_p \cdot T + r \cdot x$.

In figura 8 este trăsată variația factorului Lewis în funcție de gradul de saturare ψ , cu x_s^+ ca parametru.

Fig.8. Variația factorului Lewis pentru aer saturat.

2.5. Relațiile de calcul ale schimbului de căldură și de substanță, pentru curgerea în curent încrucisat, cazul aerului nesaturat.

Dacă pînă-n prezent s-au ocupat relativ mulți cercetători de problematica turnurilor de răcire în contracurent, turnurile de răcire în curent încrucisat sunt puțin abordate, literatura fiind foarte săracă ([31], [12], [15], [54], [22], [45] ...). Punerea problemei este asemănătoare cu cazul contracurrentului, cu modi-

ficările ce intervin prin natura însăși a acestui tip construc-
tiv de turn de răcire. Pentru scrierea ecuațiilor schimbului
de căldură și de substanță, se pleacă de la un model simplifi- .

cat, figura 9.

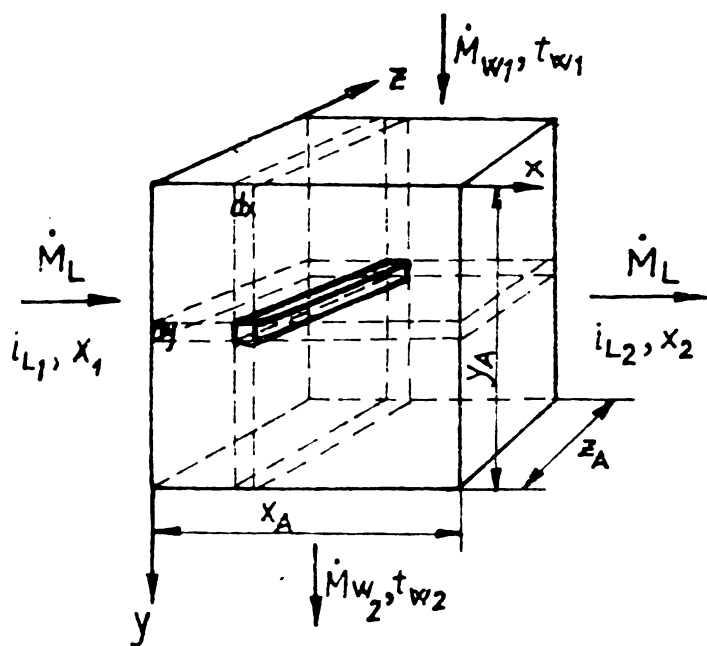


Fig.9. Modelul unui turn de răci-
re în curent încrucișat.

Se consideră că di-
mensiunea z a modelului nu
influențează calculele,
atât timp cât densitățile
fluxurilor de apă și de aer
rămân constante:

$$\dot{m}_L = \frac{\dot{M}_L}{y_A \cdot z_A} \quad (86)$$

$$\dot{m}_w = \frac{\dot{M}_w}{x_A \cdot z_A} \quad (87)$$

Bilanțul masic pen-
tru volumul elementar $dV =$
 $= dx \cdot dy \cdot dz$ va fi :

$$\dot{m}_L \cdot \frac{\partial X}{\partial x} \cdot dx \cdot dy \cdot z_A + \frac{\partial \dot{m}_w}{\partial y} \cdot dx \cdot dy \cdot dz_A = 0 \quad (88)$$

Cantitatea de apă evaporată este preluată de aer:

$$\frac{\partial \dot{m}_w}{\partial y} \cdot dx \cdot dy \cdot z_A - \beta_{xv} \cdot (x_s^+ - x) \cdot dx \cdot dy \cdot z_A = 0 \quad (89)$$

Pentru o creștere a entalpiei aerului :

$$\dot{m}_L \cdot \frac{\partial i_L}{\partial x} \cdot dx \cdot dy \cdot z_A = \frac{\alpha \cdot S}{V} \cdot [(t_w - t_L) + \beta_{xv} (x_s^+ - x) i_v] \cdot dx \cdot dy \cdot z_A \quad (90)$$

se poate scrie bilanțul energetic al volumului dV :

$$\dot{m}_L \frac{\partial i_L}{\partial x} \cdot dx \cdot dy \cdot z_A + \dot{m}_w \frac{\partial i_w}{\partial y} \cdot dx \cdot dy \cdot z_A + i_w \frac{\partial \dot{m}_w}{\partial y} \cdot dx \cdot dy \cdot z_A = 0 \quad (91)$$

iar cu ajutorul relației (13) se obține în final:

$$\frac{\partial i_L}{\partial x} = \frac{\beta_{xv}}{\dot{m}_L} \cdot \left[i_s^+ - i_L \left(\frac{\alpha}{\sigma \cdot c_p} - 1 \right) (i_s^+ - i_L - (x_s^+ - x)(c_{pv} t_w + r)) \right] \quad (92)$$

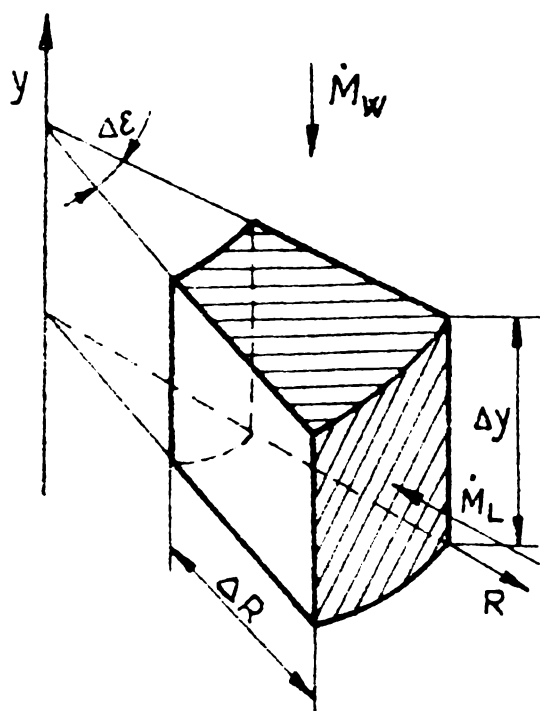
$$\frac{\partial t_w}{\partial y} = \frac{\dot{m}_L}{c_w \cdot \dot{m}_w} \left(c_w t_w \frac{\partial X}{\partial x} - \frac{\partial i_L}{\partial x} \right) \quad (93)$$

și

$$\frac{\partial X}{\partial x} = \frac{\beta_{xv}}{\dot{m}_L} (x_s^+ - x) \quad (94)$$

Pentru rezolvarea acestui sistem de ecuații, Poppe [45] recurge la integrarea cu diferențe finite, considerînd umplutura turnului ca o rețea simetrică.

Helfand [22], plecînd de la relațiile primare utilizate în cazul contracurentului, consideră un volum elementar dintr-un turn de răcire circular (fig.1o) și obține următorul sistem de ecuații:



$$\frac{\partial \dot{m}_w}{\partial y} = b_v (p_s^+ - p) \quad (95)$$

$$\begin{aligned} \frac{\partial t_w}{\partial y} = & \frac{1}{\dot{m}_w \cdot c_w} [\alpha \cdot (t_w - t_L) + \\ & + b_v \cdot r (p_s^+ - p)] \end{aligned} \quad (96)$$

$$\begin{aligned} \frac{\partial i_L}{\partial R} = & - \frac{c_w \cdot R}{\dot{m}_{Ll} \cdot R_{max}} (\dot{m}_w \frac{\partial t_w}{\partial y} + \\ & + t_w \frac{\partial \dot{m}_w}{\partial y}) \end{aligned} \quad (97)$$

Fig.1o. Volum elementar dintr-un turn de răcire circular.

$$\begin{aligned} \frac{\partial p}{\partial R} = & - \frac{R}{\dot{m}_{Ll} \cdot R_{max}} b_v \cdot \\ & \cdot \frac{(p_b - p)^2}{0,622 \cdot p_b} (p_s^+ - p) \end{aligned} \quad (98)$$

relații ce se pot transcrie și ele cu ajutorul conținutului de umiditate:

$$\frac{\partial \dot{m}_w}{\partial y} = \beta_{xv} (x_s^+ - x) \quad (99)$$

$$\frac{\partial t_w}{\partial y} = \frac{1}{\dot{m}_w \cdot c_w} (\alpha \cdot (t_w - t_L) + \beta_{xv} \cdot r (x_s^+ - x)) \quad (100)$$

$$\frac{\partial t_L}{\partial R} = - \frac{c_w \cdot R}{c_p \cdot \dot{m}_{Ll} \cdot R_{max}} \cdot (\dot{m}_w \frac{\partial t_w}{\partial y} + \frac{1}{c_w} (c_w t_w + r + c_w t_L) \frac{\partial \dot{m}_w}{\partial y}) \quad (101)$$

$$\frac{\partial x}{\partial R} = \frac{1}{\dot{m}_{Ll}} \frac{\partial \dot{m}_w}{\partial y} \quad (102)$$

Este de la sine înțeles că cele două sisteme de ecuații se deosebesc foarte puțin, funcție de particularizările și simplificările acceptate la punerea problemei.

Vorbind despre o lipsă scută de bibliografie în domeniul calculului turnului de răcire în curent încrucișat, este de-a dreptul iluzoriu să se caute interpretări și discuții asupra factorului Lewis, cum am întîlnit în cazul contracurentului.

2.6. Relațiile de calcul pentru curgerea în curent încrucișat, cazul aerului saturat.

Dacă Poppe [45] mai face cîteva considerații legate de apariția fenomenului de saturare, cu precădere în aerul ce străbate partea supericară a umpluturii, Helfand [22] se mărginește la a scrie relațiile obținute mai sus, modificînd conținutul de umiditate din curentul de aer din x în x_s^+ . Amîndoî cercetătorii pleacă de fapt de la modelul fizic al curgerii în contracurrent, cînd se mai putea vorbi de un curent principal și un strat limită la zona de separație. La curgerea în curent încrucișat, cînd avem o amestecare intimă a celor două fluide - lucru căutat prin însăși geometriile umpluturilor turnurilor de răcire - este dificil, chiar imposibil de a admite aceleasi ipoteze schimbului de căldură și de substanță ca și în cazul curgerii în contracurrent.

In relația (90) Poppe înlocuiește diferența de temperaturi din expresia:

$$c_p(t_w - t_L) = i_s^+ - i_L - r(x_s^+ - x) - (c_{pv}(x_s^+ - x_s) - c_w(x - x_s))t_w \quad (103)$$

obținînd cu ajutorul relației (68):

$$\frac{\partial i_L}{\partial x} = \frac{\beta_{xv}}{m_L} \cdot \left[i_s^+ - i_L + \left(\frac{\alpha}{C_p} - 1 \right) (i_s^+ - i_L - (r + c_{pv}t_w)(x_s^+ - x)) - \right. \\ \left. - \frac{\alpha}{C_p} (r - (c_w - c_{pv})t_w)(x - x_s) \right] \quad (104)$$

celalte două relații (93) și (94) rămînînd nesochimbrate.

Helfand scrie sistemul său de ecuații sub forma :

$$\frac{\partial \dot{m}_w}{\partial y} = b_v \cdot (p_s^+ - p_s) \quad (105)$$

$$\frac{\partial t_w}{\partial y} = \frac{1}{c_w \cdot \dot{m}_w} (\alpha_v(t_w - t_L) + b_v \cdot r(p_s^+ - p_s)) \quad (106)$$

$$\frac{\partial t_L}{\partial x} = \frac{c_w \cdot R}{i_{L1} \cdot R_{max}} \frac{1}{1 - c_w t_L} \frac{0,622 \cdot p_b}{(p_b - p_s)^2} \frac{dp_s}{di_s} \left(\dot{m}_w \frac{\partial t_w}{\partial y} + (t_w - t_L) \frac{\partial \dot{m}_w}{\partial y} \right) \quad (107)$$

care din nou, retranscrise cu conținutul de umiditate x se poate scrie sub forma:

$$\frac{\partial \dot{m}_w}{\partial y} = \beta_{xv} (x_s^+ - x_s) \quad (108)$$

$$\frac{\partial t_w}{\partial y} = \frac{1}{c_w \cdot \dot{m}_w} (\alpha_v (t_w - t_L) + \beta_{xv} \cdot r (x_s^+ - x_s)) \quad (109)$$

$$\frac{\partial t_L}{\partial x} = \frac{c_w \cdot R}{i_{L1} \cdot R_{max}} \frac{1}{c_{ps} + r} \frac{\partial x_s}{\partial t_L} \left(\dot{m}_w \frac{\partial t_w}{\partial y} + (t_w - t_L) \frac{\partial \dot{m}_w}{\partial y} \right) \quad (110)$$

iar relația (102) rămâne neschimbată.

Se poate observa dintr-o rapidă comparare a celor două sisteme de ecuații că sint asemănătoare, Helfand considerind însă că nu se poate menține o stare de suprasaturație, umiditatea aerului fiind cea la saturatie pentru temperatura sa. Mai departe, amândoi cercetătorii consideră că și la atingerea stării de saturatie aerul va îngură o răcire în continuare a apei, determinată doar în măsura în care crește umiditatea curentului de aer. Poppe, considerind că este posibilă suprasaturarea, admite deci, răciri ale apei mai mici decât Helfand, care limitează diferența conținuturilor de umiditate la $(x_s^+ - x)$.

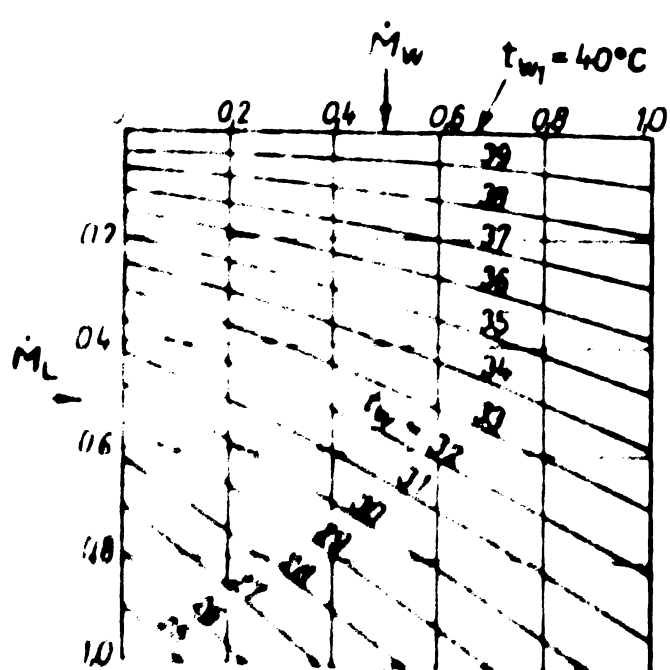


FIG.11. Variatia temperaturilor apel după Poppe.

In figura 11 este redată variația temperaturilor apei într-un turn de răcire, în cazul aerului suprasaturat, după Poppe. Din grafic rezultă că acest fenomen, al suprasaturației nu influențează hotărîtor răcirea, izotermele avind o mulțime plăcut continuă.

3. Calculul schimbului de căldură și de substanță cu ajutorul funcției ϕ

3.1. Cazul curgerii în contracurent

Ca și în cazul calculului clasic, se va considera un volum elementar dintr-un turn de răcire în contracurent, figura 1, variația stării aerului și apei fiind cea din figura 2, respectiv figura 3. Deosebirea constă însă, în maniera de tratare a ansamblului turnului de răcire, care va fi privit ca un schimbător de căldură în contracurent, cu fluidele neamestecate, figura 12 [55].

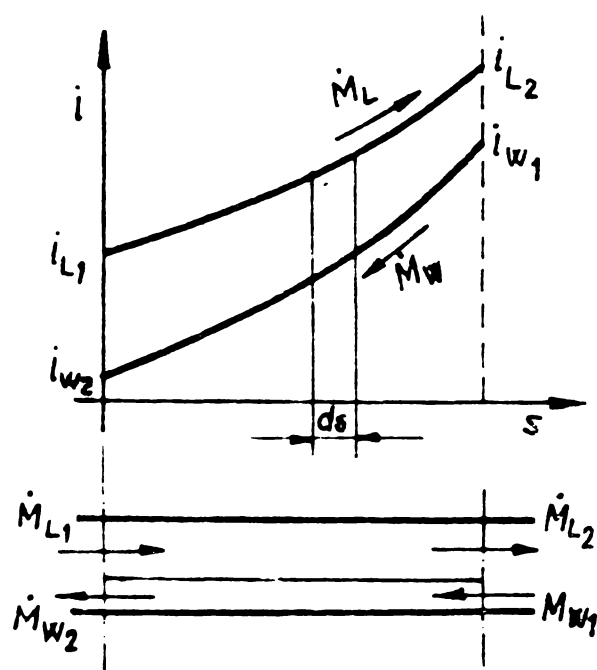


Fig.12. Modelul turnului de răcire în contracurent.

(O încercare similară o găsim și la Klenke [30]). Punctul de plecare al calculului îl constituie tot binecunoscuta ecuație fundamentală a lui Merkel (58), cu aceleași ipoteze simplificatoare, inclusiv pentru integrarea ei (admise de Merkel, Sherwood, Spangemacher, Berman).

Se consideră deci relația:

$$\begin{aligned} d\dot{Q} &= \dot{M}_L \cdot di_L = \dot{M}_w \cdot di_w = \\ &= \nabla \cdot (i_s^+ - i_L) \cdot dS \end{aligned} \quad (58)$$

Alura curbei de saturatie se va aproxima pentru zona de lucru cu o dreaptă, de ecuație:

$$i_s^+ = a + b \cdot t_w \quad (33)$$

De aici se poate scrie:

$$di_s^+ = b \cdot dt_w = \frac{b}{c_w} di_w \quad (111)$$

dacă se poate scrie pentru apă că: $di_w = c_w dt_w$ (112)

Mărimea b reprezintă panta curbei de saturatie, care ia valori diferite pentru diverse intervale de temperatură $t_{w1} \rightarrow t_{w2}$. Relația (58) se mai poate scrie:

$$di_w = \frac{d\dot{Q}}{\dot{M}_w} \quad \text{și} \quad di_L = \frac{d\dot{Q}}{\dot{M}_L} \quad (113)$$

cu ajutorul cărora, și prin considerarea apei ca fluid principal, se va obține:

$$di_w - di_L = \frac{\dot{Q}}{\dot{M}_w} (1 - \frac{1}{\lambda}) = \frac{\nabla \cdot (i_s^+ - i_L)}{\dot{M}_w} (1 - \frac{1}{\lambda}) dS \quad (114)$$

Diferența de entalpii $di_w - di_L$ poate fi dezvoltată după cum urmăză:

$$\begin{aligned} di_w - di_L &= c_w \cdot dt_w - di_L = \frac{c_w}{b} di_s^+ - di_L = di_s^+ - di_L - (1 - \frac{c_w}{b}) di_s^+ = \\ &= di_s^+ - di_L - (\frac{b}{c_w} - 1) \frac{\dot{Q}}{\dot{M}_w} = di_s^+ - di_L - \nabla \cdot (i_s^+ - i_L) (\frac{b}{c_w} - 1) \frac{dS}{\dot{M}_w} \end{aligned} \quad (115)$$

Prin egalarea relațiilor (114) și (115) obținem:

$$\frac{di_s^+ - di_L}{i_s^+ - i_L} = \frac{\nabla \cdot dS}{\dot{M}_w} \left(\frac{b}{c_w} - \frac{1}{\lambda} \right) \quad (116)$$

Cum mărimele ∇ , \dot{M}_w , c_w și λ sunt constante pentru un punct de funcționare al turnului de răcire, relația (116) se poate integra și se va obține:

$$\ln(i_s^+ - i_L) = \frac{\nabla \cdot S}{\dot{M}_w} \left(\frac{b}{c_w} - \frac{1}{\lambda} \right) + C \quad (117)$$

Constanta de integrare C se determină pe baza condițiilor de margine și anume:

- pentru $S_x=0$, $\dot{Q}=0$ și $i_s^+ = i_{s2}^+$; $i_L = i_{L1}$
- pentru $S_x=S$, $\dot{Q}=\dot{Q}$ și $i_s^+ = i_{s1}^+$; $i_L = i_{L2}$

din care rezultă:

$$C = \ln(i_{s2}^+ - i_{L1}) \quad (118)$$

care introdusă în relația precedentă, determină forma:

$$\ln \frac{i_{s1}^+ - i_{L2}}{i_{s2}^+ - i_{L1}} = \frac{\nabla \cdot S}{\dot{M}_w} \left(\frac{b}{c_w} - \frac{1}{\lambda} \right) \quad (119)$$

Utilizând relația (24), putem utiliza pentru simplificare notația:

$$\frac{\nabla \cdot S}{\dot{M}_w} \left(\frac{b}{c_w} - \frac{1}{\lambda} \right) = K_0 \left(\frac{b}{c_w} - \frac{1}{\lambda} \right) = K_{e1} \quad (120)$$

astfel că relația (119) devine:

$$\frac{i_{s1}^+ - i_{L2}}{i_{s2}^+ - i_{L1}} = e^{K_{e1}} \quad (121)$$

Prin scăderea din lămbile termeni ai relației (121)

se ajunge la :

$$\frac{(i_{s2}^+ - i_{L1}) - (i_{s1}^+ - i_{L2})}{i_{s2}^+ - i_{L1}} = \frac{Ke_1}{1-e} \quad (122)$$

Relația (116) mai poate fi scrisă și sub forma

$$di_s^+ - di_L = \frac{\dot{Q}}{\dot{M}_w} \left(\frac{b}{c_w} - \frac{1}{\lambda} \right) \quad (123)$$

care prin integrare și respectarea condițiilor de margine de mai sus, devine:

$$(i_{s1}^+ - i_{L2}) - (i_{s2}^+ - i_{L1}) = \frac{\dot{Q}}{\dot{M}_w} \left(\frac{b}{c_w} - \frac{1}{\lambda} \right) \quad (124)$$

sau

$$(i_{s2}^+ - i_{L1}) - (i_{s1}^+ - i_{L2}) = - \frac{\dot{Q}}{\dot{M}_w} \left(\frac{b}{c_w} - \frac{1}{\lambda} \right) \quad (124')$$

obținând în continuare:

$$(1-e)^{Ke_1} (i_{s2}^+ - i_{L1}) = - \frac{\dot{Q}}{\dot{M}_w} \cdot \left(\frac{b}{c_w} - \frac{1}{\lambda} \right) \quad (125)$$

Putem elimina entalpia apei i_{s2}^+ din relația (125), scriind bilanțul energetic pe partea apei:

$$\dot{Q} = \dot{M}_w \frac{c_w}{b} (i_{s1}^+ - i_{s2}^+) \quad (126)$$

sau

$$i_{s2}^+ = i_{s1}^+ - \frac{\dot{Q}}{\dot{M}_w} \cdot \frac{b}{c_w} \quad (126')$$

după care obținem:

$$\dot{Q} = \frac{1 - e^{Ke_1}}{\frac{1}{\lambda} - \frac{b}{c_w} e^{Ke_1}} \cdot (i_{s1}^+ - i_{L1}) \cdot \dot{M}_w \quad (127)$$

Tinând cont de faptul că $\lambda = \dot{M}_L / \dot{M}_w$, mai putem scrie relația (127) și sub forma:

$$\dot{Q} = \frac{1 - e^{Ke_1}}{1 - \frac{b \cdot \lambda}{c_w} e^{Ke_1}} (i_{s1}^+ - i_{L1}) \cdot \dot{M}_L \quad (128)$$

Comparind această relație cu relația bilanțului energetic pe partea aerului modificată și utilizând relația (32) avem:

$$\dot{Q} = \dot{M}_L (i_{L2} - i_{L1}) \frac{i_{s1}^+ - i_{L1}}{i_{s1}^+ - i_{L2}} = \emptyset \cdot \dot{M}_L (i_{s1}^+ - i_{L1}) \quad (129)$$

și se vede imediat identitatea funcției ϕ cu expresia:

$$\phi_L = \frac{\frac{G \cdot S}{\dot{M}_w} \left(\frac{b}{c_w} - \frac{1}{\lambda} \right)}{1 - \frac{b \cdot \lambda}{c_w} e^{\frac{G \cdot S}{\dot{M}_w} \left(\frac{b}{c_w} - \frac{1}{\lambda} \right)}} \quad (130)$$

Dacă modificăm relația (126) sub forma:

$$\dot{Q} = \dot{M}_w \frac{c_w}{b} (i_{sL}^+ - i_{s2}^+) \frac{i_{sL}^+ - i_{Ll}}{i_{sL}^+ - i_{Ll}} \quad (131)$$

și utilizăm relația de definiție (41), vom putea scrie prin identificarea termenilor între relațiile (127) și (131) expresia funcției ϕ_w pe partea dreptă

$$\phi_w = \frac{b}{c_w} \frac{1 - e^{\frac{G \cdot S}{\dot{M}_w} \left(\frac{b}{c_w} - \frac{1}{\lambda} \right)}}{1 - \frac{b}{c_w} e^{\frac{G \cdot S}{\dot{M}_w} \left(\frac{b}{c_w} - \frac{1}{\lambda} \right)}} \quad (132)$$

Dacă considerăm aerul ca fluid principal, plecind tot de la relațiile (58), (33), (111), (112) și (113) se poate scrie:

$$di_w - di_L = - \frac{d\dot{Q}}{\dot{M}_L} (\lambda - 1) = - \frac{G \cdot (i_s^+ - i_L)}{\dot{M}_L} (\lambda - 1) dS \quad (133)$$

Similar se dezvoltă și diferența de entalpii $di_w - di_L$:

$$di_w - di_L = c_w dt_w - di_L = \frac{c_w}{b} di_s^+ - di_L = di_s^+ - di_L - \left(1 - \frac{c_w}{b}\right) di_s^+ = - di_s^+ - di_L - \left(1 - \frac{c_w}{b}\right) \frac{b \cdot \lambda}{c_w} \frac{d\dot{Q}}{\dot{M}_L} = di_s^+ - di_L - G \cdot (i_s^+ - i_L) \left(\frac{b \cdot \lambda}{c_w} - \lambda\right) \frac{dS}{\dot{M}_L} \quad (134)$$

Egalând relațiile (133) și (134) se obține:

$$\frac{di_s^+ - di_L}{i_s^+ - i_L} = \frac{G \cdot dS}{\dot{M}_L} \left(\frac{b \cdot \lambda}{c_w} - 1\right) \quad (135)$$

Această ultimă relație se poate integra, obținindu-se:

$$\ln(i_s^+ - i_L) = \frac{G \cdot S}{\dot{M}_L} \left(\frac{b \cdot \lambda}{c_w} - 1\right) + C \quad (136)$$

în care înlocuind constanta de integrare din relația (118) rezultă:

$$\ln \frac{i_{s1}^+ - i_{L2}}{i_{s2}^+ - i_{L1}} = \frac{\dot{Q} \cdot S}{\dot{M}_L} \left(\frac{b \cdot \lambda}{c_w} - 1 \right) \quad (137)$$

Cu ajutorul relației (27) se poate scrie mai simplificat:

$$\frac{\dot{Q} \cdot S}{\dot{M}_L} \left(\frac{b \cdot \lambda}{c_w} - 1 \right) = K e^+ \left(\frac{b \cdot \lambda}{c_w} - 1 \right) = K e_2 \quad (138)$$

și relația (137) devine:

$$\frac{i_{s1}^+ - i_{L2}}{i_{s2}^+ - i_{L1}} = e^{K e_2} \quad (139)$$

iar după transformări:

$$\frac{(i_{s2}^+ - i_{L1}) - (i_{s1}^+ - i_{L2})}{i_{s2}^+ - i_{L1}} = 1 - e^{K e_2} \quad (140)$$

Relația (135) se mai poate scrie și sub forma:

$$d i_s^+ - d i_L = \frac{d \dot{Q}}{\dot{M}_L} \left(\frac{b \cdot \lambda}{c_w} - 1 \right) \quad (141)$$

care prin integrare și respectarea condițiilor de margine discutate deja, devine:

$$(i_{s2}^+ - i_{L1}) - (i_{s1}^+ - i_{L2}) = - \frac{\dot{Q}}{\dot{M}_L} \left(\frac{b \cdot \lambda}{c_w} - 1 \right) \quad (142)$$

iar cu ajutorul relației (140) :

$$(1 - e^{K e_2})(i_{s2}^+ - i_{L1}) = - \frac{\dot{Q}}{\dot{M}_L} \left(\frac{b \cdot \lambda}{c_w} - 1 \right) \quad (143)$$

Pentru a elimina entalpia apei i_{s2}^+ se utilizează relația (129) obținând:

$$(1 - e^{K e_2})(i_{s1}^+ - i_{L1}) = \frac{\dot{Q}}{\dot{M}_w} \frac{b}{c_w} (1 - e^{K e_2}) = - \frac{\dot{Q}}{\dot{M}_L} \left(\frac{b \cdot \lambda}{c_w} - 1 \right) \quad (144)$$

și

$$\dot{Q} = \frac{1 - e^{K e_2}}{1 - \frac{b \cdot \lambda}{c_w} e^{K e_2}} (i_{s1}^+ - i_{L1}) \cdot \dot{M}_L \quad (145)$$

Comparind relația (145) cu relația (129) se observă că am regăsit funcția ϕ_L sub forma:

$$\phi_L = \frac{1 - e^{-\frac{\sqrt{S}(\frac{b\lambda}{c_w} - 1)}{M_L}}}{1 - \frac{b\lambda}{c_w} e^{-\frac{\sqrt{S}(\frac{b\lambda}{c_w} - 1)}{M_L}}} \quad (146)$$

Să comparăm cele două relații (130) și (146) care reprezintă expresiile funcției ϕ scrisă pentru același turn de răcire, însă cu considerarea unui sau altui fluid ca fiind principal. Se observă lesne că cele două expresii sunt identice, ceea ce ne permite să tragem concluzia importantă că turnul de răcire este simetric din punctul de vedere al funcției ϕ . Această proprietate este deosebit de utilă pentru calculul practic cu diagrame, cind este suficient să avem la dispoziție reprezentarea grafică a lui ϕ pentru $0 \leq \frac{b\lambda}{c_w} \leq 1$; celelalte cazuri, cind $\frac{b\lambda}{c_w} > 1$ vor putea fi rezolvate cu ajutorul relației:

$$\phi\left(\frac{b\lambda}{c_w}, Ke^+\right) = \frac{c_w}{b\lambda} \cdot \phi\left(\frac{c_w}{b\lambda}, Ke\right) \quad (147)$$

Determinarea cifrelor caracteristice schimbului de căldură și de substanță se poate face în continuare fie direct prin calcularea valorii funcției ϕ pentru fiecare caz în parte, fie prin trasarea prealabilă a diagramei de variație $\phi = \phi(Ke^+, \frac{b\lambda}{c_w})$. Posedând această diagramă trasa sau tabelată, se poate determina valoarea momentană a lui ϕ grafic sau prin interpolare.

3.2. Cazul curgerii în curent încrucisat

Determinarea relațiilor de calcul a schimbului de căldură și de substanță cu ajutorul funcției ϕ în cazul curentului încrucisat se va face tratînd turnul de răcire ca un schimbător de căldură cu ambele fluide neamestecate. Trebuie remarcat că această ipoteză simplificatoare este introdusă și în studiul schimbătoarelor de căldură clasice, datorită dificultăților de integrare a relațiilor matematice, entalpiile fluidelor fiind în acest caz funcție atât de x , cât și de y . Prin această ipoteză putem împărți turnul de răcire în fîșii de lățime infinitesimală dx respectiv dy (figura 13), parcuse pe toată lungimea

lor de același debit de fluid. Implicit, potențialul energetic

al fiecărui fluid variază doar după o singură direcție, cum se vede în figura 13. Pentru simplificare s-a considerat un element de volum de lățime unitară,

$$z_A = 1$$

Si acum se admit pentru ușurință calculului ipotezele de integrare ale ecuației fundamentale a lui Merkel discutate deja, adică:

$$\frac{\alpha}{C_p} = 1 \text{ și } i_s^+ = a + b t_w$$

Variatia stării aerului și apei se poate urmări în figura 3.

Pentru acest volum elementar de dimensiuni $dx \cdot dy \cdot 1$, căldura transferată se poate scrie:

$$d^2\dot{Q} = C_p \cdot (i_s^+ - i_L) \cdot dx \cdot dy \quad (148)$$

Pe de altă parte, această căldură transferată poate fi scrisă ca fiind egală cu căldura cedată de fâșia verticală de lățime dx și de capacitate calorică \dot{M}_w/A , după direcția dy , între y și $y + dy$:

$$d^2\dot{Q} = - \frac{\dot{M}_w}{A} \cdot dx \cdot \frac{\partial i_s^+}{\partial y} dy \quad (149)$$

Cum entalpia aerului la saturatie este doar funcție de y se poate scrie:

$$\frac{\partial i_s^+}{\partial y} dy = di_s^+ \quad (150)$$

deci:

$$d^2\dot{Q} = - \frac{\dot{M}_w}{A} \cdot dx \cdot di_s^+ \quad (151)$$

Identic, pentru fâșia orizontală de lățime dy se poate scrie:

$$d^2\dot{Q} = \frac{\dot{M}_L}{B} \cdot dy \cdot di_L \quad (152)$$

Relația (148) se poate integra sub forma:

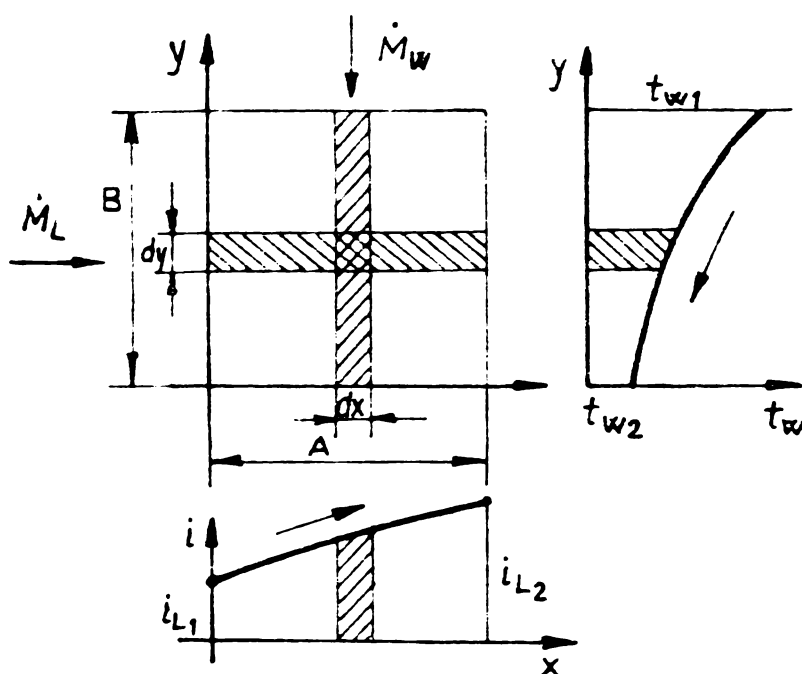


Fig.13. Modelul turnului de răcire în curent încrucișat

$$d\dot{Q} = G \cdot dx \cdot (\int i_s^+ dy - i_L \cdot \int dy) = G \cdot dx (I_y - i_L \cdot B) \quad (153)$$

și mai departe:

$$\dot{Q} = G \cdot A \cdot I_y - G \cdot B \cdot I_x = G \cdot S \left(\frac{I_y}{B} - \frac{I_x}{A} \right) \quad (154)$$

unde s-a notat:

$$I_x = \int_0^A i_L \cdot dx \quad \text{și} \quad I_y = \int_0^B i_s^+ \cdot dy \quad (155)$$

Se poate scrie egalitatea relațiilor (148), (149) și (152):

$$\begin{aligned} G \cdot (i_s^+ - i_L) dx \cdot dy &= - \frac{\dot{M}_w}{A} \cdot di_s^+ \cdot dx = \frac{\dot{M}_L}{B} \cdot di_L \cdot dy = \\ &= - \frac{\dot{M}_w}{A} \cdot b \cdot dt_w \cdot dx = \frac{\dot{M}_L}{B} \cdot di_L \cdot dy \end{aligned} \quad (156)$$

Prima egalitate se poate integra de la 0 la A și se obține:

$$- \frac{\dot{M}_w}{A} \cdot di_s^+ \cdot \int_0^A dx = G \cdot dy \cdot i_s^+ \cdot \int_0^A dx - G \cdot dy \cdot \int_0^A i_L \cdot dx \quad (157)$$

$$- \frac{\dot{M}_w}{A} \cdot di_s^+ = G \cdot A \cdot i_s^+ \cdot dy - G \cdot I_x \cdot dy \quad (158)$$

și:

$$\frac{di_s^+}{dy} + \frac{G \cdot A}{\dot{M}_w} + i_s^+ - \frac{G}{\dot{M}_w} \cdot I_x = 0 \quad (159)$$

Cu ajutorul relației (33) se poate transforma ultima relație:

$$\frac{dt_w}{dy} + \frac{G \cdot A}{\dot{M}_w} \cdot t_w - \frac{G}{b \cdot \dot{M}_w} \cdot (I_x - a \cdot A) = 0 \quad (160)$$

Soluția acestei ecuații diferențiale liniare este:

$$t_w = e^{- \frac{G \cdot A}{\dot{M}_w} \cdot y} \cdot \left(C + \int_0^B \frac{G}{b \cdot \dot{M}_w} \cdot (I_x - a \cdot A) \cdot e^{- \frac{G \cdot A}{\dot{M}_w} \cdot y} dy \right) \quad (161)$$

și rezolvând integrala din paranteză:

$$t_w = e^{- \frac{G \cdot A}{\dot{M}_w} \cdot y} \cdot \left(C + \frac{(I_x - a \cdot A)}{b \cdot A} \cdot e^{- \frac{G \cdot A}{\dot{M}_w} \cdot y} \right) \quad (162)$$

Constanta C se determină din condițiile limită: $y = 0$,

$t_w = t_{w1}$:

$$t_{w1} = C + \frac{I_x}{b \cdot A} - \frac{a}{b}$$

sau în continuare:

$$C = t_{w1} - \frac{I_x}{b \cdot A} + \frac{a}{b} \quad (163)$$

care înlocuită în relația (162) determină expresia:

$$t_w = \frac{I_x}{b \cdot A} - \frac{a}{b} + \left[t_{w1} - \left(\frac{I_x}{b \cdot A} - \frac{a}{b} \right) \right] e^{-\frac{\sqrt{S}}{\dot{M}_w} \frac{y}{B}} \quad (164)$$

Similar se poate porni de la a doua egalitate a relației (156) și anume prin integrare de la 0 la B se va obține:

$$\frac{\dot{M}_L}{B} \cdot di_L \int_0^B dy = \sqrt{S} \cdot dx \int_0^B i_s \cdot dy - \sqrt{S} \cdot dx \cdot i_L \int_0^B dy \quad (165)$$

și mai departe:

$$\dot{M}_L \cdot di_L = \sqrt{S} \cdot dx \cdot I_y - \sqrt{S} \cdot B \cdot i_L \cdot dx \quad (166)$$

$$\frac{di_L}{dx} + \frac{\sqrt{S} \cdot B}{\dot{M}_L} \cdot i_L - \frac{\sqrt{S}}{\dot{M}_L} \cdot I_y = 0 \quad (167)$$

Expresia (167) reprezintă tot o ecuație diferențială, liniară, pentru care soluția este:

$$i_L = e^{-\frac{\sqrt{S} \cdot B}{\dot{M}_L} \cdot x} \cdot \left(C + \int_0^A \frac{\sqrt{S}}{\dot{M}_L} I_y \cdot e^{\frac{\sqrt{S} \cdot B}{\dot{M}_L} \cdot x} \cdot dx \right) \quad (168)$$

ca după rezolvarea integralei din paranteză să se obțină:

$$i_L = e^{-\frac{\sqrt{S} \cdot B}{\dot{M}_L} \cdot x} \cdot \left(C + \frac{I_y}{B} e^{\frac{\sqrt{S} \cdot B}{\dot{M}_L} \cdot x} \right) \quad (169)$$

Să aici constanta de integrare C se determină din condițiile limită: $x=0$; $i_L = i_{L1}$.

$$C = i_{L1} - \frac{I_y}{B} \quad (170)$$

care înlocuită în expresia (169) determină expresia:

$$i_L = \frac{I_y}{B} + \left(i_{L1} - \frac{I_y}{B} \right) e^{-\frac{\sqrt{S}}{\dot{M}_L} \cdot \frac{x}{A}} \quad (171)$$

Dacă în relațiile (164) și (171) punem condițiile limită: $y = B$; $t_w = t_{w2}$ și $x = A$; $i_L = i_{L2}$ obținem:

$$t_{w2} = \frac{I_x}{b \cdot A} - \frac{a}{b} + \left[t_{w1} - \left(\frac{I_x}{b \cdot A} - \frac{a}{b} \right) \right] e^{-K \cdot e} \quad (172)$$

$$i_{L2} = \frac{I_y}{B} + \left(i_{L1} - \frac{I_y}{B} \right) e^{-K \cdot e} \quad (173)$$

și mai departe valorile:

$$\frac{I_x}{A} = \frac{b \cdot (t_{w2} - t_{wl} \cdot e^{-Ke})}{1 - e^{-Ke}} + a \quad (174)$$

și

$$\frac{I_y}{B} = \frac{i_{L2} - i_{L1} \cdot e^{-Ke^+}}{1 - e^{-Ke^+}} \quad (175)$$

Înlocuind valorile lui I_x/A și I_y/B în relația (154) se obține succesiv:

$$\frac{\dot{Q}}{\text{G.S.}} = \frac{i_{L2} - i_{L1} \cdot e^{-Ke^+}}{1 - e^{-Ke^+}} - \frac{b \cdot (t_{w2} - t_{wl} \cdot e^{-Ke})}{1 - e^{-Ke}} - a \quad (176)$$

$$\frac{\dot{Q}}{\text{G.S.}} = \frac{(i_{s1}^+ - i_{L2}) \cdot e^{-Ke} + (i_{s2}^+ - i_{L1}) \cdot e^{-Ke^+} - (i_{s2}^+ - i_{L2}) - (i_{s1}^+ - i_{L1}) e^{-Ke} \cdot e^{-Ke^+}}{(1 - e^{-Ke}) \cdot (1 - e^{-Ke^+})} \quad (177)$$

$$\frac{\dot{Q}}{\text{G.S.}} = \frac{(i_{s1}^+ - i_{L1}) ((1 - \varphi) e^{-Ke} + (1 - \frac{b \cdot \lambda}{c_w} \varphi) e^{-Ke^+} - (1 - \varphi - \frac{b \cdot \lambda}{c_w} \varphi) - e^{-Ke} \cdot e^{-Ke^+})}{(1 - e^{-Ke}) \cdot (1 - e^{-Ke^+})} \quad (178)$$

unde am utilizat relațiile (38)...(41) pentru a găsi relațiile:

$$\begin{aligned} (i_{s1}^+ - i_{L2}) &= (1 - \varphi) \cdot (i_{s1}^+ - i_{L1}) \\ (i_{s2}^+ - i_{L1}) &= (1 - \frac{b \cdot \lambda}{c_w} \varphi) \cdot (i_{s1}^+ - i_{L1}) \\ (i_{s2}^+ - i_{L2}) &= (1 - \varphi - \frac{b \cdot \lambda}{c_w} \varphi) \cdot (i_{s1}^+ - i_{L1}) \end{aligned} \quad (179)$$

Se mai poate scrie și

$$\frac{\dot{Q}}{\text{G.S.} \cdot (i_{s1}^+ - i_{L1})} = \frac{M_L \cdot (i_{L2} - i_{L1})}{\text{G.S.} \cdot (i_{s1}^+ - i_{L1})} = \frac{\lambda \cdot \varphi}{Ke} \quad (180)$$

Care prin înlocuire în relația (178) permite scrierea expresiei:

$$\frac{\lambda \cdot \varphi}{Ke} = \frac{\varphi (1 - e^{-Ke}) + \frac{b \cdot \lambda}{c_w} \varphi (1 - e^{-Ke^+}) - (1 - e^{-Ke}) + (1 - e^{-Ke}) \cdot e^{-Ke^+}}{(1 - e^{-Ke}) \cdot (1 - e^{-Ke^+})} \quad (181)$$

sau:

$$\frac{\lambda \cdot \varphi}{Ke} = \frac{\varphi}{1 - e^{-Ke^+}} - \frac{\frac{b \cdot \lambda}{c_w} \varphi}{1 - e^{-Ke}} = -1 \quad (182)$$

Expresie din care în final putem scrie valoarea funcției φ :

$$\phi = \frac{-Ke}{\lambda - \frac{Ke}{1-e^{-Ke}} - \frac{b\cdot\lambda}{c_w} \frac{Ke}{1-e^{-Ke}}} \quad (183)$$

Expresia (183) permite determinarea directă a caracteristicii turnului de răcire în funcție de Ke , λ și b . De asemenea, cu ajutorul acestei expresii se poate trasa diagrama $\phi = \phi(Ke, \frac{b\cdot\lambda}{c_w})$ ca cea din figura 14, din care se poate determina grafic caracteristica turnului de răcire. În acest caz turnul de răcire fiind simetric pentru valori ale lui $b\cdot\lambda/c_w > 1$ se va utiliza aceeași diagramă, însă ținând cont de relațiile caracteristice acestui caz (v. § 3.1).

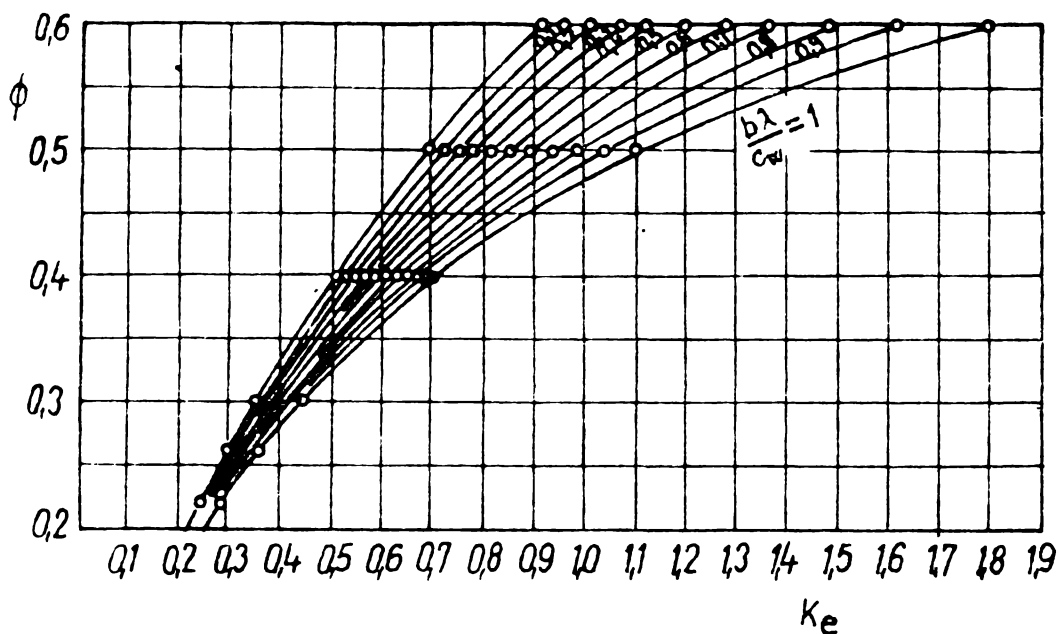


Fig.14. Dependența $\phi = f(Ke, \frac{b\cdot\lambda}{c_w})$.

tru a descrie variația stării apei și aerului de-a lungul celor două fâșii considerate. Astfel introducând relația (174) în (164) se obține:

$$t_w = \frac{t_{wl} - t_{w2}}{1 - e^{-Ke}} \cdot e^{-\frac{Ke \cdot V}{B}} + \frac{t_{w2} - t_{wl} \cdot e^{-Ke}}{1 - e^{-Ke}} \quad (184)$$

respectiv:

$$\frac{t_{wl} - t_w}{t_{wl} - t_{w2}} = \frac{1 - e^{-\frac{Ke \cdot V}{B}}}{1 - e^{-Ke}} \quad (185)$$

Cu ipotezele făcute la începutul demonstrației, funcția ϕ se mai poate scrie și sub forma:

$$\phi_w = \frac{\Delta i_s}{i_{sl}^+ - i_{Ll}} = \frac{b \cdot \Delta t_w}{i_{sl}^+ - i_{Ll}} \quad (186)$$

de unde rezultă:

$$t_{w1} - t_{w2} = -\frac{1}{b} \cdot \phi_w \cdot (i_{sl}^+ - i_{Ll}) \quad (187)$$

relație cu care se obține în final:

$$\frac{t_{w1} - t_w}{i_{sl}^+ - i_{Ll}} = \frac{\phi_w}{b} \cdot \frac{1 - e^{-Ke \cdot \frac{y}{B}}}{1 - e^{-Ke}} \quad (188)$$

Similar, dacă introducem relația (175) în (171) se va obține:

$$i_L = \frac{i_{L2} - i_{Ll} \cdot e^{-Ke^+}}{1 - e^{-Ke^+}} + (i_{Ll} - \frac{i_{L2} - i_{Ll} \cdot e^{-Ke^+}}{1 - e^{-Ke^+}}) \cdot e^{-Ke \cdot \frac{x}{A}} \quad (189)$$

reapercutiv:

$$\frac{i_L - i_{Ll}}{i_{L2} - i_{Ll}} = \frac{1 - e^{-Ke^+ \cdot \frac{x}{A}}}{1 - e^{-Ke^+}} \quad (190)$$

care, cu ajutorul relației (32) de definiție a funcției ϕ se mai poate scrie:

$$\frac{i_L - i_{Ll}}{i_{sl}^+ - i_{Ll}} = \phi \cdot \frac{1 - e^{-Ke^+ \cdot \frac{x}{A}}}{1 - e^{-Ke^+}} \quad (191)$$

3.3. Considerații asupra atingerii stării de saturatie a aerului

La metodele clasice de calcul a turnurilor de răcire trebuie să se facă o departajare netă între cazul stării aerului nesaturat și cazul stării aerului saturat, rezultatele fiind afectate de corecta sau incorecta apreciere și utilizare a calculului corespunzător situației existente. Atât în cazul calculului de determinare a cifrei de evaporare pentru o umplutură dată, cât și în cazul proiectării unui turn de răcire plecînd de la o umplutură cu caracteristici cunoscute, calculul nu se poate face în nici un caz global, ci va trebui condus pe pași, pentru a permite verificarea continuă a stării aerului și utilizarea relațiilor de calcul adecvate.

Metoda de calcul cu ajutorul funcției ϕ prezintă mărele avantaj că utilizează ca potențiale doar entalpiile, atât pe partea aerului, cât și pe partea apei. Prin această particularitate

tate a calculului, automat problema domeniului în care se află punctul momentan de stare al aerului nu mai devine primordială.

Este însă de la sine înțeles, că indiferent de metoda de calcul aplicată, aerul poate să ajungă la saturatie și în multe cazuri ajunge să devină saturat cu vaporii de apă. În toate calculele efectuate asupra turnurilor de răcire, am plecat de la considerentul că starea de suprasaturatie a aerului cu vaporii de apă este o stare instabilă, aerul după ce a atins starea de saturatie continuindu-și transformarea pe curba de saturatie.

Din potențialul motor-entalpie - o parte este dată de schimbul de căldură uscat (convectiv), iar alta de schimbul de căldură umed (evaporarea și aportul de căldură al vaporilor). Din momentul în care se atinge saturatie aerului cu vaporii de apă, capacitatea aerului de a prelua vaporii de apă este serios afectată, această preluare fiind acum direct dependentă de creșterea temperaturii aerului. Din cele amintite în § 2.4 ([45], [22]) și din rezultatele obținute (vezi figura 11) ar însemna că din acest moment începe o bruscă intensificare a schimbului de căldură uscat, pentru ca per total, răcirea apei să se continue în aceeași măsură. Din determinările experimentale proprii, cît și cele efectuate la ICEMENERG București, se observă o diminuare a răcirii apei din momentul atingerii stării de saturatie a aerului consider că se desfășoară pe baza schimbului de căldură uscat, care se continuă pe tot parcursul turnului de răcire, și doar în mică măsură pe baza schimbului de căldură umed, care diminuează serios.

Cum se desfășoară procesul din acest moment? El va urmări în continuare curba de saturatie a aerului. Această afirmație este întărită de rezultatele calculelor teoretice asupra unui număr de date experimentale ridicate de către ICEMENERG - București în decursul anului 1974. În calcule s-au introdus valorile lui β_{xv1} corespunzătoare tipurilor de umpluturi utilizate, valori determinate anterior în cadrul laboratorului Catedrei de Termotehnică și Mașini Termice, I.P."Traian Vuia" Timișoara, și anume date de relațiile:

$$\begin{aligned}\beta_{xv1} &= 500 \cdot w_L + 325 \\ \beta_{xv2} &= 775 \cdot w_L + 325 \\ \beta_{xv3} &= 1050 \cdot w_L + 325\end{aligned}$$

Mărimile de intrare sînt date în tabelul 1.

Tabelul 1
Mărimile termice caracteristice diagrameelor 15..35

Fig. exp.	Nr. exp.	t_{Ll}	t_{wl}	x_{Ll}	i_{Ll}	w_{Ll}	\dot{q}_w	β_{xv}	$\frac{\sigma \cdot c_p}{\alpha}$
		°C	°C	g/kg	$\frac{kcal}{kg}$	m/s	$\frac{m^3}{m^2 \cdot h}$	$\frac{kg}{m^3 \cdot h}$	-
15	44	26,2	35,5	14,75	15,25	1,71	7,11	1180,0	1,2
16	44	26,2	35,5	14,75	15,25	1,71	7,11	1650,2	1,2
17	44	26,2	35,5	14,75	15,25	1,71	7,11	2120,5	1,2
18	70	30,2	37,4	15,95	17,00	2,43	11,84	2876,5	1,05
19	70	30,2	37,4	15,95	17,00	2,43	11,84	2876,5	1,1
20	70	30,2	37,4	15,95	17,00	2,43	11,84	2876,5	1,15
21	49	27,0	35,2	15,50	15,90	3,28	11,84	2876,0	1,2
22	49	27,0	35,2	15,50	15,90	3,28	11,84	3769,0	1,2
23	49	27,0	35,2	15,50	15,90	3,28	11,84	3769,0	1,25
24	60	31,2	36,4	14,35	16,35	1,67	18,94	2078,5	1,2
25	60	31,2	36,4	14,35	16,35	1,67	18,94	2078,5	1,25
26	60	31,2	36,4	14,35	16,35	1,67	18,94	2078,5	1,3
27	48	27,6	35,1	15,40	15,95	1,66	11,83	1155,0	1,2
28	48	27,6	35,1	15,40	15,95	1,66	11,83	1611,5	1,2
29	48	27,6	35,1	15,40	15,95	1,66	11,83	2068,0	1,2
30	47	26,8	35,5	15,20	15,70	0,46	11,84	555,0	1,25
31	47	26,8	35,5	15,20	15,70	0,46	11,84	670,0	1,25
32	47	26,8	35,5	15,20	15,70	0,46	11,84	808,0	1,25
33	231	2,8	11,1	4,60	3,45	2,43	11,84	2876,5	1,15
34	231	2,8	11,1	4,60	3,45	2,43	11,84	2876,5	1,3
35	44	26,2	35,5	14,75	15,25	1,71	7,11	1650,2	1,2

In toate figurile (15 ... 35) cu linie întreruptă au fost trasate izotermele experimentale ridicate de către laboratorul ICEMENERG. In figurile 15...34 sînt comparate aceste izoterme, cu cele rezultate din calcul (vezi § 5.2). Au fost redate pentru fiecare experiență reprezentarea cea mai apropiată de situația reală și alte două reprezentări cu care s-a pus în evidență influența coeficientului volumic de schimb de substanță β_{xv} sau a factorului Lewis $\sigma \cdot c_p / \alpha$.

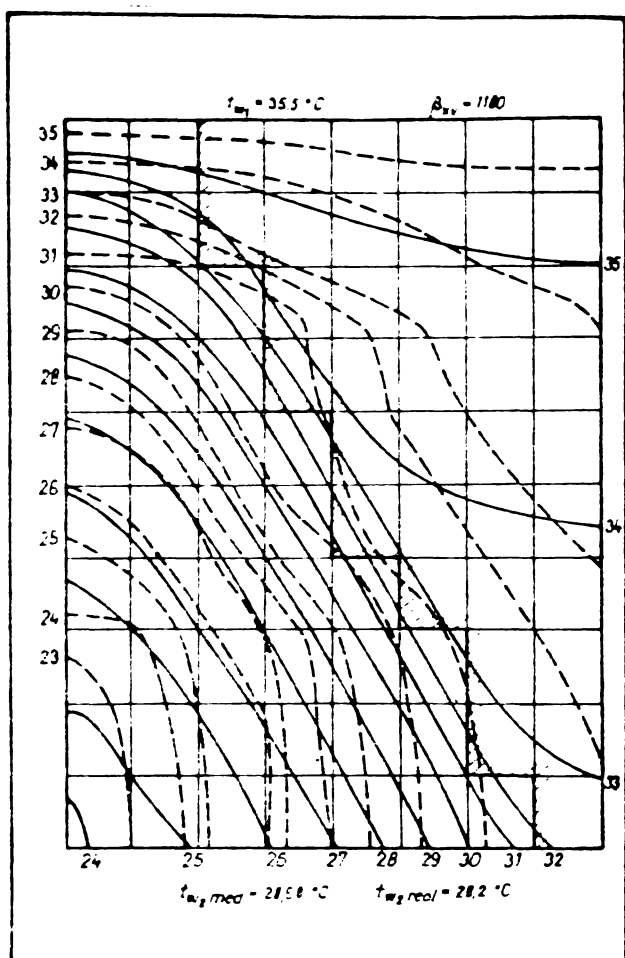


Fig.15.

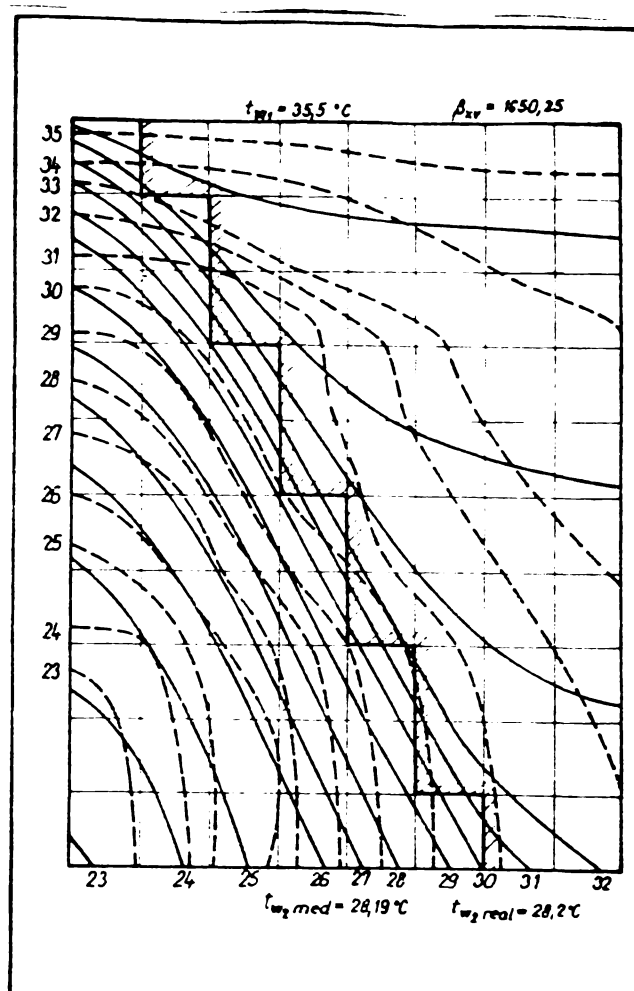


Fig.16.

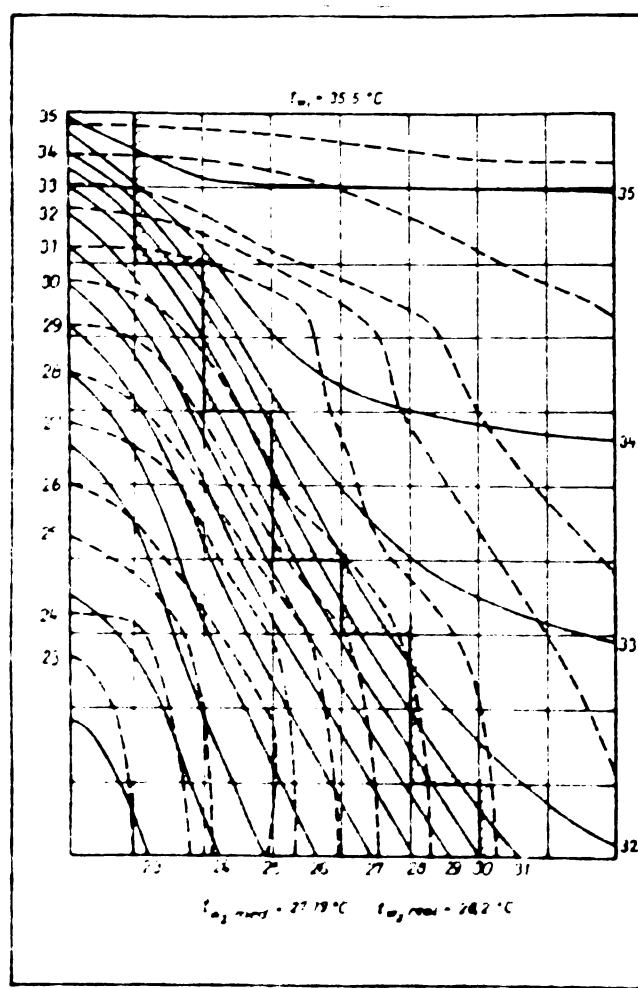


Fig.17.

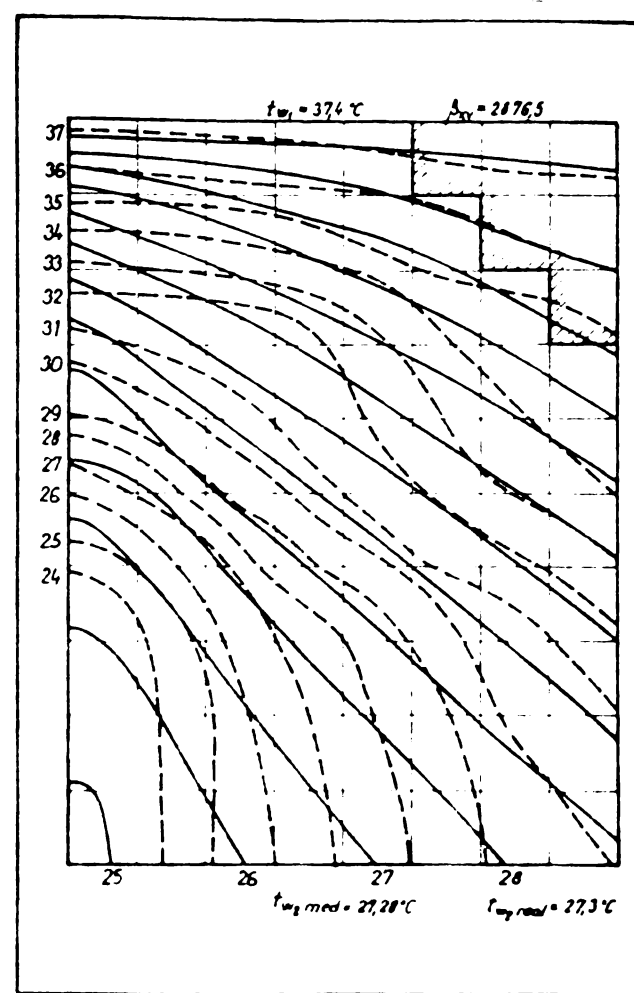


Fig.18.

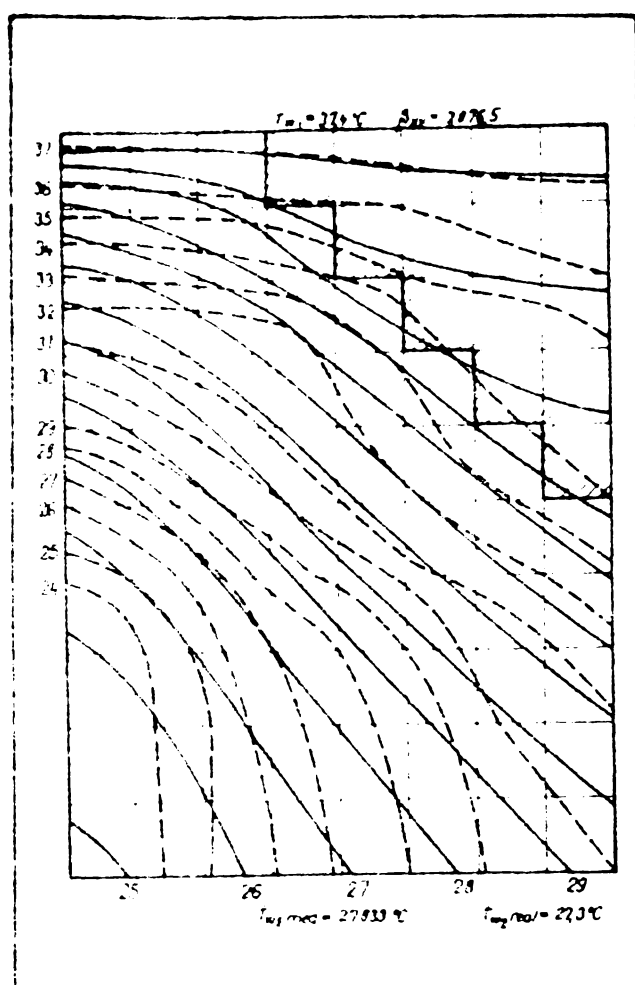


Fig. 19.

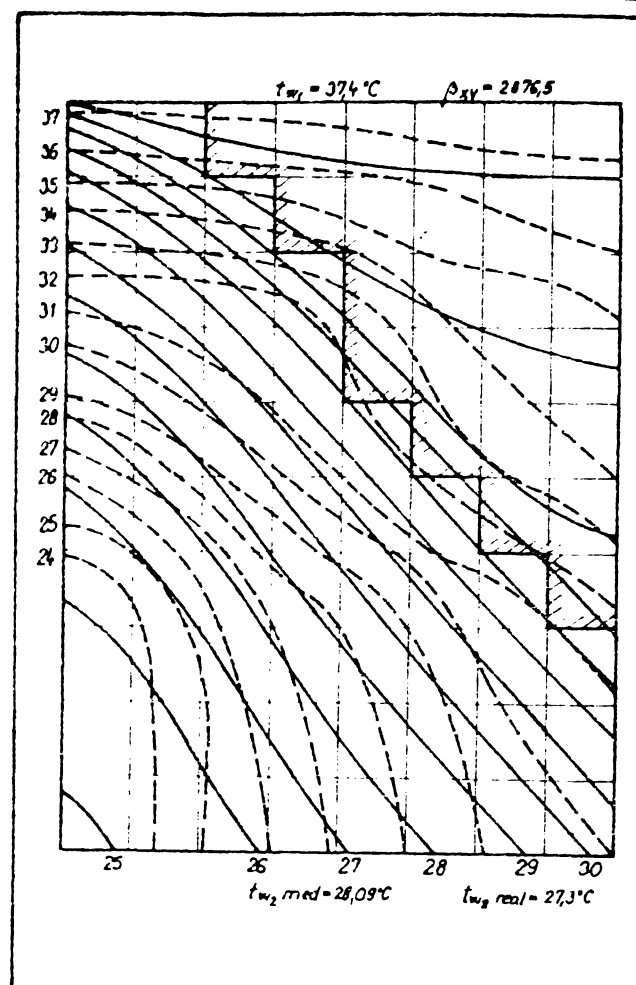


Fig. 20.

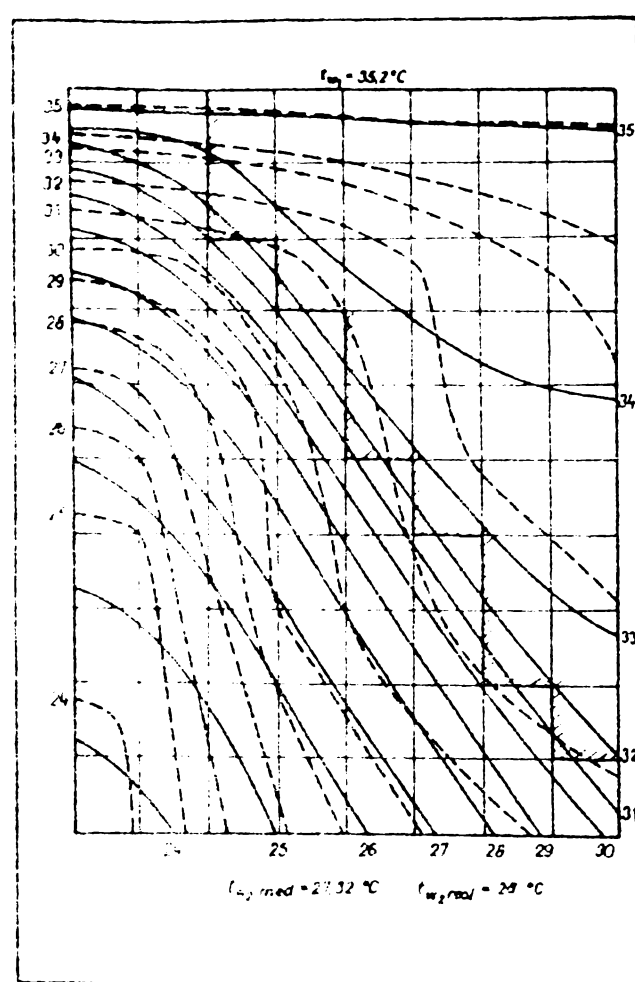


Fig. 21.

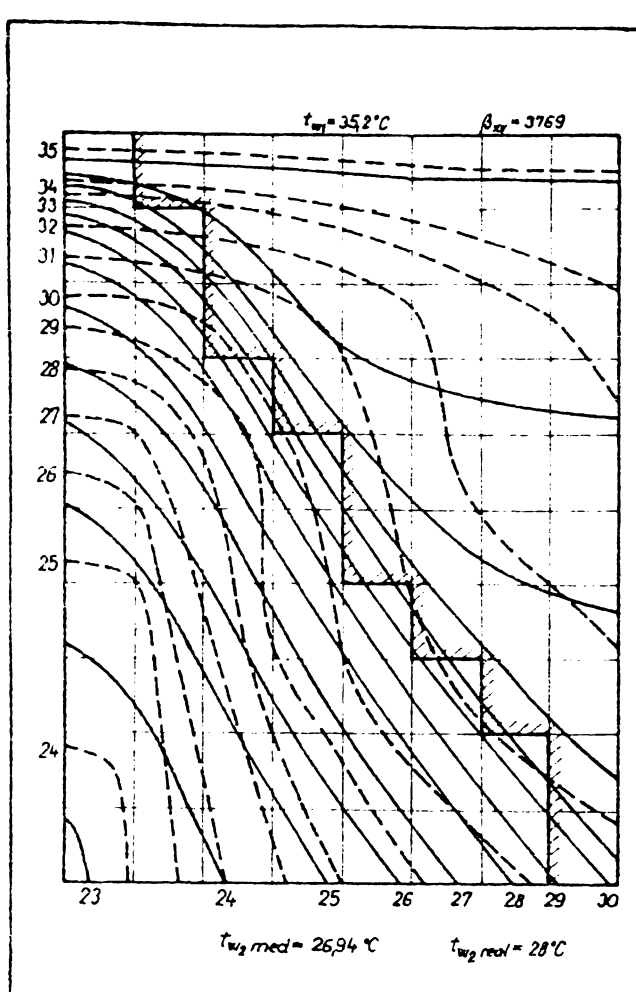


Fig. 22.

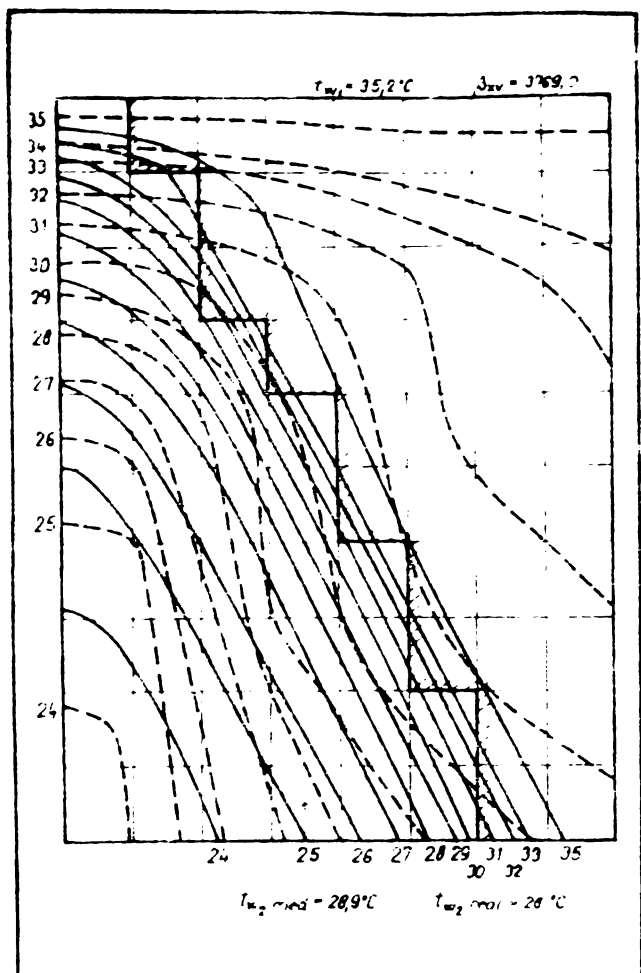


Fig. 23.

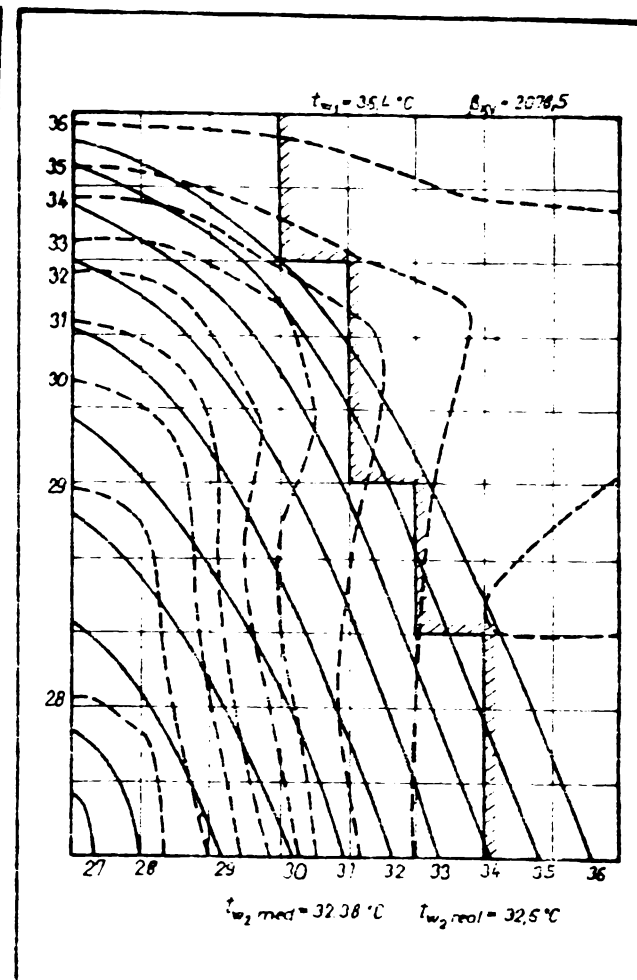


Fig. 24.

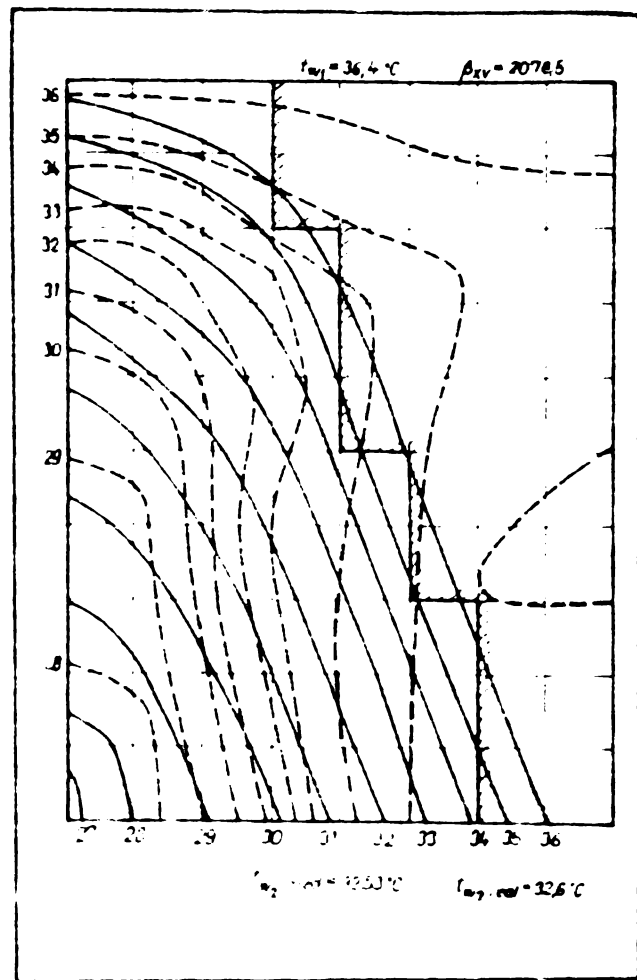


Fig. 25.

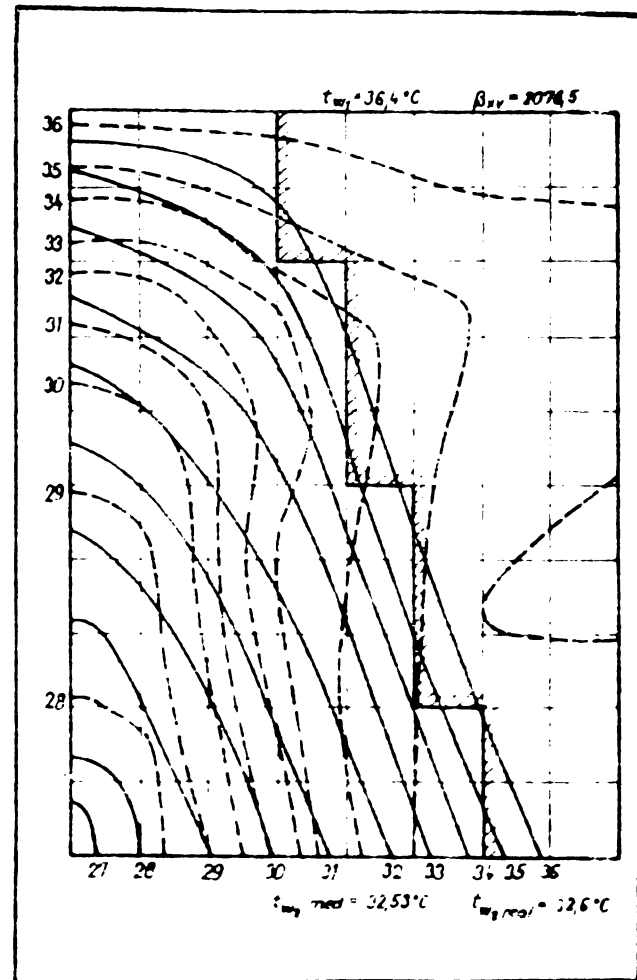


Fig. 26.

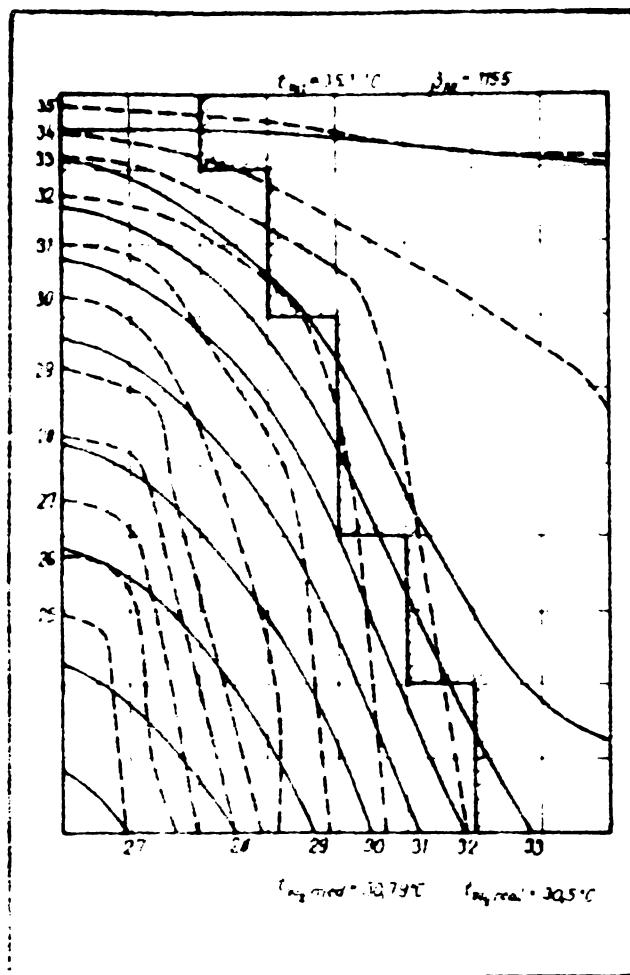


Fig. 27.

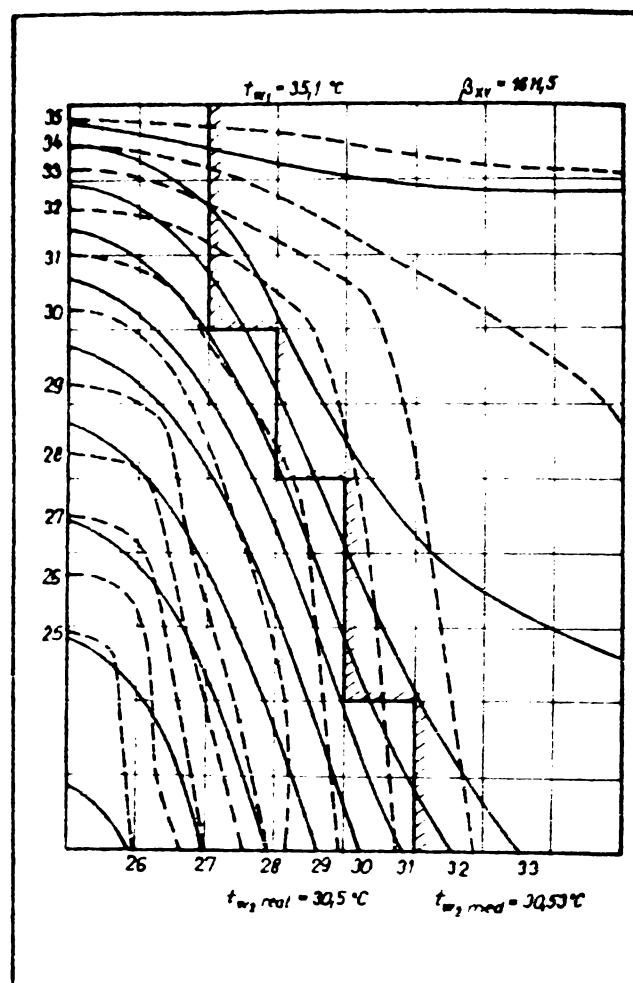


Fig. 28.

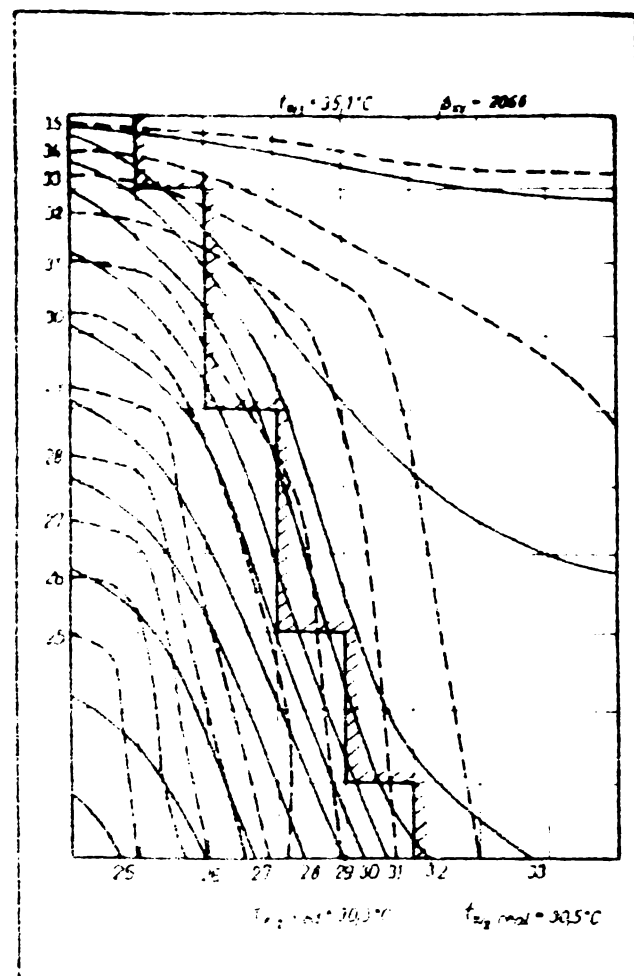


Fig. 29.

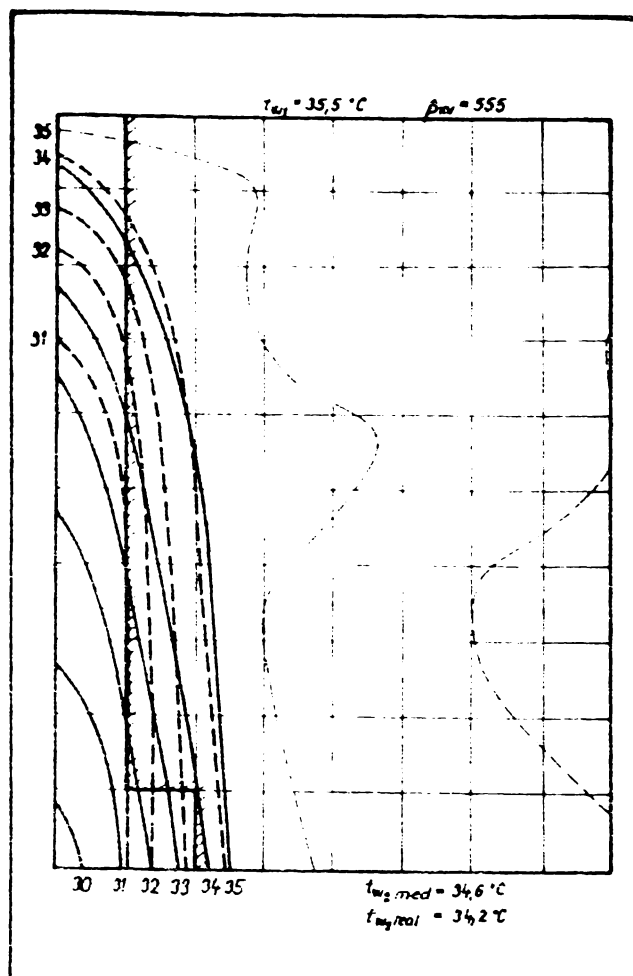


Fig. 30.

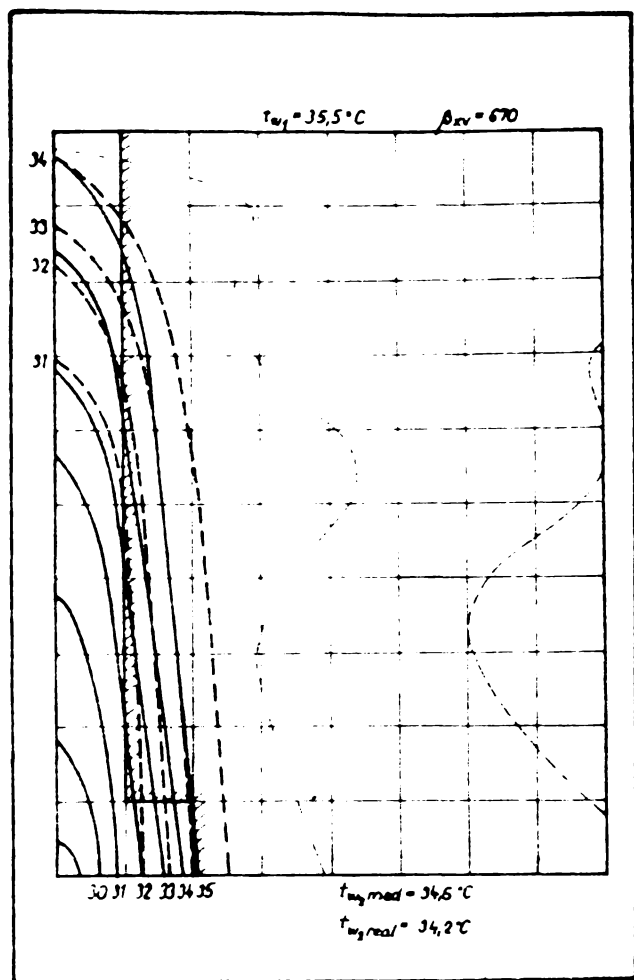


Fig.31.

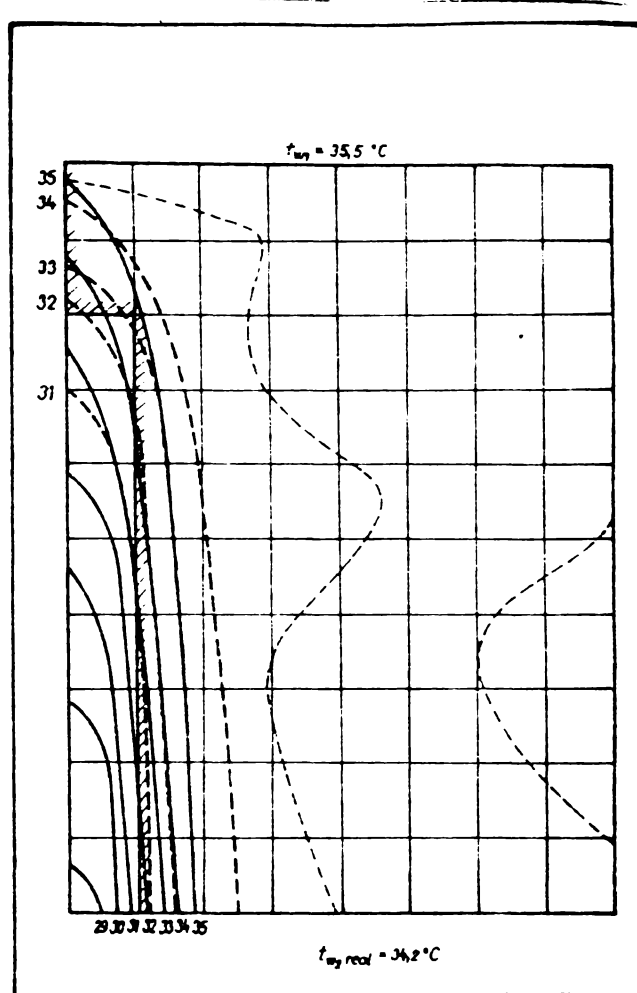


Fig.32.

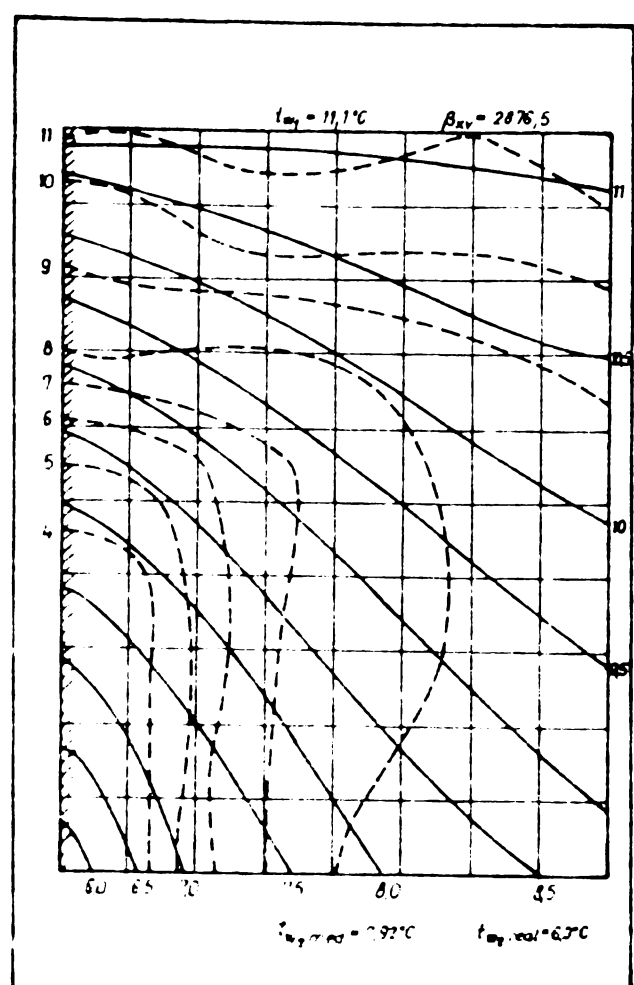


Fig.33.

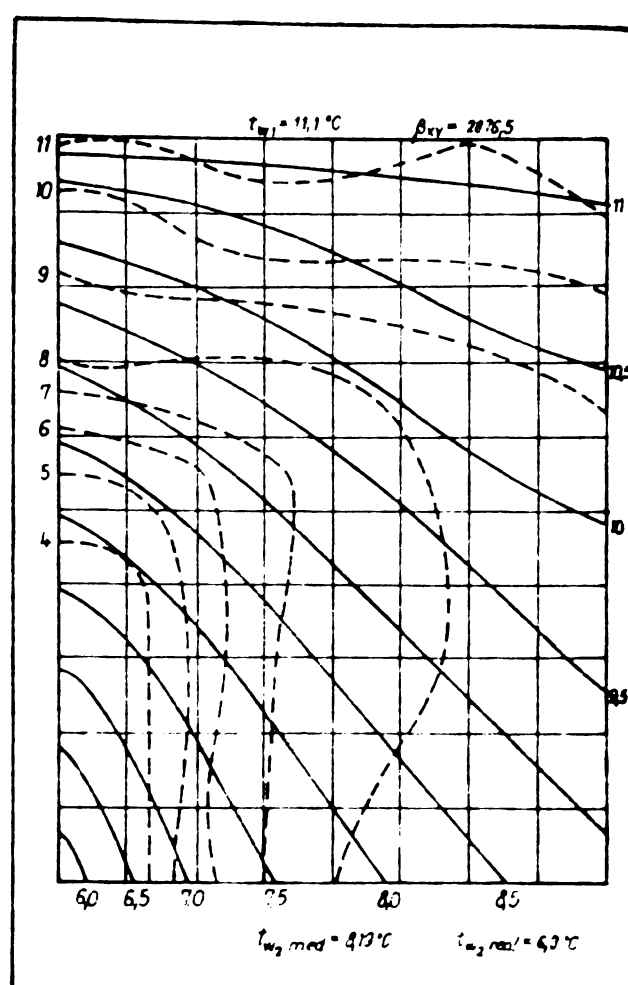


Fig.34.

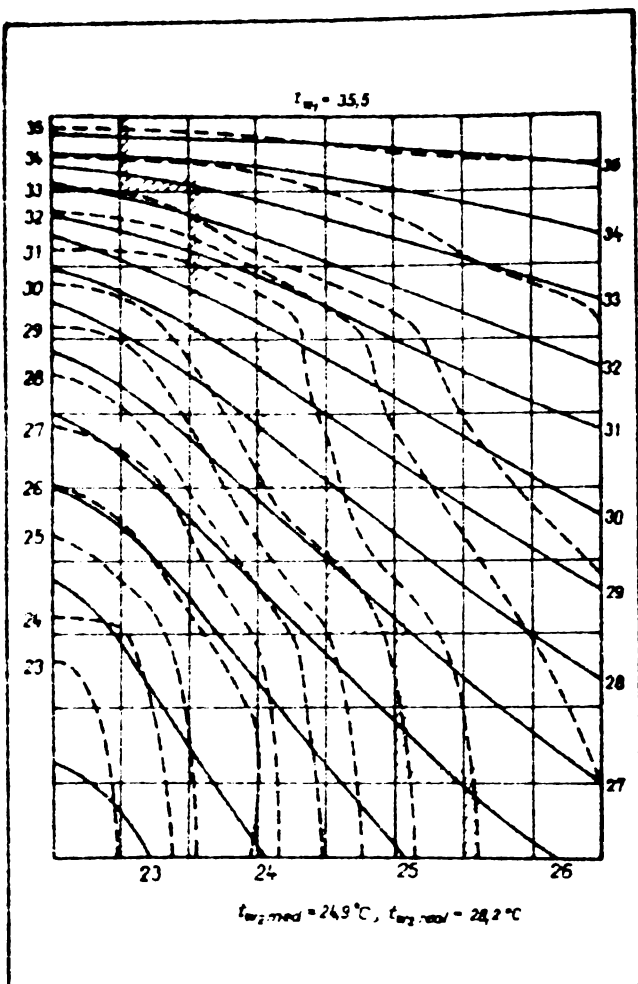


Fig.35.

aerului la intrare (fig.24, 25, 26), primele două-trei cuburi realizează o răcire puternică (izotermele sunt apropiate) și destul de verticale. După atingerea stării de saturatie răcirea se înrăutățește considerabil, devenind aproape nulă.

In diagrame, s-a separat zona stării nesaturate a aerului, de zona saturată prin o linie hașurată. Din acest moment, izotermele teoretice (obținute prin calcul) își modifică alură, răcirea înrăutățindu-se.

In figura 35 sunt trasate izotermele teoretice obținute prin calcul, prin considerarea acelorași ipoteze în domeniul suprasaturat ca și Poppe și Helfand. Izotermele se aseamănă foarte mult cu alură cu cele obținute de Poppe (vezi figura 11) însă nu prezintă nici o asemănare cu cimpul termic real. Ele au o alură total diferită de cele reale, în special în zona de saturatie, unde au aceeași alură ca și în zona nesaturată.

Considerarea urmăririi curbei de saturatie de către aer după atingerea stării de saturatie implică și acceptarea condensării umidității în exces. Este un proces nor-

Valorile calculate se suprapun destul de bine peste rezultatele experimentale ceea ce dovedește că ipotezele admise au fost corecte și anume raționamentul cu privire la influența factorului Lewis (vezi cap.8) și la modul de evoluție a stării aerului și apei în domeniul de suprasaturație.

Se remarcă în mod special faptul că la valori ale lui λ mari și la valori ridicate ale entalpiei

mal ce se poate remarcă în turnurile de răcire. Condensul produs însă, în cea mai mare parte este antrenat de către aer și evacuat din turn și în mai mică parte reintră în masa apei și contribuie la răcirea ei. Calculele pur teoretice pot ține cont de aceste variații, însă calculele practice aplicate unui turn de răcire nu pot ține seama de aceste speculații teoretice, cînd se neîljează de la bun început și cantitatea de apă antrenată mecanic cu aerul ce trece prin turn.

4. Utilizarea teoriei funcției ϕ în calculul practic al turnurilor de răcire în contracurent

4.1. Determinarea cifrelor de transfer la turn dat

Pentru determinările experimentale necesare studierii factorului Lewis, am amenajat standul turn de răcire în contracurent de tip monoplacă (vezi § 7.3.). Pentru prelucrarea datelor experimentale obținute pe acest stand, am pus la punct un program de calcul baza pe teoria corespunzătoare a funcției ϕ aplicată schimbului de căldură și substanță în contracurent. Atât acest program, cât și celealte elaborate în cadrul tezei au fost scrise în limbajul FORTRAN-IV și rulate pe ordinatorul FELIX C-256 de la Centrul de Calcul Electronic al Institutului Politehnic "Traian Vuia" Timișoara.

Se cunosc prin măsurători, următoarele mărimi (faza bilanțului general și a similarității cu turnurile de răcire mari):

- Δp_L - cădere de presiune pe diafragma de măsurare a debitului de aer [mm H₂O] ;
- M_w - debitul de apă [kg/s] ;
- t_{L1}, τ_{L1} - temperatura uscată și umedă a aerului la intrarea în stand [°C] ;
- t_{L2}, τ_{L2} - temperatura uscată și umedă a aerului la ieșirea din stand [°C] ;
- t_{w1}, t_{w2} - temperatura apei la intrarea, respectiv ieșirea din stand [°C].

Temperaturile apei le-am măsurat cu bună știință de la început doar în zona de intrare și în zona de ieșire, atât pentru a

putea pune la punct un program de calcul utilizabil pentru orice turn de răcire în contracurent, cît și pentru a putea determina numărul de puncte de măsurare intermediară a temperaturii apei.

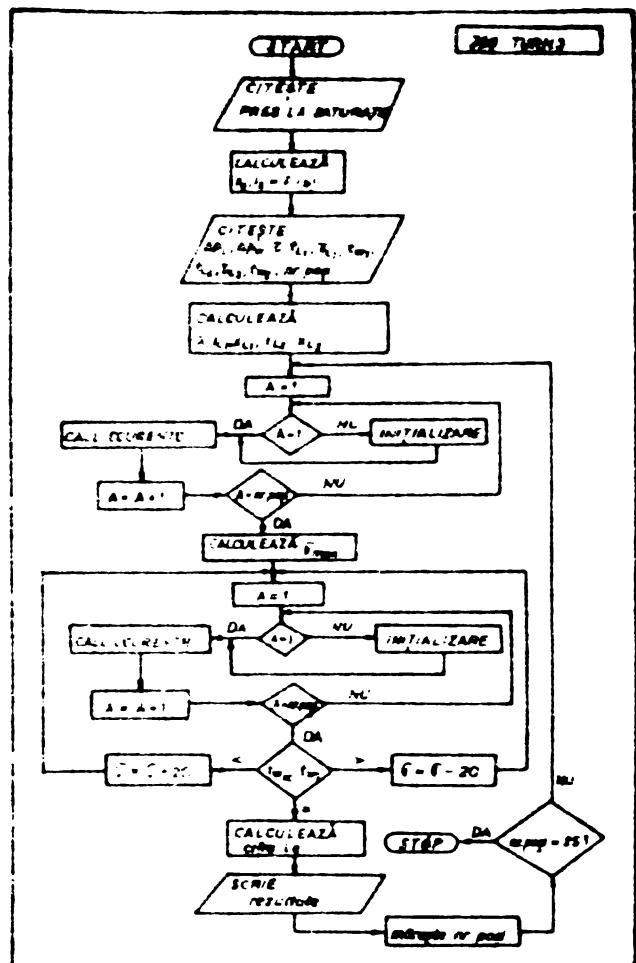


Fig. 36.

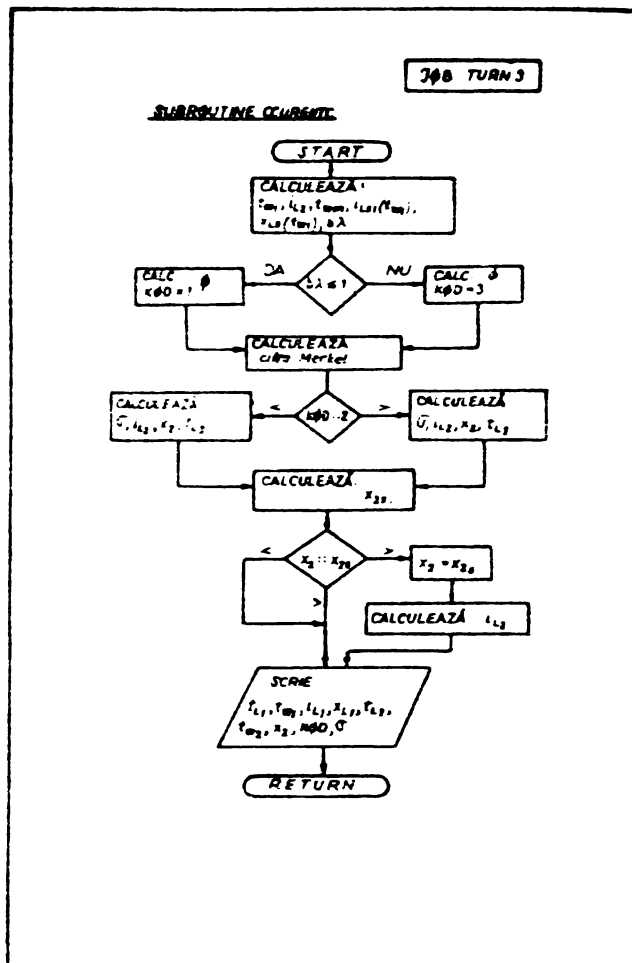


Fig. 37.

Programul de calcul denumit TURN 3 se bazează pe organigrammele corespunzătoare din figurile 36, 37 și 38. Presiunile la saturatie ale aerului se calculează cu formula:

$$\log p(t) = \log 1,03323-3142,305 \cdot \left(\frac{1}{273,16+t} - \frac{1}{373,16} \right) + \\ + 3,2 \log \frac{273,16}{273,16+t} - 0,0024804(100-t) \quad (192)$$

Pentru intervalul de temperaturi $l - 50^{\circ}\text{C}$, cu ajutorul cărora se tabelează valorile entalpiilor aerului la saturatie (i_s) și ale umidităților aerului la saturatie (x_s) pentru același interval de temperaturi, adică se tabelează curba de saturatie din diagrama $i-t$.

Pentru demararea calculului se introduce numărul de pași de integrare (plecîndu-se deobicei cu un pas), și crescînd apoi

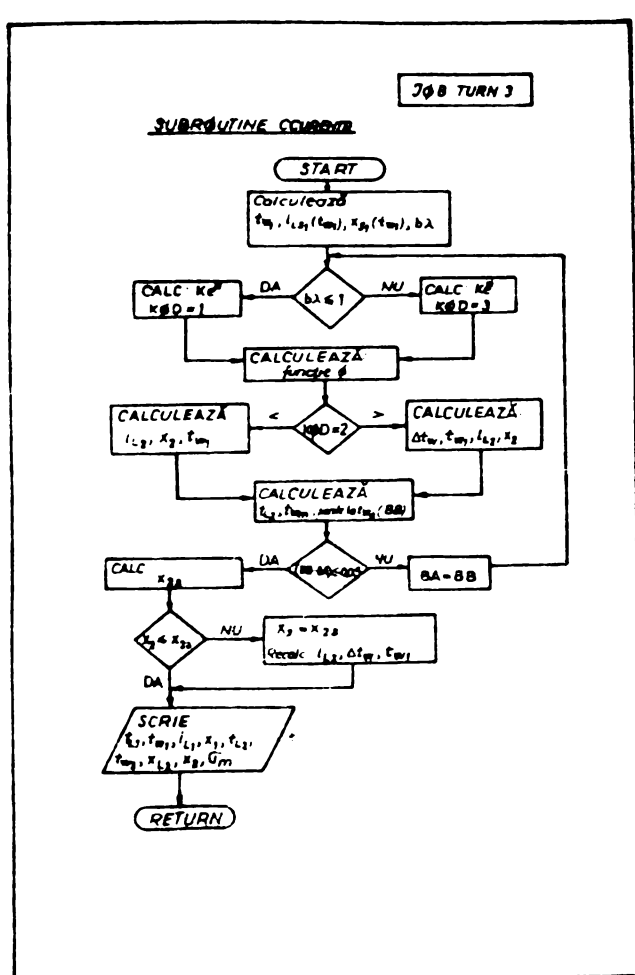


Fig.38.

La plecare ca valori cunoscute $(t_{L1})_1$, $(\tau_{L1})_1$ și $(t_{w2})_1$. Este și firească această alegere, deoarece temperatura apei la ieșire din turn poate fi măsurată cu mult mai mare precizie decât temperatură uscată și umedă a aerului la ieșirea din turn. În acest fel, prin calcul se execută și o verificare a corectitudinii citirilor acestor două temperaturi.

Calculul începe prin determinarea mărimilor caracteristice aerului: i_{L1} , x_1 , i_{L2} , x_2 , i_{s1}^+ și i_{s2}^+ . Panta curbei de saturatie b se determină pentru valoarea temperaturii medii a apei t_{wm} .

Pentru un calcul cu un număr de pași de integrare diferit de 1 se impune pentru început că răcirea apei este uniformă pe fiecare zonă de integrare:

$$(\Delta t_w)_n = (t_{w1} - t_{w2})/n \quad (193)$$

După cum rezultă valoarea produsului $b \cdot \lambda/c_w$, calculul se desfășoară după două directii (SUBROUTINE CCURINTC):

$$b \cdot \lambda/c_w < 1$$

$$b \cdot \lambda/c_w > 1$$

Se calculează valoarea funcției ϕ :

numărul de pași din 5 în 5, limitîndu-se în jurul la 25 de pași (figura 39).

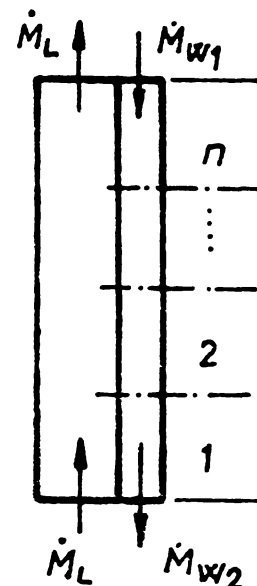


Fig.39. Impărțirea zonei de lucru în pași de integrare.

Tot calculul se efectuează de jos în sus, avînd

de jos în sus, avînd

de jos în sus, avînd

$$\phi = \frac{i_{L2} - i_{L1}}{i_{s1}^+ - i_{L1}} \quad \phi = \frac{b \cdot \Delta t_w}{c_w (i_{s1}^+ - i_{L1})} \quad (194)$$

iar apoi cifra de evaporare K_e^+ :

$$K_e^+ = \frac{\ln(1-\phi) - \ln(1 - \frac{b \cdot \lambda}{c_w} \phi)}{\frac{b \cdot \lambda}{c_w} - 1} \quad (195)$$

după care calculul se reia pe cele două direcții:

$$\bar{s} = \frac{K_e^+ \cdot M_L}{S} \quad \bar{s} = \frac{K_e^+ \cdot c_w \cdot w}{b \cdot S} \quad (196)$$

$$i_{L2} = i_{L1} + \phi (i_{s1}^+ - i_{L1}) \quad i_{L2} = i_{L1} + \Delta t_w / \lambda \quad (197)$$

$$x_2 = x_1 + \phi \cdot (x_{s1}^+ - x_1) \quad x_2 = x_1 + \frac{c_w}{b \cdot \lambda} \phi (x_{s1}^+ - x_1) \quad (198)$$

revenind la determinarea comună a temperaturii aerului la ieșire:

$$t_{L2} = (i_{L2} - 0,597 \cdot x_2) / (0,24 + 0,00046 \cdot x_2) \quad (199)$$

Pentru această valoare a lui t_{L2} se determină conținutul de umiditate la saturatie x_{s2} și se verifică dacă $x_2 > x_{s2}$? . Conform acceptării anterioare a urmăririi de către aer a curbei de saturatie după stingerea stării de saturatie, dacă $x_2 > x_{s2}$ se admite $x_2 = x_{s2}$ și se recalculează entalpia aerului:

$$i_{L2} = 0,24 \cdot t_{L2} + x_{s2} \cdot (0,597 + 0,00046 \cdot t_{L2}) \quad (200)$$

Este și normal, dacă calculul s-a făcut pentru n pași, s-au determinat n valori ale coeficientului de schimb de substanță \bar{s} , din care valori se calculează o valoare medie \bar{s}_m .

Cu această valoare medie se reia calculul, impunând-o pentru fiecare pas de integrare și determinând astfel răcirile reale ale aerului pe fiecare pas de integrare. Acest calcul (SUBROUTINE CCURRNT) se demarează prin acceptarea inițială a aceleiași răciriri (Δt_w)_n date de relația (193), deci având temperatura de intrare a aerului în zonă:

$$(t_{wl})_n = (t_{w2})_n + (\Delta t_w)_n \quad (201)$$

Calculul are loc tot după două direcții date de valoarea

lui $b \cdot \lambda / c_w$:

$$\frac{b \cdot \lambda}{c_w} < 1 \quad \frac{b \cdot \lambda}{c_w} > 1$$

$$K_e^+ = \frac{\bar{V} \cdot S}{\dot{M}_L} \quad K_e^+ = \frac{\bar{V} \cdot b \cdot S}{\dot{M}_w} \quad (202)$$

revenind însă la:

$$\emptyset = \frac{\frac{\bar{V} \cdot S}{\dot{M}_L} (\frac{b \cdot \lambda}{c_w} - 1)}{\frac{\bar{V} \cdot S}{\dot{M}_w} (\frac{b \cdot \lambda}{c_w} - 1)} \quad (203)$$

$$1 - \frac{b \cdot \lambda}{c_w} e^{\frac{\dot{M}_L}{\dot{M}_w}}$$

și apoi:

$$i_{L2} = i_{L1} + \emptyset (i_{sl}^+ - i_{L1}) \quad \Delta t_w = \frac{c_w}{b} \emptyset (i_{sl}^+ - i_{L1}) \quad (204)$$

$$x_2 = x_1 + \emptyset (x_{sl}^+ - x_{L1}) \quad t_{wl} = t_{w2} + \Delta t_w \quad (205)$$

$$t_{wl} = t_{w2} + \lambda (i_{L2} - i_{L1}) \quad i_{L2} = i_{L1} + \Delta t_w / \lambda \quad (206)$$

$$x_2 = x_1 + \frac{c_w}{b \cdot \lambda} \emptyset (x_{sl}^+ - x_1) \quad (207)$$

calculîndu-se apoi temperatura aerului la ieșire:

$$t_{L2} = (i_{L2} - 0,597 \cdot x_2) / (0,24 + 0,00046 \cdot x_2) \quad (208)$$

$$t_{wm} = (t_{wl} + t_{w2}) / 2$$

Panta b calculată pentru temperatura medie t_{wm} se compară cu cea calculată la început pentru $(t_{wl})_n$ și se reia calculul pînă se atinge eroarea acceptată de 0,02. Cu consideren-tele stării de saturatie se calculează în final răcirea apei:

$$(\Delta t_w)'_n = (i_{L2} - i_{L1})_n \cdot \lambda \quad (209)$$

Se compară această valoare cu cea impusă arbitrar și se reia calculul pînă la intrarea în domeniul de eroare stabilit de 0,05 °C.

In final se verifică temperatura apei de intrare în turn t_{wl} măsurată cu cea obținută în calcule și se acționează asupra coeficientului \bar{V} pînă cînd eroarea de calcul este sub 0,2 °C.

Bazat pe aceeași organigramă am generalizat programul descris mai sus pentru cazul unui turn real (TURC) (și deci cu prelucrare globală a mărimilor experimentale), care în acest caz este mai simplu, limitîndu-se la prima subrutină (vezi anexa).

4.2. Determinarea parametrilor apei și aerului la ieșirea din turn, în cazul calculului de proiectare.

Bazat pe determinările experimentale de laborator ale coeficientului volumic de schimb de substanță β_{xv} se poate trece facil la proiectarea unui turn de răcire în contracurent. Este vorba, de fapt, de determinarea parametrilor apei și aerului la ieșirea din turn, pentru niște condiții impuse (debite și temperaturi la intrare).

Calculul se bazează pe programul expus, programul sursă fiind cel de la programul TURC, în care se include și subrutina CCURRENT, avîndu-se în vedere că nu mai este necesar un calcul prin pași de integrare.

5. Utilizarea teoriei funcției \emptyset , în calculul practic al turnurilor de răcire în curent încrucisat.

Că și în cazul contracurrentului și la curentul încrucisat se evidențiază cele două cazuri de calcul:

- calculul de determinare a cifrelor de transfer pe baza rezultatelor experimentale și

- calculul de determinare a performanțelor unui turn pentru o umplutură dată, deci un β_{xv} dat.

Aceste două cazuri se completează cu problema, uneori spinoasă a traducerii unor cifre de transfer determinate pentru un tip de umplutură pe un stand de laborator, la dimensiunea reală a umpluturii turnului de răcire.

In paragrafele ce urmează sunt discutate atît metodicele de calcul pentru cele două cazuri, cît și transpunerea rezultatelor experimentale pe turn real.

5.1. Determinarea cifrelor de transfer la turn dat

Aceste programe - este vorba de două programe de calcul -

vizează tocmai determinarea cifrelor de transfer pe baza rezultatelor experimentale, obținute pe standul pilot existent la Catedra de Termotehnică și Mașini termice din Timișoara.

Primul program, denumit TINCR consideră întreg standul ca un element de volum dintr-un disperzor real, deci este cazul unui singur pas de integrare, după schița din fig.40. Organigramă programului este redată în fig.41.

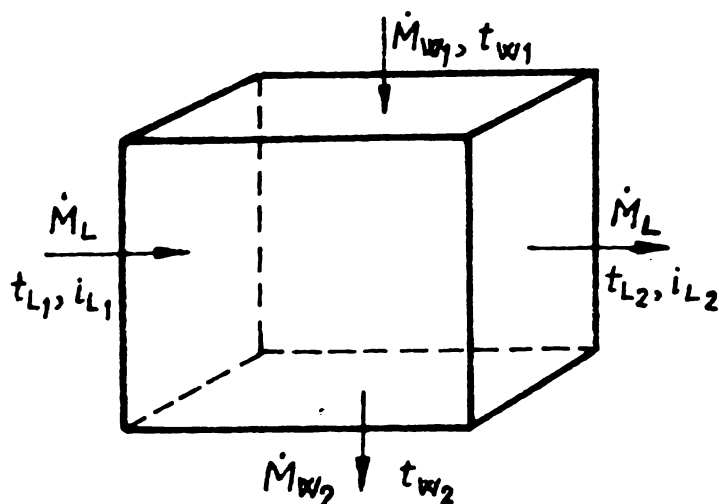


Fig.40. Schema de calcul a turnului de răcire pilot.

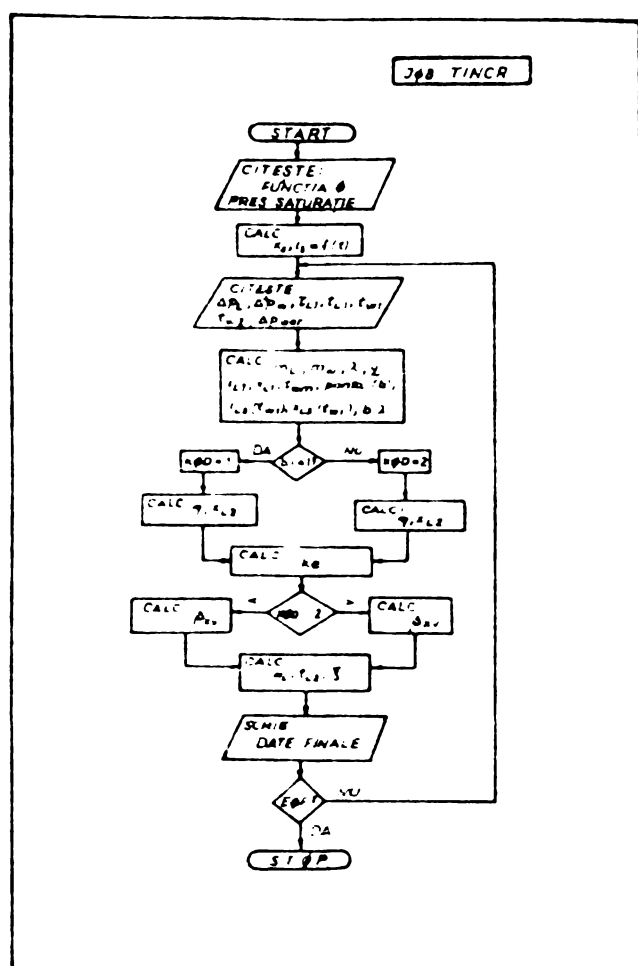


Fig.41.

Cunoascind răcirea apel: $\Delta t_w = t_{w1} - t_{w2}$ se determină entalpia

Se introduc ca și date primare: curba de saturatie a aerului în diagrama $i-t$ ($i_s, x_s = f(t_L)$), cît și diagrama de variație a funcției ϕ ($\phi = f(K_e, \frac{b \cdot \lambda}{c})$).

Apoi, pentru fiecare experimentare se introduc mărurile măsurate:

$\Delta P_L, \Delta P_w$ - cădere de presiune pe diafragma de măsurare a debitului de aer, respectiv de apă;

t_{L1}, τ_{L1} - temperatura uscată și umedă a aerului la intrare;

t_{w1}, t_{w2} - temperatura apel la intrare, respectiv ieșire;

ΔP_{st} - căderea de presiune statică a aerului pe lungimea instalației.

Se calculează debitele de apă și de aer:

$$\dot{M}_L = 773,2 \cdot \sqrt{\Delta P_L} \quad (210)$$

$$\dot{M}_w = 1258,424 \sqrt{\Delta P_w} \quad (211)$$

apoi se determină parametrii aerului la intrare i_{L1} și x_1 .

aerului la ieșire:

$$i_{L2} = i_{L1} + \Delta t_w / \lambda \quad (206)$$

Pentru temperatura medie a apei t_{wm} se determină panta curbei de saturatie b. Calculul se împarte funcție de valoarea produsului $b \cdot \lambda / c_w$

$$\frac{b \cdot \lambda}{c_w} \leq 1$$

$$\frac{b \cdot \lambda}{c_w} > 1$$

$$\phi = \frac{i_{L2} - i_{L1}}{i_{sl}^+ - i_{L1}}$$

$$\phi = \frac{b \cdot \Delta t_w}{c_w \cdot (i_{sl}^+ - i_{L1})} \quad (194)$$

$$x_2 = x_1 + \phi \cdot (x_{sl}^+ - x_1)$$

$$x_2 = x_1 + \frac{\phi}{b \cdot \lambda} (x_{sl}^+ - x_1) \quad (198)$$

determinindu-se apoi cifra de evaporare K_e^+ din diagrama $\phi = \phi(K_e, \frac{b \cdot \lambda}{c_w})$.

Cunoșindu-se cifra de evaporare se determină coeficientul volumic de schimb de masă β_{xv} :

$$\beta_{xv} = \frac{K_e^+ \cdot \dot{M}_L}{V}$$

$$\beta_{xv} = \frac{K_e^+ \cdot \dot{M}_w}{b \cdot V} \quad (212)$$

și temperatura aerului la ieșire:

$$t_{L2} = (i_{L2} - 0,597 \cdot x_2) / (0,24 + 0,00046 \cdot x_2) \quad (199)$$

Coefficientul de pierderi de presiune se determină cu formula:

$$\zeta = \frac{18,62 \cdot \Delta p_{st}}{1,16 \cdot w_L^2} \quad (213)$$

Pentru a îmbunătăți rezultatele obținute, s-a împărțit turbul de răcire pilot în trei fisi verticale și trei orizontale, care determină deci nouă volume elementare fig.42. S-au determinat experimental temperaturile la ieșire din fiecare zonă verticală, pentru a se putea verifica acuratețea rezultatelor.

Organograma programului de calcul denumit EXPER este dată în fig. 43, fig.44 și fig.45. Asemănător cu programul TINCR, se introduce mai întîi curba de saturatie a aerului și diagrama $\phi = f(K_e, \frac{b \cdot \lambda}{c_w})$ tabelată. Apoi mărimile determinate experimen-

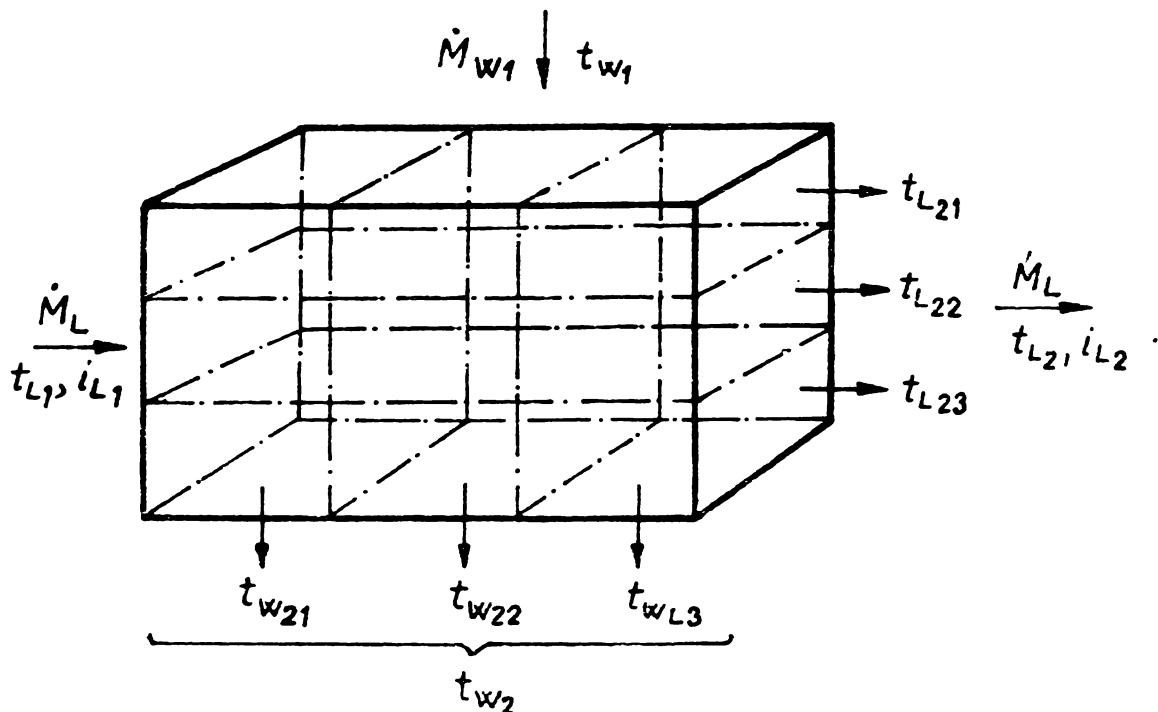


Fig. 42. Schema de calcul a turnului de răcire pilot.

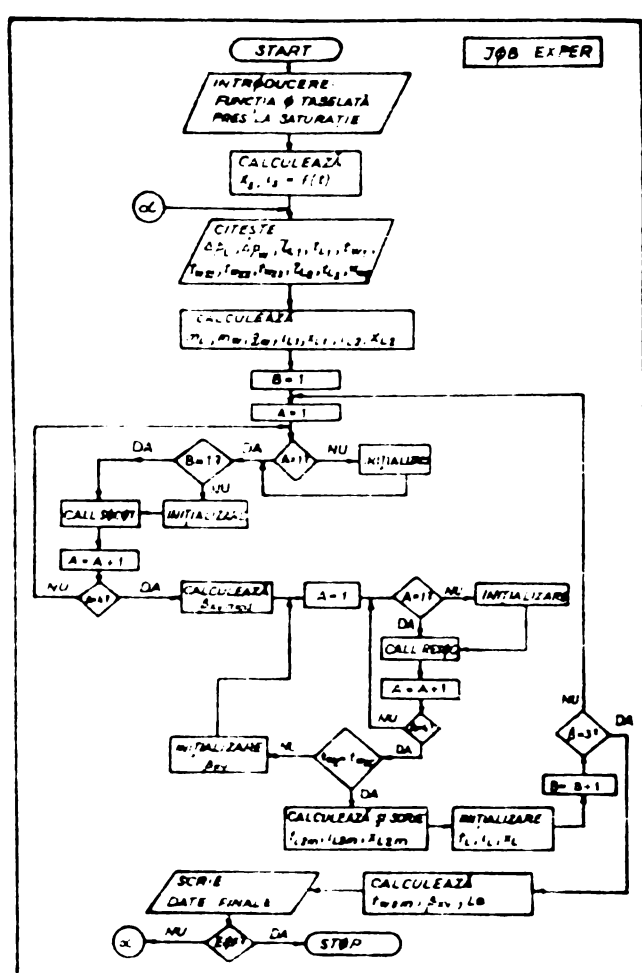


Fig. 43.

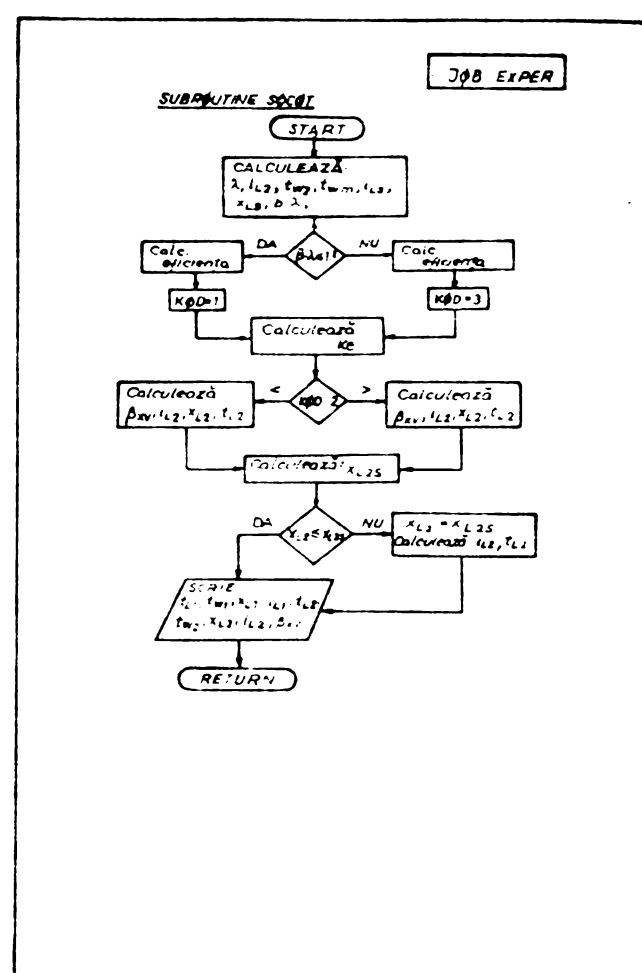


Fig. 44.

Val:

$$\left. \begin{array}{l} \Delta p_L, \Delta p_w \\ t_{L1}, \tau_{L1} \\ t_{L2}, \tau_{L2} \\ t_w \end{array} \right\}$$

(notății utilizate și anterior)

$t_{w21}, t_{w22}, t_{w23}$ - temperaturile apei la ieșire din cele trei zone verticale.

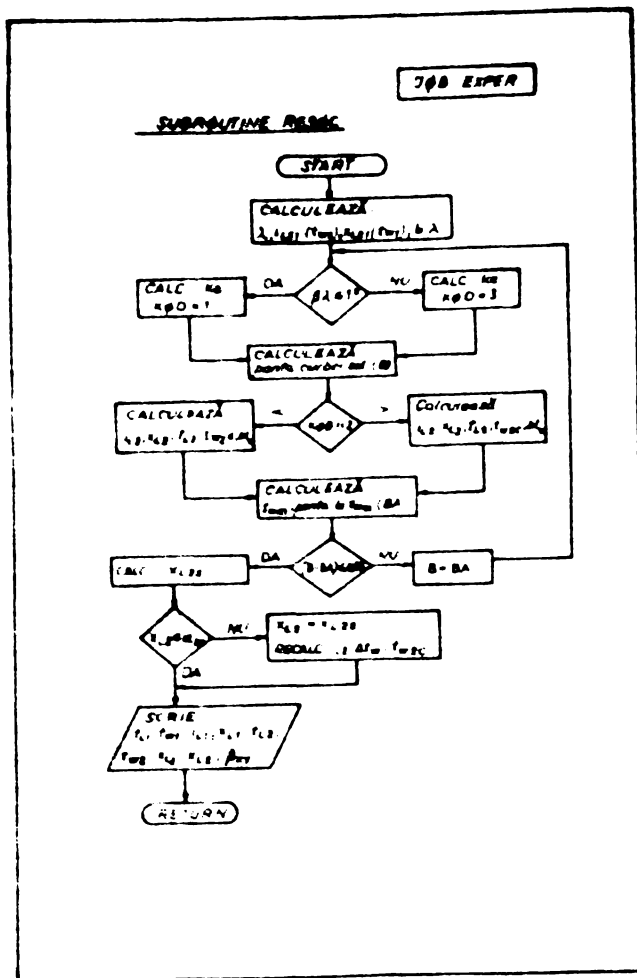


Fig.45.

În răsărit de la t_{wm} se scoate panta curbei de saturatie b , iar pentru t_{w1} $\rightarrow i_{sl}^+$ și x_{sl}^+ . Funcție de produsul $b \cdot \lambda / c_w$ se calculează în continuare (SUBROUTINE SP0C0T) :

$$\frac{b \cdot \lambda}{c_w} \leq 1$$

$$\frac{b \cdot \lambda}{c_w} > 1$$

- funcția \emptyset cu relațiile (194)
- conținutul de umiditate x_2 (198)
- coeficientul volumic de schimb de masă β_{xv} (212)
- entalpia aerului la ieșire i_{L2} (197)
- temperatura aerului t_{L2} (199)

După ce s-a determinat x_{s2} la temperatura t_{L2} , se compară $x_2 \geq x_{s2}$? Pentru $x_2 > x_{s2}$ se admite $x_2 = x_{s2}$ și se calculează entalpia aerului i_{L2} (200).

După ce s-au calculat cele trei cuburi ale unei fisi, se calculează media valorilor $(\beta_{xv})_n$ obținute:

$$\beta_{xv} = \frac{\sum (\beta_{xv})_n}{3} \quad (215)$$

și cu această valoare se reia calculul, presupunindu-se cunoscută acuma valoarea lui β_{xv} și necunoscute stările la ieșire ale apei și aerului (SUBROUTINE RESOC).

Se determină panta b a curbei de saturatie pentru t_{wn} , cît și i_{sl}^+ și x_{sl}^+ . Funcție de valoarea produsului $b \cdot \lambda / c_w$ se calculează:

$$\begin{aligned} \frac{b \cdot \lambda}{c_w} &\leq 1 & \frac{b \cdot \lambda}{c_w} &> 1 \\ K_e^+ &= \frac{\beta_{xv} \cdot v}{\dot{M}_L} & K_e^+ &= \frac{\beta_{xv} \cdot b \cdot v}{\dot{M}_w} \end{aligned} \quad (216)$$

și din tabela $\emptyset = \emptyset(K_e, b \cdot \lambda / c_w)$ se interpolează valoarea funcției \emptyset . În continuare:

$$i_{L2} = i_{L1} + \emptyset(i_{sl}^+ - i_{L1}) \quad \Delta t_w = \frac{1}{b} \emptyset(i_{sl}^+ - i_{L1}) \quad (204)$$

$$x_2 = x_1 + \emptyset(x_{sl}^+ - x_1) \quad t_{w2} = t_{wl} - \Delta t_w \quad (217)$$

$$t_{w2} = t_{wl} - \lambda \cdot (i_{L2} - i_{L1}) \quad i_{L2} = i_{L1} + \Delta t_w / \lambda \quad (218)$$

$$\Delta t_w = t_{wl} - t_{w2} \quad x_2 = x_1 + \frac{\emptyset}{b \cdot \lambda} (i_{sl}^+ - i_{L1}) \quad (219)$$

precum și temperatura aerului t_{L2} (199), iar pentru t_{wm} panta b. La fel, calculul se refac pentru diferențe prea mari între valoarea lui b admisă și cea calculată, apoi se compară x_2 cu x_{s2} și se aplică aceleasi corective.

Dacă valoarea temperaturii apei la baza fișiei diferă de cea calculată sub $\pm 0,2^\circ C$, calculul se consideră corect. Dacă nu, în funcție de sensul abaterii, se mărește sau se micșorează β_{xv} și se refac al doilea calcul.

Cînd s-a intrat la toate cele trei fișii în zona de eroare admisibilă, se fac mediile temperaturii, entalpiei și umidității aerului pentru afișare. În final, se calculează valoarea medie a lui β_{xv} pentru întregul turn.

Cu ajutorul programului de calcul denumit ANALITIC am atacat problema transpunerii cifrelor de transfer β_{xv} obținute pe model, la instalația reală. și anume cifra β_{xv} obținută prin calcul anterior (JOB EXPER) a fost aplicată aceluiasi stand însă împărțit acumă în 196 cuburi elementare.

Organigramma programului de calcul este dată în fig.46.

Mersul calculului este similar cu cel parcurs la JØB-ul anterior (SUBROUTINE RESØC) cu diferență că este parcurs succesiv de 14 ori. După ce s-au calculat toate cele 196 de volume se face media temperaturilor apei obținute la cele 14 fișii și se compară cu valoarea reală măsurată. Pentru abateri peste $\pm 0,2^{\circ}\text{C}$ se reface calculul cu un β_{xv} modificat cu ± 25 .

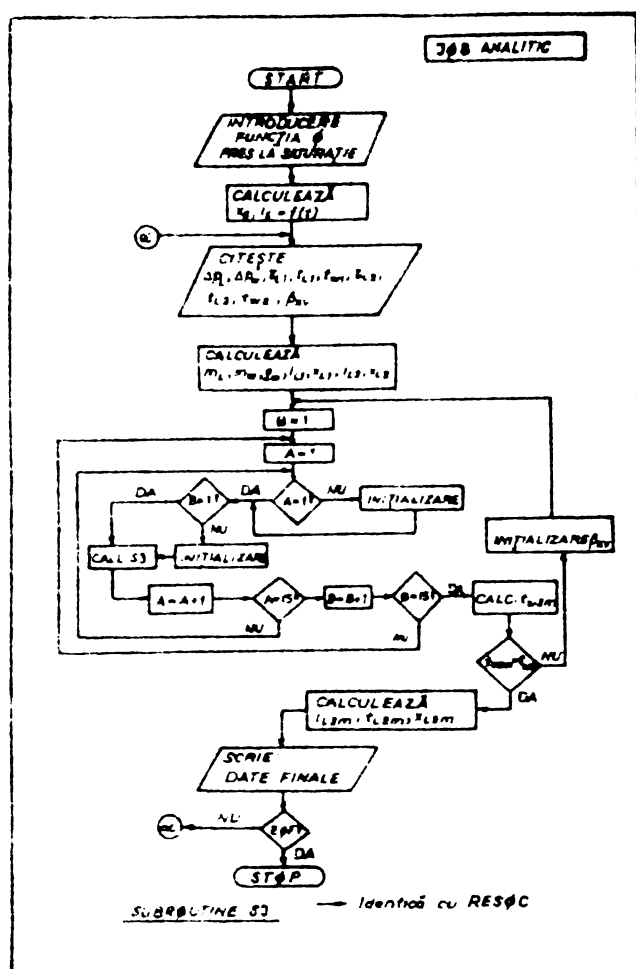


Fig.46.

Din rularea a multe exemple de calcul s-a văzut că transpunerea de pe model pe instalație nu necesită modificări substanțiale a cifelor de transfer obținute, aceasta în ipoteza păstrării similitudinii geometrice și termice (vezi § 7.2).

5.2. Determinarea parametrilor apei și aerului la ieșire, în cazul proiectării turnului

Cunoscîndu-se tipul de umplutură (β_{xv}) și impunîndu-se parametrii aerului la intrarea în turn (t_{L1}, τ_{L1}), viteza aerului la secțiunea de intrare (w_L) și densitatea de stropire ($\dot{\varrho}_w$), se calculează parametrii la ieșire a apei și aerului. Se consideră decur un sector inelar din turnul considerat (Programul este denumit TURN 1). Acest sector se împarte în zece zone pe rază și de acmenea în zece zone pe înălțime, ca în fig.47.

Ca la programele anterioare se introduce tabelată curba de saturatie a aerului și funcția \emptyset . Pentru fiecare zonă de calcul se determină lățimea respectivă:

$$l(a, b) = l(a, b-1) - 0,08 \cdot g \quad (220)$$

și corespunzător viteza aerului:

$$w_L(a, b) = w_L(a, b-1) \cdot \frac{(a, b-1)}{(a, b)} \quad (221)$$

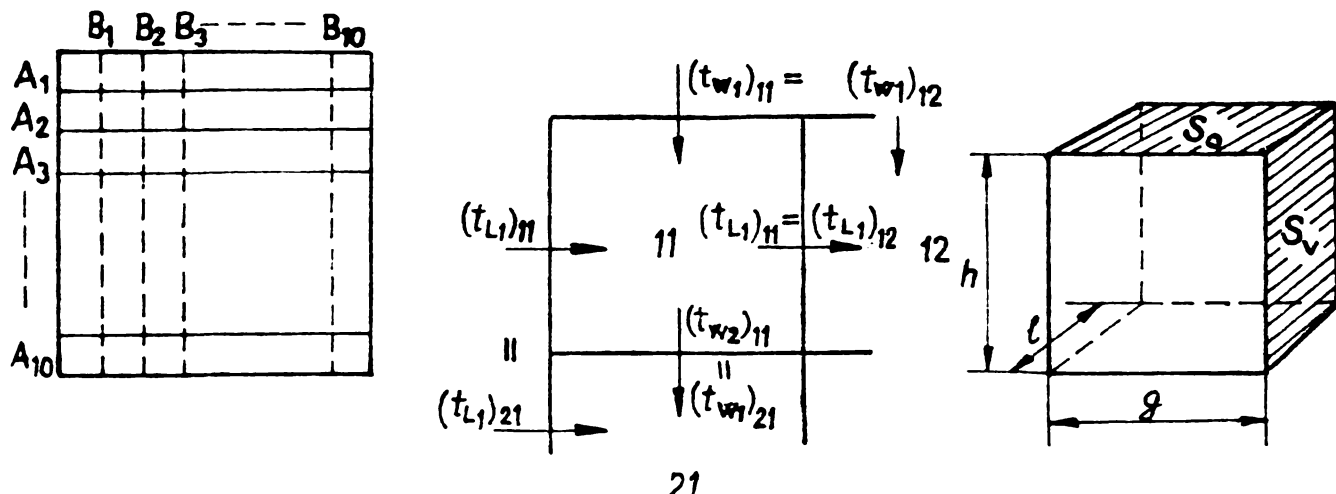


Fig.47. Modelul de calcul al turnului de răcire.

In acest program , fig.48, s-a prevăzut și urmărirea influenței factorului Lewis, efectuindu-se toate calculele pentru $\frac{P}{\alpha} = 1 + 1,35$. Întrucît și acest program a făcut parte dintr-un contract de colaborare cu ICEMENERG - București, verificarea programului făcîndu-se pe baza rezultatelor experimentale puse la dispoziție de beneficiar, s-a prevăzut o variație a coeficientului β_{XV} pentru a acoperi zona de valori obținută prin determinări pe stația pilot. S-a considerat o variație:

$$\beta_{XV} = c \cdot w_L + d \quad (222)$$

unde: $c = 500$; 775 ; 1050
 $d = 325$

Se calculează mai întîi debitul de aer \dot{M}_L (SUB-TIME SL, fig.48)

$$\dot{M}_L = \rho_L \cdot S_v \cdot w_L \cdot 3600 \quad [\text{kg/h}] \quad (223)$$

debitul de apă: $\dot{M}_W = \rho_w \cdot S_c \cdot \dot{q}_w \quad [\text{kg/h}] \quad (224)$

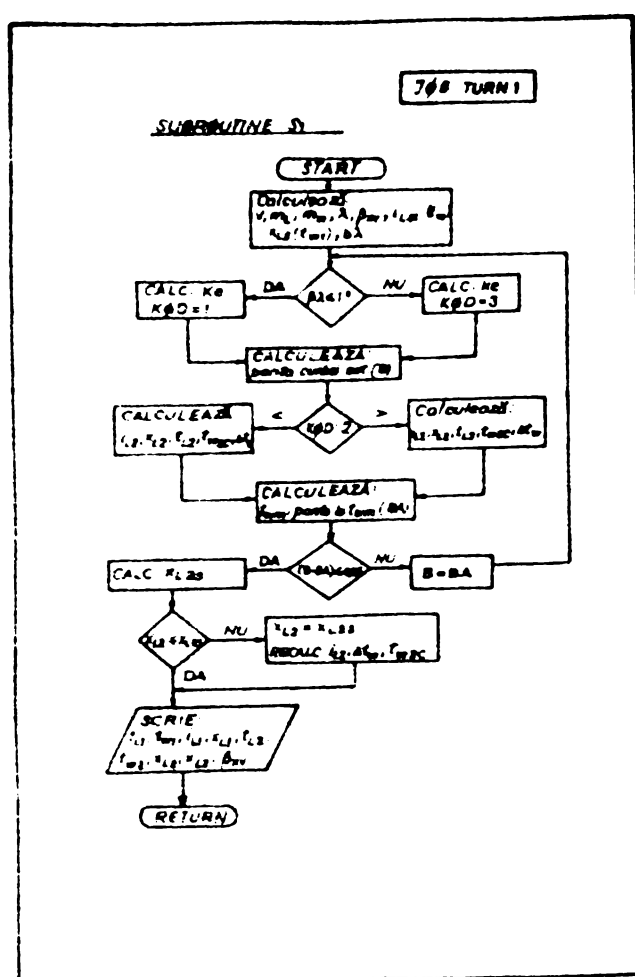


Fig.49.

In cazul calculelor prezentate pînă acuma, s-a considerat că starea de suprasaturație este un fenomen instabil, admitîndu-se doar starea de saturăție a aerului din momentul atingerii curbei de saturăție. Pentru a se verifica și alte ipoteze, în spînă ipoteza Helfand prin care în domeniul suprasaturației este valabilă aceeași răcire Δt_w ca și în domeniul nesaturat, modificîndu-se temperatura aerului în sensul creșterii sale și variația continutului de umiditate în sensul scăderii sale, s-a modificat programul TURN 1 în sensul celor spuse, rezultînd programul TURN 2 cu aceeași organigramă (fig.48).

La finele programului, cînd se compară x_2 cu x_{s2} se admite în cazul $x_2 > x_{s2}$ o scădere a lui Δx : $x_2' = x_2 - l$ și se recalculează temperatura aerului t_{L2} (199).

6. Comparație cu alte metode de calcul.

6.1. Metoda Merkel (rezolvare Spangemacher)

Rezolvarea ecuației lui Merkel de către Spangemacher [48] este încă mult utilizată la calculul turnurilor de răcire în con-trucent. Rezultatele experimentale obținute pe diferite tipuri

și debitul specific de aer λ . Pentru temperatura t_{w1} se calculează i_{sl}^+ , x_{sl}^+ și b .

Din nou calculul urmează două căi, funcție de $b \cdot \lambda / c_w$; cu ajutorul relațiilor (216)... ... (219). Nou acuma este faptul că se introduce influența factorului Lewis modificînd conținutul de umiditate final:

$$x_2' = x_1 + L_e \cdot (x_2 - x_1) \quad (225)$$

și cu acest x_2' se calculează temperatura aerului t_{L2} (199). Pentru t_{wm} se determină panta b și se compară cu cea acceptată în calcul. Se determină x_{s2} la temperatura t_{L2} , iar apoi se continuă calculul cu formulele (200), (209).

de umpluturi clasice (plăci din azbociment) în perioada 1966-1973 au fost prelucrate cu ajutorul acestei metode, primul program de calcul fiind pe larg discutat în lucrarea [24]. Ulterior, programul s-a mai îmbunătățit, ultima variantă utilizată fiind denumită TURC. Organograma este asemănătoare celei din [24], iar listingul este dat în anexă.

Acest calcul dă rezultate destul de bune, întrucât diminuează din ipotezele simplificatoare care au generat ecuația Merkel și rezolvarea ei. Are însă dezavantajul că nu-și pune problema saturării aerului și rezolvării ecuațiilor de schimb de căldură și de substanță pentru această zonă.

6.2. Metoda Berman

Mai corect spus, se face o comparație față de două metode propuse de Perman. Prima, utilizată de Suhov [50] în calculul turnurilor de răcire în curent încrușit a generat programul denumit LFWIS (organograma din fig.50).

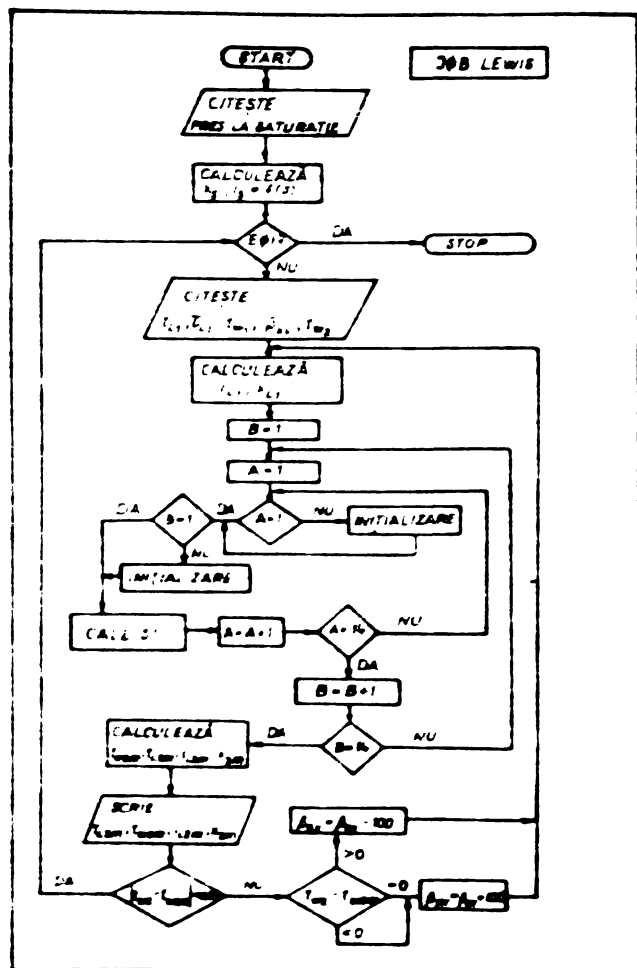


Fig.50.

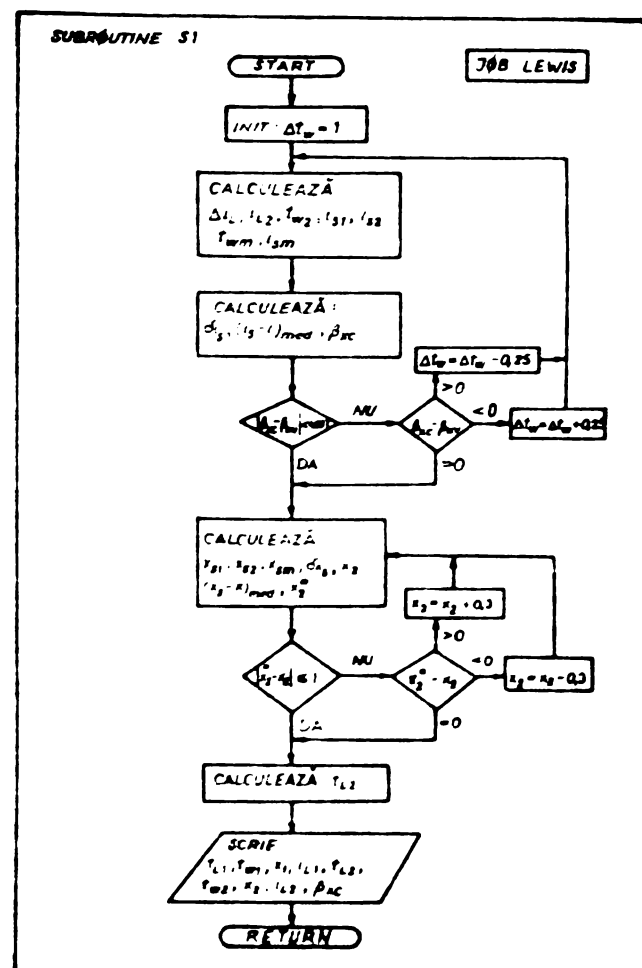


Fig.51.

După introducerea mărimilor măsurate experimental se cul-

calculează starea aerului la intrare i_{L1} și x_1 ; pentru demararea calculului se impune o zonă de răcire $\Delta t_w = 1^{\circ}\text{C}$. Pe baza acestei răciri se determină i_{L2} și t_{w2} , calculindu-se apoi:

- pentru $t_{w1} - i_{s1}^+$ (fig.51)
 - pentru $t_{w2} - i_{s2}^+$
 - pentru $t_{wm} - i_{sm}^+$
- (226)

și mărimele: $\delta i_s^+ = \frac{i_{s1}^+ + i_{s2}^+ - 2i_{sm}^+}{4}$ (227)

$$(i_s^+ - i_L)_m = \frac{i_{s1}^+ - i_{s2}^+}{\ln \frac{i_{s1}^+ - i_{L1} - \delta i_s^+}{i_{s2}^+ - i_{L1} - \delta i_s^+}} - 0,5(i_{L2} - i_{L1}) \quad (228)$$

obținind valoarea coeficientului de transfer volumic calculat:

$$\beta_{xc} = \frac{\dot{M}_L \cdot \Delta i_L}{V(i_s^+ - i_L)_m} \quad (229)$$

Dacă această valoare β_{xc} diferă de valoarea lui β_{xv} introdus, se recalculează, modificindu-se valoarea zonei de răcire Δt_w . Când s-a ajuns în domeniul de erori impus, se calculează: x_{s1}^+ , x_{s2}^+ și x_{sm}^+ apoi:

$$\begin{aligned} \Delta x_m &= x_{sm}^+ - x_1 \\ x_2 &= x_1 + \frac{\beta_{xv} \cdot \Delta x_m \cdot V}{\dot{M}_L} \end{aligned} \quad (230)$$

și cu relații similare lui (227) și (228): δx_s^+ și $(x_s^+ - x)_m$. Pe baza acestor valori se recalculează x_2 :

$$x_2 = x_1 + \frac{\beta_{xv} (x_s^+ - x)_m \cdot V}{\dot{M}_L} \quad (230')$$

comparindu-se x_2 cu x_2^+ și reluindu-se calculul pînă ce intră în domeniul erorilor admisibile. În final se calculează temperatura aerului t_{L2} (199).

Berman [11] mai propune o modalitate de determinare a parametrilor la programul denumit BERMAN (organogramă în fig.52); și aici se împarte turnul în 100 volume elementare, calculindu-se succesiiv parametrii aerului și apoi la ieșire: se admite o zonă de răcire Δt_w și se reia secvența (226) ca să se determine (organogramă în figura 53):

$$\Delta i_L = \frac{M_w \cdot c_w \cdot \Delta t_w}{M_L (1 - 0,0015 \cdot t_w^2)} \quad (231)$$

δi_s^+ cu relația (227) și mărimea

$$\xi = \frac{\Delta i_L}{i_{s1}^+ - i_{L1} - \delta i_s^+} \quad (232)$$

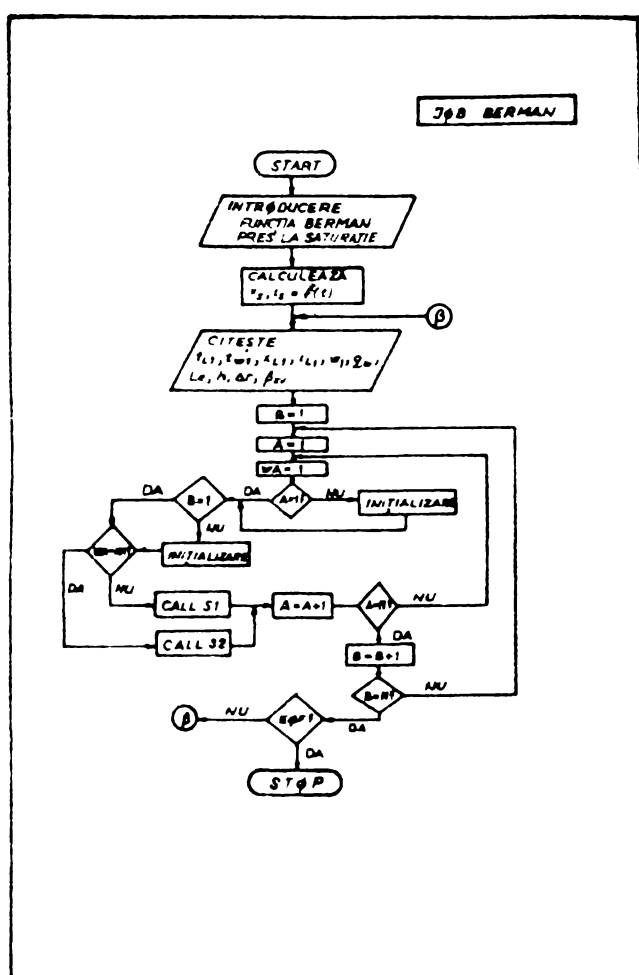


Fig.52.

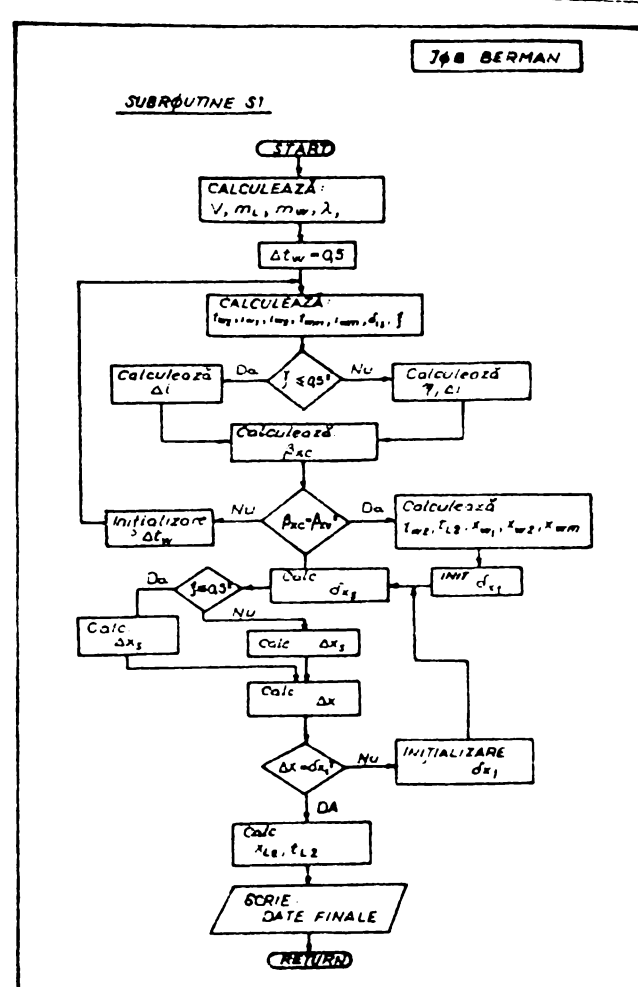


Fig.53.

Similar ca și la calculul cu funcție \emptyset (se observă de fapt că mărimea ξ este asemănătoare cu \emptyset , cu corecția δi_s^+), calculele efectuindu-se în continuare dependent de valoarea lui ξ :

$\xi < 0,5$

$$(i_s^+ - i_{L1})_M = \frac{i_{s1}^+ - i_{s2}^+}{\ln \frac{i_{s1}^+ - i_{L1} - \delta i_s^+}{i_{s2}^+ - i_{L1} - \delta i_s^+}}$$

$\xi > 0,5$

$$\gamma = \frac{i_{s1}^+ - i_{s2}^+}{i_{s1}^+ - i_{L1} - \delta i_s^+} \quad (233)$$

din diagrama trasată de Berman se determină z , iar apoi:

$$(i_s^+ - i_{Ll})_m = z(i_{sl}^+ - i_{Ll} - \delta i_s^+) \quad (234)$$

$$\beta_{xc} = \frac{\dot{M}_w \cdot c_w \cdot \Delta t_w}{V \cdot (i_s^+ - i_{Ll})_m} \quad (235)$$

comparindu-se apoi β_{xc} cu β_{xv} . Pentru o mai bună aproximare se calculează:

$$t_{w2} = t_{wl} - \Delta t_w \quad (236)$$

i_{L2} (206) și x_{sl}^+ , x_{s2}^+ , x_{sm}^+ . Admitând $\Delta x_1 = x_{sl}^+ - x_1$ se calculează Δx_s^+ (227) și o secvență similară în x (233), (234) calculindu-se în final valoarea:

$$\Delta x = \frac{\beta_{xc} \cdot V \cdot (x_s^+ - x)_m}{\dot{M}_L} \quad (237)$$

Se verifică $\Delta x \geq \Delta x_1$ și se reia calculul pînă la intrarea în domeniul de erori admisibile. După aceea se determină x_2 :

$$x_2 = x_1 + \Delta x \quad (238)$$

și temperatura aerului t_{L2} (199).

6.3. Metoda Helfand

In programul anterior (JØB BERMAN, figura 51) s-a mai introdus o subrutină cu care să se calculeze pe baza acelorași date de intrare, valorile la ieșirea din turn, pe baza relațiilor propuse de Helfand [10] și transcrise cu conținutul de umiditate, (99)...(102) și (109)...(110) (organograma în figura 54).

După ce s-a determinat starea aerului la temperatura t_{wl} (i_{sl}^+ , x_{sl}^+) se calculează: ($\Delta x_1 = x_{sl}^+ - x_1$; $\Delta t_1 = t_{wl} - t_{Ll}$)

$$\Delta \dot{M}_w = \frac{\beta_{xv} \cdot h_a}{1000} \cdot (x_{sl}^+ - x_1) \quad (239)$$

$$\dot{M}_{wo} = \dot{M}_w - \Delta \dot{M}_w \quad (240)$$

$$\Delta t_w = \frac{\beta_{xv} \cdot h_a}{1000 \cdot \dot{M}_{wo}} \cdot (0,25 \cdot (t_{wl} - t_{Ll}) + 585 \cdot (x_{sl}^+ - x_1)) \quad (241)$$

$$\Delta t_L = \frac{1000 \cdot b_a}{0,32 \cdot w_L \cdot h_a} \cdot (\dot{M}_{wo} \cdot \Delta t_w + (t_{wl} - t_{Ll} - 585) \cdot \Delta \dot{M}_w) \quad (242)$$

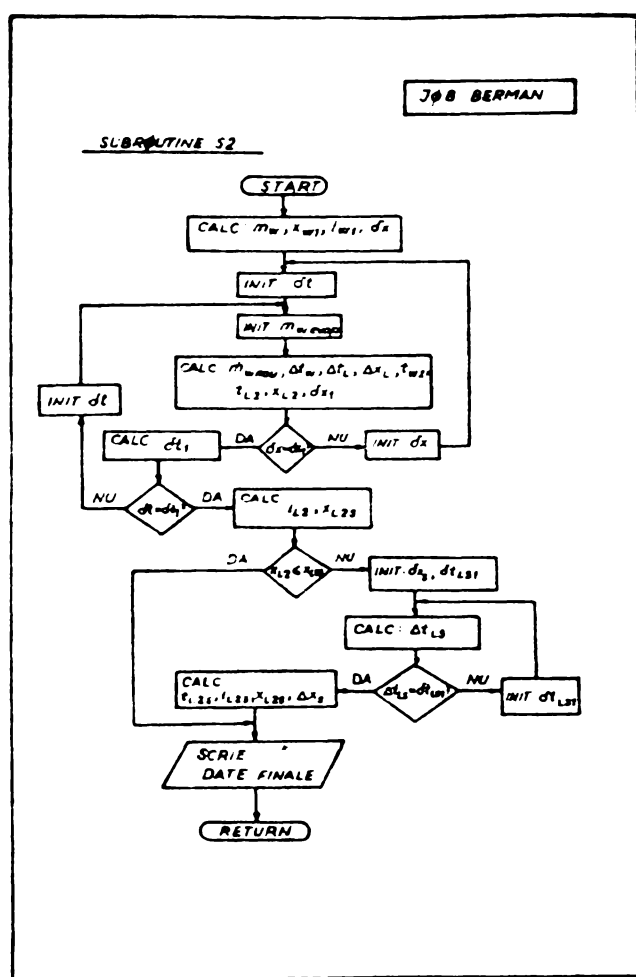


Fig.54.

și pentru Δt eroarea a scăzut sub valoarea admisibilă se calculează i_{L2} și x_{s2} . Se compară apoi x_2 cu x_{s2} . Dacă $x_2 < x_{s2}$ calculul s-a terminat. Dacă $x_2 > x_{s2}$, ne aflăm în domeniul suprasaturat și calculul se reia cu formulele adecvate:

$$\Delta x_2 = x_{s2} - x_1 \quad (246)$$

iar aproximarea de plecare este $\Delta t_{Ll} = 1$.

Atunci:

$$\Delta t_{Ls} = \frac{1000 \cdot b_a}{1,2 \cdot w_L \cdot h_a} \frac{1}{0,25 + 585 \cdot \frac{\Delta x_L}{\Delta t_{Ll}}} (m_{wo} \cdot \Delta t_w + (t_{w1} - t_{Ll}) \cdot \Delta \dot{m}_w) \quad (247)$$

Călcultul se repetă pînă cînd $\Delta t_{Ll} = \Delta t_{Ls} \pm 0,1^\circ C$, și putem scrie:

$$t_{Ls2} = t_{Ll} + \Delta t_L \quad (248)$$

valoare pentru care se determină i_{Ls2} , x_{s2} și

$$\Delta x_{ss} = x_{s2} - x_{s1} \quad (249)$$

$$\Delta x = \frac{1000 \cdot b_a \cdot \Delta \dot{m}_w}{1,2 \cdot w_L \cdot h_a} \quad (243)$$

și pe baza acestor valori : t_{w2} , t_{L2} și x_2 . Se reface aproximarea de pornire a secvenței:

$$\Delta x_{11} = \frac{x_{s1}^+ + x_{s2}^+}{2} - \frac{x_1 + x_2}{2} \quad (244)$$

și se compară această valoare cu Δx_1 . După atingerea nivelului de eroare dorit se calculează:

$$\Delta t_{11} = \frac{t_{w1} + t_{w2}}{2} - \frac{t_{L1} + t_{L2}}{2} \quad (245)$$

și se compară cu Δt_1 . Cînd $\Delta t_{11} < \Delta t_1$ se calculează i_{L2} și x_{s2} . Se compară apoi x_2 cu x_{s2} . Dacă $x_2 < x_{s2}$ calculul s-a terminat. Dacă $x_2 > x_{s2}$, ne aflăm în domeniul suprasaturat și calculul se reia cu formulele adecvate:

Prin indicii ss se înțelege starea de suprasaturație.

6.4. Concluzii privind metodele de calcul

Toate metodele prezentate pleacă de la ecuațiile fundamentale caracteristice schimbului conjugat de căldură și substanță scrise pentru un volum elementar, fără a se ține cont de natura procesului. Rezultă deci că din punct de vedere al procesului în sine, relațiile sunt echivalente.

Metodele propuse de Poppe și de Helfand nu cuprind procedeul prin care urmează să se determine diferențele medii de potential. Aceste diferențe cuprind însăși caracteristica tipului de schimbător de căldură și de substanță. Excluderea din calcule a procedeului de determinare a lui $(t_w - t_L)_m$ și $(x_s^+ - x_L)_m$ face ca metodele să fie aplicabile doar în domeniul diferențelor foarte mici de potential, la care tipul de schimbător nu mai are importanță.

Metoda Helfand și metoda Berman nu cuprind situația $Le \neq 1$. Ipoteza $Le = 1$ constituie o simplificare convenabilă în cazul contracurentului, unde drumul străbătut de aer și de apă este relativ scurt și unde nu are importanță majoră starea aerului la ieșire. În cazul curentului încrucișat, situația este cu totul alta, deoarece stările apei și ale arului se influențează reciproc și în special în cazul tirajului natural, starea aerului la ieșire are o importanță deosebită.

Din acest punct de vedere metodele nu sunt comparabile, atât timp cât metoda Helfand și metoda Berman exclud pur și simplu ipoteza $Le \neq 1$.

Metoda bazată pe funcția \emptyset și metoda Berman nu cuprind eroarea generată de micșorarea debitului de apă ca urmare a evaporării unei părți din apă. Măsurări efectuate pe standul granulometric [24] au arătat că antrenările de picături de apă fine sunt ieșitul de mari, depășind cu mult debitul de apă evaporat. În consecință, eroarea ce se introduce în calcule prin această simplificare este neglijabilă.

Fuță de toate metodele clasice, care țin cont de trecerea funcționării instalației dintr-un domeniu în altul după atingerea unei de saturație a aerului, metoda Berman nu pune în evidență comportarea turnului de răcire după saturarea aerului.

Așa că metoda Poppe cît și metoda Helfand consideră că în domeniul suprasaturat răcirea apei este la fel de bună ca și în do-

meniul nesaturat și că are loc doar o modificare a raportului căldură uscată / căldură umedă în favoarea căldurii uscate.

Utilizarea funcției \emptyset a fost clar arătată atât pentru cazul contracurentului cât și pentru cazul curentului încrucisat, dependențele generate fiind specifice fiecărui tip de răcitor. În cazul turnurilor de răcire în contracurrent, rezultatele obținute sunt apropiate de cele generate de celealte metode. Niște rezultate mult diferite ar indica de fapt fie că metoda care le-a generat este o metodă eronată, fie că s-au strecurat greșeli groso-lane de calcul.

Cu toate că în mod teoretic nu se pot face comparații între cele trei (respectiv patru) metode de calcul din cauza lipsei în unele cazuri a unor formulări sau a necuprinderii unor factori importanți care intervin în cadrul procesului, s-au încercat totuși comparații. Si anume toate cele patru programe (TURN 1, TURN 2, BERMAN și LEWIS) au fost elaborate pentru aceleași condiții (condițiile de lucru ale ICEMENERG din 1974, vezi tabelul 1). Pentru β_{xv} s-a considerat dependența stabilită în laborator (relația (222)). Pentru factorul Lewis s-a admis o variație liniară cu salt de 0,05 în domeniul $1 \div 1,3$. Viteza aerului a fost considerată variabilă pe rază. Calculele s-au efectuat pentru 7 regimuri de lucru: 44, 48, 60, 47, 70, 49 și 231 efectuate de ICEMENERG în 1974.

S-a constatat că JØB BERMAN și JØB LEWIS nu rulează economic. Astfel, JØB BERMAN a consumat un timp de 21'8" pentru a calcula 8 rînduri, iar JØB LEWIS a consumat un timp de 16'7" pentru a calcula 21 rînduri.

Din cauza acestui consum foarte mare de timp/calculator, a rezultat că este neeconomică continuarea efectuării comparațiilor, mai ales că metodele conțin ipoteze necorespunzătoare.

Programele TURN 1 și TURN 2 au rulat în bune condiții. Un exemplu de calcul este dat în anexă. În toate cazurile, turnul a fost împărțit în 10×10 volume elementare.

Ipoteza Helfand conduce la răciri ale apei în tot lungul procesului aerului (figura 35, liniile continui). Se vede clar că această ipoteză de calcul contravine situației reale (liniile întrerupte). Aplicând ipotezele de plecare ale lui Helfand se ajunge la aceea că trebuie să considerăm întreg volumul turnului de răcire în current încrucisat ca un volum activ, apa acuzând o leștul de bună răcire chiar și de-a lungul ultimei fișii verti-

cale a turnului de răcire.

Exact pentru aceleasi conditiile s-au trasat izotermele apei in turnul de racire si dupa metoda functiei \emptyset , cu ipoteza de lucru discutata deja a urmaririi curbei de saturatie de catre aer, dupa atingerea saturatiei (figura 16). Se observa foarte bine esantul mic dintre izoterme in zona de intrare a aerului din turn, ca apoi acesta sa se mareaasca rapid, indicand clar inutilitatea existentei umpluturii in zona centrala superioara a turnului de racire. Mai mult, se vede concordanța dintre izotermele teoretice si cele reale, confirmarea practica a rezultatelor metodei \emptyset si a ipotezei urmaririi curbei de saturatie fiind cel mai bun argument in favoarea amintirii.

Si pentru celelalte conditiile de functionare (figurile 15, 17 + 34) se vede buna concordanța dintre rezultatele obtinute prin calcul si cele ridicate prin masuratori experimentale.

Pe toate diagramele sunt despărțite prin hâsuri zonele aerului nesaturat si cele ale aerului saturat. Demn de evidențiat este faptul că saturatia apare la valori ale factorului Lewis supraunitare si anume in jurul valorii 1,2. Aceasta este unul dintre cele mai spectaculoase rezultate ce vine sa infirme teoriile avansate pînă în prezent.

Din cele arătate mai sus se pot desprinde următoarele concluzii:

- Metoda Helfand si metoda Berman nu sunt elaborate la nivelul necesitatilor impuse de calculele numerice concrete pentru turnurile de racire in curent incrucașat, cu ambele fluide neamestecate. Astfel, metoda Helfand nu da indicații cu privire la calculul potențialelor si prin aceasta reduce aplicabilitatea relatiilor in domeniul volumelor elementare infinitezimale, caz in care toate metodele de calcul dau aceleasi rezultate. Metoda Berman nu se referă la starea de saturatie a aerului, destul de intîlnită in practică.

- Atât metoda Helfand cât si metoda Berman nu conțin nici un fel de aprecieri cu privire la valoarea factorului Lewis, pe care pur si simplu îl ignoră. Aprecierea că schimbul de căldură uscat si schimbul de căldură umed evoluează după aceleasi legi constituie o simplificare ce nu corespunde datelor experimentale.

- Ipoteza Helfand cu privire la procesele care iau naștere in domeniul stării de suprasaturatie, materializată prin relațiiile $\Delta t_w = cst$, Δt_L crește, Δx scade este infirmată de rezulta-

tele experimentale.

De altfel și admisiunea din lucrarea lui Helfand că mărimea de bază în aprecierea procesului este temperatura t_{L2} și nu t_{w2} este eronată. Temperatura apei răcite se poate măsura mai exact; chiar și ulterior, după captare, se pot determina valori medii cu precizie corespunzătoare. În schimb, termometrul uscat se acoperă cu multă ușurință cu picături de apă și din această cauză, oricărora măsuri să ar lua, nu se poate afirma că temperatura măsurată este temperatura uscată a aerului.

- Metoda de calcul cu funcția \emptyset se bazează pe niște ipoteze corecte. Faptul că izotermele experimentale, cu o alură atât de diversă au putut fi cuprinse cu ajutorul acestei metode, constituie dovada valabilității acestor ipoteze.

- Din interpretarea diagramelor rezultă că valoarea factorului Lewis se situează între $1,15 \div 1,2$. O aprofundare a acestei probleme este dată în cap.8.

7. Cercetarea experimentală

7.1. Cercetarea experimentală pe standul pilot turn de răcire în contracurent

Chiar dacă în literatura de specialitate se găsesc relativ multe titluri legate de problematica turnurilor de răcire în contracurent, foarte rar se vor putea găsi date experimentale privind un tip particular de umplutură a turnului. De aceea, a fost și încă este necesar să se determine în laborator, experimental, comportarea diferitelor umpluturi utilizate, pentru a pune la dispoziție proiectantului date cât mai exacte asupra acestora. Având în vedere atât caracterul priorității cercetării în direcția turnurilor de răcire, cât și preocupările ce existau deja în cadrul Catedrei de Termotehnică privind problematica schimbului de căldură și de substanță în turnurile de răcire, încă din anul 1967 s-a trecut la o strânsă colaborare cu ISPE București și apoi cu ICIMENRG - București. Cercetarea experimentală aplicată, cât și cea fundamentală a necesitat realizarea unui turn de răcire pilot (în contracurent). Având la acea ocazie ca temă de doctorat doar pro-

blematica turnurilor de răcire în contracurent, a fost de la sine înțeles că m-am ocupat atât cu proiectarea, cît și cu realizarea acestui stand.

Concepția standului s-a bazat pe consultarea unei bibliografii vastă [26], [18], [59], [21], [7], [39], [51], [10], [29]. De fapt am enumerat doar câteva din literările parcuse, studiul complet făcind obiectul referatului nr. 2 din cadrul pregătirii doctoratului [25]. Standul a fost construit din tablă, realizând un sector de lucru cu secțiunea pătrată de $0,8 \times 0,8 \text{ m}^2$ și o înălțime activă de 2,5m (figura 55).

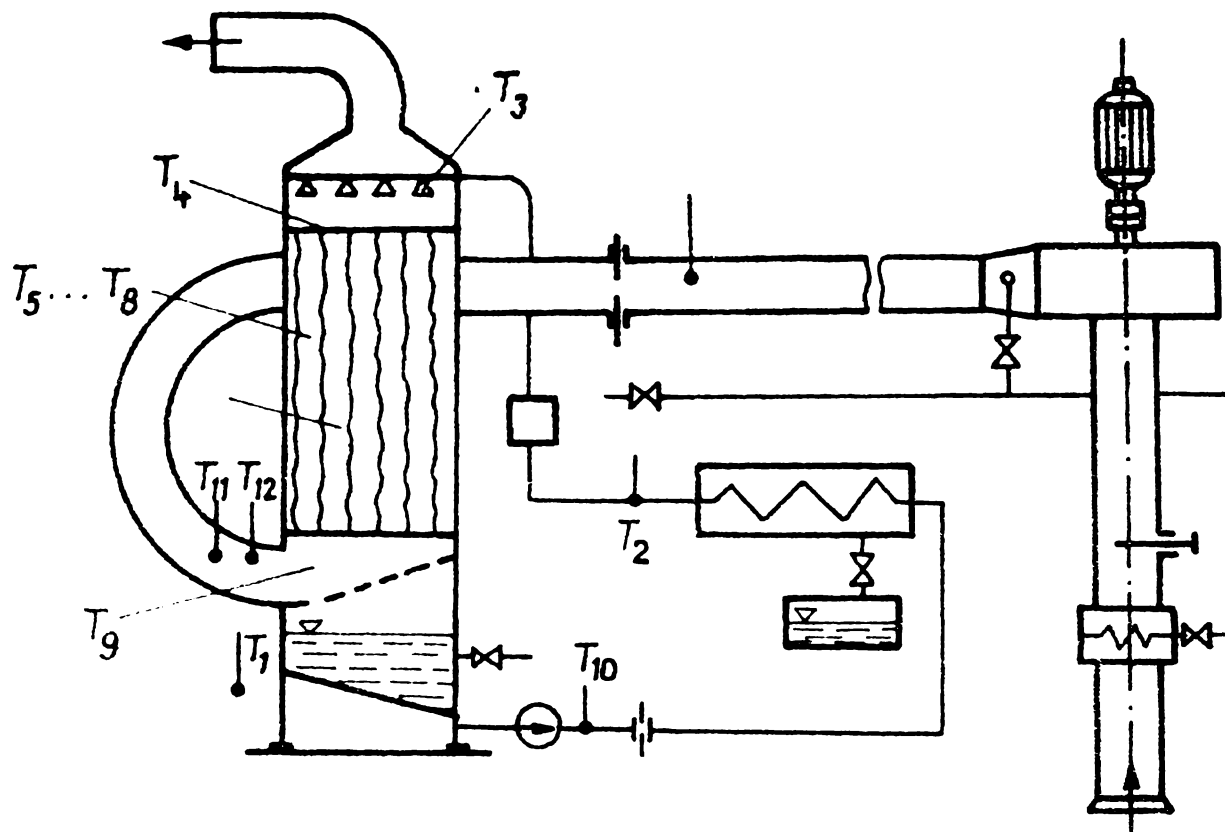


Fig. 55. Schema standului experimental turn de răcire în contracurent.

Aerul este insuflat în turn de către un ventilator centrifugal, în trealabil fiind încălzit și umidificat pentru a se obține umiditatea dorită la intrarea în turn. Amândouă operațiile erau controlate automat de o pereche de termometre cu contact aflate în zona de intrare a aerului în turnul de răcire. Pentru funcționarea în timpul verii, cînd temperatura aerului exterior depășește temperatura normală păstrată, s-a prevăzut posibilitatea utilizării unui filitor de căldură cu răcitor de aer, funcționînd cu apă la rețea. debitul de aer și cel de apă se măsoară cu ajutorul unor dispozitive. Temperatura aerului se determină cu termometre cu jaluze și termocouple Re-const. Starea aerului la intrare se determină cu un psihometru Aschmann.

Aerul este vehiculată în circuit închis, la parte inferioră

ră a sectorului de lucru fiind un rezervor de apă. Tot aici cu un robinet-flotor se introduce și apa de adaos; încălzirea apei se realizează într-un schimbător de căldură abur-apă, iar reglarea fină a temperaturii apei calde se face cu ajutorul unor termoplonoare comandate tot de un termometru cu contact. Temperaturile apei se măsoară cu termometre cu mercur și cu termocouple Fe-Ct. Tot cu ajutorul unor termocouple se urmărește și răcirea apei în interiorul instalației.

Distribuirea apei se realizează cu ajutorul unui sistem de stropitori, montate de așa manieră pentru a asigura uniformitatea stropirii. Intreg ansamblul de stropitori poate fi coborât sau urcat, încit pentru ori și ce înălțime a umpluturii cercetate să se realizeze aceeași zonă de stropire superioară, permitînd astfel o comparație a datelor experimentale.

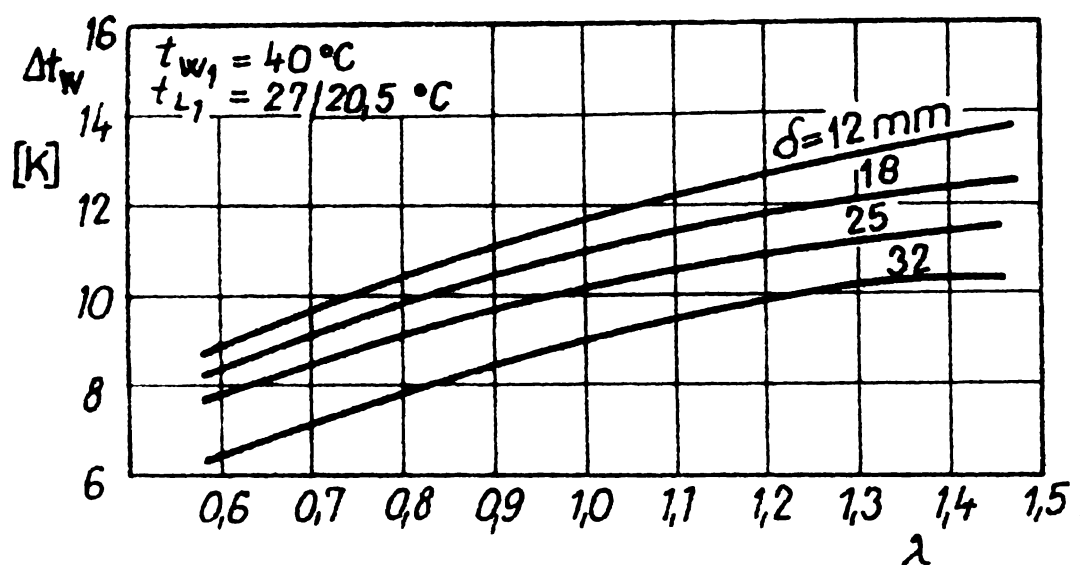
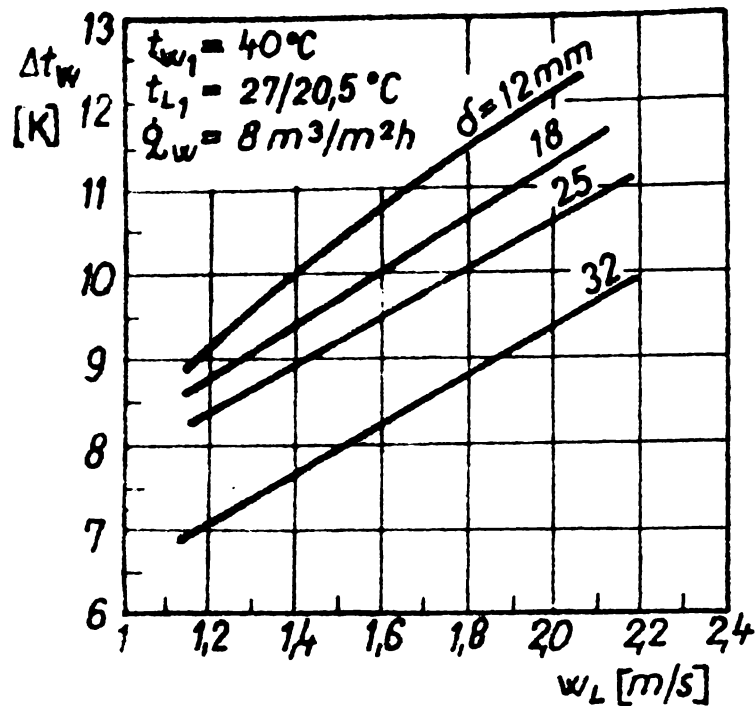
Uniformitatea curentului de aer la intrarea în instalație este asigurată de o serie de conducte de dirijare, ce nu sunt figurate pe desen.

Standul este izolat termic, pentru eliminarea erorilor date de unor eventuale pierderi de căldură prin pereți.

Între anii 1967-1973 s-au făcut determinări asupra umpluturilor clasice din plăci plane și ondulate din azbociment. În toată această perioadă, avînd în vedere tematica tezei de doctorat, mi-a revenit ca sarcină calculul aferent determinărilor experimentale, cît și o mare parte din concluziile ce se puteau trage pe baza lor. Am să insist totuși mai puțin asupra acestor experiențe, dînd o extindere mai mare determinărilor efectuate între anii 1977-1980 cînd întreaga muncă mi-a revenit, cu excepția măsurătorilor experimentale, care au fost realizate cu întreag colectivul de cercetare.

La cercetarea **umpluturilor** formate din plăci plane s-au utilizat astfel de plăci cu lungimea 1940 mm, lățimea 770 mm și grosimea de 7 mm. S-au montat cu un ecart δ de 12, 18, 25 respectiv 32 mm.

In figura 56 au fost trasate valorile funcției $\Delta t_w = f(w_L, \delta)$ pentru cazul: $t_{wl} = 40^\circ C$, $t_{Ll} = 27^\circ C$, $T_{Ll} = 20,5^\circ C$ și $q_w = 1 \text{ m}^3/\text{m}^2\text{h}$. Se constată o scădere a lui Δt_w cu creșterea lui δ , deci cu micșorarea numărului de plăci din turn. Se observă, însă, că scăderea lui Δt_w pentru creșterea lui δ de la 18 la 25 mm, deci cu 7 mm, este mult mai mică decît scăderea lui Δt_w în cazul creșterii lui δ între 25 și 32 mm, deci tot



cu 7 mm. Dacă se utilizează debitul specific de aer λ ca parametru, se observă că debitul specific de apă q_w nu mai influențează zona de răcire pentru un anumit ecart dintre plăci. Este motivul pentru care aceste reprezentări sunt preferate în literatura de specialitate pentru redarea caracteristicilor dimensionale și adimensionale ale turnurilor de răcire.

In figura 58 este trasată funcția $K_e = f(\lambda, \delta)$.

Importanța acestui criteriu adimensional constă în faptul că, reprezentat în funcție de λ el este invariabil față de densitatea ploii q_w . Din diagramele experimentale a rezultat dependența matematică:

$$K_e = c \cdot \lambda^n \quad (250)$$

unde mărimele c și n au valori care depind de δ , variind astfel: $c = 1,140 \dots 0,671$ și $n = 0,632 \dots 0,500$. Ambele valori scad cu creșterea lui δ .

Determinările experimentale au scos în evidență existența unei distanțe optime ce se situează în jurul valorii de 25 mm.

Pentru această distanță optimă s-a determinat și influența temperaturilor de intrare ale apei și aerului asupra funcționării turkului de răcire. Si anume s-a verificat funcționarea tur-

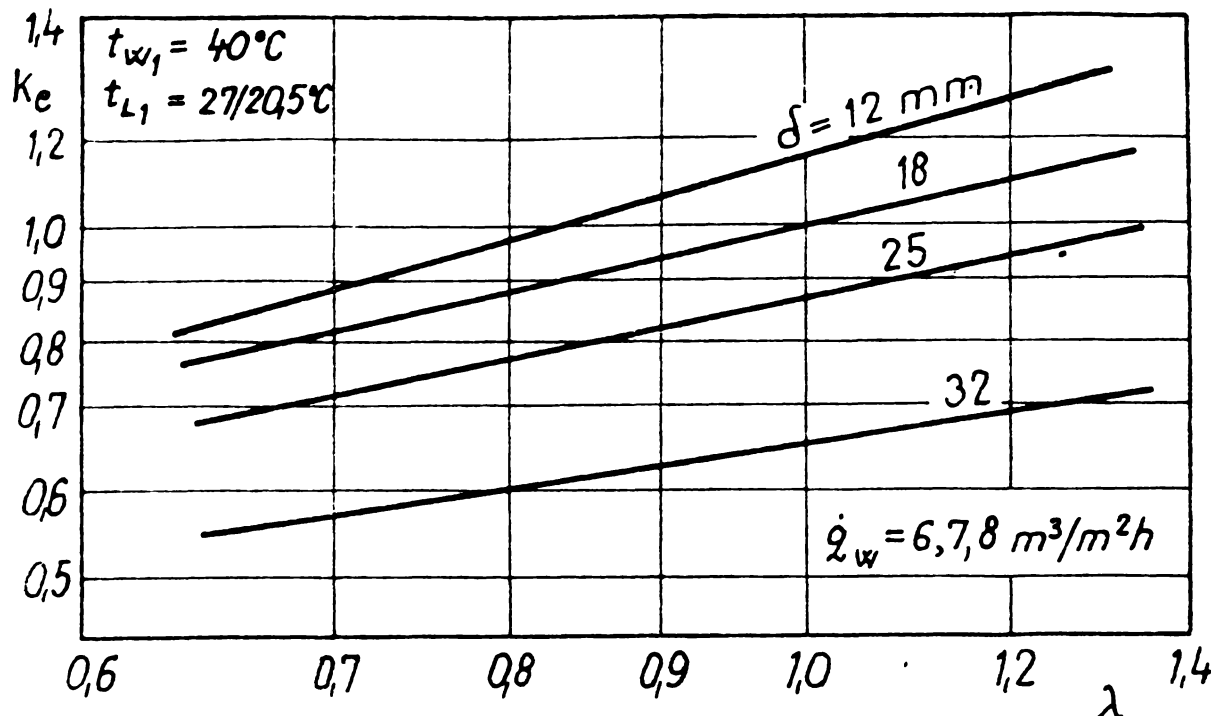


Fig.58. Variatia cifrei K_e in functie de λ si δ .

răcire Δt_w pentru $\delta = 25 \text{ mm}$ și $\dot{q}_w = 8 \text{ m}^3/\text{m}^2\text{h}$ se poate urmări în

nului a-tit pen-tru tem-peratura "normală" a apei calde de 40°C , cît și pen-tru tem-peraturi mai joase: $t_{wl} = 35$ și 30°C .

Variatia zonei de

figura 59.

Se observă o variație arrope liniară a zonei de răcire cu viteză aerului. În cazul în care lungimea plăcii este

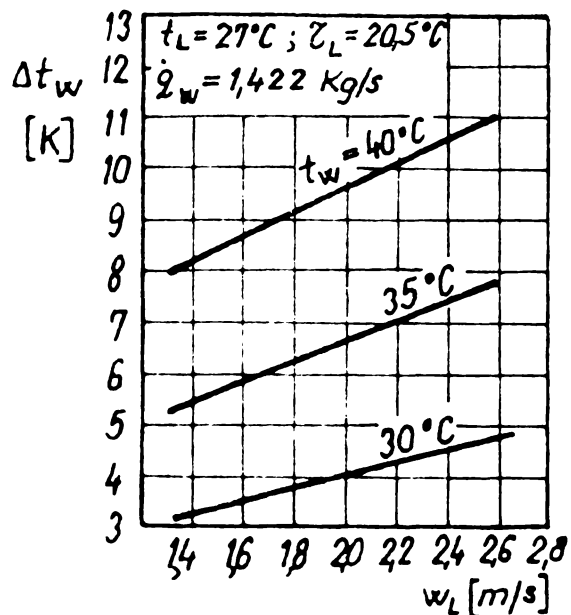


Fig.59. Variatia zonei de răcire Δt_w .

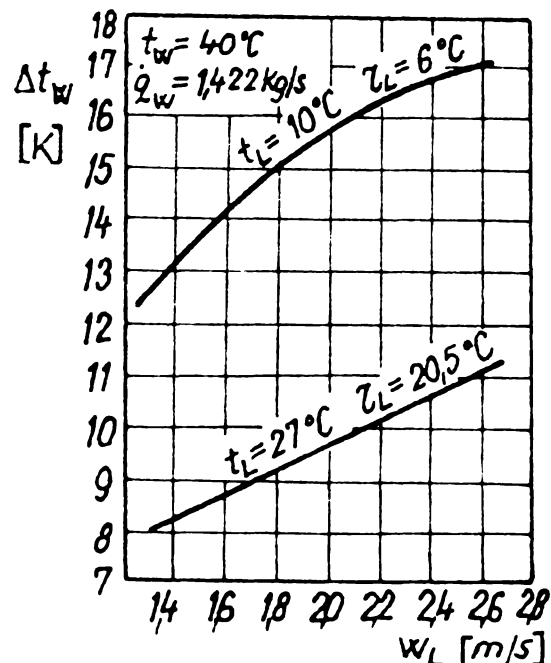


Fig.60. Variatia functiei $\Delta t_w = f(w_L, t_L)$.

cire de 10 K care este un fel de zonă standard, poate fi realizată numai pentru $t_{wl} = 40^\circ\text{C}$ începând de la $w_L = 2,1 \text{ m/s}$. Pentru $t_{wl} < 40^\circ\text{C}$, această zonă de răcire poate fi realizată numai cu viteze mai mari, care nu au putut fi realizate cu ventilatorul actualului.

În figura 60 este trăsătă zona de răcire Δt_w doar pentru $t_{wl} = 40^\circ\text{C}$, de data aceasta pentru $t_{Ll} = 10^\circ\text{C}/6^\circ\text{C}$ și $t_{Ll} = 27/20,5^\circ\text{C}$. Se observă o creștere substanțială a valorii lui Δt_w cu prima temperatură. Zona standard poate fi obținută

acuma și pentru viteze ale aerului $w_L < 1,0 \text{ m/s}$.

În ceea ce privește cifra de evaporare K_e , se vede că este puțin influențată de temperatura apei și chiar de temperatura aerului, dar crește cu valoarea lui λ .

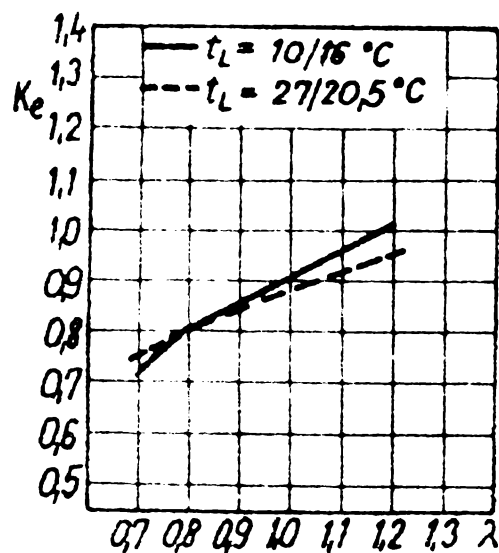


Fig. 61. Variatia functiei $K_e = f(\lambda, t_L)$.

Un alt aspect legat de plăcile plane care a necesitat un studiu aparte a fost acela al influenței lungimii plăcilor plane. Din figura 62 se vede în primul rînd influența favorabilă a prezenței plăcilor în turn (curbele pliante), precum și cea a lungimii plăcilor și a creșterii debitului specific de aer λ .

Bineînțeles, etapa imediat următoare a fost cea a studiului plăcilor ondulate din azbociment și a comparației cu cele plane. Mă voi mărgini a reda doar o singură comparație și anume cea a valorilor cifrei K_e funcție

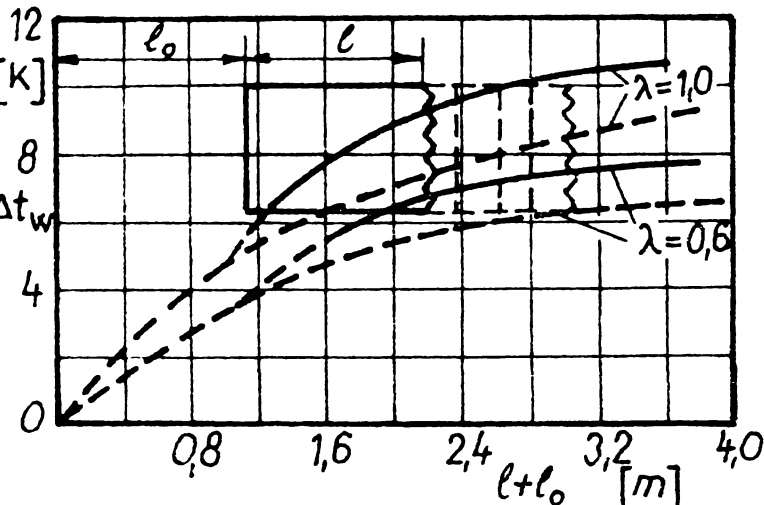


Fig. 62. Influența lungimii plăcilor plane asupra lui Δt_w .

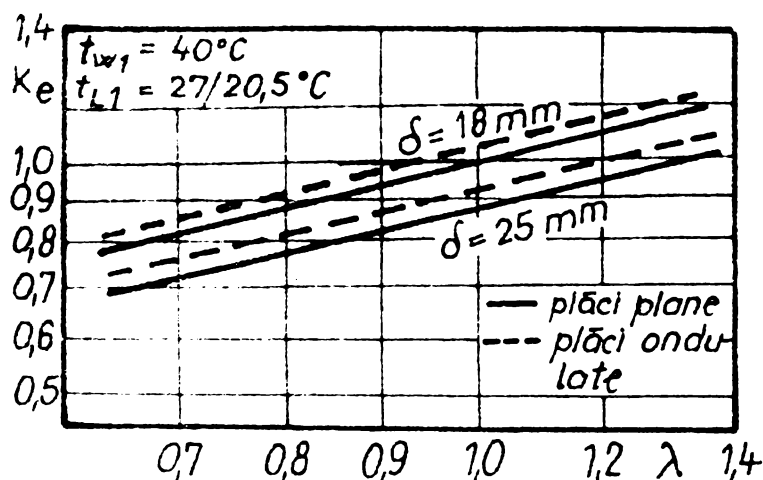


Fig. 63. Comparatia comportării plăcilor plane și ondulate.

de λ (figura 63) din care se vede foarte bine superioritatea plăcilor ondulate față de cele plane.

Referindu-mă doar la plăcile ondulate, importanța reducerii distanței din-

tre plăci și a măririi debitului specific de aer λ se scoate în evidență în figura 64.

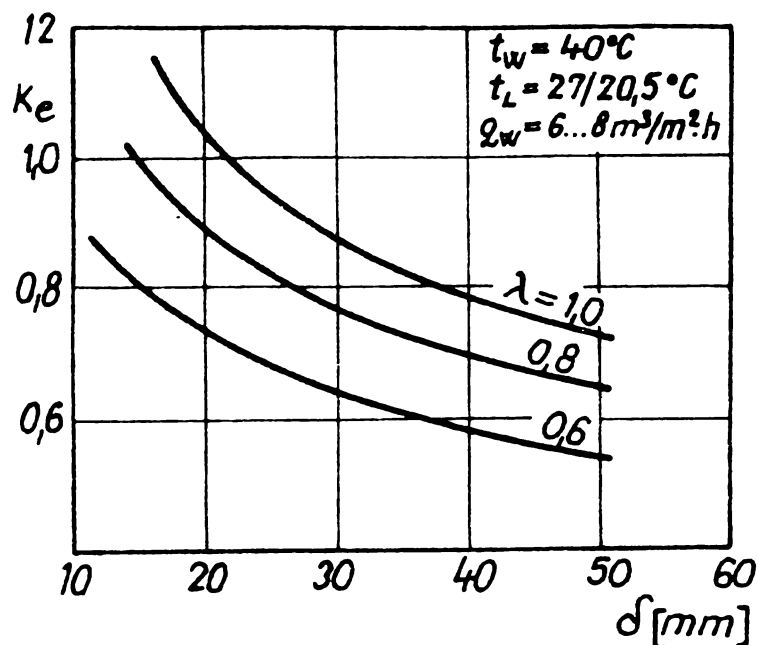


Fig.64. Varietăția cifrei K_e cu distanța dintre plăcile ondulate.

raturi de experimentare, la aceeași umiditate relativă $\varphi_L = 55,5\%$ și anume $t_{L1} = 15, 20, 25, 30, 35$ și 40°C . Temperatura apei la intrare în turn și densitatea plăcii s-au menținut constante $t_{w1} = 40^{\circ}\text{C}$, respectiv $\dot{q}_w = 6 \text{ m}^3/\text{m}^2\cdot\text{h}$, parametrul variabil fiind debitul de aer, obținând viteze w_L între 0,78 și 2,05 m/s.

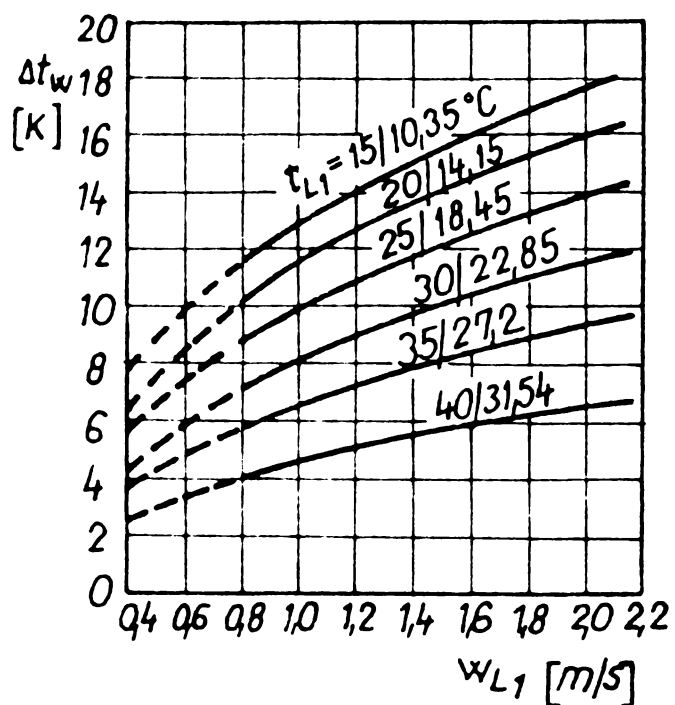


Fig.65. Varietăția zonei de răcire $\Delta t_w = f(w_{L1}, t_L)$.

Temperatura aerului este egală cu cea a apei (40°C) se mai obține un efect de răcire, care merge pînă la 6,2 K la viteză aerului de 2 m/s, fiind umiditatea relativă a aerului la intrare

Un aspect deosebit de interesant studiat la umplutura din plăci ondulate a fost acela al influenței temperaturii și umidității aerului la intrare asupra funcționării acesteia [23]. Pentru a cuprinde o gamă cît mai largă de temperaturi ale aerului, posibile în funcționarea turnurilor de răcire, atît cu tiraj natural, cît și cu tiraj forțat s-au ales șase temper-

In figura 65 este redată variația zonei de răcire $\Delta t_w = f(w_{L1})$, avînd ca parametru starea aerului. Cum era de așteptat, apar niște curbe crescătoare cu viteza, însă panta scade pe măsură creșterii temperaturii aerului, astfel că la temperatură $t_{L1} = 15/10,35^{\circ}\text{C}$ dublarea vitezei de la 1 la 2 m/s conduce la o îmbunătățire a efectului de răcire cu 4,3 K, în timp ce la temperatură $t_{L1} = 40/31,54^{\circ}\text{C}$, îmbunătățirea este de numai 2 K. Se mai observă că în cazul cînd temperatura aerului la intrare

era de 55,5%.

In figura 66 au fost traseate curbele reprezentînd variația cifrei de evaporare K_e pentru toate temperaturile cercetate. Re-

prezentarea fiind în coordinate logaritmice, s-au scris ecuațiile dreptelor (25o), valorile lui C și n fiind date în tabela de pe figură. Se remarcă convergența funcției $K_e = f(\lambda)$ la valori crescătoare ale lui λ ceea ce ne arată că la valori mari ale debitului specific de aer, cifra de evaporare este puțin influențată de temperatura aerului. Acest lucru este evidențiat și de panta dreptelor n.

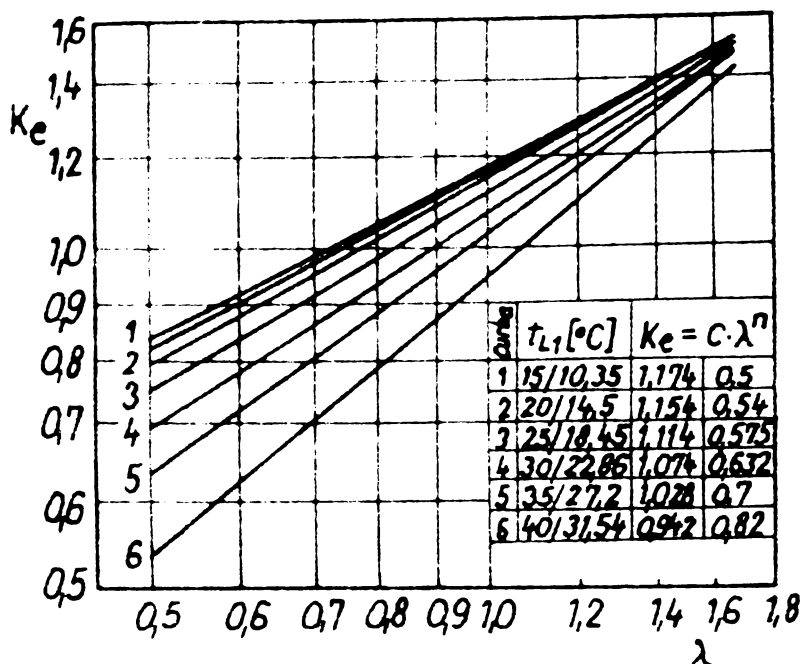


Fig.66. Variatia cifrei de evaporare $K_e = f(\lambda)$.

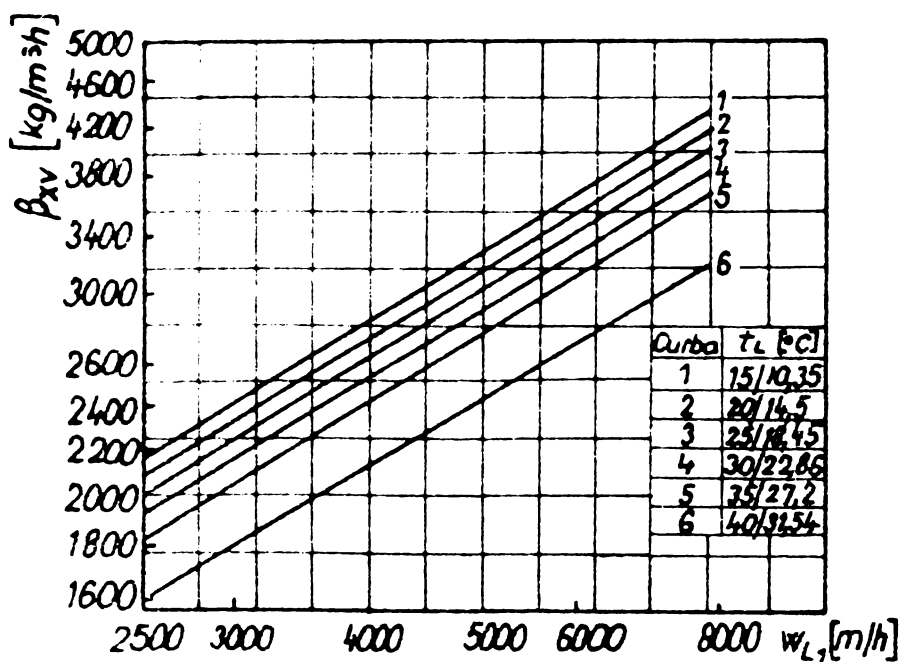


Fig.67. Variatia coeficientului volumic de schimb de substantă β_{xv} .

duce la scăderea zonei de răcire, deci la o înrăutățire a vidului în condensator, în consecință a puterii turbinei. Pentru tururile de răcire cu plăci ondulate din azbociment, cu ajutorul datelor de mai sus se poate prevedea o posibilitate de majorare a debitului de aer (în special la turnurile cu tiraj forțat), care să deplaceze punctul de funcționare al turnului la o altă viteză

In figura 67 s-a trăsat variația coeficientului volumic de schimb de substanță β_{xv} . Era și de așteptat ca valorile lui β_{xv} să diminueze mult cu creșterea temperaturii aerului, funcționarea turnului de răcire înrăutățindu-se.

Crescerea temperaturii aerului ambient în timpul verii

menținind astfel aceeași zonă de răcire (vezi figura 65).

Mai sus am evidențiat comportarea substanțial mai favorabilă, sub aspectul cifrelor de transfer realizate, a plăcilor din azbociment ondulate ca umplutură a turnurilor de răcire în contracurent cu curgere peliculără, în comparație cu comportarea plăcilor plane. Explicația rezidă, pe de o parte, într-o captare mai completă a apei în filmul de prelingere pe plăci, pe de alta, într-o turbionare mai intensă a stratului limită de difuziune. Într-adevăr, în cazul plăcilor plane nu poate fi vorba decât de o captare parțială a picăturilor de apă în cădere verticală, apoi distanța dintre plăci rămînind constantă, straturile limită caracteristice ajung la o stabilizare puțin favorabilă a schimbului de căldură și de substanță.

Dar nici plăcile ondulate nu conduc la o folosire integrală a capacitatei de prelucrare a căldurii de partea aerului, din experiențe rezultând că la viteză ale aerului $w_L = 2 \text{ m/s}$ ($t_w = 40^\circ\text{C}$, $t_L = 27/20,5^\circ\text{C}$) capacitatea de prelucrare a căldurii este utilizată numai în proporție de 30%. Există deci rezerve substanțiale de intensificare a schimbului de căldură și de substanță chiar și în cazul plăcilor ondulate din azbociment.

Uniformizarea repartiției apei și aerului, optimizarea geometriei plăcilor și a așezării acestora, intensificarea turbulentei straturilor-limită caracteristice, fiind cîteva dintre căile care au fost luate în considerare în vederea valorificării acestor rezerve [4].

Referindu-mă exclusiv la măsura în care uniformizarea repartiției apei și aerului depinde de configurația pachetului de plăci, este un lucru evident că plăcile ondulate, fabricate pentru cu totul alte scopuri, pot fi deficitare la folosirea lor ca materiale de umplutură în turnurile de răcire.

Astfel, în privința repartiției aerului și a căderilor de presiune implicate, din examinarea figurii 68 rezultă că situația cea mai favorabilă corespunde unei terminări a plăcilor de partea intrării aerului după secțiunea C-C, adică în dreptul amplitudinii maxime a ondulelor; se impune, aşadar, fie o fabricație specială a plăcilor, fie o tăiere a lor după secțiunea C-C.

În privința repartiției apei, importanța optimizării geometriei plăcilor de partea dispozitivului de stropire este și mai evidentă. Cu notatiile din figura 68, debitele masice corespunzătoare peliculelor de apă formate pe cele două fețe ale

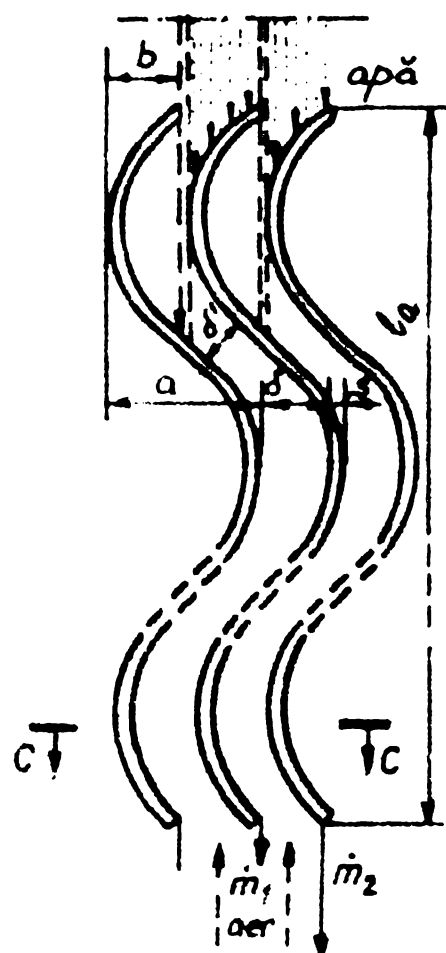


Fig. 68. Geometria și așezarea plăcilor ondulate.

parte din debitul total al apei, cu atât mai redus cu cât pasul de așezare a plăcilor $t = \delta + s$ este mai mare și amplitudinea ondulelor e mai mică. La limită, pentru $a=0$, rezultă $m=0$; este cazul plăcilor plane unde apa curge aproape în întregime sub formă de picături printre plăci (evident este vorba de picături cu traiectorii liniare verticale).

Turnuri cu surgere peliculară completă nu pot fi realizate astfel decât cu pachete de plăci ondulate cu pasul de așezare în concordanță cu relația (253), concluzie de importanță practică de loc neglijabilă.

Pentru acest caz, din relațiile (251) și (252) se observă că, pentru $b=0$, sau pentru $b=t-\delta+s$, una dintre cele două fețe ale plăcilor devine inactivă, situația optimă, corespunzătoare unei repartiții uniforme a debitului pe cele două fețe $\dot{m}_1 = \dot{m}_2 = \dot{m}/2$ este posibilă numai pentru

$$b = t/2 = (\delta + s)/2 \quad (258)$$

Respectarea acestei condiții impune fie un pas de așezare t , determinat de geometria plăcilor de care se dispune, fie săierea plăcilor la dimensiunea b , corespunzătoare pasului ales

$$\dot{m}_1 = \frac{b}{\delta+s} \dot{m}_w \quad (251)$$

și respectiv:

$$\dot{m}_2 = (1 - \frac{b}{\delta+s}) \dot{m}_w \quad (252)$$

relații valabile, desigur, numai pentru $t = \delta + s < a$ (253)

cind

$$\dot{m}_1 + \dot{m}_2 = \dot{m} = \dot{m}_w \quad (254)$$

Pentru

$$t = \delta + s > a \quad (255)$$

\dot{m}_1 își păstrează expresia dată de ecuația (251), dar \dot{m}_2 devine:

$$\dot{m}_2 = \frac{a-b}{\delta+s} \dot{m}_w \quad (256)$$

Desigur, în acest caz

$$\dot{m} = \dot{m}_1 + \dot{m}_2 = \frac{a}{\delta+s} \dot{m}_w < \dot{m}_w \quad (257)$$

ceea ce înseamnă că debitul insumat al peliculelor formate reprezintă numai o parte din debitul total al apei, cu atât mai redus cu cât pasul de așezare a plăcilor $t = \delta + s$ este mai mare și amplitudinea ondulelor e mai mică.

La limită, pentru $a=0$, rezultă $m=0$; este cazul plăcilor plane unde apa curge aproape în întregime sub formă de picături printre plăci (evident este vorba de picături cu traiectorii liniare verticale).

Turnuri cu surgere peliculară completă nu pot fi realizate astfel decât cu pachete de plăci ondulate cu pasul de așezare în concordanță cu relația (253), concluzie de importanță practică de loc neglijabilă.

Pentru acest caz, din relațiile (251) și (252) se observă că, pentru $b=0$, sau pentru $b=t-\delta+s$, una dintre cele două fețe ale plăcilor devine inactivă, situația optimă, corespunzătoare unei repartiții uniforme a debitului pe cele două fețe $\dot{m}_1 = \dot{m}_2 = \dot{m}/2$ este posibilă numai pentru

$$b = t/2 = (\delta + s)/2 \quad (258)$$

Respectarea acestei condiții impune fie un pas de așezare t , determinat de geometria plăcilor de care se dispune, fie săierea plăcilor la dimensiunea b , corespunzătoare pasului ales

sau impus.

Scurtarea plăcilor în vederea optimizării condițiilor de intrare atât de partea apei cît și de partea aerului, în sensul celor prezентate mai sus, și compararea rezultatelor noi obținute cu cele înregistrate anterior (pentru plăcile ondulate în condițiile de livrare - STAS 8386-69) subliniază importanța practică deosebită a considerării aspectelor abordate; în aceleasi condiții de lucru, plăcile scurte s-au dovedit superioare celor originale, conducind la rezultate mai bune și nu numai în privința mărимilor caracteristice, ci chiar și în privința cifrelor globale.

Din figura 69 se observă că, deși plăcile scurte prezintă o lungime a plăcilor cu circa 8% mai mică decât lungimea plăcilor normale, schimbul global de căldură este sensibil îmbunătățit, ajungîndu-se - pentru valori uzuale ale debitului specific λ - pînă la circa 70% din Δt_{wmax} realizabil teoretic.

In figura 70 este redată variația zonei de răcire $\Delta t_w / \Delta t_{wmax}$ ca funcție de același parametru λ ; valorile corespunzătoare plăcilor scurte sunt substanțial mai bune (cu mai mult de 10%, chiar pentru valorile maxime utilizate pentru λ).

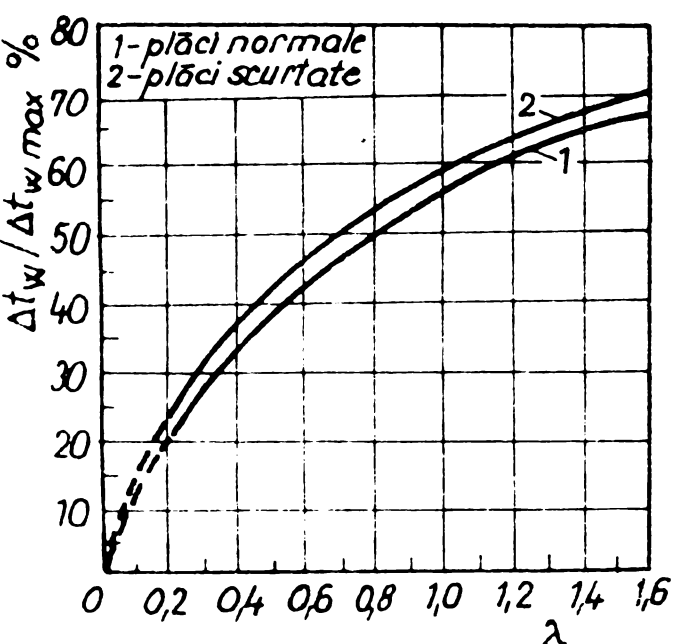


Fig.69. Variatia zonei de răcire $\Delta t_w / \Delta t_{wmax}$.

variația cifrei de evaporare K_e , în funcție de același parametru λ ; valorile corespunzătoare plăcilor scurte sunt substanțial mai bune (cu mai mult de 10%, chiar pentru valorile maxime utilizate pentru λ).

Cresceri comparabile sau chiar mai mari, ajungînd pînă la peste 15% se înregistrează și în privința coeficientului volumic de schimb de substanță β_{xv} (figura 71). În același timp, căderile de presiune de-a lungul pachetului de plăci se reduce cu peste 20% (figura 72); desigur este efectul nu numai al scurtării plăcilor, ci și al optimizării condițiilor de intrare

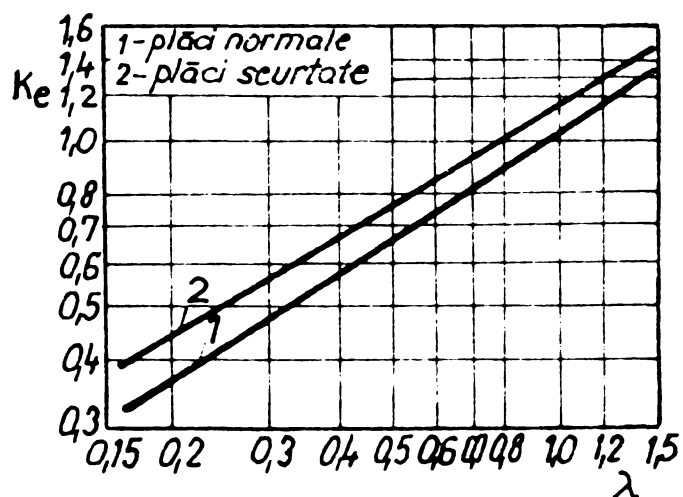


Fig.70. Variatia cifrei de evaporare K_e .

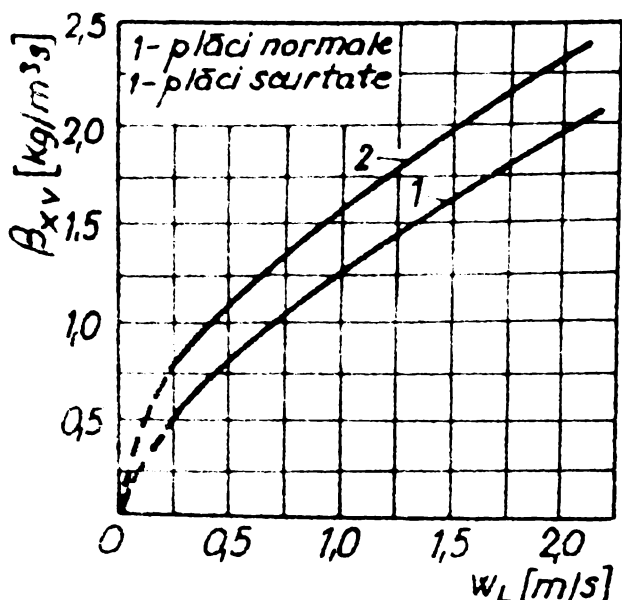


Fig. 71. Variatia lui β_{xv} .

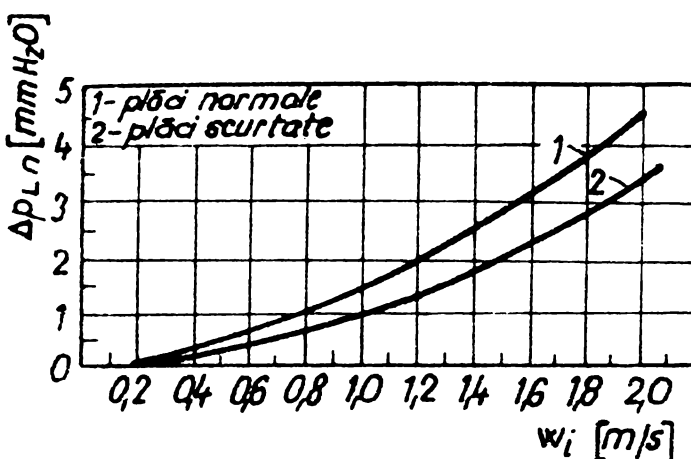


Fig. 72. Comparatie intre caderile de presiune impliate.

de partea aerului.

Rezultatele prezentate mai

sus subliniază importanța deosebită pe care o are, în cazul turnurilor de răcire peliculare cu plăci ondulate, optimizarea condițiilor de intrare în pachetul de plăci, atât de partea aerului cât și a apei. Se impune astfel ca plăcile ondulate folosite ca material de umplutură a turnului de răcire să fie executate după o comandă specială sau să fie tăiate ulterior în mod corespunzător, în concordanță cu pasul de așezare.

Pentru a ușura calculele termice ale unui turn de răcire în contracurent cu curgere peliculără, rezultatele experimentale menționate pînă acum au fost verificate prin stabilirea unor relații între principaliii parametrii care caracterizează funcționarea unui astfel de turn [36].

Pentru plăcile plane de lungime 1940 mm s-a putut stabili următoarea relație pentru coeficientul volumic de schimb de substanță β_{xv} :

$$\beta_{xv} = a \cdot \sqrt{\dot{q}_w \cdot w_L} + b \cdot \dot{q}_w \quad [\text{kg}/\text{m}^3 \cdot \text{s}] \quad (259)$$

unde \dot{q}_w este exprimat în $\text{kg}/\text{m}^2 \cdot \text{s}$, ducind pentru valorile de lucru $\dot{q}_w = 6,7$ și $8 \text{ m}^3/\text{m}^2 \cdot \text{h}$ la valorile $\dot{q}_w = 1,667; 1,967$ și $2,222 \text{ kg}/\text{m}^2 \cdot \text{s}$. Valorile coeficienților a și b sunt date în tabelul 2.

Tabelul 2

Dependența coeficienților a și b de \dot{q}_w

\dot{q}_w	2,222	1,967	1,667
a	981	981	987
b	194	190,8	191

Dacă se consideră și distanța liberă δ [mm] și grosimea s [mm] a plăcilor, se obține pentru β_{xv} o relație de forma:

$$\beta_{xv} = c \frac{\sqrt{q_w}}{\delta + s} \cdot w_L + d \cdot q_w \cdot \sqrt{s} + s \quad [\text{kg/m}^3\text{s}] \quad (260)$$

unde c și d sunt niște coeficienți dependenți de mărimea lui δ , cum se vede în tabelul 3.

Tabelul 3

Dependența coeficienților c și d de δ pentru $q_w = 2,222 \text{ kg/m}^2\text{s}$

δ	12 mm	32 mm
c	24,8	24,8
d	33400	31200

Pentru plăcile ondulate s-a constatat că zona de răcire depinde atât de viteza aerului, cât și de densitatea ploii:

$$\Delta t_w = 5,3 \cdot w_L + \frac{420}{q_w^{2,4}} \quad [K] \quad (261)$$

sau exprimată în funcție de λ :

$$\Delta t_w = 11,25 \cdot \lambda^{0,675} \quad [K] \text{ pentru } \lambda \leq 0,8 \quad (262)$$

$$\Delta t_w = 10,62 \cdot \lambda^{0,5} \quad [K] \text{ pentru } \lambda > 0,8 \quad (263)$$

Se vede că pentru $\lambda \approx 0,8$, se produce o schimbare aproape bruscă a allurei curbelor de dependență a funcției $\Delta t_w = f(\lambda)$, schimbare care se datorează modificării regimului de curgere a celor două fluide prin turn:

Cifra de evaporare are expresia:

$$K_e = 2,55 \cdot \left(\frac{w_L}{q_w} \right)^{0,697} \quad (264)$$

iar coeficientul volumic de schimb de substanță:

$$\beta_{xv} = 1,165 \cdot w_L^{0,497} \cdot q_w^{0,403} \quad \left[\frac{\text{kg}}{\text{m}^3\text{s}} \right] \quad (265)$$

Desigur, utilitatea plăcilor din azbociment ondulate, cu ondulele dispuse orizontal, prezintă mari avantaje sub aspectul cifrelor de schimb de căldură și de substanță realizate dar și unele dezavantaje ca: - rezistență hidraulică de cîteva ori mai mare; - udare neuniformă a suprafețelor sau necesitatea optimizării condițiilor de intrare; - solicitarea materialului plăcilor suspendate în turn nu numai la întindere ci și la încovoiere, cu posibilitatea de rupere.

Dispunerea verticală a ondulelor [40] înălțătură toate aceste dezavantaje, astfel că, în măsura în care cifrele termice realizate sunt superioare celor corespunzătoare plăcilor plane, plăcile ondulate, cu ondulele dispuse vertical, pot să le concureze și să fie chiar preferate.

Pentru verificarea afirmațiilor făcute s-au studiat trei lungimi de plăci: $l_p = 1016, 1235$ și 1450 mm la distanțele $\delta=18,$

25 și 31 mm și densități ale plăcii $\dot{q}_w = 6; 8$ și $12 \text{ m}^3/\text{m}^2\text{h}$ (respectiv 1,667; 2,222 și 3,333 $\text{kg/m}^2\text{s}$), atât parametrii aerului menținindu-se aceeași $t_L = 27/20,5^\circ\text{C}$ cît și cei ai apei $t_{wl} = 40^\circ\text{C}$.

In figurile 73 și 74 sunt redate căderile de temperatură

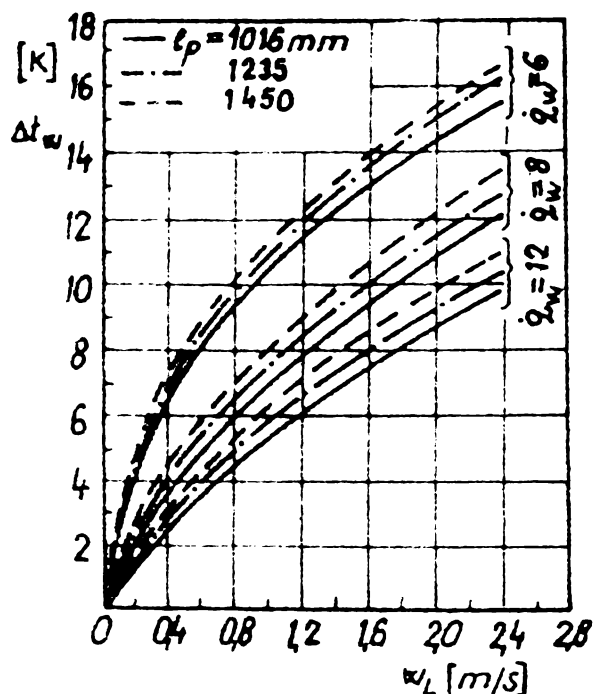


Fig. 73. $\Delta t_w = f(w_L, \dot{q}_w, l_p)$
pentru $\delta = \text{ct.}$

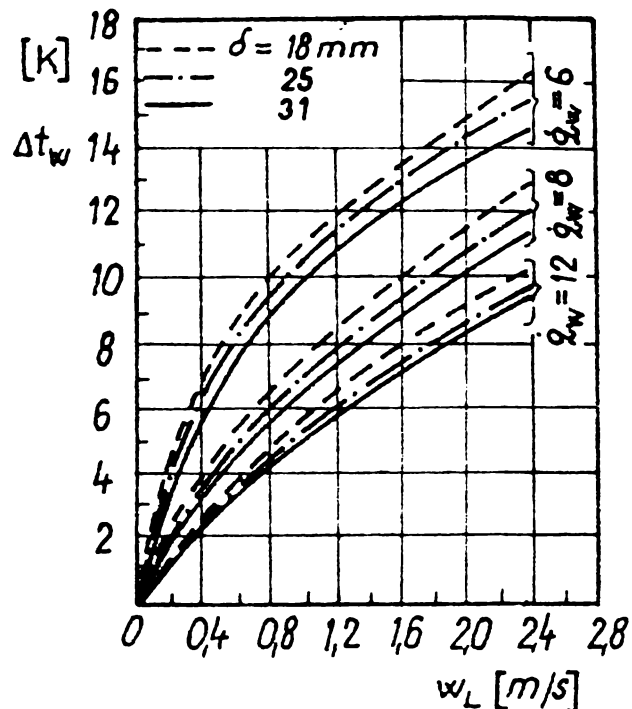


Fig. 74. $\Delta t_w = f(w_L, \dot{q}_w, \delta)$ pen-
tru $l_p = 1016 \text{ mm}$.

Δt_w realizate sub influența parametrilor w_L , \dot{q}_w și l_p (figura 73), respectiv w_L , \dot{q}_w și δ (figura 74). Ambele diagrame scot în evidență influența favorabilă a valorilor reduse ale intensității de stropire \dot{q}_w și a valorilor mari ale vitezei w_L și ale suprafețelor irrigate (prin micșorarea pasului dintre plăci).

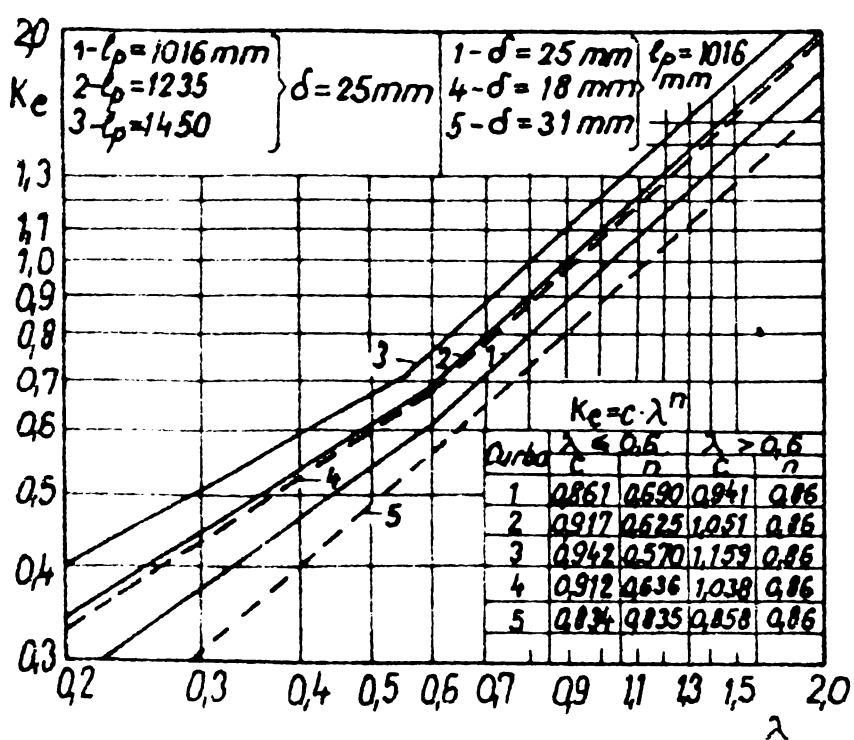


Fig. 75. Dependența $Ke = f(\lambda, l_p, \delta)$.

Obisnuit, pentru turnurile în contracurent cu tiraj natural $\Delta t_w \leq 8 \text{ K}$, valoare ușor realizabilă în condiții economice, fapt ce pledează dintr-o început pentru aplicabilitatea plăcilor ondulate vertical ca umplutură a turnurilor în contracurent.

Valorile numerice obținute pentru Ke

și variația acestuia în funcție de debitul specific de aer λ , de

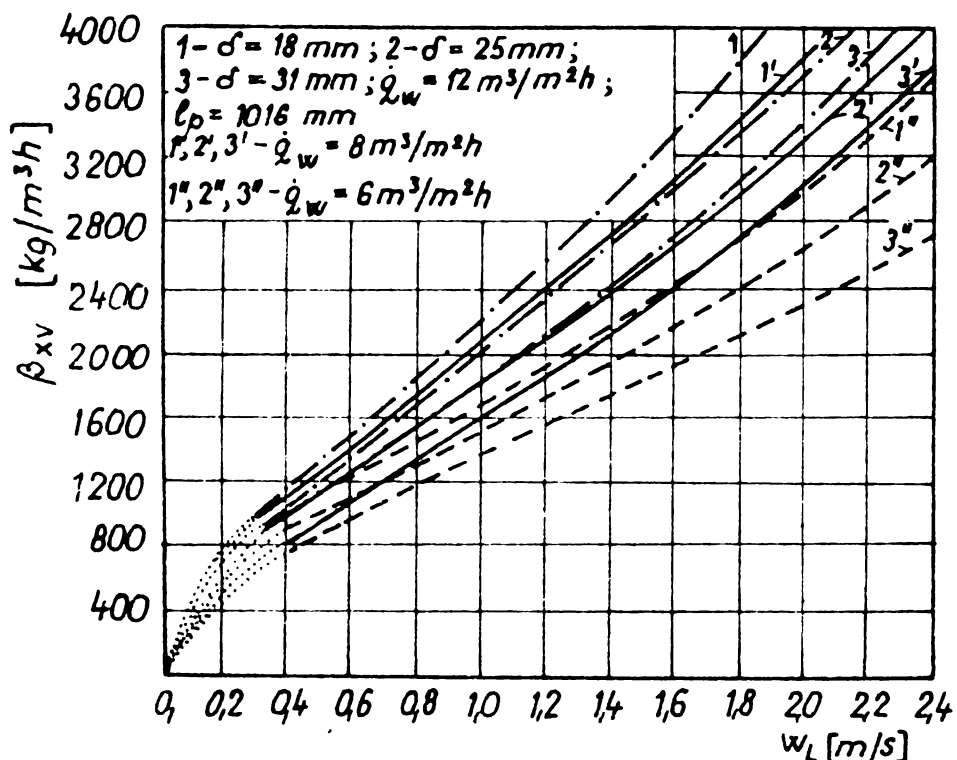


Fig.76. Dependența $\beta_{xv} = f(w_L, q_w, \delta)$ pentru $l_p = 1016$ mm.

l_p (la $\delta = 25$ mm) și de δ (la $l_p = 1016$ mm) sînt redate în figura 75; de asemenea sînt date valorile lui C și n (relația 25o).

Creșterea lui Δt_w și deci a lui Ke cu l_p (la $\delta = ct$) face ca β_{xv} să varieze relativ puțin în funcție de lungimea plăcilor, în schimb crește sensibil prin creșterea densității

ploii q_w ; la $l_p = ct$, β_{xv} crește atât prin creșterea lui q_w cît și a lui Δt_w (reducerea lui δ) și în consecință evantaiul curbelor $\beta_{xv} = f(w_L)$ este mult mai evazat și cu întrepătrunderi considerabile ale domeniilor corespunzătoare diferitelor intensități de stropire (figura 76).

In fine, în figura 77 sînt redate valorile coeficienților de rezistență ζ și ale celor unitari $\bar{\zeta} = \zeta/l$ rezultați din determinările experimentale ca valori medii considerate constante. Se poate observa de asemenea că influența intensității de stropire este cu atît mai puternic resimțită cu cît lungimea plăcilor l_p este mai mare (v.fig.77 dreapta; pentru q_w mic și δ mare ζ_{pl} poate inițial chiar să descrească, față de cazul plăcilor uscate); deși pare surprinzător la prima vedere, este rațional să fie astfel dacă se are în vedere reducerea asperităților plăcilor și rotunjirea muchiilor prin prezența unui film redus de apă care afectează prea puțin diametrul hidraulic, atunci cînd δ este mare și l_p relativ mic.

Din compararea datelor obținute cu cele proprii plăcilor ^{plane} din azbociment reies următoarele avantaje de partea plăcilor ondulate verticale:

- cifre de schimb de căldură și de substanță, la aceleași valori ale parametrilor caracteristici, mai bune decît pentru

plăcile plane ca urmare a creșterii suprafeței de prelungere și a unei captări mai complete a picăturilor de apă pe plăci;

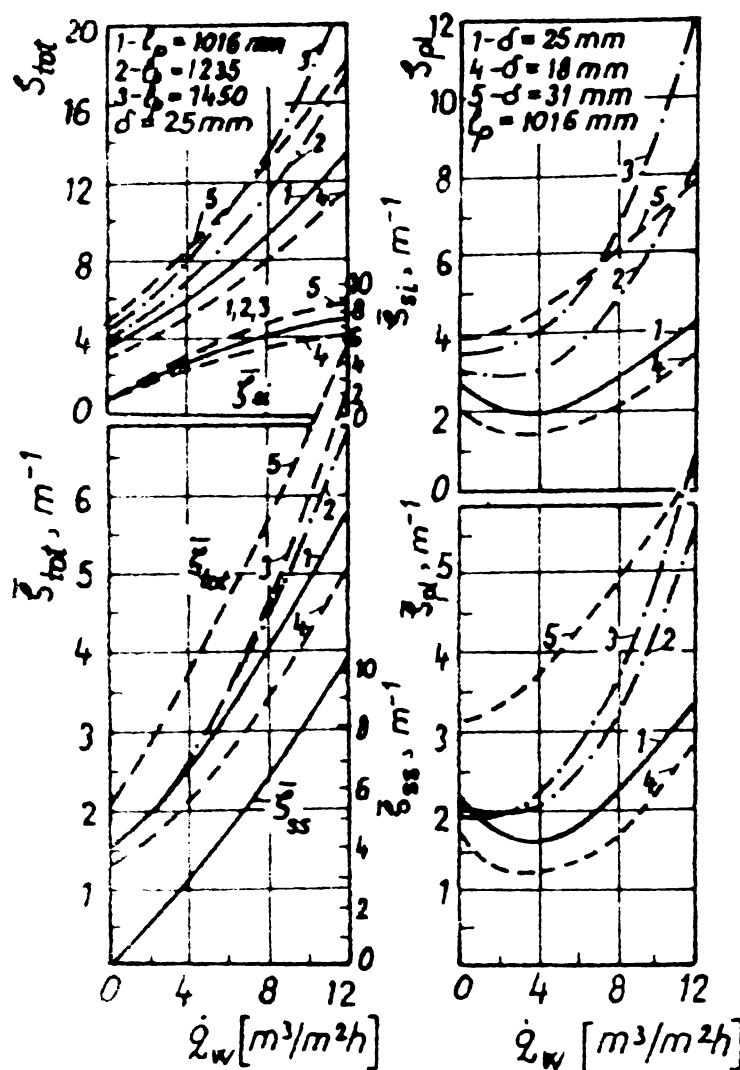


Fig. 77. Dependența $\zeta, \bar{\zeta} = f(q_w, l_p, \delta)$.

tului de materiale deficitare ca azbestul, etc, [26].

Plecind de la materialele oferite de industria chimică s-au încercat mai multe modele redate în figura 78. O problemă îndelung

- rezistențe aerodinamice comparabile cu ale plăcilor plane și de cîteva ori mai mari decît ale plăcilor ondulate orizontal.

O fază nouă a cercetării a fost aceea a găsirii de soluții mai ieftine și mai funcționale pentru umpluturile turnurilor de răcire. Una dintre soluțiile propuse și incercate o constituie masele plastice sub formă de plăse care prezintă următoarele avantaje: greutate mult mai redusă a umpluturii, preț de cost mai mic, consumuri specifice de material reduse pe unitatea de volum, reducerea impor-

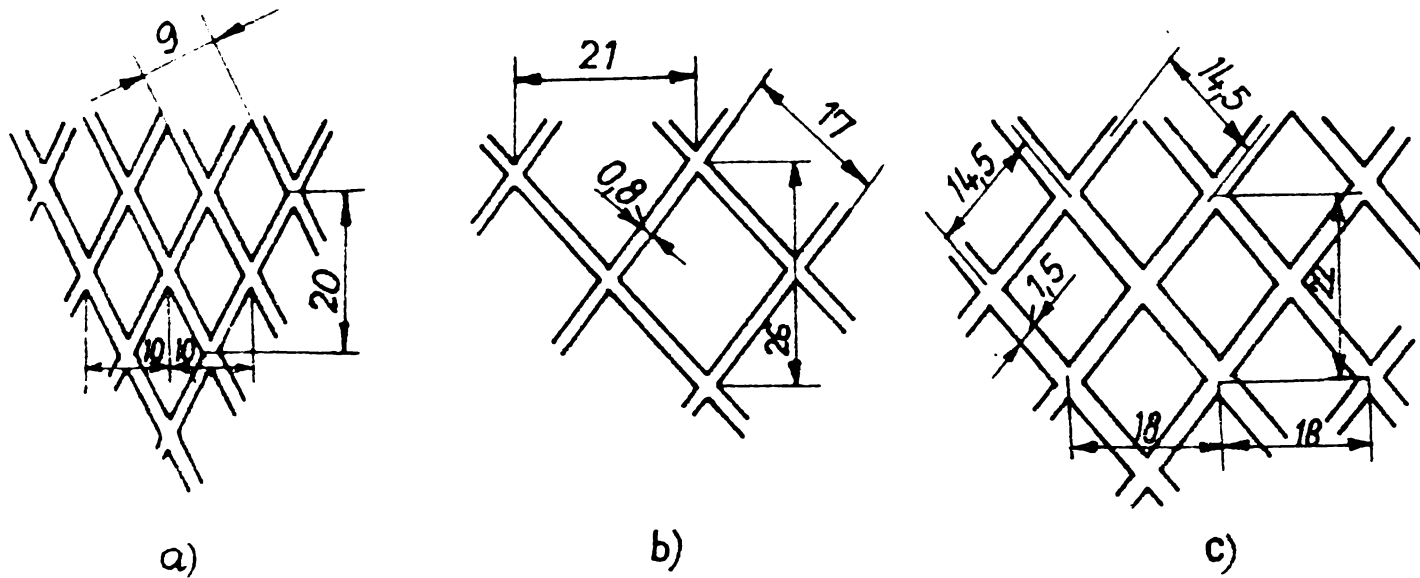


Fig.78. Modelele de plase utilizate .

studiată se referă la modelul de asezare al plaselor în interiorul

turnului pentru a realiza cel mai ^{bun} coefficient de schimb de căldură și de substanță la o cădere de presiune cît mai mică pe partea aerului. La primele încercări plasele au fost întinse pe cadre din lemn dispuse orizontal, vertical sau inclinate cu cca. 15° față de verticală. Dificultățile tehnologice de realizare a pachetelor de plase a condus în final la ideea disponerii plasei de polietilenă pe un schelet de susținere sub formă de spirală, constituit dintr-o sîrmă de oțel îmbrăcată în plastic.

Toate determinările experimentale s-au făcut pe aceeași instalație pilot (figura 55). În timpul determinărilor experimentale s-au menținut (ca și la majoritatea experiențelor anterioare) constanți parametrii aerului la intrarea în turn ($t_L = 27/20,5^{\circ}\text{C}$) cît și temperatura apei calde ($t_{w1} = 40^{\circ}\text{C}$). S-a lăsat cu densitățile de ploaie $q_w = 8,12$ și $16 \text{ m}^3/\text{m}^2\text{h}$, iar pe partea aerului cu viteze ce variau între 0,4 și 2,2 m/s.

S-au cercetat rulouri de diferite diametre, (acestea variind între 150 și 250 mm. Mă voi mărgini la prezentarea rezultatelor cercetării personale și anume cu rulouri din plasă cu dimensiune $14,5 \times 14,5 \times 1,5$ mm (figura 78,c) și cu diametrul de 150 mm. Rulourile aveau lungime egală cu latura secțiunii turnului de răcire. Din diversele posibilități de așezare s-au selectat doar două, și anume paralel și încrucișat (figura 79). Pentru a se putea efectua comparații cu umpluturile din plăci de azbociment studiate anterior, s-au păstrat riguros constante și în cazul acestor experimentări zonele de ploaie superioară și inferioară. Înălțimea efectivă a umpluturii a variat între 1050 și 1500 mm, ceea ce înseamnă un număr de 7, 8, 9 respectiv 10 rînduri de rulouri suprapuse. Din punct de vedere al comportării aerodinamice era de așteptat, ca prin mărirea numărului de rînduri să crească rezistența opusă aerului, însă această creștere este relativ mică și valabilă doar pentru vitezele mici ale aerului $w_L = 0 + 1 \text{ m/s}$ (figura 80). Dacă la prima vedere pare ciudată inversarea situației pentru viteze mai mari de curgere ale aerului, aceasta devine explicable prin deteriorarea peliculei ce se formează între ochiurile plasei și deci o ușoară creștere a secțiunii de trecere a aerului. Dacă ne referim la rezistența aerodinamică a ansamblului (umplutură + zone de stropire), situația se prezintă asemănător, doar că la viteze ale aerului peste 1 m/s practic

creșterea numărului de rînduri de rulouri nu mai influențează re-

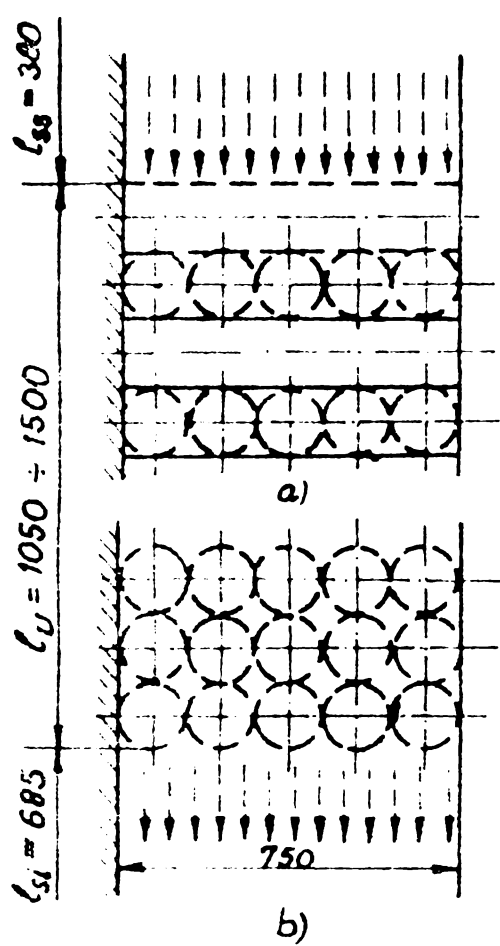


Fig.79. Modul de așezare al rulourilor $\varnothing 150$ mm.

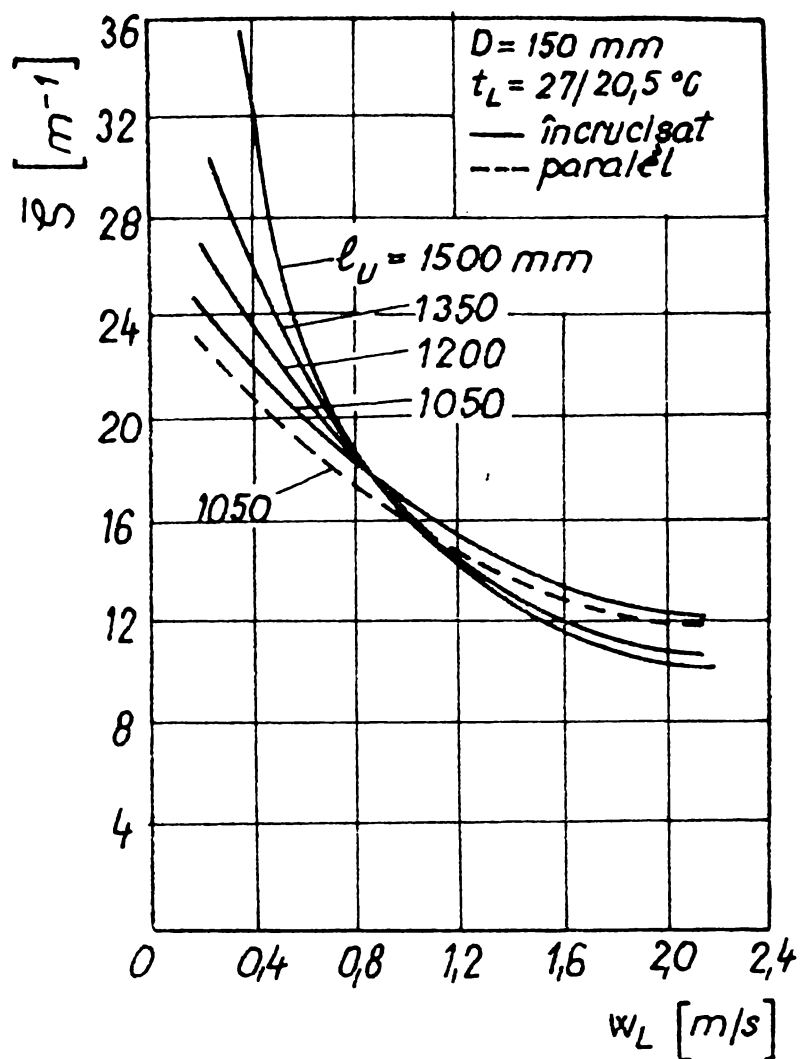


Fig.80. Coeficientul $\Sigma = f(w_L, l)$ pentru umplutură.

zistență aerodinamică, curba de variație suprapunîndu-se (figura 81).

Dacă pe partea de rezistență aerodinamică era de așteptat o creștere cu mărirea numărului de rînduri, acest lucru este valabil și pentru zona de răcire realizată în turn Δt_w . În figura 82 sunt redate zonele de răcire Δt_w în funcție de λ , l_u și modul de așezare al rulourilor, pentru densitatea placii $q_w = 12 \text{ m}^3/\text{m}^2\text{h}$ ($3,333 \text{ kg/m}^2\text{s}$). Pe lîngă creșterea normală a zonei de răcire cu numărul de rînduri, se observă și îmbunătățirea acesteia pe măsura creșterii debitului specific de aer λ . Avem astfel o variație de 10 K a lui Δt_w , pentru variația lui λ între limitele $0,2 \div 1,2$. Deși de remarcat este faptul că umplutura din rulouri realizează fără dificultăți zona de răcire caracteristică turnurilor de răcire în contracurent cu tiraj natural de cca. 8 K. Revenind la numărul de rînduri, trebuie să relev totuși că acest parametru are o influență modestă asupra zonei de răcire realizate. În ceea ce privește modul de așezare, acesta nu influențează pregă-

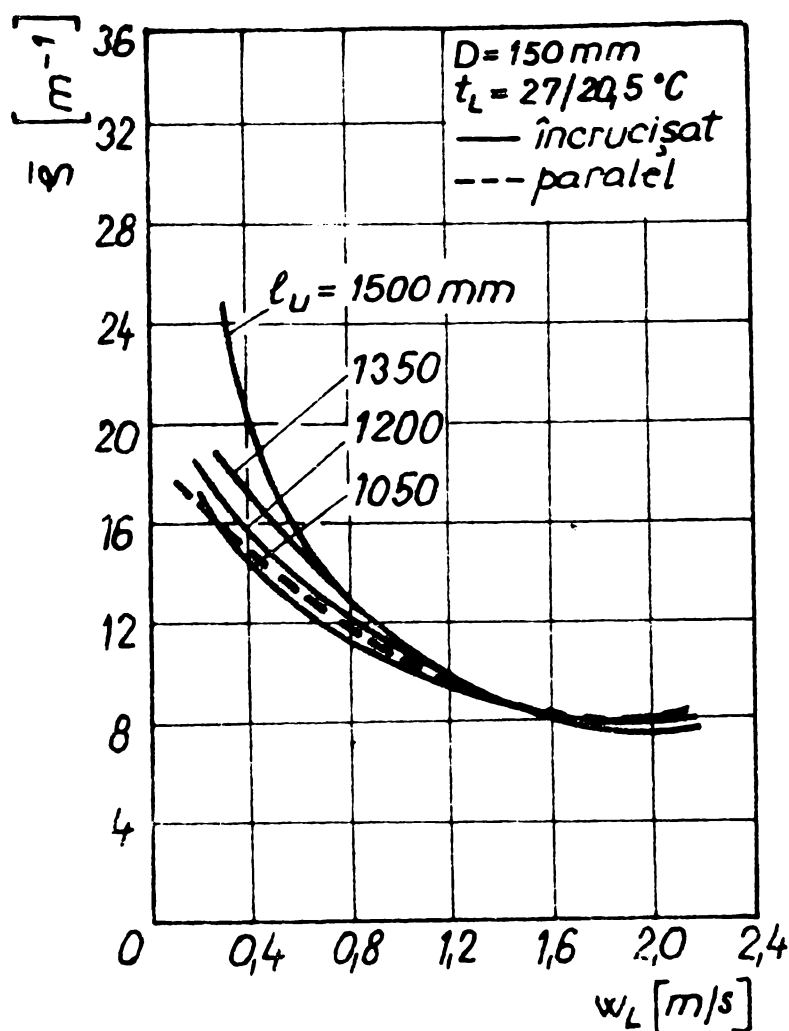


Fig.81. Coeficientul $\bar{S} = f(w_L, l)$ pentru ansamblul turnului.

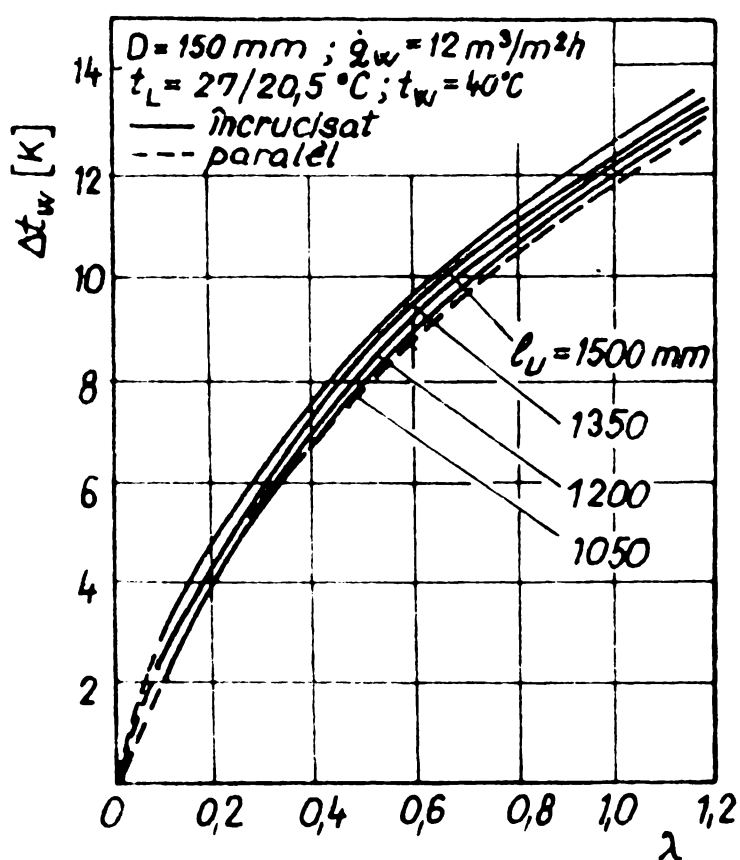


Fig.82. Zona de răcire Δt_w funcție de λ .

nant, așezarea încrucișată a rulourilor ne-deosebindu-se esențial de așezarea paralelă.

Urmărind sarcina termică specifică volumică \dot{Q}_w/V_t (figura 83), se observă o scădere a acesteia cu creșterea numărului de rânduri de rulouri. Dacă variația zonei de răcire cu numărul de rulouri a indicat deja o creștere minoră, variația sarcinii termice specifice volumice atrage atenția și mai mult asupra inutilității măririi volumului umpluturii peste o anumită limită.

O variație similară cu cea a zonei de răcire o are și cifra de evaporare K_e , ceea ce de altfel era de așteptat, aceasta fiind proporțională cu Δt_w . În figura 84 este redată variația lui K_e funcție de debitul specific de aer λ , de l_n și de modul de așezare al rulourilor. De remarcat în această diagramă este doar faptul că modul de așezare influențează totuși comportarea termică a umpluturii, așezarea încrucișată caracterizându-se printr-o variație continuă a lui $K_e = f(\lambda)$, iar cea paralelă

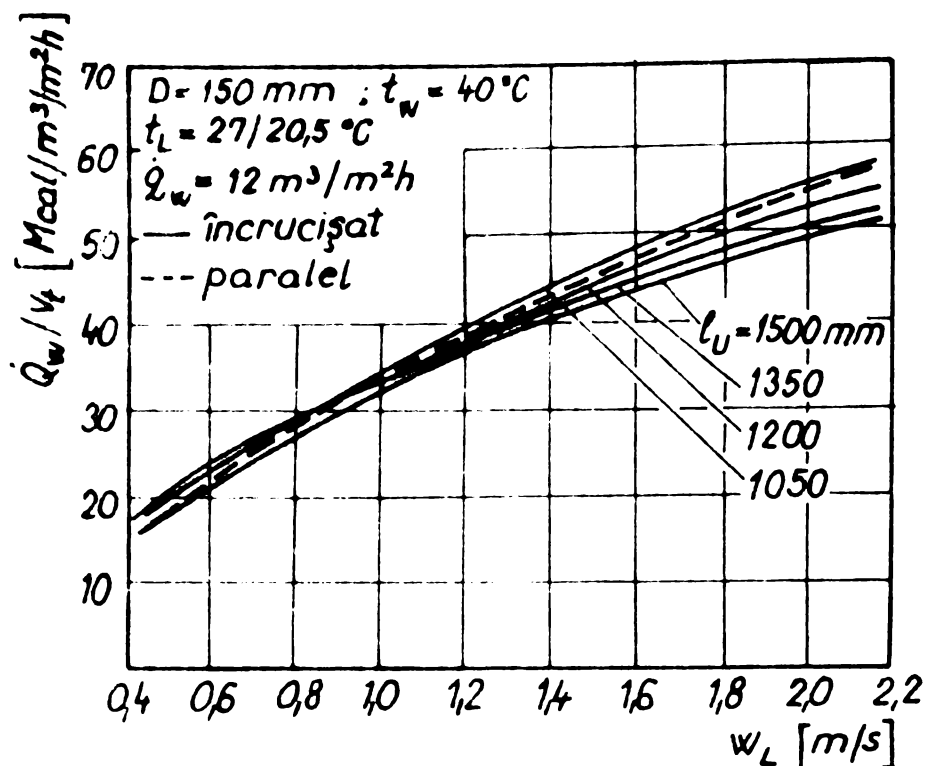


Fig.83. Variatia parametrului $\dot{Q}_w/V_t = f(w_L, l_u)$.

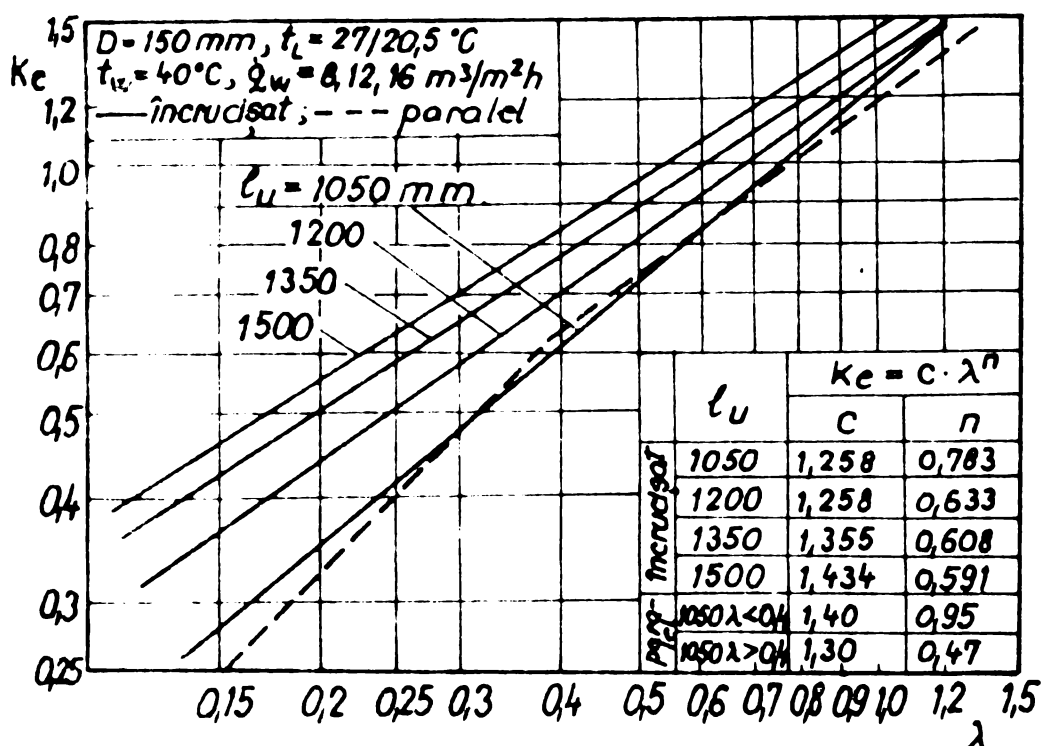


Fig.84. Cifra de evaporare K_e în funcție de λ .

Discutind comportarea coeficientului volumic de schimb de substanță β_{xv} în funcție de w_L și l_u , acesta fiind o mărime sintetică, indică și mai bine inutilitatea măririi numărului de rînduri (figura 85). În plus, se vede că această mărire are influență sensibilă doar în domeniul valorilor medii ale vitezei aerului ($w_L = 0,4 - 1,7 \text{ m/s}$).

printr-o variație discontinuă. Astfel, la valorile extreme ale lui λ așezarea încrucișată este superioară, pe cind la valorile mijlocii ale lui λ așezarea paralelă devine mai bună. Referitor la expresia variației lui $K_e = f(\lambda)$ se observă că valoarea coeficientului C se mărește odată cu creșterea înălțimii umpluturii, respectiv odată cu creșterea înălțimii active a turnului. Exponentul n al debitului specific de aer din contră scade odată cu creșterea înălțimii umpluturii. Aceasta explică evazarea mare a familiei de drepte în zona debitelor relativ de aer mici și apropierea lor la valorile mari ale lui λ .

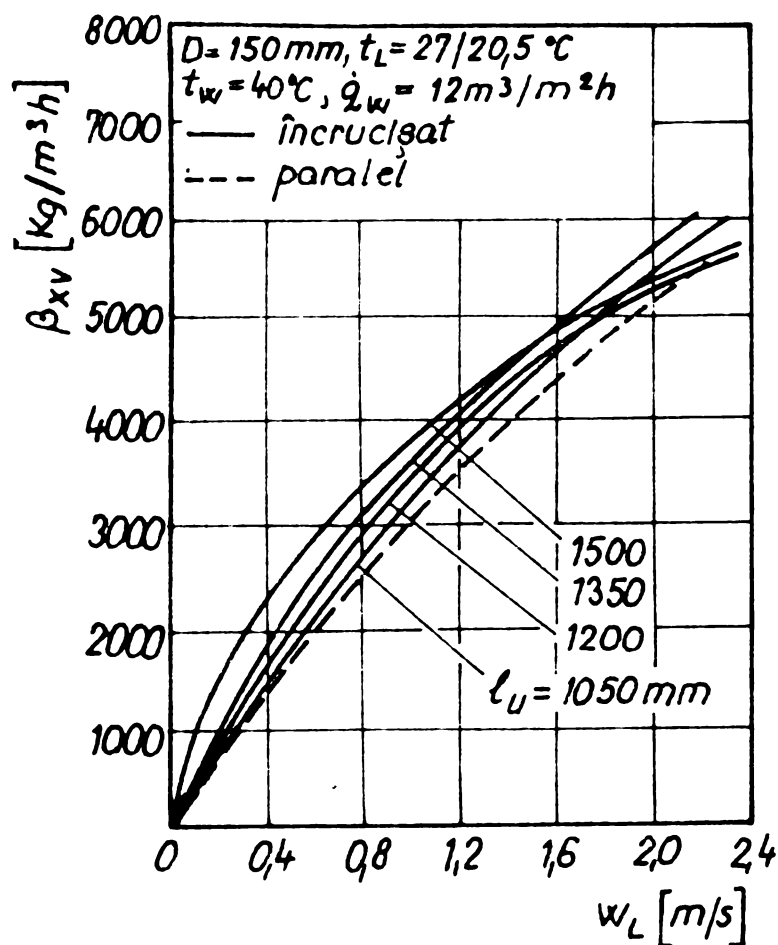


Fig.85. Variatia coeficientului $\beta_{xv} = f(w_L, l_n)$.

Cercetările experimentale efectuate cu umplutura constituită din rulouri din plasă de polietilenă au scos în evidență următoarele concluzii mai importante:

- utilizarea maselor plastice sub formă de plase conduce la consumuri specifice de material pe unitatea de volum de umplutură foarte reduse, de numai $1,2 + 4,2\%$ volumic și $0,4 + 1,3\%$ masic;
- sistemul de susținere al umpluturii se simplifică considerabil, aceasta având o greutate de $100 + 300$ ori mai redusă;

- se realizează umpluturi din materiale indigene la un preț de revenire ce reprezintă $9 + 33\%$ din cel al plăcilor din azbociment;

- utilizarea umpluturilor din plase de polietilenă este foarte avantajoasă, realizându-se cifre de transfer termic și substanță comparabile sau chiar mai mari decât cele ale umpluturilor din plăci de azbociment;

- rezistențele hidraulice în regim umed sunt și ele comparabile sau mai mici decât cele corespunzătoare plăcilor din azbociment;

- privitor la numărul de rînduri de rulouri, avîndu-se în vedere că prin creșterea lor crește și prețul turnului, nu este justificată creșterea înălțimii umpluturii, atîta timp cît zona de stropire din partea superioară și inferioară se mențin constante. Este chiar avantajoasă reducerea înălțimii sistemului de răcire la 7 rulouri (1050 mm), cu o diminuare corespunzătoare a întregului disporor;

- operațiile de schimbare a umpluturii care se efectuează în timpul reparațiilor capitale se simplifică extrem de mult și

se pot realiza într-un interval de timp mult mai scurt decât în cazul plăcilor de asbociment.

Trebuie însă amintit și un dezavantaj major al rulourilor fabricate din păsări de polietilenă și anume inflamabilitatea lor. Această impiedicere în folosirea acestor rulouri a determinat găsirea de noi soluții îmbunătățite. Astfel, s-au realizat la ICEMENERG rulouri rigide din mase plastice ignifugate armate cu fibre de sticlă. Această tip de rulouri, pe lîngă faptul că elimină pericolul de inflamabilitate, produce și o economie de metal, prin faptul că armarea cu fibră de sticlă face inutilă existența spiralei de sîrmă ca structură de rezistență a ruloului.

Si aceste rulouri au fost încercate tot pe standul amintit (figura 55), la diferite moduri de așezare, mărimele termice și hidrodinamice comparindu-se cu cele rezultate din utilizarea rulourilor anterioare, așezate în paralel (figura 86) cu înălțimea utilă $l_n = 1200$ mm, avînd deci 8 rînduri de rulouri [27]. Si determinările efectuate asupra rulourilor ignifugate au pasat aceeași înălțime utilă a umpluturii, pentru a asigura comparabilitatea rezultatelor. S-au menținut constanții parametrii aerului și ai apei ($t_{L_1} = 27/20,5^{\circ}\text{C}$; $t_{w_1} = 40^{\circ}\text{C}$), realizînd trei densități de stropire: $\dot{q}_w = 8, 12$ și $16 \text{ m}^3/\text{m}^2\text{h}$ și viteze ale aerului în gama $0,4 \div 2,2 \text{ m/s}$.

Toate mărimele reprezentate funcție de w_L (\dot{Q}_w/A_n , \dot{Q}_w/V_t și β_{xv}) se înscriu pe trei curbe, evidențiind o influență favorabilă a creșterii densității de stropire. De asemenea, se observă o creștere a valorii mărимilor reprezentate, odată cu mărarea vitezei aerului prin instalatie. Influența favorabilă a vitezei aerului este mai accentuată în domeniul vitezelor mici. Mărimele reprezentate în funcție de λ (Δt_w și K_e) se înscriu pe o singură curbă, fără a se putea evidenția vre-o influență a densității de stropire a

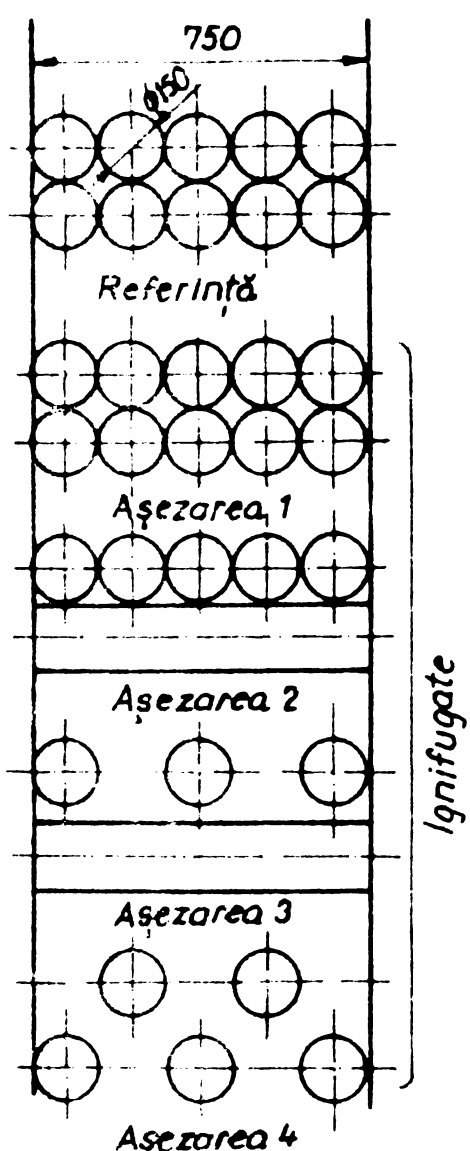


Fig. 86. Modul de așezare al rulourilor.

apei q_w asupra procesului. Se observă influența favorabilă a debitului specific de aer λ , mai accentuată în domeniul valorilor mici.

In diagrama $\dot{Q}_w / V_t = f(w_L)$ (figura 87) se observă că așezarea 2 oferă performanțe termice mai bune decât așezarea 1 și evident superioare așezărilor 3 și 4.

De remarcat că aproape toate umpluturile cercetate cu rulouri ignifugate au dat rezultate mai bune decât rulourile anterioare din polietilenă (cu excepția așezării 4 la viteze ale aerului $< 1,4 \text{ m/s}$), de unde concluzia că prin ignifugare rulourile devin mai rugoase și în consecință sunt mai bine udate de apă, timpul de contact al apei este mai mare și modul de formare al picăturilor este mai avantajos.

Fig.87. Dependența $\dot{Q}_w / V_t = f(w_L)$.

Apoi, rulourile ignifugate sunt mai rigide și geometria se păstrează uniform în interiorul umpluturii. Este posibil ca în exploatare calitățile umpluturii să diminueze datorită murdăririi rulourilor. În orice caz, se poate conta cel puțin pe o pasătrare a performanțelor umpluturilor cu rulouri din plasă de polietilenă în cazul echipării turnurilor cu rulouri ignifugate, ceea ce determină concluzia că soluția constructivă aleasă este bună.

In privința modului de așezare al umpluturii (paralel sau încrucișat) și al conținutului de rulouri în unitatea de volum, cele 4 geometrii încercate au testat două posibilități de umplere: cu 100% și cu 50% din numărul total de rulouri și așezarea în șiruri succesive sau în șiruri încrucișate.

Toate diagramele prin care s-au făcut comparații în coordonatele $\beta_{xv} = f(w_L)$ (figura 88) și $K_e = f(\lambda)$ (figura 89) evidențiază că, mai ales la densități de stropire moderate ($q_w = 8 \text{ m}^3/\text{m}^2\text{h}$)

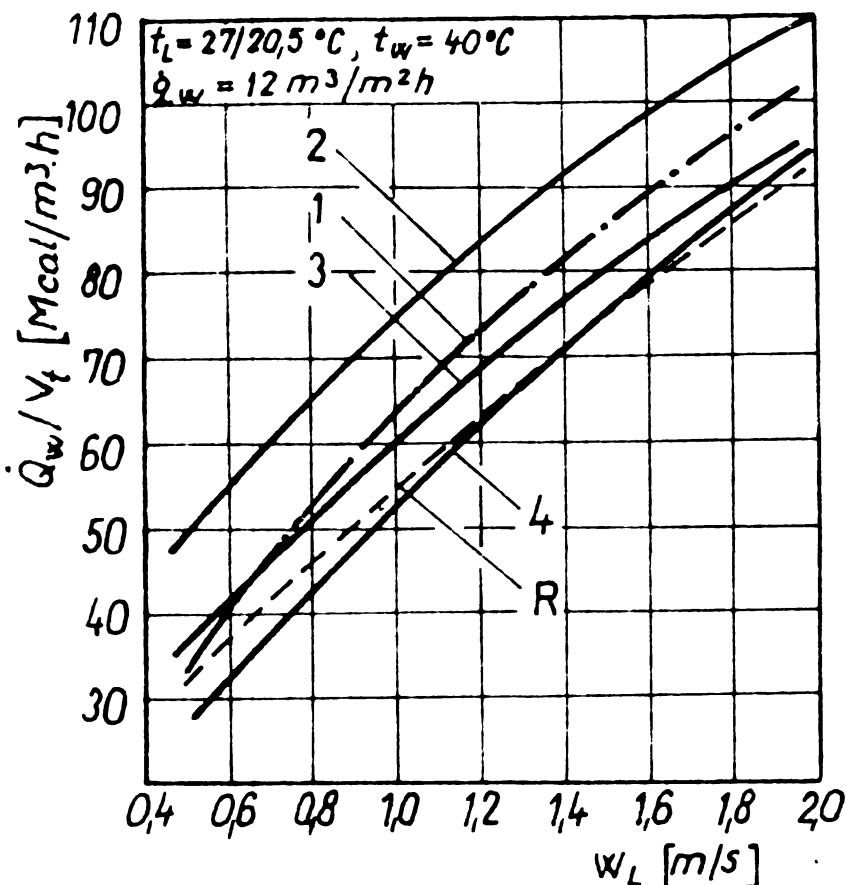


Fig.87. Dependența $\dot{Q}_w / V_t = f(w_L)$.

Apoi, rulourile ignifugate sunt mai rigide și geometria se păstrează uniform în interiorul umpluturii. Este posibil ca în exploatare calitățile umpluturii să diminueze datorită murdăririi rulourilor. În orice caz, se poate conta cel puțin pe o pasătrare a performanțelor umpluturilor cu rulouri din plasă de polietilenă în cazul echipării turnurilor cu rulouri ignifugate, ceea ce determină concluzia că soluția constructivă aleasă este bună.

In privința modului de așezare al umpluturii (paralel sau încrucișat) și al conținutului de rulouri în unitatea de volum, cele 4 geometrii încercate au testat două posibilități de umplere: cu 100% și cu 50% din numărul total de rulouri și așezarea în șiruri succesive sau în șiruri încrucișate.

Toate diagramele prin care s-au făcut comparații în coordonatele $\beta_{xv} = f(w_L)$ (figura 88) și $K_e = f(\lambda)$ (figura 89) evidențiază că, mai ales la densități de stropire moderate ($q_w = 8 \text{ m}^3/\text{m}^2\text{h}$)

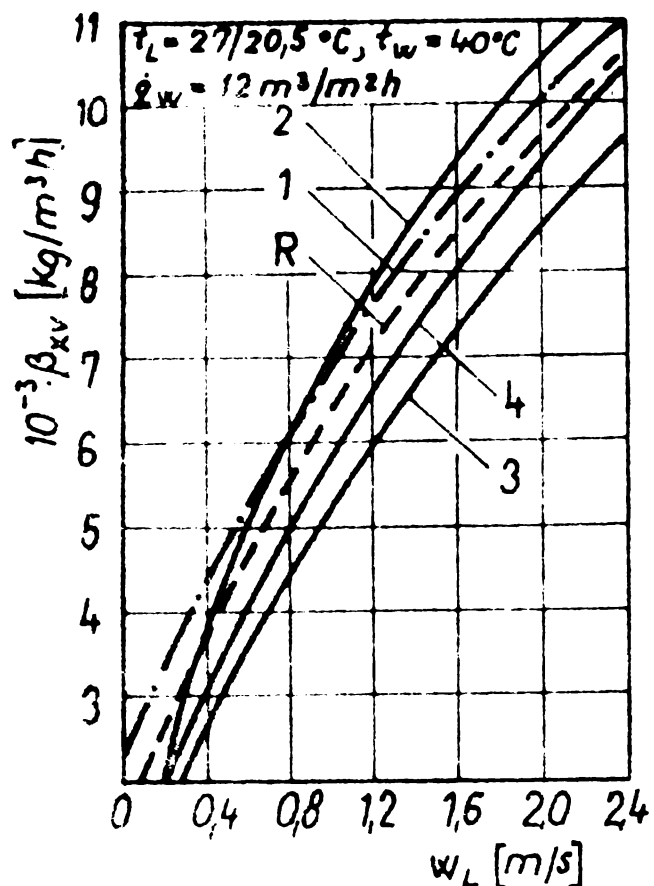


Fig.88. Dependența $\beta_{xv} = f(w_L)$

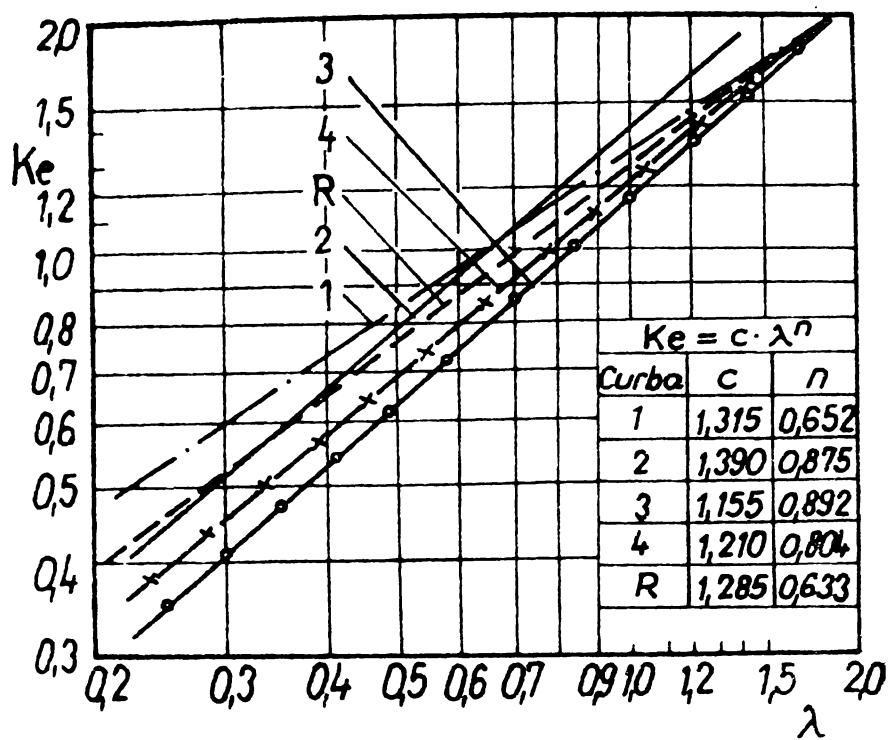


Fig.89. Dependența $Ke = f(\lambda)$.

și la viteze ale aerului de pînă la 1 m/s, respectiv la debite specifice de aer λ de pînă la 0,3 la așezarea încrucișată performanțele oferite de umplutura 4 sunt sensibil apropiate de aceleale ale umpluturii 3. Concluzia este deosebit de importantă dacă se are în vedere și economia de umplutură (50%) ce se obține prin această geometrie. În domeniul vitezelor mari ale aerului și la densități de stropire ridicate, este mai avantajos din punct de vedere termic utilizarea umpluturii compacte.

In cazul umpluturii paralele, avantajul este în toate cazurile pentru umplutura compactă. Domeniul pe care se extind efectele influenței reducerii cu 50% a umpluturii îmbracă o zonă de cca. 15% din valoarea nominală a valorii coeficientului de transfer β_{xv} .

Dacă se ține cont de faptul că abateri de $\pm 25\%$ ale coeficientului de transfer în turn sunt curente și că se obțin din neuniformitățile frecvente de montaj și funcționare, rezultă că echiparea dispersorului cu 50% din umplutură este avantajoasă chiar și în cazul în care în laborator au rezultat performanțe ceva mai bune pentru umplutura compactă, costurile în lei și în special în energie sunt avantaje care justifică competitivitatea soluției.

In ceea ce privește modul de așezare al umpluturii: paralel sau încrucișat, la așezarea cu umplutură 50% este avantajoasă umplutura încrucișată pentru întreg domeniul cercetat.

In cazul umpluturii compacte, la densități de stropire mici

este avantajoasă așezarea paralelă, iar la densități de stropire mari este avantajoasă așezarea încrucișată. Explicația acestei influențe, diferită în cazul umpluturii compacte față de umplutura cu 50% rulouri este tot în legătură cu granulometria picăturilor și cu timpul de staționare al acestora în turn.

In concluzie se poate spune că prin rigidizarea și îngăgarea ruloului $\varnothing 150$ mm se obțin ameliorări ale performanțelor termice ale acestuia. Rezultă că soluția tehnologică adoptată este foarte bună întrucât se mărește coeficientul de transfer termic față de ruloul etalon construit manual în laborator.

7.2. Cercetarea experimentală pe standul pilot turn de răcire în curent încrucișat.

Pornind de la constatarea că există diferențe între alura izotermelor teoretice și alura izotermelor experimentale în turnurile de răcire în curent încrucișat, proiectantul a fost pus în situația de a nu putea proiecta în condiții sigure turnurile de răcire în curent încrucișat din cauză că în timp ce prelucrarea datelor experimentale obținute pe standul pilot turn de răcire în curent încrucișat din cadrul Catedrei de Termotehnică și Mașini Termice se făcea pe baza metodei randamentului, aceste date nu verificau cu metoda diferențelor finite [22] sau metoda Berman [6].

Pentru a se elucida problema transpunerii rezultatelor experimentale de pe standul pilot (vezi descrierea standului în [54]) pe instalația reală, în prima fază s-a divizat volumul standului experimental în 9 volume elementare (păstrând similitudinea geometrică) și s-a urmărit modul în care evoluau coeficienții volumici de schimb de substanță β_{xv} în interiorul instalației. Se credea la timpul respectiv că toate dificultățile provin de acolo că de fapt coeficienții β_{xv} nu sunt constanți în interiorul turnului și din această cauză provin diferențele.

Ulterior, cercetarea teoretică s-a extins și s-a divizat instalația experimentală în $14 \times 14 = 196$ cuburi elementare, de ușemenea de aceeași formă în plan.

In final s-au făcut comparații între rezultatele obținute prin cele trei procedee: considerînd instalația ca un tot unitar, calculînd pe 9 volume și calculînd pe 196 volume.

Pentru calcul s-au utilizat trei programe și anume programele: TINCR, EXPER, ANALITIC (descrise în § 5.1). Pentru a se ob-

ține rezultate semnificative s-au utilizat atît valori experimentale obținute în anii precedenți, cît și valori măsurate în anul 1978 special pentru acest scop.

Dacă pentru considerarea instalației ca un tot unitar erau suficiente măsurătorile globale, pentru împărțirea în 9 cuburi a fost necesară măsurarea temperaturii apei răcite pe trei zone (figura 90) prin montarea corespunzătoare a trei termometre (t_2 , t_3 și t_4) în plus față de termometrul t_5 .

Cu toate acestea, s-au întâmpinat dificultăți în interpretarea rezultatelor din următoarele motive:

- din cauza componentei orizontale a vitezei generată de curentul de aer, traекторia picăturii de apă în cădere sub acțiunea culpului gravitațional realizează un unghi de $15-25^{\circ}$ față de verticală. În consecință zona din imediata apropiere a secțiunii de intrare a aerului se găsește în "unghi mort" nefiind irigată de apă. Termometrul din această regiune t_1 , are tendința de a arăta temperatura termometrului umed al aerului

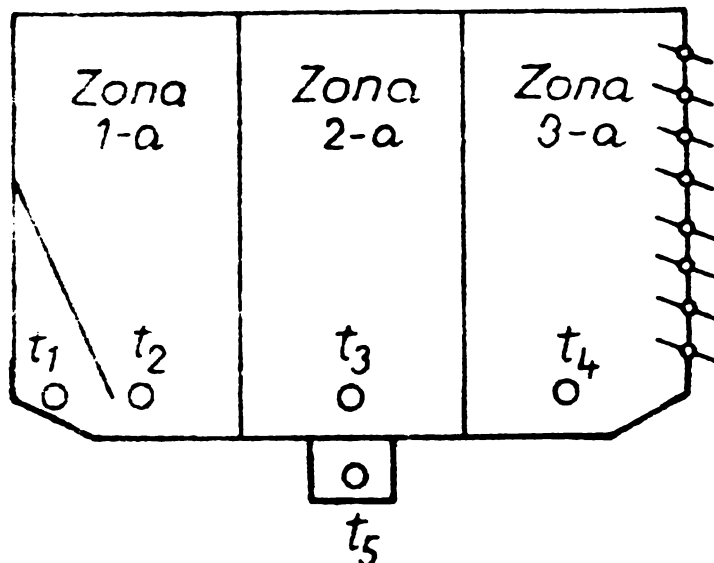
Fig.90. Modul de amplasare al termometrelor de măsurare a temperaturii apei răcite.

- termometrul montat în centrul zonei a 3-a (t_1) indică o temperatură destul de apropiată de temperatura medie a apei (t_s) din cauză că fenomenul de modificare a traectoriei picăturilor se continuă și în această zonă. În realitate, apa colectată în zona a 3-a este mult mai mare decât $\frac{1}{3}$. Reținătorul de stropi impiedică evacuarea apei ce are tendința de a părași cuva de colectare.

Pentru a se elimina aceste fenomene de margine s-a procedat în felul următor: s-a luat de bună pentru zona 2-a temperatura medie a apei (t_5). Diferențele (t_2-t_3) și (t_3-t_4), respectiv gradienții de temperatură pe orizontală s-au aplicat temperaturii de bază (t_5). S-a obținut:

$$(t_{w2})_{\text{zona } 1} = t_5 - (t_2 - t_3) \quad (\text{°C}) \quad (266)$$

$$(t_{w2})_{\text{zona } 2} = t_5 \quad (\text{°C}) \quad (267)$$



$$(t_{w2})_{\text{zona } 3} = t_5 - (t_3 - t_4) \quad (\text{°C}) \quad (268)$$

Rezultatele propriu-zise sănt date în tabelul 4. Pentru a se trage concluzii semnificative au fost alese unele din rezultatele cuprinse în tabelul 4. Spre exemplu experiența 112, a fost evaluată în programul TINCR astfel:

Date măsurate: $\dot{M}_L = 6560,82 \text{ kg/h}$; $\dot{M}_w = 7119,39 \text{ kg/h}$

$i_{L1} = 14,37 \text{ kcal/kg}$; $x_{L1} = 12,90 \text{ g/kg}$

$t_{w1} = 39,98^\circ\text{C}$; $t_{w2} = 32,65^\circ\text{C}$

Date calculate: $(\beta_{xv})_1 = 3057,61 \text{ kg/m}^3\text{h}$; $x_{L2} = 24,2 \text{ g/kg}$
(program TINCR)

$t_{L2} = 31,3^\circ\text{C}$

Date introduse: $(t_{w2})_1 = 31,15^\circ\text{C}$; $(t_{w2})_2 = 32,65^\circ\text{C}$

prin programul $(t_{w2})_3 = 34,15^\circ\text{C}$
EXPER

Date calculate: zona 1 $(t_{w2})_1 = 31,097^\circ\text{C}$ $(\beta_{xv})_1 = 3612,4 \text{ kg/m}^3\text{h}$

zona 2 $(t_{w2})_2 = 32,66^\circ\text{C}$ $(\beta_{xv})_2 = 3278,8 \text{ kg/m}^3\text{h}$

zona 3 $(t_{w2})_3 = 34,165^\circ\text{C}$ $(\beta_{xv})_3 = 2731,5 \text{ kg/m}^3\text{h}$

Valori medii calculate: $(t_{w2})_m = 32,640^\circ\text{C}$ Abatere: + 0,03%

$(\beta_{xv})_m = 3227,58 \text{ kg/m}^3\text{h}$ + 5,55%

$(x_{L2})_m = 24,293 \text{ g/kg}$ + 0,384

$(t_{L2})_m = 31,132^\circ\text{C}$ - 0,536

Experiența 117:

Date măsurate: $\dot{M}_L = 9718,67 \text{ kg/h}$; $\dot{M}_w = 7079,73 \text{ kg/h}$

$i_{L1} = 14,12 \text{ kcal/kg}$; $x_{L1} = 12,5 \text{ g/kg}$

$t_{w1} = 39,90^\circ\text{C}$; $t_{w2} = 30,26^\circ\text{C}$

Date calculate: $(\beta_{xv})_1 = 4488,4 \text{ kg/m}^3\text{h}$; $x_{L2} = 22,5 \text{ g/kg}$

(programul TINCR) $t_{L2} = 30,7^\circ\text{C}$

Date introduse: $(t_{w2})_1 = 28,75^\circ\text{C}$; $(t_{w2})_2 = 30,25^\circ\text{C}$

prin programul $(t_{w2})_3 = 31,75^\circ\text{C}$
EXPER

Date calculate: zona 1 $(t_{w2})_1 = 28,66^\circ\text{C}$; $(\beta_{xv})_1 = 5572 \text{ kg/m}^3\text{h}$

zona 2 $(t_{w2})_2 = 30,28^\circ\text{C}$; $(\beta_{xv})_2 = 5095 \text{ kg/m}^3\text{h}$

Tabelul 4

**REZULTATELE PRIVIND COMPARATILE INTRE EXPERIMENTARILE EFECTUATE PE STANJUL PILOT IN
CURENT INCRUCISAT, PRELUCRATE CU METODA GLOBALA, METODA EXPERIMENTALA SI CU METODA
ANALITICA**

Cod exp	Mărimea măsurată	Metoda globală						Metoda experimentală						Metoda analitică						
		t_{W1}	t_{W2}	t_{L1}	t_{L2}	β_{XV}	t_{L2}	Ψ_{L2}	t_{L2}	β_{XV}	t_{L2}	Ψ_{L2}	t_{W2}	t_{L2}	β_{XV}	t_{L2}	Ψ_{L2}	t_{W2}	t_{L2}	β_{XV}
101	40,05	35,01	14,12	34,4	35,78	5670	35,1	29,55	92,61	34,95	35,00	29,63	5152	34,73	35,11	29,23	4670			
102	40,10	34,27	12,12	34,2	35,36	5605	34,9	29,14	91,22	34,49	34,44	28,74	5662	34,50	34,37	28,86	5605			
103	40,02	33,69	13,95	32,7	32,37	5752	34,1	27,61	90,18	33,94	33,69	27,65	6333	33,70	33,85	27,25	5752			
104	39,96	32,91	14,03	32,3	31,61	6884	34,0	27,46	92,15	33,81	32,90	27,50	7414	33,57	33,06	27,16	6884			
105	40,01	32,75	14,03	31,9	30,86	6957	33,8	26,96	89,17	33,60	32,74	27,00	7437	33,36	32,90	26,68	6957			
106	39,94	32,25	14,20	31,8	30,68	7816	33,7	26,95	89,17	33,50	32,24	27,00	8313	33,26	32,39	26,71	7816			
107	40,04	31,70	14,20	31,7	30,51	8458	33,7	26,86	89,40	34,40	31,69	26,91	9312	33,12	31,89	26,56	8633	-		
108	39,96	31,31	14,20	31,4	29,96	9203	33,6	26,75	89,33	33,32	30,68	26,79	10068	33,05	31,51	26,46	9378	98		
109	40,06	30,96	14,03	31,2	29,60	9589	33,6	26,5	88,16	33,22	30,95	26,53	10491	32,95	31,15	26,22	9789			
110	39,98	30,43	14,03	31,1	29,42	10825	33,5	26,52	88,68	33,16	30,42	26,54	11788	32,88	30,62	26,25	11001	-		
201	40,00	35,31	14,12	33,7	34,34	5134	33,6	30,68	0,94	35,54	35,30	30,76	5484	33,29	35,40	30,34	5134			
202	40,05	35,02	14,12	33,5	33,94	4844	34,3	28,11	0,91	34,23	33,02	28,15	5145	34,04	35,13	27,84	4845			
203	39,96	34,73	14,12	33,4	33,74	5040	33,8	27,11	0,90	33,71	34,72	31,10	5336	33,52	34,82	26,86	5040			
204	39,94	34,13	14,03	32,8	32,56	5802	33,9	27,22	0,90	33,76	34,12	27,26	6130	33,57	34,22	27,00	5802			
205	39,98	33,75	14,08	32,6	32,18	6344	34	27,47	0,90	33,85	33,74	27,50	6835	33,61	33,91	27,11	6344			
206	40,09	33,45	14,12	32,5	32,99	6817	34	27,47	0,90	33,84	33,44	27,52	7333	33,59	33,61	27,14	6817			
207	40,08	33,19	14,20	32,1	31,23	7311	34	27,40	0,89	33,81	33,19	27,45	7884	33,57	33,35	27,08	7311			
208	40,08	32,65	14,20	31,5	30,14	8399	34	2751	0,90	33,80	32,64	27,55	8918	33,54	32,80	27,22	8339			
209	39,97	31,97	14,16	30,8	28,91	9197	33,9	2732	0,90	33,68	31,96	27,40	10218	33,39	32,16	27,00	9397			
210	39,97	31,23	14,03	20,3	28,06	10484	33,7	2677	0,88	33,36	31,22	26,81	11509	33,08	31,42	26,48	10686			

Tabelul 4 (continuare)

Cod	Mărimi măsurate	Metoda globală						Metoda experimentală						Metoda analitică		
		t _{w1}	t _{w2}	t _{L1}	t _{L2}	t _{xv}	t _{L2}	φ _{L2}	t _{w2}	t _{L2}	t _{xv}	t _{L2}	t _{w2}	t _{L2}	β _{XV}	
301	39,98	36,73	14,16	33,5	33,94	3193	33,8	27,08	0,90	33,74	36,73	27,09	3380	33,59	36,79	26,82
302	39,96	36,23	14,20	33,3	33,54	3700	33,5	26,56	0,89	33,45	36,23	26,55	2877	33,32	36,29	26,34
303	40,03	35,66	14,03	32,6	32,18	4561	33,9	27,17	0,89	33,77	35,66	27,20	4835	33,57	35,76	26,85
304	40,07	35,03	14,08	31,75	30,55	5549	34	27,48	0,90	33,93	35,04	27,52	5882	33,72	35,15	27,18
305	50,10	34,60	14,16	31,6	30,32	6430	34,2	27,88	0,91	34,11	34,59	27,92	6794	33,91	34,70	27,62
306	40,10	33,66	14,20	31,1	29,42	8125	34,4	28,32	0,91	34,26	33,66	28,36	8752	33,99	33,82	27,95
307	39,93	33,33	14,20	30,6	28,75	8058	33,9	27,21	0,89	33,68	33,33	27,23	8609	33,44	33,48	26,90
308	40,02	33,17	14,12	30,5	28,3	8604	33,9	27,17	0,89	33,70	33,70	27,18	9171	33,47	33,52	26,87
309	40,02	32,70	14,12	30,1	27,40	9549	33,8	27,06	0,89	33,61	32,70	27,11	10205	33,35	32,85	26,78
310	40,02	32,19	14,20	29,9	27,15	10937	34	27,49	0,91	33,75	32,19	27,51	11649	-	-	-

$$\text{zona } 3 \quad (t_{w2})_3 = 31,82^\circ\text{C} ; (\beta_{xv})_3 = 4511 \text{ kg/m}^3\text{h}$$

Valori medii calculate	$(t_{w2})_m = 30,254^\circ\text{C}$	Abatere: + 0,0132%
	$(\beta_{xv})_m = 4745,88 \text{ kg/m}^3\text{h}$	+ 5,78%
	$(x_{L2})_m = 22,62 \text{ g/kg}$	+ 0,553%
	$(t_{L2})_m = 30,50^\circ\text{C}$	- 0,65%

Din exemplele arătate mai sus rezultă că prin utilizarea pentru măsurători a volumului întregului turn, se obțin prin măsurători globale valori la fel de precise ca și în cazul unui volum de 9 ori mai mic.

De subliniat că diferențele mai provin și din faptul că în final se fac medii aritmetice, ceea ce constituie o aproximare, având în vedere că evoluțiile mărimilor considerate nu sunt liniare. De altfel, dacă s-ar fi impus o apropiere mai mică de $0,2^\circ\text{C}$ între temperatura admisă și temperatura calculată pentru apa răcită s-ar fi obținut abateri și mai mici.

Faptul că valorile lui β_{xv} sunt mai mari în cazul calculului cu 9 volume se datorează procedeului utilizat în definirea programului EXPER: s-a admis că răcirea cubului de sus este $1/3$ din răcirea întregii zone. Dacă s-ar fi admis că răcirea este $1/2$ din răcirea întregii zone, apropierea s-ar fi realizat din sens invers și eroarea ar fi avut semn minus.

Am amintit de problema ridicată de proiectant și anume accesă a transpunerii mărimilor experimentale pe instalația reală la proiectare. O explicație a acestei probleme a fost dată la începutul paragrafului. Însă pentru o elucidare completă s-a apelat la programul ANALITIC (vezi § 5.1) prin care se determinau mărimile de ieșire din instalație ale aerului și apei, considerind instalația formată din 196 volume elementare și aplicîndu-le la toate cifra β_{xv} determinată experimental pentru umplutura considerată (aceasta urmînd să fie ajustată pentru a intra în toleranțele admise temperaturii apei răcite).

Pentru a se interpreta rezultatele obținute prin această divizare a volumului instalației în 196 volume elementare se vor compara de asemenea două experiențe. Experiența 233:

Valori măsurate: $t_{w1} = 39,99^\circ\text{C}$; $t_{w2} = 33,30^\circ\text{C}$; $i_{L2} = 14,12 \frac{\text{kcal}}{\text{kg}}$

Valori calculate:	TINCR	ANALITIC	Diferență %
β_{xv} $\text{kg/m}^3\text{h}$	4018,73	4018,73	-

t_{w2} °C	33,30	33,49	0,57
t_{L2} °C	32,00	31,70	0,93
x_{L2} g/kg	26,10	25,75	-1,34

Experiență 238:

Valori măsurate: $t_{w1} = 39,98$ °C ; $t_{w2} = 31,78$ °C; $i_{L1} = 14,12$ g/kg

Valori calculate	TINCR	ANALITIC	Diferență %
β_{xv} kg/m³h	5275,05	5400,5	2,31
t_{w2} °C	31,78	31,968	0,951
t_{L2} °C	31,70	31,34	1,13
x_{L2} g/kg	25,20	25,06	0,549

Din comparație rezultă că rezultatele sunt sensibil identice, diferențele de cîteva procente nefiind semnificative și date rîndu-se în parte și curbei de saturatie acceptată avînd o caracteristică liniară.

Concluzia care se desprinde din aceste comparații este aceea că structura logică a metodologiei de calcul utilizată este corectă și că atîta timp cît se respectă similitudinea geometrică și termică, calculele se pot face pentru un volum oricăr de mare ar fi.

Din tabelul 4 se observă că bilanțul termic pe partea apei și pe partea aerului nu se închide corespunzător. În unele cazuri apare un surplus de energie pe partea aerului. Cum răcirea apei s-a măsurat cu instrumente corespunzătoare, explicația acestor diferențe ar putea fi:

- pierderi de aer după ajutajul în lemniscată (pe partea de suprapresiune); ipoteza este plauzibilă și prin aceea că diferențele sunt procentual mai mari la densități de stropire mari ale blăcii (cînd presiunea în camera de aer este mai mare) și la viteze mai mari ale aerului (cînd din nou presiunea statică este mai mare).

- diferența între valoarea medie reală a parametrilor aerului la ieșire și parametrii măsurăți, generată de principiul de funcționare al psihometrului. Psihometrul nu este construit pentru a se afla valori medii prin modificarea continuă a poziției instrumentului în timpul măsurătorilor. Psihometrul poate condensa sau evapora apă din aerul vehiculat prin instrument și prin

aceasta poate modifica starea măsurată. Aparatul are inerție termică mare, de ordinul minutelor.

Interesant este că temperatura uscată măsurată a dat valori mai apropiate de aceleia rezultate din bilanț și anume temperaturile uscate au ridicat valori mai apropiate tocmai la experiențele la care bilanțul termic a înregistrat diferențele maxime. Cel mai probabil este că o serie de picături fine de apă antrenate de curentul de aer cad pe ambele termometre și majorează alegic ambele valori.

7.3. Cercetarea experimentală pe standul monoplacă în contracurent.

Atât pentru verificarea corectitudinii utilizării teoriei funcției ϕ în calculul schimbului de căldură și de substanță în cazul turnurilor de răcire cu curgere peliculără în contracurent, cât și pentru studierea influenței factorului Lewis asupra răci-

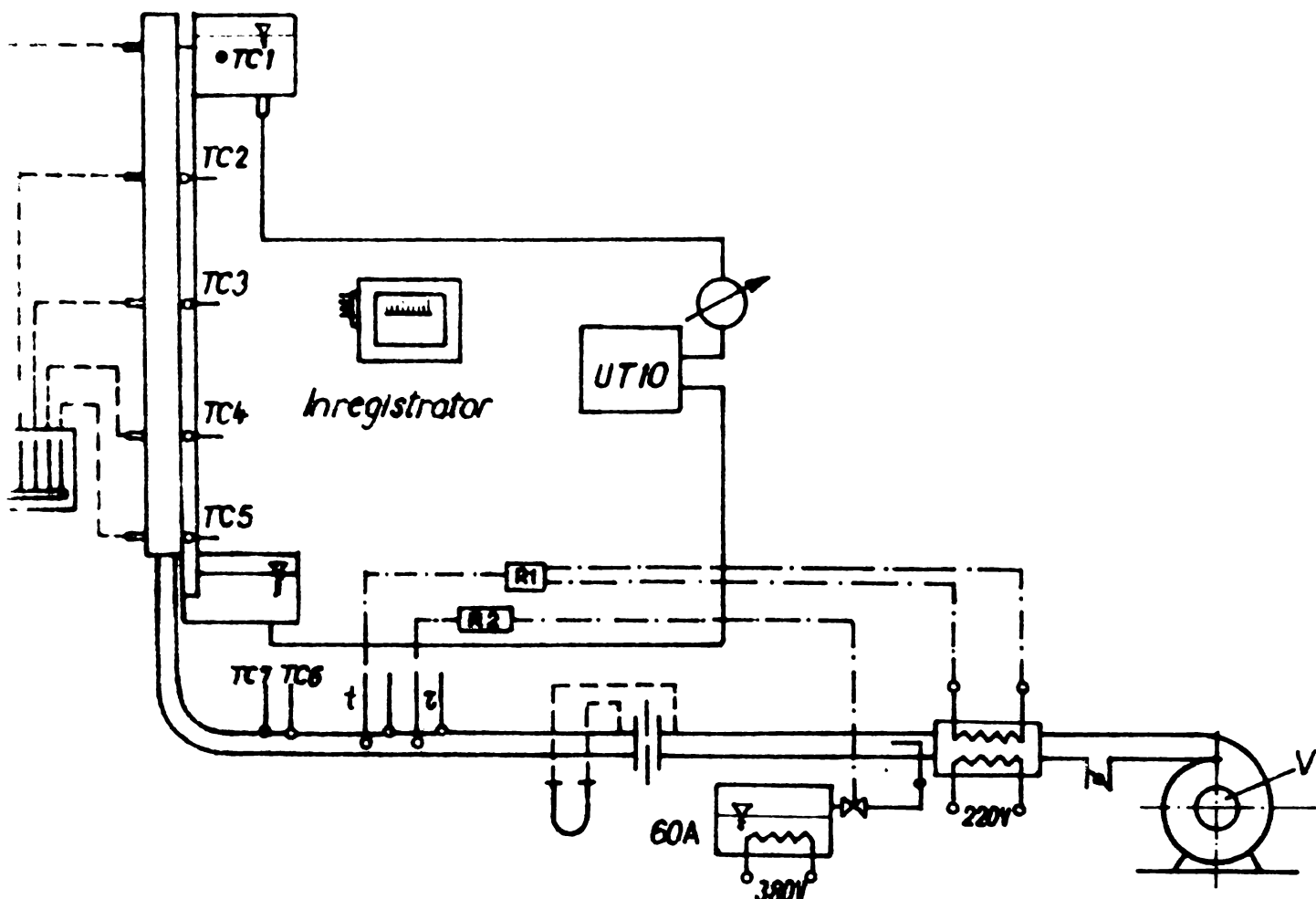


Fig.91. Schema standului turn de răcire monoplacă, în contracurent.

rii, am amenajat standul experimental reprezentat în figura 91.

Standul se compune dintr-un ventilator centrifugal, acționat de un motor electric la turăția de 2880 rot/min, un canal ori-

zontal de aer ce face legătura dintre ventilator și sectorul de lucru din țevă cu diametrul de 0,107 m și lungimea 2,45 m și sectorul de lucru. Pe canalul orizontal este montată o diafragmă dublă Ø 102/82 mm, confectionată din plexiglas, pentru a nu suferi deformații în timp sub acțiunea aerului umed. Cădereea de presiune pe diafragmă se măsoară cu un piezometru diferențial.

Pentru asigurarea unei temperaturi uscate constante a aerului la intrarea în sectorul de lucru, pe porțiunea orizontală este montat un încălzitor electric realizat din 5 rezistențe de 0,5 kW fiecare, din care una din cele cinci rezistențe lucrează în regim de termostatare, fiind comandată de un termometru cu contacte. Umiditatea relativă dorită a aerului se asigură prin injectare de abur după porțiunea de încălzire uscată a aerului, ventilul electromagnetic de pe conducta de abur fiind comandat tot de un termometru cu contacte, dispus la intrarea în sectorul de lucru și instalat de manieră asemănătoare termometrului umed dintr-un psihometru.

Apa este vehiculată cu ajutorul unui ultratermostat U10, care asigură în același timp și constanța temperaturii apei la intrarea în sectorul de lucru. Debitul de apă vehiculat în instalație se măsoară cu ajutorul unui contor etalonat.

Pelîngă termometrele cu contacte care asigură constanța parametrilor aerului la intrare în sectorul de lucru, în aceeași zonă mai sunt montate două termometre de precizie, cît și două termocouple Fe-constantan, ambele perechi montate pe principiul psihometrului Assmann, pentru a se citi și înregistra parametrii aerului la intrarea în sector.

Starea aerului la ieșirea din sectorul de lucru se determină prin două metode: măsurarea directă cu ajutorul psihometrului Assmann și determinarea parametrilor finali ai aerului din bilanțul termic. Este necesar să se facă și bilanțul termic, căci în cazul în care aerul evacuat are un conținut ridicat de vapori de apă sau conține și picături de apă, citirile la psihometrul Assmann sunt serios prejudicate.

Măsurarea temperaturii apei, atât în zona de intrare, cît și pe parcursul sectorului de lucru și la ieșire se realizează cu termocouple Fe-Const. legate la un aparat înregistrător. Pentru a se evita erori accidentale, din cînd în cînd temperatura apei la intrare și ieșire se măsoară și cu termometre de precizie. Toate termocouplele au fost legate la un aparat înregistra-

tor și etalonate înaintea experimentărilor.

Sectorul de lucru (canalul vertical) se compune din două plăci plane din azbociment cu lățimea de 300 mm și înălțimea de 1900 mm, închise lateral cu doi pereti din lemn. Una dintre plăci din azbociment este fixă (placa de prelingere a apei), iar cealaltă este mobilă, realizând de altfel portiunea de închidere a standului. Lățimea canalului de aer este variabilă, putând fi modificată continuu între 10 și 40 mm, placă mobilă cu suportul ei culisind pe patru știfturi.

Pentru a se verifica uniformitatea peliculei de apă pe întreaga placă udată s-au practicat în ambi pereti din lemn cîte cinci ferestre din plexiglas, cele de pe o latură fiind prevăzute cu becuri de iluminare. Se putea face o verificare rapidă și continuă a stării peliculei de apă. Bineînțeles că la începerea fiecărei experimentări, peretele mobil trebuie înălțurat și formată pelicula de apă, căci în pofida orizontalizării perfecte a rezervorului superior, la începutul curgerii apei aceasta siroia pe placă.

Temperaturile apei sunt măsurate la cinci nivele, pentru stabilirea bilanțului energetic pe etape. Alegerea a cinci nivele de măsurare s-a făcut pe baza rezultatelor obținute prin prelucrarea a mai multe determinări experimentale globale. Din valorile date în tabelul 5 se observă că există mici diferențe la valoriile lui β_x doar între calculul cu un pas de integrare și cel cu cinci pași, în continuare intervenind diferențe doar la partea zecimală a valorilor numerice.

Instalația experimentală descrisă, este de fapt a treia variantă, și se găsește în laboratorul de Instalații (clădirea ASPC). În prima variantă a fost montată în laboratorul de Turbine cu aburi și gaze, iar în varianta a două tot în laboratorul de Instalații însă în clădirea facultății de Construcții. Fiecare montare a însemnat depunerea unei munci asidue de reasamblare și reetalonare a aparaturii. Fiecare etapă de cercetare a însemnat și învingerea a diferite obstacole și greutăți, inerente oricărei activități de cercetare și pe care nu le voi mai menționa.

O comparație interesantă, realizată pe baza unor măsurători realizate pe standul descris mai sus este aceea a valorilor cifrelor K_e și a diverselor moduri de exprimare a randamentului de funcționare a turnului de răcire.

Pe baza relațiilor scrise de Merkel [36] se pot determina două criterii adimensionale, și anume:

Tabelul 5

Valori comparative ale lui β_x , pentru stabilirea numărului de nivale de măsură pe stand

Nr. exp.	\dot{M}_w	t_{w1}	t_{w2}	\dot{M}_L	t_{L1}	τ_{L1}	t_{L2}	τ_{L2}	β_x			
									1 pas	5 pasi	10	15
	kg/h	°C	kg/h	°C	°C	°C	°C	kg $m^2 h$	kg $m^2 h$	kg $m^2 h$	kg $m^2 h$	
11	160	45,5	38,4	57,5	26,5	15,4	35	35	87,1	88,8	88,8	88,8
12	160	46	38	71	26,5	15,4	34,5	33,7	93,4	95,7	95,7	95,7
13	160	45,5	36,7	93	26,8	15,5	33,5	31,3	106,4	107,7	107,7	107,6
14	160	45,5	35,8	108	26,5	15,4	33	31	117,5	121,0	121,1	121,1
15	160	45,5	35,1	134	26,5	15,4	32,5	29,4	125,6	129,1	128,9	128,9
16	160	46	35,1	141	26,7	15,5	33,7	29,5	127,9	132,5	132,5	132,5
21	65	36	31,8	40,3	24	16,2	27,6	24,6	33,7	33,9	33,9	33,9
22	65	36	31,2	51	24	16,2	27,3	23,9	38,8	39,0	39,0	39,0
23	65	36	30,7	61,2	24	16,2	27	23,1	43,3	43,5	43,4	43,4
24	65	36	30	76	24	16,2	26,8	22,6	49,4	50,1	50,2	50,1
25	65,1	36	29	99	24	16,2	26,3	22,0	59,9	60,6	60,6	60,6
26	65	36	28,7	109	24	16,2	26,2	21,9	63,1	63,8	63,7	63,7
31	178	38	33,3	80	17	13,5	26	26	97,8	98,1	98,0	97,9
32	178	38	32,5	105	17	13,5	25,5	25,5	113,1	113,4	113,3	113,3
33	178	38	31,8	134	17	13,5	24,3	24,3	124,9	116,5	116,5	116,4
34	178	38	31,5	158	17	13,5	23,5	23,5	119,2	120,7	120,7	120,7
35	178	38	31,1	180	17	13,5	23,5	23,5	127,2	128,7	128,7	128,6

- criteriul Merkel 1 bazat pe umiditatea absolute:

$$Ke_{M1} = \frac{2 \cdot \lambda \cdot (x_2 - x_1)}{(x_{s1}^+ + x_{s2}^+) - (x_1 + x_2)} \quad (269)$$

$$Ke_{M2}'' = \frac{2 \cdot \lambda \cdot (x_2 - x_1)}{2a + b(t_{w1} + t_{w2}) - (x_1 + x_2)} \quad (270)$$

- și criteriul Merkel 2, bazat pe entalpii:

$$Ke_{M2}' = \frac{2c_w(t_{w2} - t_{w1})}{(i_{s1}^+ + i_{s2}^+) - (i_1 + i_2)} \quad (271)$$

$$Ke_{M2}'' = \frac{2 \cdot c_w (t_{w2} - t_{wl})}{2a + b(t_{wl} + t_{w2}) - (i_1 + i_2)} \quad (272)$$

Prin integrare grafică sau tabelară se poate scrie după Koch [32]:

$$Ke_K = \int_0^s \frac{c_w \cdot dt_w}{i_s - i} \quad (273)$$

și după Sherwood [46]:

$$Ke_{Sh} = \int_0^s \frac{di}{i_s - i} \quad (274)$$

După Spangemacher [48] criteriul Ke are expresia:

$$Ke = f \frac{2 \cdot \lambda \cdot c_w \cdot \Delta t_w}{2 \cdot \lambda \cdot i_{sm}^+ - 2 \cdot \lambda i_1 - c_w \cdot \Delta t_w} \quad (275)$$

iar după Fuller [16],[1], presupunind curba limită ca fiind o funcție exponențială cu valoarea:

$$i_s^+ = e^{1,77+0,025 \cdot t_w} \quad (276)$$

obținem:

$$Ke_F = \frac{\Delta t_w}{3 \cdot n} \cdot \left[\frac{1}{e^{1,77+0,025 t_{w2}} - \beta \cdot t_{w2} + c} + \frac{1}{e^{1,77+0,025(t_{w2}-y)} - \beta(t_{w2}-y) + c} + \dots + \frac{1}{e^{1,77+0,025(t_{w2}-2y)} - \beta(t_{w2}-2y) + c} + \dots + \frac{1}{e^{1,77+0,025 t_{wl}} - \beta t_{wl} + c} \right] \quad (277)$$

în care:

$$y = \frac{t_{w2} - t_{wl}}{n} \quad (n=6 \div 8) \quad (278)$$

$$\beta = \frac{1}{\lambda} = \frac{\dot{M}_w}{\dot{M}_L} \quad (279)$$

$$c = \beta \cdot t_{w2} - e^{1,77+0,025 \cdot t_{L1}} \quad (280)$$

Utilizând teoria propusă de Berman (vezi și § 6.2) se pot scrie două noi expresii ale cifrei de evaporare:

$$Ke_B' = \frac{2,3 \cdot \Delta t_w (1+\varepsilon) (1+0,8 \sum x) [\log(\Delta i_2 - \delta i_s') - \log(\Delta i_1 - \delta i_s^+)]}{k (\Delta i_s^+ - \Delta i_1) [1 + \varepsilon (1+0,8 \cdot \sum x)]} \quad (281)$$

$$K_{e_B} = \frac{3,7 \cdot p_b \cdot \dot{M}_L (x_s - x) [\log(p_{s2} - \Delta p_s - p_{v2}) - \log(p_{s1} - \Delta p_s - p_{v1})]}{(p_{s2} - p_{v2}) - (p_{s1} - p_{v1})} \quad (282)$$

în care:

$$\epsilon = \frac{1}{r} \frac{i_2^+ - i_1}{x_2 - x_1} - 1 \quad (283)$$

$$\sum x = x_1 + x_2 + x_{s1}^+ + x_{s2}^+ \quad (284)$$

$$\Delta i_1 = i_{s1}^+ - i_1 \quad ; \quad \Delta i_2 = i_{s2}^+ - i_2 \quad (285)$$

$$k = 1 - \frac{x_2 - x_1}{i_2^+ - i_1} \cdot t_w \quad (286)$$

De asemenea, după autorii, se găsesc diferite expresii ale "randamentului turnului", deosebirile constând atât în ceea ce privește definirea noțiunii în sine, cât și a simplificărilor făcute pentru efectuarea calculelor numerice.

Merkel scrie diferența de entalpii:

$$i_{sm} - i_1 = \Delta t_w \left(\frac{\dot{M}_w \cdot c_w}{\text{G.S.}} + \frac{1}{2\lambda} \right) \quad (287)$$

și cu această relație definește o cifră de răcire a :

$$a = \frac{1}{\lambda} \left(\frac{\dot{M}_L \cdot c_w}{\text{G.S.}} + \frac{1}{2} \right) \quad (288)$$

care depinde, pentru o anumită cantitate de aer și apă, numai de caracteristica de vaporizare G.S. După Merkel, această cifră de răcire este o măsură a calității aparatului de răcire. Cu cât cifra a este mai mică, cu atât răcirea este mai bună. Cifra de răcire minimă se obține pentru $\dot{M}_L \cdot c_w / \text{G.S.} = 0$. În acest caz:

$$a_{min} = \frac{1}{2\lambda} \quad (289)$$

Raportul:

$$\gamma = \frac{a_{min}}{a} \quad (290)$$

este denumit de Merkel randamentul repartizării apei. Din relația (287) se vede că:

$$a = \frac{i_{sm} - i_1}{\Delta t_w} \quad (291)$$

și cu care expresia Merkel a trasat o nomogramă pentru ușurarea cal-

culului turnului de răcire.

Klenke [30] introduce noțiunea de grad de răcire, definit prin relația:

$$\gamma_A = \frac{t_{w2} - t_{wl}}{t_{w2} - \tau} = \frac{\Delta t_w}{t_{w2} - \tau} \quad (292)$$

Acest raport este maxim (valoare 1) pentru un turn care răcește apa pînă la temperatura termometrului umed corespunzătoare stării aerului la intrarea în turn.

Funcția ϕ (introdusă deja cu relația (32)) reprezintă de fapt eficiența termică pentru aprecierea calitativă a funcționării unui turn de răcire. Expresia analitică este dată prin relația (130) și (146). Din relațiile (58) și (129) se obține

$$\phi \cdot \lambda = \frac{c_w \cdot \Delta t_w}{i_{sl}^+ - i_{Ll}} \quad (293)$$

relație care în membrul drept este independent de turn și cuprinde zona de răcire Δt_w , entalpia aerului la saturatie $i_s(t_{wl})$ și entalpia aerului la intrare i_{Ll} . Toate aceste mărimi alcătuiesc "Caracteristica exterioară" a turnului, care sintetizează parametrii ce trebuie realizati de acesta și se poate reprezenta în coordinate $\phi - \lambda$ sub formă unei familii de hiperbole echilatere.

Avem însă și o "caracteristică interioară" a turnului care poate fi determinată și teoretic cu relația (146), fie experimental și se poate reprezenta sub formă unei familii de curbe avînd drept parametru temperatura apei calde, respectiv panta medie a

curbei-limită. Intersecția celor două familii de curbe va determina punctele de funcționare ale turnului.

In figura 92 este reprezentată caracteristica exterioară pentru valurile $\phi \cdot \lambda = 0,4; 0,45$ și $0,5$ și caracteristica interioară a turnului, determinată experimental pentru temperaturi ale apei de $30, 35$ și 40°C la distanță dintre plăci de 25 mm.

Prin această metodă, pentru o suprafață de schimb dată se determină imediat debitul specific de aer necesar și eficiența instalației.

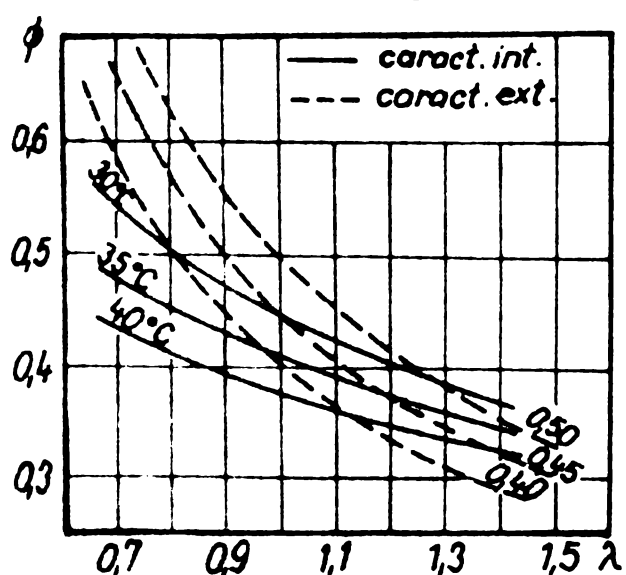


Fig.92. Caracteristica interioară a instalației și caracteristica exterioară pentru $\delta = 25$ mm.

Pentru stabilirea dimensiunilor constructive, respectiv a suprafeței de schimb, se procedează astfel: după ce se stabilește λ din diagrama experimentală, se determină cifra de evaporare cu relația:

$$K_e = c \cdot \lambda^m \cdot \dot{M}_w \quad (294)$$

c se cunoaște din determinările experimentale, iar suprafața de schimb rezultă din relația:

$$S = \frac{K_e \cdot \dot{M}_w}{c} \quad (295)$$

Pentru a se scoate în evidență în mod comparativ erorile generate de folosirea metodelor de calcul a turnurilor de răcire, câteva dintre determinările experimentale au fost analizate atât prin metoda cifrei de evaporare, cât și prin calcularea randamentului. Dintre acestea 19 experiențe au fost realizate cu temperaturi ale apei și aerului, cu debite de apă și de aer cât mai diferite, pentru a se pune în evidență întreg domeniul de funcționare a turnurilor de răcire, iar 17 au fost realizate pe grupe organizate astfel încât să se poată trasa caracteristica termo-dinamică a instalației.

In tabelul 6 sunt prezentate mărimele de calcul determine experimental pentru primele 19 experiențe considerate. Se observă că temperatura apei calde a fost cuprinsă în domeniul $32-53^{\circ}\text{C}$, iar peretii aerului proaspăt au cuprins atît regimuri de iarnă, cât și regimuri de vară și regimuri cu aer foarte uscat. Au fost evitate intenționat regimurile de funcționare cu aer saturat, deoarece în acest domeniu procesele se dezvoltă după legi calitativ deosebite de cele discutate, ceea ce exclude posibilitatea extrapolării domeniului aerului nesaturat.

In tabelul 7 sunt prezentate cifrele de evaporare K_e și valorile mărimeilor γ , γ_A și ϕ , calculate pentru aceste regimuri, iar în tabelul 8 erorile relative ale cifrelor de evaporare după diverse metode, în comparație cu metoda Sherwood. S-a luat această metodă de comparație deoarece calculele s-au făcut tabelar din grad în grad, considerindu-se, din acest motiv, mai exactă.

Se observă că rezultatele obținute cu metoda Fuller dă abateri însemnante în ambele sensuri. Urmează metoda Berman, care dă, de asemenea, abateri destul de mari, metodele Merkel 1 și Merkel 2. În sfîrșit, metoda funcției ϕ și metoda Spangemacher dă rezultatele cele mai apropiate de metoda luată ca etalon.

Tabelul 6

Mărimile de calcul pentru experiențele 1-19

Nr. crt.	t_{wl}	t_{w2}	t_{L1}	t_{L2}	x_1	x_2	λ
1	42,4	34,9	28,4	32,0	15,5	26,2	0,965
2	32,0	28,0	21,0	22,5	10,0	12,75	2,0
3	40,7	27,0	13,5	20,0	3,0	13,3	1,76
4	36,8	28,7	27,0	30,2	3,0	16,6	0,92
5	50,0	39,0	27,0	31,5	3,0	19,6	0,99
6	46,2	38,2	20,0	30,0	6,1	30,1	0,465
7	36,0	30,7	27,0	30,2	13,2	24,0	0,725
8	36,0	30,0	24,0	26,8	8,3	15,9	1,165
9	38,0	31,5	17,0	23,5	8,6	18,2	0,89
10	40,7	31,0	27,0	30,5	3,0	17,8	0,97
11	53,0	39,0	25,0	34,0	18,0	35,0	1,11
12	42,4	34,0	34,0	35,5	14,9	22,6	1,09
13	46,7	37,6	19,4	25,0	4,3	17,5	1,0
14	41,6	35,4	38,0	37,6	18,8	24,5	1,08
15	40,0	27,4	10,4	31,2	4,3	29,5	0,616
16	40,0	28,55	10,75	29,0	2,5	25,96	0,612
17	40,0	25,5	7,5	27,2	4,3	23,27	0,887
18	40,0	31,45	27,0	33,5	12,65	33,94	0,605
19	40,0	30,0	28,95	31,13	12,5	32,05	0,78

Tabelul 7

Cifrele de evaporare K_e pentru experiențele 1-19

Nr. crt.	K_{eSh}	K_{eM1}	K_{eM2}	K_{esp}	K_{eB}	K_{eF}	$K_{e\emptyset}$	a	γ	γ_A	ϕ
1	0,4059	0,414	0,392	0,414	0,454	0,455	0,393	2,96	0,17	0,250	0,245
2	0,3354	0,336	0,330	0,337	0,359	0,389	0,332	3,32	13,3	0,256	0,128
3	0,6754	0,617	0,609	0,670	0,717	0,503	0,611	1,80	6,36	0,398	0,209
4	0,5335	0,533	0,506	0,525	0,678	0,528	0,596	2,45	4,52	0,332	0,335
5	0,2992	0,264	0,276	0,305	0,374	0,330	0,285	3,90	7,72	0,292	0,187
6	0,2803	0,282	0,285	0,280	0,354	0,200	0,300	4,62	4,28	0,277	0,387
7	0,4982	0,510	0,471	0,483	0,538	0,375	0,470	2,77	4,02	0,353	0,386
8	0,4036	0,418	0,385	0,400	0,441	0,408	0,382	2,96	6,91	0,303	0,228
9	0,3620	0,360	0,354	0,360	0,394	0,265	0,405	3,37	6,00	0,268	0,272
10	0,4986	0,475	0,469	0,510	0,544	0,475	0,496	2,55	4,97	0,343	0,295
11	0,4501	0,386	0,422	0,455	0,533	0,375	0,541	2,75	6,12	0,479	0,260

Tabelul 7 (continuare)

Nr. crt.	$K_{e_{sh}}$	$K_{e_{M1}}$	$K_{e_{M2}}$	$K_{e_{sp}}$	K_{e_B}	K_{e_F}	$K_{e_{\phi}}$	a	η	η_A	ϕ
12	0,4683	0,498	0,438	0,465	0,527	0,594	0,448	2,64	5,75	0,402	0,249
13	0,2833	0,251	0,248	0,276	0,298	0,270	0,274	4,21	8,42	0,252	0,187
14	0,3973	0,408	0,373	0,390	0,451	0,758	0,377	3,04	6,57	0,466	0,226
15	0,8840	0,788	0,833	0,890	0,958	0,311	0,898	1,90	0,43	0,277	0,361
16	0,6741	0,620	0,643	0,674	0,498	0,294	0,752	2,26	0,36	0,319	0,317
17	0,9254	0,783	0,853	0,887	0,997	0,382	0,843	1,61	0,35	0,402	0,404
18	0,7470	0,803	0,733	0,753	0,873	0,363	0,802	2,13	0,38	0,447	0,327
19	0,9090	0,878	0,852	0,912	0,990	0,450	0,849	1,71	0,37	0,510	0,381

Tabelul 8

Erorile relative ale cifrelor de evaporare pentru experiențele 1-19 (%)

Nr. crt.	$K_{e_{M1}}$	$K_{e_{M2}}$	$K_{e_{sp}}$	K_{e_B}	K_{e_F}	$K_{e_{\phi}}$
1	+1,99	-28,05	+1,99	+11,85	+12,08	-3,18
2	+0,18	-1,46	+0,48	+8,08	+16,00	-1,01
3	-3,58	-9,83	-0,80	+6,16	-25,52	-9,53
4	-0,09	-6,17	-1,58	+27,10	-1,03	+11,71
5	-1,57	-7,58	+1,94	+25,05	+10,46	-4,75
6	+0,78	+1,08	-0,11	+26,30	-28,65	+7,03
7	+2,36	-5,46	-3,04	+7,98	-24,68	-5,66
8	+3,07	-4,61	-0,89	+9,27	+1,18	-5,35
9	-0,41	-2,21	-0,55	+8,85	-26,64	+11,88
10	-4,83	-5,93	+2,28	+9,10	-4,83	-0,52
11	-14,24	-6,24	+1,08	+18,42	-16,66	+20,19
12	+6,34	-6,47	-0,70	+12,53	+26,80	-4,33
13	-11,40	-12,46	-2,58	+15,19	-4,70	-3,28
14	+2,69	-5,99	-1,83	+13,52	+90,70	-5,11
15	-10,86	-5,77	+0,68	+8,37	-64,80	+1,58
16	-8,03	-4,61	-0,01	-26,10	-56,30	+11,55
17	-15,38	-7,83	-4,14	+5,57	-58,80	-8,90
18	+7,40	-1,87	+0,80	+17,10	-52,80	+7,36
19	-3,41	-6,27	+0,33	+8,91	-50,50	-6,60

Tabelul 9

Erorile medii în valoare absolută și algebrică și valoarea erorilor maxime pentru experiențele 1-19.

	Eroarea absolută %	Eroarea algebrică %	Abaterea maximă %
K_{E_M1}	5,23	-2,61	-15,57
K_{E_M2}	6,63	-6,46	-28,05
$K_{E_{sp}}$	1,63	-0,15	+4,87
K_{E_B}	13,25	+10,85	+26,30
K_{E_F}	30,05	-13,52	+90,70
K_{E_\emptyset}	6,82	+0,73	+20,19

In tabelul 9 sunt prezentate erorile medii în valoare absolută, erorile medii algebrice și erorile maxime. Se observă că metoda Merkel 1, dar mai ales metoda funcției \emptyset dă rezultate destul de bune, dacă se ține seama de faptul că s-a considerat curba de saturație dreaptă și că nu s-a corectat abaterea rezultată din această ipoteză simplificatoare, în comparație cu metoda Berman, care corectează eroarea rezultată prin simplificarea amintită. Este cu atât mai mult de remarcat metoda funcției \emptyset , cu cît este mai rapidă și mai comodă decât metoda Spangemacher.

Pentru aceste experiențe, randamentul în formularea η, η_A și \emptyset nu este semnificativ, deoarece experiențele sunt disperse.

Următoarele 17 experiențe au fost organizate în trei grupe. În cadrul fiecărei grupe, experiențele au diferit între ele prin debitul specific de aer, iar grupele s-au caracterizat prin temperatura apei calde, 36, 38 și $40,5^{\circ}\text{C}$. În toate cazurile, debitul de apă și parametrii aerului s-au menținut constanți (vezi anexa seriile 10, 11 și 12). Tabelul 10 redă mărimile de calcul pentru cele trei grupe de experiențe iar tabelul 11 cifrele de evaporare calculate după aceleași metode și valorile η, η_A și \emptyset .

In figura 93 s-au prezentat, în funcție de λ , cifra de răcire a , după Merkel și gradul de răcire η_A după Klenke. Se observă că cele două criterii au evoluții inverse, ceea ce se explică prin faptul că primul se referă la aer, iar al doilea la apă. Faptul că gradul de răcire η_A pentru Klenke are pante diferite în funcție de temperatura apei, face dificilă generalizarea metodei pentru aplicațiile numerice.

Tabelul 10
Mărimile de calcul pentru experiențele 20-36

Nr. crt.	t_{w1}	t_{w2}	t_{L1}	t_{L2}	x_1	x_2	λ
1	38,0	32,3	27,0	30,3	13,2	23,3	0,835
2	38,0	31,6	27,0	30,2	13,2	22,7	1,000
3	38,0	30,1	27,0	29,9	13,2	22,2	1,300
4	38,0	29,3	27,0	29,7	13,2	21,85	1,480
5	38,0	28,6	27,0	29,4	13,2	21,5	1,730
6	38,0	28,0	27,0	29,3	13,2	21,05	1,960
7	40,5	34,2	27,0	31,4	13,2	25,2	0,770
8	40,5	31,9	27,0	30,8	13,2	24,0	1,160
9	40,5	31,0	27,0	30,6	13,2	23,2	1,380
10	40,5	30,1	27,0	30,2	13,2	23,0	1,570
11	40,5	29,1	27,0	29,9	13,2	21,9	1,970
12	36,0	31,7	27,0	30,5	13,2	24,8	0,550
13	36,0	30,7	27,0	30,2	13,2	24,0	0,725
14	36,0	30,0	27,0	30,0	13,2	22,6	0,950
15	36,0	29,6	27,0	29,7	13,2	22,2	1,070
16	36,0	29,1	27,0	29,3	13,2	21,5	1,230
17	36,0	28,5	27,0	29,3	31,2	21,2	1,410

Tabelul 11
Cifrele de evaporare K_e pentru experiențele 20-36

Nr. crt.	K_{esh}	K_{eM1}	K_{eM2}	K_{esp}	K_{eB}	K_{eF}	$K_{e\emptyset}$	a	γ	γ_A	ϕ
1	0,4188	0,428	0,398	0,414	0,457	0,361	0,400	3,02	0,195	0,335	0,305
2	0,4821	0,492	0,453	0,480	0,522	0,424	0,453	2,62	0,190	0,376	0,285
3	0,6481	0,641	0,598	0,645	0,711	0,543	0,611	1,96	0,196	0,465	0,271
4	0,7501	0,722	0,677	0,730	0,803	0,623	0,687	1,74	0,196	0,512	0,264
5	0,7979	0,812	0,745	0,820	0,897	0,707	0,772	1,54	0,187	0,553	0,242
6	0,9266	0,867	0,806	0,900	0,988	0,785	0,827	1,41	0,179	0,588	0,228
7	0,3752	0,385	0,359	0,370	0,413	0,315	0,358	3,37	0,192	0,340	0,298
8	0,5735	0,562	0,529	0,560	0,620	0,470	0,539	2,24	0,192	0,465	0,271
9	0,6334	0,630	0,598	0,650	0,737	0,541	0,607	1,93	0,187	0,513	0,252
10	0,7574	0,723	0,673	0,745	0,818	0,613	0,650	1,70	0,187	0,562	0,240
11	0,8730	0,817	0,747	0,840	0,942	0,722	0,779	1,47	0,172	0,615	0,212
12	0,3875	0,401	0,367	0,375	0,413	0,291	0,361	3,58	0,254	0,287	0,410

Tabelul 11 (continuare)

Nr. crt	K_{es_h}	K_{eM1}	K_{eM2}	K_{esp}	K_{eB}	K_{eF}	$K_{e\emptyset}$	a	η	η_A	ϕ
13	0,4989	0,510	0,471	0,483	0,535	0,372	0,464	2,77	0,249	0,353	0,38
14	0,5057	0,576	0,531	0,545	0,606	0,458	0,554	2,35	0,224	0,400	0,33
15	0,6115	0,627	0,571	0,590	0,656	0,503	0,579	2,15	0,217	0,426	0,32
16	0,6731	0,667	0,622	0,655	0,722	0,570	0,623	1,97	0,206	0,460	0,29
17	0,7219	0,752	0,688	0,750	0,798	0,636	0,698	1,74	0,203	0,500	0,28

In figura 94 s-a reprezentat dependența experimentală $\phi - \lambda$.

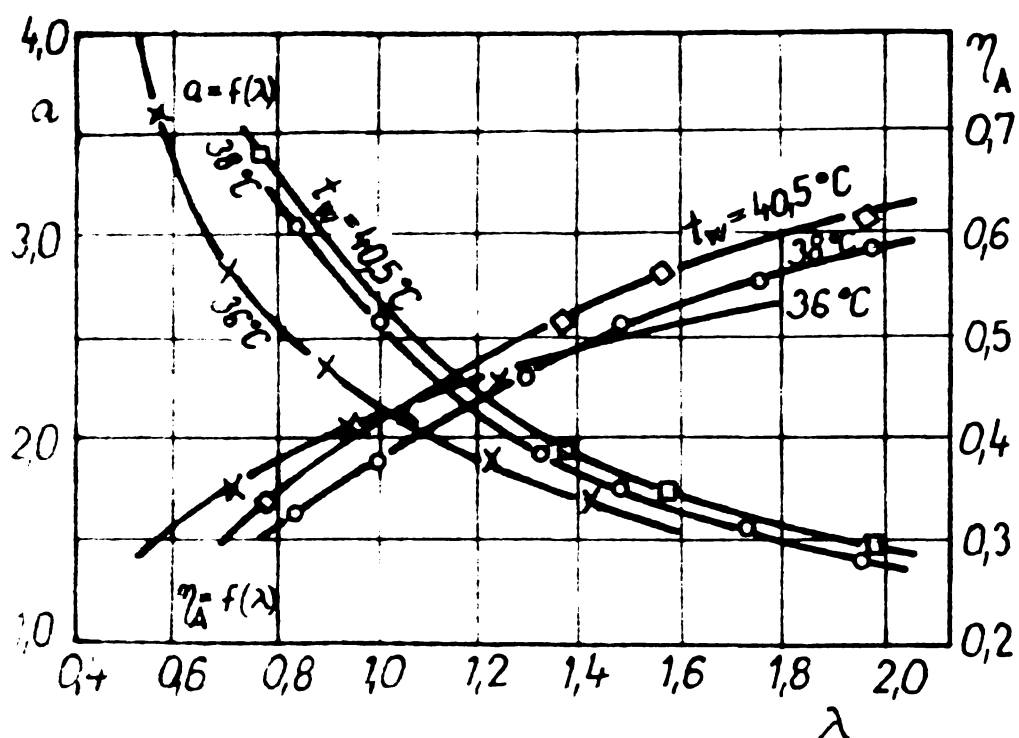


Fig. 93. Dependența experimentală a cifrei de răcire a și a gradului de răcire η_A , în funcție de λ .

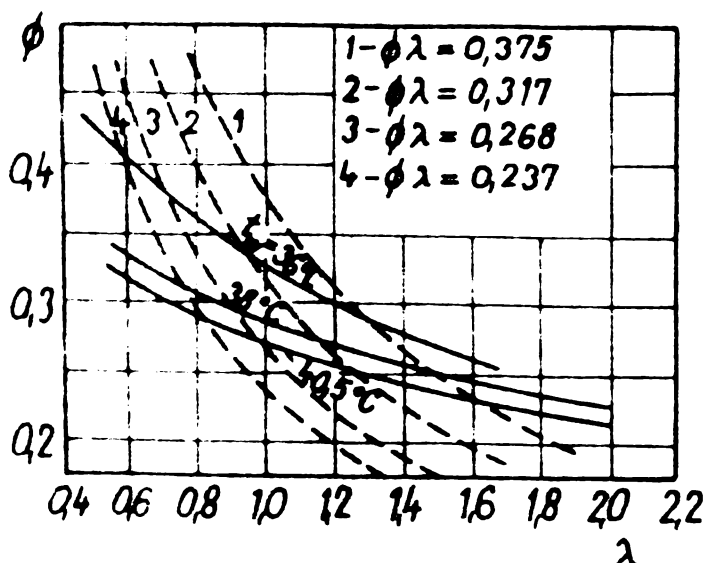


Fig. 94. Dependența experimentală $\phi = f(\lambda)$ (caracteristica interioară și caracteristica exterioară).

Se observă că în aceste coordonate caracteristica instalației este mai slabă pe măsură ce crește temperatura apei calde, după cum s-a arătat mai înainte.

In ceea ce privește cifra de răcire a este dificil de tras concluzii cu atât mai mult cu cît nu este folosită. Ran-

damentul repartizării apei dă valori destul de mici, indicând o foarte slabă funcționare a turnului de răcire. Valorile gradului de răcire η_A depășesc cu mult cele corespunzătoare randamentului repartizării apei η , ajungînd să fie pînă de 4 ori mai mari. Evoluția cea mai plauzibilă oare funcția ϕ care se pare că redă cel mai veridic funcționarea turnului de răcire

și rezervele pe care le prezintă privitor la răcirea apei calde.

Tabelul 12

Erorile relative ale cifrelor de evaporare pentru experiențele 20-36 (%)

Nr. crt.	K_e_{M1}	K_e_{M2}	K_e_{sp}	K_e_B	K_e_F	K_e_\emptyset
1	+2,20	- 4,96	-1,14	+ 9,13	-13,80	- 4,30
2	+2,05	- 6,04	-0,43	+ 8,28	-12,05	- 6,03
3	-1,09	- 7,73	-0,47	+ 9,70	-16,20	- 5,72
4	-3,75	- 9,75	-2,68	+ 7,06	-16,93	- 7,08
5	+1,76	- 5,63	+2,77	+12,40	-11,38	- 3,24
6	-6,43	-13,02	-2,87	+ 6,63	-15,28	-10,75
7	+2,61	- 4,32	-1,38	+10,08	-16,05	- 4,58
8	-2,00	- 7,76	-2,35	+11,58	-18,05	- 6,02
9	-0,53	- 5,58	+2,62	+16,34	-14,60	- 4,17
10	-4,54	-11,15	-1,64	+ 8,00	-19,06	-14,18
11	-6,43	-14,42	- 3,78	+ 7,90	-17,28	-10,76
12	+3,48	- 5,29	- 3,23	+ 6,58	-24,88	- 6,84
13	+ 2,40	- 5,42	- 3,01	+17,45	-25,28	- 6,82
14	+ 1,82	- 6,14	- 3,68	+ 7,14	-19,03	- 2,07
15	+ 2,53	- 6,63	- 3,52	+ 7,28	-17,76	- 5,31
16	- 0,90	-7,59	- 2,69	+ 7,26	-15,32	- 7,44
17	+ 4,17	-4,70	+ 3,88	+10,55	-11,90	- 3,31

Tabelul 13

Erorile medii în valoare absolută și algebrică și valoarea erorilor maxime pentru experiențele 20-36

	Eroarea absolută %	Eroarea algebrică %	Abaterea maximă %
K_e_{M1}	2,865	- 0,156	- 6,43
K_e_{M2}	7,43	- 7,430	-14,42
K_e_{sp}	2,475	- 1,388	- 3,88
K_e_B	9,61	+ 9,610	+17,45
K_e_F	16,72	-16,720	-25,28
K_e_\emptyset	6,392	- 6,392	-14,18

In tabelul 12 sunt prezentate erorile relative ale cifrelor de evaporare în comparație cu metoda Sherwood, iar în tabelul 13 erorile medii caracteristice pentru metodele lucrînd pe

bază de entalpii, cifrele de evaporare sănt mai mari (K_{M2} , K_{sp} , K_p , K_ϕ), tocmai datorită aproximărilor făcute în ceea ce privește slura curbei de saturatie. Si de data aceasta metoda funcției ϕ se situează după precizia metodei Spangemacher, însă datorită celorlalte avantaje pe care le prezintă, este de recomandat în calculele practice.

Din aceste comparații se pot trage următoarele concluzii:

- pentru domeniul de temperaturi ale apei calde, zonei de răcire și al parametrilor aerului la intrare cercetat, care corespunde destul de bine condițiilor de lucru ale turnurilor de răcire în energetică, atât cifra K_e după Spangemacher cît și cea după funcția ϕ oferă o precizie suficientă.

- calculul turnurilor de răcire pe bază de randament concretizat prin metodele η , η_A și ϕ sintetizează comportarea dinamică a turnului, iar cifrele caracteristice însăși reprezintă un factor de calitate al turnului. Dintre acestea, metoda eficienței termice (funcției ϕ) poate fi folosită mai ales în proiectare, eliminând calculul de tatonare. Un album de diagrame $\phi - \lambda$ pentru diverse geometrii ale sistemului de răcire permite aflarea funcționării în orice regim dorit.

- în condițiile noi ale centralelor termoelectrice mari, la care valorile absolute obținute prin reduceri mici procentuale ale cheltuielilor de exploatare reprezintă sume importante, se recomandă calculul dinamic bazat pe funcția ϕ .

8. Factorul Lewis F_c / α .

După cum se știe [8], [44], la suprafața lichidului există întotdeauna un strat limită laminar de aer saturat a cărui temperatură se poate considera egală cu cea a apei. Acest strat trebuie să fie împrospătat permanent cu vaporii nou formați, o cantitate egală cu a acestora trecînd în masa aerului. Debitul de vaporii ce trece în masa aerului va fi:

$$\frac{d\dot{M}_w}{dS} = \frac{M_v \cdot k}{R_M \cdot T} (p_{so} - p_v) \quad [\text{kg/m}^2 \cdot \text{s}] \quad (296)$$

Avînd în vedere și legea lui Fick, se poate scrie mai departe:

$$\frac{d\dot{M}_w}{dS} = \frac{M_v \cdot k \cdot p_b}{\delta \cdot R_M \cdot T} \ln \frac{p_b - p_v}{p_b - p_{so}} \quad [\text{kg/m}^2 \cdot \text{s}] \quad (297)$$

și împreună cu relația (18) obținem pentru expresia:

$$\overline{G} = \frac{M_v \cdot k \cdot p_b}{\delta \cdot R_M \cdot T} \frac{\ln \frac{0,622+x_s^+}{0,622+x}}{x_s^+ - x} \quad [\text{kg/m}^2 \cdot \text{s}] \quad (298)$$

în care \overline{G} va fi influențat în afară de k și p_b și de valorile x și x_s^+ , adică de poziția procesului în diagrama i-x. La conținuturi x mici, influențele sunt neglijabile și se obține pentru coeficientul de schimb de substanță :

$$\overline{G}_0 = \frac{M_a \cdot k \cdot p_b}{\delta \cdot R_M \cdot T} \quad [\text{kg/m}^2 \cdot \text{s}] \quad (299)$$

Utilizând analogia triplă se poate scrie pentru schimbul de substanță :

$$\beta = \frac{k \cdot c'}{\ell} \cdot \left(\frac{w \cdot \ell}{\overline{G}_0} \right)^m \cdot \left(\frac{\overline{G}_0}{\beta} \right)^n \quad (300)$$

unde: \overline{G}_0 reprezintă vîscozitatea cinematică a aerului uscat.
Pentru convecție vom avea:

$$\alpha = \frac{\lambda}{\ell} \cdot c \left(\frac{w \cdot \ell}{\overline{G}} \right)^m \cdot \left(\frac{\overline{G}}{\alpha} \right)^n \quad (301)$$

Dacă scriem:

$$\frac{\overline{G}}{\alpha} = 0,622 \frac{\ln \frac{0,622+x_s^+}{0,622+x}}{x_s^+ - x} \quad (302)$$

va rezulta:

$$\frac{\overline{G} \cdot c_p}{\alpha} = \frac{\overline{G}}{\overline{G}_0} \frac{M_a}{R_M} \frac{p_b}{T} \left(\frac{\overline{G}}{\beta} \right)^n \left(\frac{\overline{G}_0}{\overline{G}} \right)^{m-n} \cdot c_p \cdot \frac{k}{\lambda} \quad (303)$$

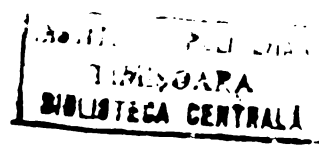
Pentru notarea expresiei:

$$\xi = \frac{0,622 + x_s^+}{0,622 + x} \quad (304)$$

și înlocuirea raportului $\overline{G}/\overline{G}_0$ din (303) se obține:

$$\frac{\overline{G} \cdot c_p}{\alpha} \left(\frac{\overline{G}}{\beta} \right)^{1-n} \left(\frac{\overline{G}_0}{\overline{G}} \right)^{m-n} = \frac{\ln \xi}{\xi - 1} = \phi(\xi) \quad (305)$$

Cum \overline{G}_0 diferă de \overline{G} numai foarte puțin se poate scrie $(\overline{G}_0/\overline{G})^{m-n} \approx 1$. Pentru valoarea exponentului n , se recomandă valori cuprinse între $1/3 \div 1/2$. Din calcul s-au putut trasa valorile corespunzătoare ale lui $\overline{G} \cdot c_p / \alpha$ (figura 95). Conform u (304) vom avea $0 \leq \xi \leq \alpha$ și respectiv:



$$0 \leq \frac{\bar{c}_p}{\alpha} \left(\frac{a}{k} \right)^{1-n} \left(\frac{V_0}{V} \right)^{m-n} \leq \infty \quad (306)$$

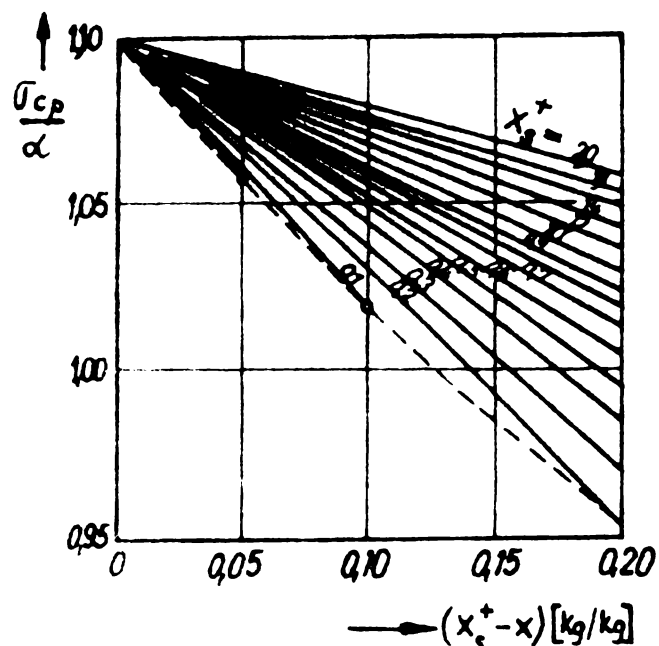


Fig. 95. Valoarea raportului \bar{c}_p/α în funcție de $(x_s^+ - x)$, cu x_s^+ ca parametru.

Se observă că valoarea des folosită $\frac{\bar{c}_p}{\alpha} = 1$, luată strict, nu este legată de condiția $Le=1$, ci ea corespunde fiecărei poziții a procesului din diagramă i-x unde vom avea:

$$\frac{\ln \bar{c}}{\bar{c}-1} = \left(\frac{a}{k} \right)^{1-n} \left(\frac{V_0}{V} \right)^{m-n} \quad (307)$$

Pentru $Le=1$, aceasta este întotdeauna îndeplinită. Diagrama din figura 95 este trasată teoretic, fapt evident și din valorile ridicate ale parametrilor $(x_s^+ - x)$ și x_s^+ utilizate. Așternind valorile corespunzătoare ale factorului \bar{c}_p/α rezultate din determinările experimentale efectuate pe standul monoplacă (vezi anexa) am obținut diagrama din figura 96. Se observă că valoriile lui x_s^+ ajung doar pînă la 70 g/kg (curbele $x_s^+ = 80$ și 90 g/kg obținîndu-se prin extrapolare), iar parametrul $x_s^+ - x$ atingînd valori

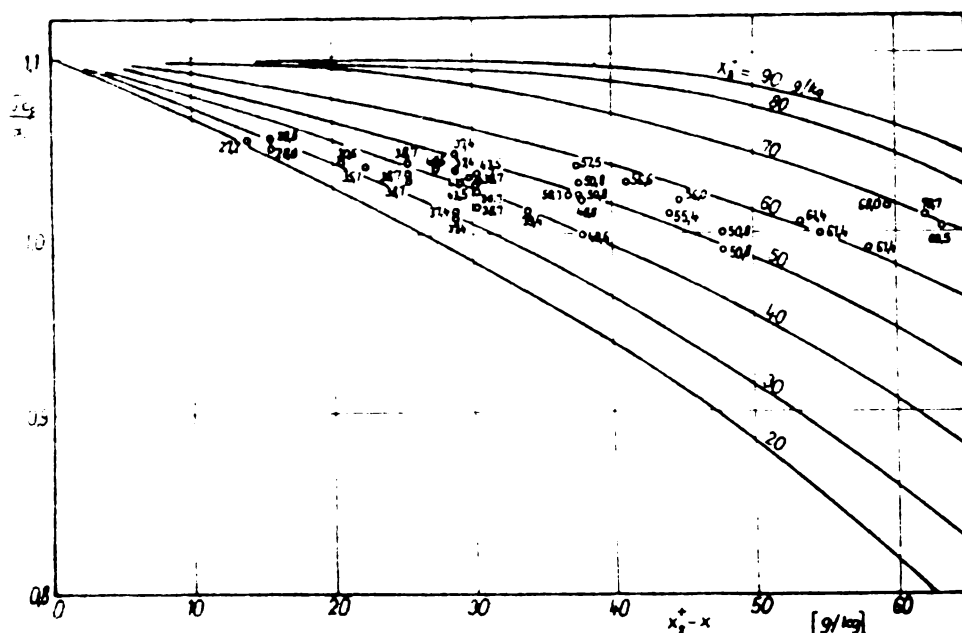


Fig. 96. Variația experimentală a factorului Lewis.

maxime de 70 g/kg. Este și normal, acestea fiind valorile uzuale întâlnite în practica turnurilor de răcire.

Chiar dacă curbele experimentale nu acoperă exact aceeași zonă ca și curbele teoretice, este remarcabilă asemănarea alurilor celor două familii de curbe. Se remarcă că simplificarea $\bar{c}_p/\alpha = 1$ este acceptabilă pentru majoritatea cazurilor de răciri întâlnite

în practică. Totuși se observă o tendință generală de plasare supraunitară a valorilor factorului Lewis. Trebuie să subliniez că valoarea factorului Lewis $\frac{C_p}{\alpha}$ reprezentată este o valoare globală, calculată pe baza parametrilor măsurăți ai apei și aerului la intrarea și ieșirea din zona de lucru.

Pentru cele patru zone de lucru obținute prin măsurările de temperatură a apei, parametrii aerului s-au determinat prin calcul. Eroarea la temperatura de ieșire a aerului a fost de $0,1 - 0,6^{\circ}\text{C}$ iar la conținutul de umiditate de $0,1 - 0,5 \text{ g/kg}$. La aceste erori mici este interesant însă că valorile factorului Lewis $\frac{C_p}{\alpha}$ pentru fiecare zonă sunt diferite la valorile globale; iar în majoritatea cazurilor, unde valorile globale depășesc cu puțin valoarea 1, valorile parțiale ajung și la 1,2.

În tabelul 14 sunt redate pentru exemplificare, rezultatele experimentărilor din seria 14.

Tabelul 14

Compararea valorilor factorului Lewis global cu valorile zonale

Nr. crt.	t_{w1} $^{\circ}\text{C}$	t_{w2} $^{\circ}\text{C}$	t_{L1} $^{\circ}\text{C}$	x_1 g/kg	t_{L2} $^{\circ}\text{C}$	x_2 g/kg	ϵ_{tL2} %
1401	36,00	31,80	24,00	8,30	27,60	18,06	-1,4
1402	36,00	31,20	24,00	8,30	27,50	17,30	-1,8
1403	36,00	30,70	24,00	8,30	27,00	16,50	-0,4
1404	36,00	30,00	24,00	8,30	26,80	16,07	-0,7
1405	36,00	29,00	24,00	8,30	26,50	14,90	-4,3
1406	36,00	28,70	24,00	8,30	26,20	14,66	-0,6

Nr. crt.	ϵ_{x2} %	$\frac{C_p}{\alpha}$	$(\frac{C_p}{\alpha})_1$	$(\frac{C_p}{\alpha})_2$	$(\frac{C_p}{\alpha})_3$	$(\frac{C_p}{\alpha})_4$
1401	+0,4	1,03	1,215	1,208	1,203	1,200
1402	-0,9	1,024	1,149	1,145	1,143	1,143
1403	-0,7	1,015	1,054	1,056	1,058	1,060
1404	-2,4	1,015	1,053	1,054	1,057	1,060
1405	+0,6	1,026	1,154	1,145	1,142	1,143
1406	-0,2	1,024	1,137	1,130	1,129	1,130

Este adevărat că diferențele ce apar se pot pune și pe seama erorilor de calcul arătate (ϵ_{tL2} , ϵ_{x2}), însă și în cazul erorilor mici, valorile cifrelor Lewis zonale depășesc valorile cifrelor Lewis globale, ceea ce conduce la concluzia

că factorul Lewis $\frac{C_p}{\alpha}$ depășește în mod curent valoarea unitară.

Revenind la diagramele din figurile 15...35 se observă că și aici concordanța dintre rezultatele experimentale și calculul teoretic s-a obținut la valori mai mari ale factorului Lewis, grupându-se în jurul valorii $\frac{C_p}{\alpha} = 1,2$. Dacă se analizează programul de calcul cu ajutorul căruia s-au obținut aceste diagrame (JGB TURN 1) se observă că aceste valori ale factorului Lewis

$\frac{C_p}{\alpha}$ afectează fiecare dintre cuburile elementare luate în calcul, ceea ce ar duce (prin analogie cu cazul contracurrentului prezentat mai înainte) la valori globale ceva mai mici ale factorului Lewis, înscriindu-se tot în plaja valorilor din diagrama traseată în figura 96.

Este însă foarte adevărat că această discuție este valabilă pentru zona aerului nesaturat, din momentul atingerii stării de saturatie valoarea factorului Lewis introdusă în calcul neinfluențind procesul. Si global valoarea factorului Lewis ar depăși unitatea, însă aceasta datorită desfășurării procesului pînă în momentul atingerii saturatiei. Din nou se atrage atenția că în discutarea factorului Lewis trebuie să se procedeze cu prudență și să se specifice (în caz că este posibil) dacă s-a atins sau nu saturatia în interiorul dispersorului turnului de răcire. Si la compararea valorilor factorului Lewis cu cele date în literatură, trebuie să avem grijă, căci nu puțini sunt autorii care definesc ca factor Lewis raportul α/\bar{U}_{C_p} ceea ce conduce la interpretări cu totul eronate a rezultatelor.

Mărimele α și \bar{U} ce intervin în factorul Lewis sunt definite prin relațiile (5) și (18). Coeficientul de schimb de substanță \bar{U} astfel definit se supune restricțiilor impuse de legea lui Fick, cea mai importantă dintre ele impunînd o curgere laminară sau cel mult un sub-strat laminar al unei curgeri turbulente. În cazul umui transfer de substanță în prezența unei curgeri oarecare, se poate presupune că fluxul de substanță se compune din două părți: una datorată mișcării de ansamblu a amestecului în direcția gradientului de substanță și o alta difuzională și care este proporțională cu gradientul concentrației substanței transferate care este de fapt motorului transferului de substanță.

În acest context, coeficientul de schimb de substanță \bar{U}^t va ține cont deci de contribuția diviziunii moleculare și de contribuția transferului turbulent. Acest coeficient \bar{U}^t nu va mai fi o proprietate intrinsecă a amestecului considerat ci va depinde în cea mai mare măsură de intensitatea fluxului transferat. Plecînd

de la forma generală a legii lui Fick:

$$\dot{m}_w = x(\dot{m}_w + \dot{m}_L) - k \frac{dc}{dy} \quad (308)$$

se va putea scrie în cazul unei curgeri oarecare:

$$\dot{m}_w = x_0(\dot{m}_{wo} + \dot{m}_{Lo}) + G^t(x_0 - x) \quad (309)$$

Coefficientul de schimb de substanță G^t este deci:

$$\lim_{\begin{array}{l} \dot{m}_{wo} \rightarrow 0 \\ \dot{m}_{Lo} \rightarrow 0 \end{array}} \frac{(\dot{m}_{wo} - x_0(\dot{m}_{wo} + \dot{m}_{Lo}))}{x_0 - x} = \lim_{\begin{array}{l} \dot{m}_{wo} \rightarrow 0 \\ \dot{m}_{Lo} \rightarrow 0 \end{array}} G^t = G \quad (310)$$

Pentru curgeri turbulente criteriul Nu va trebui deci să țină cont de influența fluxului transferat:

$$Nu' = \frac{G^t \cdot l}{g \cdot k} \quad (311)$$

Considerații asemănătoare sunt valabile și pentru transferul de căldură. De asemenea, pe lîngă fluxul termic prin convecție trebuie să se aibă în vedere și fluxul datorat entalpiei adusă de mișcarea de ansamblu, care nu mai este neglijabilă. Trebuie să se scrie deci:

$$\dot{q} = \alpha^t(t_0 - t) + (\dot{m}_{wo} i_{wo} + \dot{m}_{Lo} \cdot i_{Lo}) \quad (312)$$

Aici, α^t reprezintă coeficientul de convecție termică ce ține cont de un transfer simultan de substanță.

Cum majoritatea datelor experimentale sunt date pentru transferuri de intensitate relativ mică, se pot introduce factorii de corecție ai coeficienților de schimb de substanță

G și de căldură α , pentru a se ține cont de distorsiunea cimpurilor de concentrație și de temperatură datorită transferului important de substanță prin zona de separație. Dacă se notează acești factori cu:

$$f^C = \frac{\alpha^t}{\alpha} \quad \text{și} \quad f^S = \frac{G^t}{G} \quad (313)$$

pe baza teoriei filmului se pot scrie sub forma:

$$f^C = \frac{\ln(1 + A^C)}{A^C} \quad (314)$$

$$f^s = \frac{\ln(1+A^s)}{A^s} \quad (315)$$

unde:

$$A_c = \frac{(\dot{m}_{wo} \cdot c_w + \dot{m}_{Lo} c_{pL})(t_o - t)}{\dot{q}} \quad (316)$$

$$A^s = \frac{x_o - x}{\frac{\dot{m}_{wo}}{\dot{m}_{wo} - \dot{m}_{Lo}} - x_o} \quad (317)$$

Bosnjaković a scris pentru cifra Lewis relația:

$$- Le = \left(\frac{a}{k} \right)^{2/3} \frac{1}{\varnothing(\xi)} \quad (318)$$

în care funcția $\varnothing(\xi)$ definită prin relația (305) este identică cu factorul f^s . Dacă tripla analogie este valabilă, atunci nu numai schimbul de substanță trebuie să fie corectat, ci și schimbul de căldură, respectiv coeficientul de schimb de căldură α prin factorul f^c . Din aceasta rezultă că trebuie să se aplique cifrei Lewis o corecție mai mică decât cea dată în literatură, corecție care este în deplină concordanță cu rezultatele experimentale trasate în figura 96.

Demn de subliniat este faptul că folosirea entalpiei ca pe tensișal motor în cadrul calculelor de schimb de căldură și de substanță cu ajutorul funcției \varnothing este în deplină concordanță cu cele arătate mai sus privitor la fluxurile energetice care influențează transferul.

9. Concluzii

Prin obiectivele propuse și tratate, lucrarea de față se încadrează organic în tematica largă de reducere a consumurilor de energie deschisă de "Programul directivă de cercetare și dezvoltare în domeniul energiei pe perioada 1981-1990 și orientările principale pînă în anul 2000".

Chiar dacă la prima vedere economiile obținute prin îmbunătățirea extremității reci a ciclului nu sunt evidente, ele sunt totuși importante în faza actuală a construirii de centrale termoelectrice de mare putere, atît la faza de investiție, cît și la exploatarea acestora.

In cadrul lucrării s-a îmbinat armonios cercetarea teoretică cu cea aplicată și, mai ales, fiind în tot ansamblul ei strîns

legată de necesitățile actuale ale proiectanților și utilizatorilor de turnuri de răcire.

Este de relevat că în mare parte activitatea de cercetare desfășurată de autor a fost valorificată pe cale contractuală (I.C.E.M. E.N.E.R.G. București și I.S.P.E. București), fiind materializată prin 6 protocoale.

In partea teoretică a lucrării, după ce s-a făcut o analiză a metodelor clasice de rezolvare a ecuațiilor schimbului de căldură și de substanță atât în turnurile de răcire în contracurent, cît și în cele în curent încrucișat, s-a expus clar modul de calcul bazat pe teoria funcției ϕ . Pentru calculul clasic s-au făcut aprecieri critice asupra desfășurării procesului după atingerea curbei limită și s-a expus deja concluzia personală, dobândită după un număr foarte mare de prelucrări de date experimentale. Această concluzie, a urmăririi în continuare de către proces a curbei de saturatie este foarte importantă pentru calculele practice și toate curbele trasate pe baza datelor experimentale puse la dispoziție de către ICEMENERG București vin să confirme în mod neîndoianic rezultatele teoretice.

Autorul a folosit la prelucrarea tuturor datelor experimentale metoda de calcul bazată pe teoria funcției ϕ expusă în lucrare. Pentru toate variantele de calcul - contracurent, curent încrucișat, calcul de proiectare, prelucrarea datelor experimentale - s-au întocmit programe în limbajul FORTRAN care au fost rulete pe calculatorul Felix C 256 al Centrului de Calcul al I.P. "Traian Vuia" Timișoara. Din compararea acestor programe cu cele elaborate pe baza altor metodici de calcul (Merkel, Berman, Helfand) a rezultat că metodica de calcul prezentată nu numai că este corectă și îmbracă foarte bine fenomenul real, dar este și superioară celorlalte metode datorită unei programări mai facile și a unui timp de execuție mult mai scurt.

Pentru determinările experimentale în contracurent, autorul a proiectat și realizat un stand pilot, pe care s-au executat pînă în prezent toate încercările, plecînd de la clasicele plăci plane din azbociment și continuînd cu plăcile ondulate din azbociment și cu umpluturile din plase de mase plastice.

In toate etapele cercetării experimentale, rezultatele au fost imediat utilizate în proiectarea turnurilor de răcire de mare capacitate.

Ultimele variante de umpluturi încercate, rezultate dintr-o căutare paralelă de noi soluții mai bune și mai economice

au fost cele realizate din plăse de masă plastică ignifugată, armată cu șira ușoară și prezente sub formă unor rulouri. S-a constatat că aceste umpluturi prezintă avantajul unui consum specific de material pe unitate de volum de umplutură foarte redus, de numai $1,2 \div 4,2\%$ volumic și $0,4 \div 1,3$ masic, al unui sistem de susținere mult simplificat, al unui preț de revenire ce reprezintă $9 \div 33\%$ din cel al plăcilor din azbociment și al unor cifre de transfer termic și de substanță comparabile sau mai bune decât cele ale umpluturilor din plăci din azbociment.

Pe baza studiilor de optimizare a acestor umpluturi s-a ajuns la concluzia că în cazul utilizării rulourilor cu diametru de 150 mm, este absolut suficientă o umplutură realizată din 7 rînduri suprapuse, mărirea numărului de rînduri neîmbunătățind transferul termic și de substanță, dar majorînd în mod corespunzător rezistența hidraulică a umpluturii.

Autorul a atacat și problematica turnurilor de răcire în curent încrucisat și în special cea a spinoasei probleme a transpunerii rezultatelor obținute în laborator la calculele de proiectare. S-au elaborat și de această dată trei programe de calcul, cu ajutorul cărora s-a demonstrat că mărimele obținute în laborator se pot transpune fără nici o modificare în calculele de proiectare, prin menținerea același metodici de calcul și a respectării similarității geometrice și termice.

Mult discutata influență a factorului Lewis asupra procesului din turnurile de răcire a fost abordată și ea de către autor, pentru aceasta realizînd un stand monoplacă în contracurent. Rezultatele experimentale au fost folosite atît pentru acest scop, cît și pentru alte comparații ale metodei de calcul expuse cu metodele de calcul din literatură de specialitate. Din comparațiile făcute s-a putut vedea din nou corectitudinea metodei expuse, Cu ajutorul acestor determinări experimentale s-a trasat o diagramă a variației factorului Lewis T_c / α_p care se apropie de cea corespunzătoare teoriei lui Bosnjaković. Faptul că variația acestui factor are valori mai mici, a dus la concluzia importantă că în calculele schimbului conjugat de căldură și de substanță, trebuie să se corecteze ambele fenomene de transport, nu numai cel de substanță. Datorită acestei duble corecții apare o valoare corectivă mai redusă pe ansamblu, concluzie teoretică pe deplin verificată de determinările experimentale.

Tot din acest unghi de abordare a problemei s-a evidențiat

că în transferul de căldură trebuie să se considere neapărat entalpia ca potențial motor, doar în acest fel punându-se în evidență factorul de corecție amintit. Premiza utilizării entalpiei ca potențial motor în metodica de calcul este pe deplin confirmată de această din urmă concluzie.

lo. Bibliografie

1 ALIĆ, V.

A critical survey of the calculation of natural and mechanical draught water cooling towers, by means of criteria, mean enthalpies difference of moist air and efficiency coefficient
Mašinstvo-Tehnica (1965) 2

2 BAKER, D. & SHRYOCK, H.

A comprehensive approach to the analysis of cooling tower performance

Journal of Heat Transfer 9 (1961) Pp. 339

3 BAKER, D.

Use charts to evaluate cooling towers

Hydr.Process & Petr.Refiner 41 (1962) 11, Pp. 233/236

4 BARBU, V, IORGA, D. & JĂDĂNEANT, M.

Optimizarea condițiilor de intrare la plăcile ondulate ca umplutură a turnurilor de răcire în contracurent cu prelingere
Energetica 21 (1973) 9, P. 414/416

5 BERLINER, P.

Gegenwärtige Kühlturmtechnik

Wärme Band 80, H 3 u. H 4, S. 25/32 u. 69/79

6 BERMAN, L.

Determinarea valorii medii a entalpiei aerului la calculul turnurilor de răcire și a instalațiilor de condiționare u-mede (l.rusă)

Hol. Technika 1960 1, P. 25/29

7 BERMAN, L.

Untersuchung der Wasserkühlung im Kühlturmen

Luft-u. Kältetechnik 3 (1967) 5, S. 194/198

8 BOŠNJAKOVIĆ, F.

Technische Thermodynamik, II Teil

Th. Steinkopff Verlag, Dresden u. Leipzig 1960

9 BRAUN, D. & HIBY, J.

Der gasseitige Stoffübergangskoeffizient am Rieselfilm

Chem.Ing.Technik 42 (1970) 6, S. 345/349

10 CHAPELLE, M.

Refrigérants atmosphériques à tirage naturel, à film et à contre-courant

Rév,Gén.Thermique 46 (1965) 10, P. 1093/1117

- 11 CHIRIAC, F.
Tipizarea turnurilor de răcire cu tiraj forțat pentru debite de 500-3000 m³/h
Bul. Inst. Constr. București 13 (1970) 4, P.163/183
- 12 DOUBREK, O.
Neue Entwicklungen bei Querstrom-Verdunstungskühlern
Die Kälte 20 (1967) 5, S. 228/230
- 13 ECKERT, E.
Einführung in den Wärme- und Stoffaustausch
Berlin-Heidelberg-New York Springer Verlag, 1966
- 14 FEIND, K.
Strömungsuntersuchungen bei Gegenstrom von Rieselfilm und Gas in lotrechten Rohren
V.D.I. F.Heft 481, 1960
- 15 FRITZSCHE, P.
Der Kreuzstrom-Kühlturm
Brennstoff-Wärme-Kraft 20 (1968) 2, S. 61/64
- 16 FULLER, A.
Computer evaluates cooling towers
Petrol.Refiner (1965) 12, Pp. 211/214
- 17 GASPERSIĆ, B.
Zur Kühlung von Wasserstrahlen mit feuchter Luft am Versuchsmodell
Brennstoff-Wärme-Kraft 20 (1968) 3, S. 126/129
- 18 GRIBEL, C.
Über die Wasserrückkühlung mit selbstventilierendem Turmkühler
V.D.I.- F.Heft 242, 1921
- 19 GRÖBER/ERK/GRIGULL
Wärmeübertragung
Springer Verlag 1957
- 20 LAUPT, T.
Cycle control cuts cooling-tower costs
Chem. Engng. 11 (1978) 9, Pp. 161/163
- 21 HAÜSSLER, W.
Das Maschinenbaulaboratorium der Technischen Hochschule Karl-Marx-Stadt
Luft- u. Kältetechnik 3 (1967) 4, S. 187/191
- 22 HELFAND, R.
Ecuațiile diferențiale ale calculului termic al turnuri-

- lor de răcire în curent transversal (l. rusă)
Bul.VNIIG 86, 1968
- 23 IORGA, D. & JĂDĂNEANT, M.
Influența temperaturii și umidității relative a aerului asupra funcționării turnului de răcire în contracurent
Vol.Ses.Com.Tin.Ing. Timișoara 1971, P. 127/138
- 24 JĂDĂNEANT, M., BARBU, V. & IORGA, D.
Calculation of heat and mass transfer in counterflow cooling towers, with IRIS-50 computer
Vol."First heat trans.conf." Iași 1973, Pp. 719/731
- 25 JĂDĂNEANT, M.
Referat nr. 2 (pregătire teză doctorat) 1971
- 26 JĂDĂNEANT, M, UNGUREANU, C, OANCEA, N. & NEGRU, D.
Cercetări experimentale asupra comportării termice și aerodinamice a rulourilor din mase plastice ca umplutură a turnurilor de răcire în contracurent
Vol."Ses.jubil.com.șt" Cluj-Napoca 1978, P. 41/48
- 27 JĂDĂNEANT, M.
Studii și cercetări experimentale asupra unor noi tipuri de umpluturi pentru turnurile de răcire
Prezentat la a VIII-a Consf. Termoenerg. din România 1980
- 28 JĂDĂNEANT, M.
Considerații asupra aerodinamicii și a schimbului de căldură și de substanță în turnurile de răcire cu curgere peliculară
Vol."Ses.com.tin.Ing" Timișoara 1971, P. 171/178
- 29 KELLY, N. & SWENSON, L.
Comparative performance of Cooling Tower Packing Arrangement
Chem. Engng. Progress 52 (1956) 7, Pp. 263/268
- 30 KLENKE, W.
Die Kühlurmkennlinie als Mittel für die Beurteilung von Kühlturnen
Brennstoff-Wärme-Kraft 18 (1966) 3, S. 97/105
- 31 KLENKE, W.
Zur einheitlichen Beurteilung und Berechnung von Gegenstrom und Kreuzstromkühlturnen
Kältetechnik-Klimatisierung 22 (1970) 10, S. 322/330
- 32 KOCH, J.
Untersuchung und Berechnung von Kühlwerken mit Hilfe des i-t Bildes
V.D.I- F.Heft 404, 1940

- 33 KUNZE, W.
Untersuchungen zum Wärme- und Stoffaustausch in Segmentel-
lertrockner
Luft- u. Kältetechnik 3 (1967) 4, S. 153/160
- 34 LONDON, A, MASON, W. & BOELTER, L.
Performance characteristics of a mechanical induced draft
counterflow packed cooling towers
Trans. ASME 62 (1940) 1, Pp. 41/50
- 35 MEHLIG, J.
Die Wärme- und Stoffübertragung bei der Verdunstungskühlung
Brennstoff-Wärme-Kraft 20 (1968) 2, S. 49/56
- 36 MERKEL, FR.
Verdunstungskühlung
V.D.I.-F. Heft 275, 1925
- 37 MCKELVEY, K. & BROOKE, M.
The Industrial Cooling Tower
Elsevier Publ. Comp. Princeton 1959
- 38 MIKYSKA, L. & REINISH, R.
Cooling curve computation of upstream induced-drop cooling
tower
ASHRAE Journal Nov. 1967, Pp. 78/82
- 39 MOLYNEUX, F.
Counter- and Cross-flow Cooling Towers
Chem. & Pr. Engng. 48 (1967) 5, Pp. 56/60
- 40 OANCEA, N. & JĂDĂNEANT, M.
Tendințe noi în construcția turnurilor de răcire mari
energetica 18 (1970) 4, P. 149/155
- 41 OANCEA, N. & JĂDĂNEANT, M.
Cercetări experimentale asupra proceselor de schimb termic
și de masă în turnurile de răcire în contracurent și în cu-
rent încrucișat
Std. și cerc. energetică 2 (1972) 3, P. 59/71
- 42 OTIS, M.
System designs for dry cooling towers
Power Engng: (1977) 9, Pp. 42/50
- 43 PANĂ, P.
Teză de doctorat, I.P."Traian Vuia" Timișoara, 1971
- 44 PANĂ, P. & THEIL, H.
Die kriterielle Gleichung des Wärmeaustausches in Rekupe-
ratoren
Int. Journal. Heat and Mass Transfer 15 (1972) Pp. 1419/1422

- 45 POPPE, M.
Wärme- und Stoffübertragung bei der Verdunstungskühlung im
Gegen- und Kreuzstrom
V.D.I.-F.Heft 560, 1973
- 46 SHERWOOD, K.
Absorption and extraction
McGraw Hill, New York, 1937
- 47 SPANGEMACHER, K.
Lösungsmöglichkeiten der Merkelschen Hauptgleichung zur Be-
rechnung von Kühlturnen und Einspritzkühlern
Brennstoff-Wärme-Kraft 13 (1961) 6, S. 273/275
- 48 SPANGEMACHER, K.
Berechnung von Kühlturnen und Einspritzkühlern mit Hilfe ei-
ner Verdunstungs-Kennzahl
Brennstoff-Wärme-Kraft 10 (1957) 5, S. 209/215
- 49 SPANGEMACHER, K.
Characteristik von Kühlturnen mit natürlichem und künstli-
chen Zug
Brennstoff-Wärme-Kraft 16 (1964) 5, S. 241/246
- 50 SUHOV, E.
Cercetări termice de laborator ale dispozitivelor de stro-
pire în curent transversal (l. rusă)
V.N.I.I.G. 99 (1972)
- 51 THOMAS, W. & HOUSTON, P.
Simultaneous heat and mass transfer in cooling towers
Brit.Chem. Engng. 4 (1959) 3, Pp.160/163, 4 Pp.217/222
- 52 VLĂDEA, I.
Instalații și utilaje termice
Edit. Tehnică București, 1966
- 53 VLĂDEA, I.
Tratat de termodinamică tehnică și transmiterea căl-
durii
Edit.Did.Ped. București, 1974
- 54 VLĂDEA, I., UNGUREANU, C., OANCEA, N. & GUTMAYER, H.
Theoretisches und experimentelles Studium der thermischen
Vorgänge in Kreuzstromkühlturnen
Energietechnik 22 (1972) 8, S. 367/371
- 55 VLĂDEA, I. & OANCEA, N.
Der thermische Gütegrad von Kühlturnen
Brennstoff-Wärme-Kraft 22 (1970) 3, S. 123/127

- 56 VLĂDEA, I., UNGUREANU, C., OANCEA, N. & GUTMAYER, H.
Theoretisches und experimentelles Studium der Granulometrie
der Tropfchen in Kühlturmen
Energietechnik 22 (1972) 8, S. 372/376
- 57 VLĂDEA, I., BARBU, V., IORGA, D. & JĂDĂNEANT, M.
Dependența analitică a principalelor mărimi care caracteri-
zează funcționarea turnului de răcire în contracurent
Bul. șt. tehn. IPT Tom 17(31), Fasc. 1/1972, P. 39/44
- 58 WOLFERSDORFF, W.
Gleichzeitiger Wärme- und Stoffübergang im Kühlturm
Chem. Ing. Technik 45 (1973) 6, S. 356/362
- 59 YOSHIDA, F. & TANAKA, T.
Air-Water Contact Operations in a Packed Column
Ind. Engng. Chem. 43 (1951) 6, Pp. 1467/1473

A N E X A

1
2
3
4
5
6
7
8
9
10
11
12
13
14
15
16
17
18
19
20
21
22
23
24
25
26
27
28
29
30
31
32
33
34
35
36
37
38
39
40
41
42
43
44
45
46
47
48
49
50
51
52
53
54
55
56
57
58
59
60
61
62
63
64
65
66
67
68
69
70
71
72
73
74
75
76
77
78
79
80
81
82
83
84
85
86
87
88
89
90
91
92
93
94
95
96
97
98
99
100
101
102
103
104
105
106
107
108
109
110
111
112
113
114
115
116
117
118
119
120
121
122
123
124
125
126
127
128
129
130
131
132
133
134
135
136
137
138
139
140
141
142
143
144
145
146
147
148
149
150
151
152
153
154
155
156
157
158
159
160
161
162
163
164
165
166
167
168
169
170
171
172
173
174
175
176
177
178
179
180
181
182
183
184
185
186
187
188
189
190
191
192
193
194
195
196
197
198
199
200
201
202
203
204
205
206
207
208
209
210
211
212
213
214
215
216
217
218
219
220
221
222
223
224
225
226
227
228
229
230
231
232
233
234
235
236
237
238
239
240
241
242
243
244
245
246
247
248
249
250
251
252
253
254
255
256
257
258
259
260
261
262
263
264
265
266
267
268
269
270
271
272
273
274
275
276
277
278
279
280
281
282
283
284
285
286
287
288
289
290
291
292
293
294
295
296
297
298
299
300
301
302
303
304
305
306
307
308
309
310
311
312
313
314
315
316
317
318
319
320
321
322
323
324
325
326
327
328
329
330
331
332
333
334
335
336
337
338
339
339
340
341
342
343
344
345
346
347
348
349
349
350
351
352
353
354
355
356
357
358
359
359
360
361
362
363
364
365
366
367
368
369
369
370
371
372
373
374
375
376
377
378
379
379
380
381
382
383
384
385
386
387
388
389
389
390
391
392
393
394
395
396
397
398
399
399
400
401
402
403
404
405
406
407
408
409
409
410
411
412
413
414
415
416
417
418
419
419
420
421
422
423
424
425
426
427
428
429
429
430
431
432
433
434
435
436
437
438
439
439
440
441
442
443
444
445
446
447
448
449
449
450
451
452
453
454
455
456
457
458
459
459
460
461
462
463
464
465
466
467
468
469
469
470
471
472
473
474
475
476
477
478
479
479
480
481
482
483
484
485
486
487
488
489
489
490
491
492
493
494
495
496
497
498
499
499
500
501
502
503
504
505
506
507
508
509
509
510
511
512
513
514
515
516
517
518
519
519
520
521
522
523
524
525
526
527
528
529
529
530
531
532
533
534
535
536
537
538
539
539
540
541
542
543
544
545
546
547
548
549
549
550
551
552
553
554
555
556
557
558
559
559
560
561
562
563
564
565
566
567
568
569
569
570
571
572
573
574
575
576
577
578
579
579
580
581
582
583
584
585
586
587
588
589
589
590
591
592
593
594
595
596
597
598
599
599
600
601
602
603
604
605
606
607
608
609
609
610
611
612
613
614
615
616
617
618
619
619
620
621
622
623
624
625
626
627
628
629
629
630
631
632
633
634
635
636
637
638
639
639
640
641
642
643
644
645
646
647
648
649
649
650
651
652
653
654
655
656
657
658
659
659
660
661
662
663
664
665
666
667
668
669
669
670
671
672
673
674
675
676
677
678
679
679
680
681
682
683
684
685
686
687
688
689
689
690
691
692
693
694
695
696
697
698
699
699
700
701
702
703
704
705
706
707
708
709
709
710
711
712
713
714
715
716
717
718
719
719
720
721
722
723
724
725
726
727
728
729
729
730
731
732
733
734
735
736
737
738
739
739
740
741
742
743
744
745
746
747
748
749
749
750
751
752
753
754
755
756
757
758
759
759
760
761
762
763
764
765
766
767
768
769
769
770
771
772
773
774
775
776
777
778
779
779
780
781
782
783
784
785
786
787
788
789
789
790
791
792
793
794
795
796
797
798
799
799
800
801
802
803
804
805
806
807
808
809
809
810
811
812
813
814
815
816
817
818
819
819
820
821
822
823
824
825
826
827
828
829
829
830
831
832
833
834
835
836
837
838
839
839
840
841
842
843
844
845
846
847
848
849
849
850
851
852
853
854
855
856
857
858
859
859
860
861
862
863
864
865
866
867
868
869
869
870
871
872
873
874
875
876
877
878
879
879
880
881
882
883
884
885
886
887
888
889
889
890
891
892
893
894
895
896
897
898
899
899
900
901
902
903
904
905
906
907
908
909
909
910
911
912
913
914
915
916
917
918
919
919
920
921
922
923
924
925
926
927
928
929
929
930
931
932
933
934
935
936
937
938
939
939
940
941
942
943
944
945
946
947
948
949
949
950
951
952
953
954
955
956
957
958
959
959
960
961
962
963
964
965
966
967
968
969
969
970
971
972
973
974
975
976
977
978
979
979
980
981
982
983
984
985
986
987
988
989
989
990
991
992
993
994
995
996
997
997
998
999
999
1000
1001
1002
1003
1004
1005
1006
1007
1008
1009
1009
1010
1011
1012
1013
1014
1015
1016
1017
1018
1019
1019
1020
1021
1022
1023
1024
1025
1026
1027
1028
1029
1029
1030
1031
1032
1033
1034
1035
1036
1037
1038
1039
1039
1040
1041
1042
1043
1044
1045
1046
1047
1048
1049
1049
1050
1051
1052
1053
1054
1055
1056
1057
1058
1059
1059
1060
1061
1062
1063
1064
1065
1066
1067
1068
1069
1069
1070
1071
1072
1073
1074
1075
1076
1077
1078
1079
1079
1080
1081
1082
1083
1084
1085
1086
1087
1088
1089
1089
1090
1091
1092
1093
1094
1095
1096
1097
1097
1098
1099
1099
1100
1101
1102
1103
1104
1105
1106
1107
1108
1109
1109
1110
1111
1112
1113
1114
1115
1116
1117
1118
1119
1119
1120
1121
1122
1123
1124
1125
1126
1127
1128
1129
1129
1130
1131
1132
1133
1134
1135
1136
1137
1138
1139
1139
1140
1141
1142
1143
1144
1145
1146
1147
1148
1149
1149
1150
1151
1152
1153
1154
1155
1156
1157
1158
1159
1159
1160
1161
1162
1163
1164
1165
1166
1167
1168
1169
1169
1170
1171
1172
1173
1174
1175
1176
1177
1178
1179
1179
1180
1181
1182
1183
1184
1185
1186
1187
1188
1189
1189
1190
1191
1192
1193
1194
1195
1196
1197
1197
1198
1199
1199
1200
1201
1202
1203
1204
1205
1206
1207
1208
1209
1209
1210
1211
1212
1213
1214
1215
1216
1217
1218
1219
1219
1220
1221
1222
1223
1224
1225
1226
1227
1228
1229
1229
1230
1231
1232
1233
1234
1235
1236
1237
1238
1239
1239
1240
1241
1242
1243
1244
1245
1246
1247
1248
1249
1249
1250
1251
1252
1253
1254
1255
1256
1257
1258
1259
1259
1260
1261
1262
1263
1264
1265
1266
1267
1268
1269
1269
1270
1271
1272
1273
1274
1275
1276
1277
1278
1279
1279
1280
1281
1282
1283
1284
1285
1286
1287
1288
1289
1289
1290
1291
1292
1293
1294
1295
1296
1297
1297
1298
1299
1299
1300
1301
1302
1303
1304
1305
1306
1307
1308
1309
1309
1310
1311
1312
1313
1314
1315
1316
1317
1318
1319
1319
1320
1321
1322
1323
1324
1325
1326
1327
1328
1329
1329
1330
1331
1332
1333
1334
1335
1336
1337
1338
1339
1339
1340
1341
1342
1343
1344
1345
1346
1347
1348
1349
1349
1350
1351
1352
1353
1354
1355
1356
1357
1358
1359
1359
1360
1361
1362
1363
1364
1365
1366
1367
1368
1369
1369
1370
1371
1372
1373
1374
1375
1376
1377
1378
1379
1379
1380
1381
1382
1383
1384
1385
1386
1387
1388
1389
1389
1390
1391
1392
1393
1394
1395
1396
1397
1397
1398
1399
1399
1400
1401
1402
1403
1404
1405
1406
1407
1408
1409
1409
1410
1411
1412
1413
1414
1415
1416
1417
1418
1419
1419
1420
1421
1422
1423
1424
1425
1426
1427
1428
1429
1429
1430
1431
1432
1433
1434
1435
1436
1437
1438
1439
1439
1440
1441
1442
1443
1444
1445
1446
1447
1448
1449
1449
1450
1451
1452
1453
1454
1455
1456
1457
1458
1459
1459
1460
1461
1462
1463
1464
1465
1466
1467
1468
1469
1469
1470
1471
1472
1473
1474
1475
1476
1477
1478
1479
1479
1480
1481
1482
1483
1484
1485
1486
1487
1488
1489
1489
1490
1491
1492
1493
1494
1495
1496
1497
1497
1498
1499
1499
1500
1501
1502
1503
1504
1505
1506
1507
1508
1509
1509
1510
1511
1512
1513
1514
1515
1516
1517
1518
1519
1519
1520
1521
1522
1523
1524
1525
1526
1527
1528
1529
1529
1530
1531
1532
1533
1534
1535
1536
1537
1538
1539
1539
1540
1541
1542
1543
1544
1545
1546
1547
1548
1549
1549
1550
1551
1552
1553
1554
1555
1556
1557
1558
1559
1559
1560
1561
1562
1563
1564
1565
1566
1567
1568
1569
1569
1570
1571
1572
1573
1574
1575
1576
1577
1578
1579
1579
1580
1581
1582
1583
1584
1585
1586
1587
1588
1589
1589
1590
1591
1592
1593
1594
1595
1596
1597
1597
1598
1599
1599
1600
1601
1602
1603
1604
1605
1606
1607
1608
1609
1609
1610
1611
1612
1613
1614
1615
1616
1617
1618
1619
1619
1620
1621
1622
1623
1624
1625
1626
1627
1628
1629
1629
1630
1631
1632
1633
1634
1635
1636
1637
1638
1639
1639
1640
1641
1642
1643
1644
1645
1646
1647
1648
1649
1649
1650
1651
1652
1653
1654
1655
1656
1657
1658
1659
1659
1660
1661
1662
1663
1664
1665
1666
1667
1668
1669
1669
1670
1671
1672
1673
1674
1675
1676
1677
1678
1679
1679
1680
1681
1682
1683
1684
1685
1686
1687
1688
1689
1689
1690
1691
1692
1693
1694
1695
1696
1697
1697
1698
1699
1699
17

1
1
2
3
4
5
6
7
8
9
10
11
12
13
14
15
16
17
18
19
20
21
22
23
24
25
26
27
28
29
30
31
32
33
34
35
36
37
38
39
40
41
42
43
44
45
46
47
48
49
50
51
52
53
54
55
56
57
58
59
60
61
62
63
64
65
66
67
68
69
70
71
72
73
74
75
76
77
78
79
80
81
82
83
84
85
86
87
88
89
90
91
92
93
94
95
96
97
98
99
100

UNTRACED 00.00

TRUINCC1 21/02/79 14.30.42

CONT'D

卷之三

```

COMMON L(20),V(20)
      L=5.20
      D=L-A/6.70B
      C=D*V(L)
      B=C*D
      E=0.1
      F=B*(L-1)
      G=(D*(L-1))/2
      H=(G*(L-1))/2
      I=(H*(L-1))/2
      J=(I*(L-1))/2
      K=(J*(L-1))/2
      L=(K*(L-1))/2
      M=(L*(L-1))/2
      N=(M*(L-1))/2
      O=(N*(L-1))/2
      P=(O*(L-1))/2
      Q=(P*(L-1))/2
      R=(Q*(L-1))/2
      S=(R*(L-1))/2
      T=(S*(L-1))/2
      U=(T*(L-1))/2
      V=(U*(L-1))/2
      W=(V*(L-1))/2
      X=(W*(L-1))/2
      Y=(X*(L-1))/2
      Z=(Y*(L-1))/2
      END

```

MODULE	TYPE	LUMIÈRE	TYPE	LUMIÈRE	TYPE	LUMIÈRE
FXBLK	P	LONGUEUR	P	LONGUEUR	P	LONGUEUR
FX40DATA						
MCNUL	C	LOI JUEUR	C	LOI JUEUR	C	LOI JUEUR
MCNUL	P	LONGUEUR	P	LONGUEUR	P	LONGUEUR
MCNUL						
SCYTEM						
WONULE						

***** FIN DE COMPILATION (PLUS HAUT NIVEAU D'EXTRAIT REMPLIANTHE = 0) 14.31.20
 0013 TURKUCA A" = P601 HAZAH 9901 DATA = 21/06/79
 HICEB E19H 30M 22S HIFAN = 0000000070
 LGP = 00028 MEM = U0011 LO = OUT = 00000
 RD = 01 HT = 01

LINK
STARTED
AUJOURD'HUI A L'EDITION DE LIENS
OU13 TURKU 11M 15 AN
LUP = 00128 MTH E
RD = 01 HT = 01
RUN NLISUUGU.TIMER1>
STARTED

44
 4227.0 15.520 23.0 10.440 44.0 11.588 22.0 14.566 20.0 19.410
 4227.0 20.520 26.0 21.615 24.0 22.540 25.0 24.928 31.0 25.321
 4227.0 25.520 28.0 28.605 24.0 29.560 25.0 31.928 37.0 32.738
 4227.0 30.520 33.0 30.605 24.0 31.560 25.0 34.928 43.0 32.130
 4227.0 35.520 38.0 36.605 24.0 37.560 25.0 40.928 50.0 42.130
 4227.0 40.520 43.0 40.605 24.0 42.560 25.0 45.928 57.0 42.130
 4227.0 45.520 48.0 45.605 24.0 47.560 25.0 50.928 64.0 42.130
 4227.0 50.520 53.0 50.605 24.0 52.560 25.0 55.928 71.0 42.130
 4227.0 55.520 58.0 55.605 24.0 57.560 25.0 60.928 78.0 42.130
 4227.0 60.520 63.0 60.605 24.0 62.560 25.0 65.928 85.0 42.130
 4227.0 65.520 68.0 65.605 24.0 67.560 25.0 70.928 92.0 42.130
 4227.0 70.520 73.0 70.605 24.0 72.560 25.0 75.928 99.0 42.130
 4227.0 75.520 78.0 75.605 24.0 77.560 25.0 80.928 106.0 42.130
 4227.0 80.520 83.0 80.605 24.0 82.560 25.0 85.928 113.0 42.130
 4227.0 85.520 88.0 85.605 24.0 87.560 25.0 90.928 120.0 42.130
 4227.0 90.520 93.0 90.605 24.0 92.560 25.0 95.928 127.0 42.130
 4227.0 95.520 98.0 95.605 24.0 97.560 25.0 100.928 134.0 42.130
 4227.0 100.520 103.0 100.605 24.0 102.560 25.0 105.928 141.0 42.130
 4227.0 105.520 108.0 105.605 24.0 107.560 25.0 110.928 148.0 42.130
 4227.0 110.520 113.0 110.605 24.0 112.560 25.0 115.928 155.0 42.130
 4227.0 115.520 118.0 115.605 24.0 117.560 25.0 120.928 162.0 42.130
 4227.0 120.520 123.0 120.605 24.0 122.560 25.0 125.928 169.0 42.130
 4227.0 125.520 128.0 125.605 24.0 127.560 25.0 130.928 176.0 42.130
 4227.0 130.520 133.0 130.605 24.0 132.560 25.0 135.928 183.0 42.130
 4227.0 135.520 138.0 135.605 24.0 137.560 25.0 140.928 190.0 42.130
 4227.0 140.520 143.0 140.605 24.0 142.560 25.0 145.928 197.0 42.130
 4227.0 145.520 148.0 145.605 24.0 147.560 25.0 150.928 204.0 42.130
 4227.0 150.520 153.0 150.605 24.0 152.560 25.0 155.928 211.0 42.130
 4227.0 155.520 158.0 155.605 24.0 157.560 25.0 160.928 218.0 42.130
 4227.0 160.520 163.0 160.605 24.0 162.560 25.0 165.928 225.0 42.130
 4227.0 165.520 168.0 165.605 24.0 167.560 25.0 170.928 232.0 42.130
 4227.0 170.520 173.0 170.605 24.0 172.560 25.0 175.928 239.0 42.130
 4227.0 175.520 178.0 175.605 24.0 177.560 25.0 180.928 246.0 42.130
 4227.0 180.520 183.0 180.605 24.0 182.560 25.0 185.928 253.0 42.130
 4227.0 185.520 188.0 185.605 24.0 187.560 25.0 190.928 260.0 42.130
 4227.0 190.520 193.0 190.605 24.0 192.560 25.0 195.928 267.0 42.130
 4227.0 195.520 198.0 195.605 24.0 197.560 25.0 200.928 274.0 42.130
 4227.0 200.520 203.0 200.605 24.0 202.560 25.0 205.928 281.0 42.130
 4227.0 205.520 208.0 205.605 24.0 207.560 25.0 210.928 288.0 42.130
 4227.0 210.520 213.0 210.605 24.0 212.560 25.0 215.928 295.0 42.130
 4227.0 215.520 218.0 215.605 24.0 217.560 25.0 220.928 302.0 42.130
 4227.0 220.520 223.0 220.605 24.0 222.560 25.0 225.928 309.0 42.130
 4227.0 225.520 228.0 225.605 24.0 227.560 25.0 230.928 316.0 42.130
 4227.0 230.520 233.0 230.605 24.0 232.560 25.0 235.928 323.0 42.130
 4227.0 235.520 238.0 235.605 24.0 237.560 25.0 240.928 330.0 42.130
 4227.0 240.520 243.0 240.605 24.0 242.560 25.0 245.928 337.0 42.130
 4227.0 245.520 248.0 245.605 24.0 247.560 25.0 250.928 344.0 42.130
 4227.0 250.520 253.0 250.605 24.0 252.560 25.0 255.928 351.0 42.130
 4227.0 255.520 258.0 255.605 24.0 257.560 25.0 260.928 358.0 42.130
 4227.0 260.520 263.0 260.605 24.0 262.560 25.0 265.928 365.0 42.130
 4227.0 265.520 268.0 265.605 24.0 267.560 25.0 270.928 372.0 42.130
 4227.0 270.520 273.0 270.605 24.0 272.560 25.0 275.928 379.0 42.130
 4227.0 275.520 278.0 275.605 24.0 277.560 25.0 280.928 386.0 42.130
 4227.0 280.520 283.0 280.605 24.0 282.560 25.0 285.928 393.0 42.130
 4227.0 285.520 288.0 285.605 24.0 287.560 25.0 290.928 400.0 42.130
 4227.0 290.520 293.0 290.605 24.0 292.560 25.0 295.928 407.0 42.130
 4227.0 295.520 298.0 295.605 24.0 297.560 25.0 300.928 414.0 42.130
 4227.0 300.520 303.0 300.605 24.0 302.560 25.0 305.928 421.0 42.130
 4227.0 305.520 308.0 305.605 24.0 307.560 25.0 310.928 428.0 42.130
 4227.0 310.520 313.0 310.605 24.0 312.560 25.0 315.928 435.0 42.130
 4227.0 315.520 318.0 315.605 24.0 317.560 25.0 320.928 442.0 42.130
 4227.0 320.520 323.0 320.605 24.0 322.560 25.0 325.928 449.0 42.130
 4227.0 325.520 328.0 325.605 24.0 327.560 25.0 330.928 456.0 42.130
 4227.0 330.520 333.0 330.605 24.0 332.560 25.0 335.928 463.0 42.130
 4227.0 335.520 338.0 335.605 24.0 337.560 25.0 340.928 470.0 42.130
 4227.0 340.520 343.0 340.605 24.0 342.560 25.0 345.928 477.0 42.130
 4227.0 345.520 348.0 345.605 24.0 347.560 25.0 350.928 484.0 42.130
 4227.0 350.520 353.0 350.605 24.0 352.560 25.0 355.928 491.0 42.130
 4227.0 355.520 358.0 355.605 24.0 357.560 25.0 360.928 498.0 42.130
 4227.0 360.520 363.0 360.605 24.0 362.560 25.0 365.928 505.0 42.130
 4227.0 365.520 368.0 365.605 24.0 367.560 25.0 370.928 512.0 42.130
 4227.0 370.520 373.0 370.605 24.0 372.560 25.0 375.928 519.0 42.130
 4227.0 375.520 378.0 375.605 24.0 377.560 25.0 380.928 526.0 42.130
 4227.0 380.520 383.0 380.605 24.0 382.560 25.0 385.928 533.0 42.130
 4227.0 385.520 388.0 385.605 24.0 387.560 25.0 390.928 540.0 42.130
 4227.0 390.520 393.0 390.605 24.0 392.560 25.0 395.928 547.0 42.130
 4227.0 395.520 398.0 395.605 24.0 397.560 25.0 400.928 554.0 42.130
 4227.0 400.520 403.0 400.605 24.0 402.560 25.0 405.928 561.0 42.130
 4227.0 405.520 408.0 405.605 24.0 407.560 25.0 410.928 568.0 42.130
 4227.0 410.520 413.0 410.605 24.0 412.560 25.0 415.928 575.0 42.130
 4227.0 415.520 418.0 415.605 24.0 417.560 25.0 420.928 582.0 42.130
 4227.0 420.520 423.0 420.605 24.0 422.560 25.0 425.928 589.0 42.130
 4227.0 425.520 428.0 425.605 24.0 427.560 25.0 430.928 596.0 42.130
 4227.0 430.520 433.0 430.605 24.0 432.560 25.0 435.928 603.0 42.130
 4227.0 435.520 438.0 435.605 24.0 437.560 25.0 440.928 610.0 42.130
 4227.0 440.520 443.0 440.605 24.0 442.560 25.0 445.928 617.0 42.130
 4227.0 445.520 448.0 445.605 24.0 447.560 25.0 450.928 624.0 42.130
 4227.0 450.520 453.0 450.605 24.0 452.560 25.0 455.928 631.0 42.130
 4227.0 455.520 458.0 455.605 24.0 457.560 25.0 460.928 638.0 42.130
 4227.0 460.520 463.0 460.605 24.0 462.560 25.0 465.928 645.0 42.130
 4227.0 465.520 468.0 465.605 24.0 467.560 25.0 470.928 652.0 42.130
 4227.0 470.520 473.0 470.605 24.0 472.560 25.0 475.928 659.0 42.130
 4227.0 475.520 478.0 475.605 24.0 477.560 25.0 480.928 666.0 42.130
 4227.0 480.520 483.0 480.605 24.0 482.560 25.0 485.928 673.0 42.130
 4227.0 485.520 488.0 485.605 24.0 487.560 25.0 490.928 680.0 42.130
 4227.0 490.520 493.0 490.605 24.0 492.560 25.0 495.928 687.0 42.130
 4227.0 495.520 498.0 495.605 24.0 497.560 25.0 500.928 694.0 42.130
 4227.0 500.520 503.0 500.605 24.0 502.560 25.0 505.928 701.0 42.130
 4227.0 505.520 508.0 505.605 24.0 507.560 25.0 510.928 708.0 42.130
 4227.0 510.520 513.0 510.605 24.0 512.560 25.0 515.928 715.0 42.130
 4227.0 515.520 518.0 515.605 24.0 517.560 25.0 520.928 722.0 42.130
 4227.0 520.520 523.0 520.605 24.0 522.560 25.0 525.928 729.0 42.130
 4227.0 525.520 528.0 525.605 24.0 527.560 25.0 530.928 736.0 42.130
 4227.0 530.520 533.0 530.605 24.0 532.560 25.0 535.928 743.0 42.130
 4227.0 535.520 538.0 535.605 24.0 537.560 25.0 540.928 750.0 42.130
 4227.0 540.520 543.0 540.605 24.0 542.560 25.0 545.928 757.0 42.130
 4227.0 545.520 548.0 545.605 24.0 547.560 25.0 550.928 764.0 42.130
 4227.0 550.520 553.0 550.605 24.0 552.560 25.0 555.928 771.0 42.130
 4227.0 555.520 558.0 555.605 24.0 557.560 25.0 560.928 778.0 42.130
 4227.0 560.520 563.0 560.605 24.0 562.560 25.0 565.928 785.0 42.130
 4227.0 565.520 568.0 565.605 24.0 567.560 25.0 570.928 792.0 42.130
 4227.0 570.520 573.0 570.605 24.0 572.560 25.0 575.928 799.0 42.130
 4227.0 575.520 578.0 575.605 24.0 577.560 25.0 580.928 806.0 42.130
 4227.0 580.520 583.0 580.605 24.0 582.560 25.0 585.928 813.0 42.130
 4227.0 585.520 588.0 585.605 24.0 587.560 25.0 590.928 820.0 42.130
 4227.0 590.520 593.0 590.605 24.0 592.560 25.0 595.928 827.0 42.130
 4227.0 595.520 598.0 595.605 24.0 597.560 25.0 600.928 834.0 42.130
 4227.0 600.520 603.0 600.605 24.0 602.560 25.0 605.928 841.0 42.130
 4227.0 605.520 608.0 605.605 24.0 607.560 25.0 610.928 848.0 42.130
 4227.0 610.520 613.0 610.605 24.0 612.560 25.0 615.928 855.0 42.130
 4227.0 615.520 618.0 615.605 24.0 617.560 25.0 620.928 862.0 42.130
 4227.0 620.520 623.0 620.605 24.0 622.560 25.0 625.928 869.0 42.130
 4227.0 625.520 628.0 625.605 24.0 627.560 25.0 630.928 876.0 42.130
 4227.0 630.520 633.0 630.605 24.0 632.560 25.0 635.928 883.0 42.130
 4227.0 635.520 638.0 635.605 24.0 637.560 25.0 640.928 890.0 42.130
 4227.0 640.520 643.0 640.605 24.0 642.560 25.0 645.928 897.0 42.130
 4227.0 645.520 648.0 645.605 24.0 647.560 25.0 650.928 904.0 42.130
 4227.0 650.520 653.0 650.605 24.0 652.560 25.0 655.928 911.0 42.130
 4227.0 655.520 658.0 655.605 24.0 657.560 25.0 660.928 918.0 42.130
 4227.0 660.520 663.0 660.605 24.0 662.560 25.0 665.928 925.0 42.130
 4227.0 665.520 668.0 665.605 24.0 667.560 25.0 670.928 932.0 42.130
 4227.0 670.520 673.0 670.605 24.0 672.560 25.0 675.928 939.0 42.130
 4227.0 675.520 678.0 675.605 24.0 677.560 25.0 680.928 946.0 42.130
 4227.0 680.520 683.0 680.605 24.0 682.560 25.0 685.928 953.0 42.130
 4227.0 685.520 688.0 685.605 24.0 687.560 25.0 690.928 960.0 42.130
 4227.0 690.520 693.0 690.605 24.0 692.560 25.0 695.928 967.0 42.130
 4227.0 695.520 698.0 695.605 24.0 697.560 25.0 700.928 974.0 42.130
 4227.0 700.520 703.0 700.605 24.0 702.560 25.0 705.928 981.0 42.130
 4227.0 705.520 708.0 705.605 24.0 707.560 25.0 710.928 988.0 42.130
 4227.0 710.520 713.0 710.605 24.0 712.560 25.0 715.928 995.0 42.130
 4227.0 715.520 718.0 715.605 24.0 717.560 25.0 720.928 1002.0 42.130
 4227.0 720.520 723.0 720.605 24.0 722.560 25.0 725.928 1009.0 42.130
 4227.0 725.520 728.0 725.605 24.0 727.560 25.0 730.928 1016.0 42.130
 4227.0 730.520 733.0 730.605 24.0 732.560 25.0 735.928 1023.0 42.130
 4227.0 735.520 738.0 735.605 24.0 737.560 25.0 740.928 1030.0 42.130
 4227.0 740.520 743.0 740.605 24.0 742.560 25.0 745.928 1037.0 42.130
 4227.0 745.520 748.0 745.605 24.0 747.560 25.0 750.928 1044.0 42.130
 4227.0 750.520 753.0 750.605 24.0 752.560 25.0 755.928 1051.0 42.130
 4227.0 755.520 758.0 755.605 24.0 757.560 25.0 760.928 1058.0 42.130
 4227.0 760.520 763.0 760.605 24.0 762.560 25.0 765.928 1065.0 42.130
 4227.0 765.520 768.0 765.605 24.0 767.560 25.0 770.928 1072.0 42.130
 4227.0 770.520 773.0 770.605 24.0 772.560 25.0 775.928 1079.0 42.130
 4227.0 775.520 778.0 775.605 24.0 777.560 25.0 780.928 1086.0 42.130
 4227.0 780.520 783.0 780.605 24.0 782.560 25.0 785.928 1093.0 42.130
 4227.0 785.520 788.0 785.605 24.0 787.560 25.0 790.928 1100.0 42.130
 4227.0 790.520 793.0 790.605 24.0 792.560 25.0 795.928 1107.0 42.130
 4227.0 795.520 798.0 795.605 24.0 797.560 25.0 800.928 1114.0 42.130
 4227.0 800.520 803.0 800.605 24.0 802.560 25.0 805.928 1121.0 42.130
 4227.0 805.520 808.0 805.605 24.0 807.560 25.0 810.928 1128.0 42.130
 4227.0 810.520 813.0 810.605 24.0 812.560 25.0 815.928 1135.0 42.130
 4227.0 815.520 818.0 815.605 24.0 817.560 25.0 820.928 1142.0 42.130
 4227.0 820.520 823.0 820.605 24.0 822.560 25.0 825.928 1149.0 42.130
 4227.0 825.520 828.0 825.605 24.0 827.560 25.0 830.928 1156.0 42.130
 4227.0 830.520 833.0 830.605 24.0 832.560 25.0 835.928 1163.0 42.130
 4227.0 835.520 838.0 835.605 24.0 837.560 25.0 840.928 1170.0 42.130
 4227.0 840.520 843.0 840.605 24.0 842.560 25.0 845.928 1177.0 42.130
 4227.0 845.520 848.0 845.605 24.0 847.560 25.0 850.928 1184.0 42.130
 4227.0 850.520 853.0 850.605 24.0 852.560 25.0 855.928 1191.0 42.130
 4227.0 855.520 858.0 855.605 24.0 857.560 25.0 860.928 1198.0 42.130
 4227.0 860.520 863.0 860.605 24.0 862.560 25.0 865.928 1205.0 42.130
 4227.0 865.520 868.0 865.605 24.0 867.560 25.0 870.928 1212.0 42.130
 4227.0 870.520 873.0 870.605 24.0 872.560 25.0 875.928 1219.0 42.130
 4227.0 875.520 878.0 875.605 24.0 877.560 25.0 880.928 1226.0 42.130
 4227.0 880.520 883.0 880.605 24.0 882.560 25.0 885.928 1233.0 42.130
 4227.0 885.520 888.0 885.605 24.0 887.560 25.0 890.928 1

ג'ז עירן עזרע פָּסָו

८१

卷之三

۵۰

62 PRINT #1, "FORMAT(8.11,1.7-3X,1.5,4X,F8,2)
63 RETURN
64 END

03/08/87 11:00 A.M.

۶۰۰ نظر

```

SUBROUTINE S6 (L,R,FB)
  MROU = U(1,1)
  MROU = U(1,1)
  ARKU = U(1,1)
  U(1,1) = MROU + ARKU
  ARKU = APRNU * L
  MROU = APRNU + ARKU
  L = 1 - L*PROB / (A + R*EXP(L))
  RETURN
END

```

גנום נורווגי 05/07/07, 09:07:22

FUNCTION PACIFIC

7 Y13 X31 CO 74 4-11-L
8 Y14 X3A01 10
9 X3L01 11
10 X3LT2 R
11 X3TUN
12 FNU
PUNKTAN OC.UU

9

MATERIAL	EXPLANATION	TYPE	Y	LUMINAUX	REU (24544)
MATERIAL	S1	TYPE	P	LUMINEUR	A28 (02600)
MATERIAL	S2	TYPE	P	LUMINEUR	178 (03370)
MATERIAL	FACT	TYPE	P	LUMINEUR	0AO (00160)

***** FIN DE COMPILEATION A PLUS HAUT Niveau D'ETATUR RENCONTRE (0) *****

05/08/86 V9.07.24

- 9 -

.....

.....
.....
.....

- 14 -

YUDD TUMMI AN = MULU PAVAN UUUU? LU =
RIS HADHARAS = UUUU LU =
LUP HADHARAS = UUUU LU =
OLO HADHARAS = UUUU LU =
IN = UUUU LU =

ՀԱՅԱՍՏԱՆԻ ՀԱՆՐԱՊԵՏՈՒԹՅՈՒՆ ԱՅԱԿԱՆ ԱՅԱԿԱՆ

810

二二

The image consists of four separate square grids arranged vertically. The top grid contains the number '1' in various orientations (rotated 90 degrees clockwise and counter-clockwise) and some small squares. The second grid from the top has a central circle containing the number '0', surrounded by a ring of smaller circles, with the number '0' also appearing in the corners. The third grid features the number '4' in various orientations. The bottom grid contains the number '2' in various orientations.

8
c
5

0
UNKN
82/01/19 12:24:24

JOB TUNING AND OUTPUT MONITORING
FORTRAN STANTED
FORTRAN HIGHLIGHTS

REAL ESTATE
INTERVENTION B
INTERVENTION X (49) Y (49) Z (49)
INTERVENTION Y (49) Z (49)
INTERVENTION Z (49) X (49)
INTERVENTION X (49) Y (49) Z (49)
INTERVENTION Y (49) Z (49)
INTERVENTION Z (49) X (49)
INTERVENTION X (49) Y (49) Z (49)
INTERVENTION Y (49) Z (49)
INTERVENTION Z (49) X (49)

www.999tk.com

$$Y^{(1)}_{k=1} = L/10.$$

114462 US/01779 13-24-24

TEMPERATURA : 23.0 °C
HUMIDITATE : 85.0 %
PRESSIE : 1013 hPa
VENTURI : 0.0 m/s
AER : 11.0 °C
AER : 11.0 °C
AER : 11.0 °C
AER : 11.0 °C

3-13 A B C D E F G H I J K L M N O P Q R S T U V W X Y Z

PUNKTRÄN 00.00

6666

בְּנֵי נָהָר

PURTRAN 00.00

DATA /Y{ISSN=1} + RAY{ACCRUE} - X{ISSN11}/
DATA /Y{ISSN=1} + RAY{ACCRUE} - X{ISSN11}/

TURN2 03/01/79 15.24.50

DO 104 X{ISSN11} + ACCRU{ISSN=1} X{ISSN11} - X{ISSN11} Z{ISSN11} [ISSN11]
202 X{ISSN11} + ACCRU{ISSN=1} X{ISSN11} - X{ISSN11} Z{ISSN11} [ISSN11]
404 X{ISSN11} + ACCRU{ISSN=1} X{ISSN11} - X{ISSN11} Z{ISSN11} [ISSN11]
405 UELTAT{ALAN} UELTAT{ALAN} UELTAT{ALAN} UELTAT{ALAN}

50 UELTAT{ALAN} UELTAT{ALAN} UELTAT{ALAN} UELTAT{ALAN}

51 UELTAT{ALAN} UELTAT{ALAN} UELTAT{ALAN} UELTAT{ALAN}

52 UELTAT{ALAN} UELTAT{ALAN} UELTAT{ALAN} UELTAT{ALAN}

53 UELTAT{ALAN} UELTAT{ALAN} UELTAT{ALAN} UELTAT{ALAN}

54 UELTAT{ALAN} UELTAT{ALAN} UELTAT{ALAN} UELTAT{ALAN}

55 UELTAT{ALAN} UELTAT{ALAN} UELTAT{ALAN} UELTAT{ALAN}

56 UELTAT{ALAN} UELTAT{ALAN} UELTAT{ALAN} UELTAT{ALAN}

57 UELTAT{ALAN} UELTAT{ALAN} UELTAT{ALAN} UELTAT{ALAN}

58 UELTAT{ALAN} UELTAT{ALAN} UELTAT{ALAN} UELTAT{ALAN}

59 UELTAT{ALAN} UELTAT{ALAN} UELTAT{ALAN} UELTAT{ALAN}

60 UELTAT{ALAN} UELTAT{ALAN} UELTAT{ALAN} UELTAT{ALAN}

61 UELTAT{ALAN} UELTAT{ALAN} UELTAT{ALAN} UELTAT{ALAN}

62 UELTAT{ALAN} UELTAT{ALAN} UELTAT{ALAN} UELTAT{ALAN}

63 UELTAT{ALAN} UELTAT{ALAN} UELTAT{ALAN} UELTAT{ALAN}

64 UELTAT{ALAN} UELTAT{ALAN} UELTAT{ALAN} UELTAT{ALAN}

65 UELTAT{ALAN} UELTAT{ALAN} UELTAT{ALAN} UELTAT{ALAN}

66 UELTAT{ALAN} UELTAT{ALAN} UELTAT{ALAN} UELTAT{ALAN}

67 UELTAT{ALAN} UELTAT{ALAN} UELTAT{ALAN} UELTAT{ALAN}

68 UELTAT{ALAN} UELTAT{ALAN} UELTAT{ALAN} UELTAT{ALAN}

69 UELTAT{ALAN} UELTAT{ALAN} UELTAT{ALAN} UELTAT{ALAN}

70 UELTAT{ALAN} UELTAT{ALAN} UELTAT{ALAN} UELTAT{ALAN}

71 UELTAT{ALAN} UELTAT{ALAN} UELTAT{ALAN} UELTAT{ALAN}

72 UELTAT{ALAN} UELTAT{ALAN} UELTAT{ALAN} UELTAT{ALAN}

73 UELTAT{ALAN} UELTAT{ALAN} UELTAT{ALAN} UELTAT{ALAN}

74 UELTAT{ALAN} UELTAT{ALAN} UELTAT{ALAN} UELTAT{ALAN}

75 UELTAT{ALAN} UELTAT{ALAN} UELTAT{ALAN} UELTAT{ALAN}

76 UELTAT{ALAN} UELTAT{ALAN} UELTAT{ALAN} UELTAT{ALAN}

77 UELTAT{ALAN} UELTAT{ALAN} UELTAT{ALAN} UELTAT{ALAN}

78 UELTAT{ALAN} UELTAT{ALAN} UELTAT{ALAN} UELTAT{ALAN}

79 UELTAT{ALAN} UELTAT{ALAN} UELTAT{ALAN} UELTAT{ALAN}

80 UELTAT{ALAN} UELTAT{ALAN} UELTAT{ALAN} UELTAT{ALAN}

81 UELTAT{ALAN} UELTAT{ALAN} UELTAT{ALAN} UELTAT{ALAN}

82 UELTAT{ALAN} UELTAT{ALAN} UELTAT{ALAN} UELTAT{ALAN}

83 UELTAT{ALAN} UELTAT{ALAN} UELTAT{ALAN} UELTAT{ALAN}

84 UELTAT{ALAN} UELTAT{ALAN} UELTAT{ALAN} UELTAT{ALAN}

85 UELTAT{ALAN} UELTAT{ALAN} UELTAT{ALAN} UELTAT{ALAN}

86 UELTAT{ALAN} UELTAT{ALAN} UELTAT{ALAN} UELTAT{ALAN}

87 UELTAT{ALAN} UELTAT{ALAN} UELTAT{ALAN} UELTAT{ALAN}

88 UELTAT{ALAN} UELTAT{ALAN} UELTAT{ALAN} UELTAT{ALAN}

89 UELTAT{ALAN} UELTAT{ALAN} UELTAT{ALAN} UELTAT{ALAN}

90 UELTAT{ALAN} UELTAT{ALAN} UELTAT{ALAN} UELTAT{ALAN}

SUBROUTINE SA {B,A,F}
PROU = Y
VOYCU = 1,10
APKOU = 0

-17-

-

-

-

-

-

-

-

-

-

-

-

-

-

-

-

-

-

-

-

-

-

-

-

-

-

-

-

-

-

-

-

-

-

-

-

-

-

-

-

-

-

-

-

-

-

-

-

-

-

-

-

-

-

-

-

-

-

-

-

-

-

-

-

-

-

-

-

-

-

-

-

-

-

-

-

-

-

-

-

-

-

-

-

-

-

-

-

-

-

-

-

-

-

-

-

-

-

-

-

-

-

-

-

-

-

-

-

-

-

-

-

-

-

-

-

-

-

-

-

-

-

-

-

-

-

-

-

-

-

-

-

-

-

-

-

-

-

-

-

-

-

-

-

-

-

-

-

-

-

-

-

-

-

-

-

-

-

-

-

-

-

-

-

-

-

-

-

-

-

-

-

-

-

-

-

-

-

-

-

-

-

-

-

-

-

-

-

-

-

-

-

-

-

-

-

-

-

• TURNUVUO
• 831 SAVE

- 18 -

***** FIN DE COMPILEAZUN 4 PLUS HAU NIVEAU DIFERENT KOMUNITKE 4
FURTRAN 00.00

***** FIN DE COMPILEAZUN 4 PLUS HAU NIVEAU DIFERENT KOMUNITKE 4
FURTRAN 00.00

***** FIN DE COMPILEAZUN 4 PLUS HAU NIVEAU DIFERENT KOMUNITKE 4
FURTRAN 00.00

***** FIN DE COMPILEAZUN 4 PLUS HAU NIVEAU DIFERENT KOMUNITKE 4
FURTRAN 00.00

***** FIN DE COMPILEAZUN 4 PLUS HAU NIVEAU DIFERENT KOMUNITKE 4
FURTRAN 00.00

***** FIN DE COMPILEAZUN 4 PLUS HAU NIVEAU DIFERENT KOMUNITKE 4
FURTRAN 00.00

***** FIN DE COMPILEAZUN 4 PLUS HAU NIVEAU DIFERENT KOMUNITKE 4
FURTRAN 00.00

***** FIN DE COMPILEAZUN 4 PLUS HAU NIVEAU DIFERENT KOMUNITKE 4
FURTRAN 00.00

***** FIN DE COMPILEAZUN 4 PLUS HAU NIVEAU DIFERENT KOMUNITKE 4
FURTRAN 00.00

***** FIN DE COMPILEAZUN 4 PLUS HAU NIVEAU DIFERENT KOMUNITKE 4
FURTRAN 00.00

***** FIN DE COMPILEAZUN 4 PLUS HAU NIVEAU DIFERENT KOMUNITKE 4
FURTRAN 00.00

***** FIN DE COMPILEAZUN 4 PLUS HAU NIVEAU DIFERENT KOMUNITKE 4
FURTRAN 00.00

-19-

OKYKAN 10.0.

১০৮৪৯৫০-
১০৮০০৮১

```

MELTAX=HETAX+10.
DO TO 24
  DO 15 T=1,N-1,T-1
    MELTAX=HETAX-10.
  DO 24 T=1,N-1,T-1
    MELTAX=HETAX+10.
  END
END

```

بِسْمِ اللَّهِ الرَّحْمَنِ الرَّحِيمِ

FLABS(TW1(7)-TW).LF.0.0.00 TU UNKN 06/08/80 19:25:12

2

-20-

ERRORS DETECTED IN THE COMPILED CODE

VARIABLES NUN REFERENCEES :

גָּדוֹלָה / 86

ERRORS DETECTED AND CORRECTED IN THE LAMPREIA PLATEAU

AVERIL'S ESSAY ON ERICUETTE 270 FINN, IN CONFERENCE.

..... COMPILATION ABANDONNÉE ! ERREUR DE NIVEAU 4 EN PHASE D'ALLOCATION.

..... VIVRAII 4 : ETIQUEUTTE •55. RAPPELÉNCE, VUN DÉFINIE.

BUBKUNITA B CLOUENTN (L71,TW11,N11,UM111LZ,TWP,ENT2,UM2,ALAN,T,U,E,
BUP,DELTAW,NETAX,NEAR TRAPPAJ
UTMECHIUN (S5C),UPN1,EE5U)

19.2454

FIN DE COMPILATION PLUS HAUT NIVEAU D'ERREUR RENCONTRE = 4)

MUWULU LUGURUNG TYPE
MUWULE LUGURUNG TYPE

40
LUMNUS
06/08/89
17:22:51
RUMTAN UU-UU

MÉMOIRES DE TÉTÉGÉS ET COUNS UNE ET UNIPATIUM :

- 22 -

07:44:00 11/06/09

- 24 -

69 TAEN67{GAAU62JUZYDPOURE411YAF11.YAER1.UAER1.YAER1.YAER1.YAER1.YAER1.
70 OUTA5 60.0X1.7.0.3X1.FB.23
71 RETURN
72 END
FUMTRAN 00.0V
80 FUMTRAN
81 05/08/89 08.57.57

ERREURS DETECTEES AU COURS DE LA COMPILEATION :

VARIANCES NON REPEREES !

FUMTRAN 00.0V

BERMAN
05/08/89 08.57.57

MOTIF	EXEMPLAI	TYPE	MOTIF	EXEMPLAI	TYPE
MOTIF	S1	TYPE	MOTIF	CONGUEUR	TYPE

***** FIN DE COMPILEATION PLUS HAUT Niveau d'ERREUR (NOMBRE = 0) 08.58.11

UNTRAY UG.U

1. **YAU** - VELTAE (2)
2. **YAU** - VELTAE (2)
3. **YAU** - VELTAE (2)
4. **YAU** - VELTAE (2)
5. **YAU** - VELTAE (2)
6. **YAU** - VELTAE (2)
7. **YAU** - VELTAE (2)
8. **YAU** - VELTAE (2)
9. **YAU** - VELTAE (2)
10. **YAU** - VELTAE (2)
11. **YAU** - VELTAE (2)
12. **YAU** - VELTAE (2)
13. **YAU** - VELTAE (2)
14. **YAU** - VELTAE (2)
15. **YAU** - VELTAE (2)
16. **YAU** - VELTAE (2)
17. **YAU** - VELTAE (2)
18. **YAU** - VELTAE (2)
19. **YAU** - VELTAE (2)
20. **YAU** - VELTAE (2)
21. **YAU** - VELTAE (2)
22. **YAU** - VELTAE (2)
23. **YAU** - VELTAE (2)
24. **YAU** - VELTAE (2)
25. **YAU** - VELTAE (2)
26. **YAU** - VELTAE (2)
27. **YAU** - VELTAE (2)
28. **YAU** - VELTAE (2)
29. **YAU** - VELTAE (2)
30. **YAU** - VELTAE (2)
31. **YAU** - VELTAE (2)
32. **YAU** - VELTAE (2)
33. **YAU** - VELTAE (2)
34. **YAU** - VELTAE (2)
35. **YAU** - VELTAE (2)
36. **YAU** - VELTAE (2)
37. **YAU** - VELTAE (2)
38. **YAU** - VELTAE (2)
39. **YAU** - VELTAE (2)
40. **YAU** - VELTAE (2)
41. **YAU** - VELTAE (2)
42. **YAU** - VELTAE (2)
43. **YAU** - VELTAE (2)
44. **YAU** - VELTAE (2)
45. **YAU** - VELTAE (2)
46. **YAU** - VELTAE (2)
47. **YAU** - VELTAE (2)
48. **YAU** - VELTAE (2)
49. **YAU** - VELTAE (2)
50. **YAU** - VELTAE (2)
51. **YAU** - VELTAE (2)
52. **YAU** - VELTAE (2)
53. **YAU** - VELTAE (2)
54. **YAU** - VELTAE (2)
55. **YAU** - VELTAE (2)
56. **YAU** - VELTAE (2)
57. **YAU** - VELTAE (2)
58. **YAU** - VELTAE (2)
59. **YAU** - VELTAE (2)
60. **YAU** - VELTAE (2)
61. **YAU** - VELTAE (2)
62. **YAU** - VELTAE (2)
63. **YAU** - VELTAE (2)
64. **YAU** - VELTAE (2)
65. **YAU** - VELTAE (2)
66. **YAU** - VELTAE (2)
67. **YAU** - VELTAE (2)
68. **YAU** - VELTAE (2)
69. **YAU** - VELTAE (2)
70. **YAU** - VELTAE (2)
71. **YAU** - VELTAE (2)
72. **YAU** - VELTAE (2)
73. **YAU** - VELTAE (2)
74. **YAU** - VELTAE (2)
75. **YAU** - VELTAE (2)
76. **YAU** - VELTAE (2)
77. **YAU** - VELTAE (2)
78. **YAU** - VELTAE (2)
79. **YAU** - VELTAE (2)
80. **YAU** - VELTAE (2)
81. **YAU** - VELTAE (2)
82. **YAU** - VELTAE (2)
83. **YAU** - VELTAE (2)
84. **YAU** - VELTAE (2)
85. **YAU** - VELTAE (2)
86. **YAU** - VELTAE (2)
87. **YAU** - VELTAE (2)
88. **YAU** - VELTAE (2)
89. **YAU** - VELTAE (2)
90. **YAU** - VELTAE (2)
91. **YAU** - VELTAE (2)
92. **YAU** - VELTAE (2)
93. **YAU** - VELTAE (2)
94. **YAU** - VELTAE (2)
95. **YAU** - VELTAE (2)
96. **YAU** - VELTAE (2)
97. **YAU** - VELTAE (2)
98. **YAU** - VELTAE (2)
99. **YAU** - VELTAE (2)
100. **YAU** - VELTAE (2)

-29-

ՀԱՅԱՍՏԱՆԻ ՀԱՆՐԱՊԵՏՈՒԹՅՈՒՆ

8

NUVULÉ	NUVULÉ	NUVULÉ	NUVULÉ	NUVULÉ
\$1	\$1	\$1	\$1	\$1
MUOILÉ	MUOILÉ	MUOILÉ	MUOILÉ	MUOILÉ
92	92	92	92	92
LUNEUR	LUNEUR	LUNEUR	LUNEUR	LUNEUR
143	143	143	143	143
P	P	P	P	P
098	098	098	098	098
LUNEUR	LUNEUR	LUNEUR	LUNEUR	LUNEUR
060	060	060	060	060
01761	01761	01761	01761	01761
2AFA	2AFA	2AFA	2AFA	2AFA

• ००८

四六

四

四

EXAMINER 05/05/04 09.01.03.
EXAMINER 05/05/04 09.01.03.

EXAMINER 05/05/04 09.01.03.

EXAMINER 05/05/04 09.01.03.

EXAMINER 05/05/04 09.01.03.
EXAMINER 05/05/04 09.01.03.

EXAMINER 05/05/04 09.01.03.

EXAMINER 05/05/04 09.01.03.
EXAMINER 05/05/04 09.01.03.
EXAMINER 05/05/04 09.01.03.

EXAMINER 05/05/04 09.01.03.

-31-

2

עקרונות סטטיסטיקה

NR/867205 ED:1997

451
PUNTRAN 00-000
141

USTRAN 00-000


```

03 FCWAT(CUA,TUE) .,FR.4,0,5X, "VALUARE MAI ARE DECIT", ,FB,4,0
04 UC TO 14 WRATE(CUO,1526,1527) .,FR.4,0,5X, "VALUARE MAI ARE DECIT", ,FB,4,0
05 FORWAT(CUA,REPENTANT),,FR.4,0,5X, "VALUARE MAI MASA DECITE", ,FS,6,0
06 UC TO 14 VALUATE(CUA,776,X(11)) .,FR.4,0,5X, "VALUARE MAI ARE DECIT", ,FB,4,0
07 FORWAT(CUA,PRICINTAM),,FR.4,0,5X, "VALUARE MAI ARE DECIT", ,FB,4,0
08 UC TO 14 WRATE(CUO,1527,1528) .,FR.4,0,5X, "VALUARE MAI MICA D.", ,FB,4,0
09 FORWAT(CUA,KEP),,FR.4,0,5X, "VALUARE MAI ARE DECIT", ,FB,4,0
10 UC TO 14 FCWAT(CUA,KEP),,FR.4,0,5X, "VALUARE MAI ARE DECIT", ,FB,4,0
11 UC TO 14 WRATE(CUO,1528,1529) .,FR.4,0,5X, "VALUARE MAI ARE DECIT", ,FB,4,0
12 FORMAT(CUA,1529,1530),,FR.4,0,5X, "VALUARE MAI ARE DECIT", ,FB,4,0
13 UC TO 14 WRATE(CUO,1530,1531) .,FR.4,0,5X, "VALUARE MAI ARE DECIT", ,FB,4,0
14 UC TO 14 WRATE(CUO,1531,1532) .,FR.4,0,5X, "VALUARE MAI ARE DECIT", ,FB,4,0
15 FORWAT(CUA,1532,1533),,FR.4,0,5X, "VALUARE MAI MICA DECUST", ,FB,4,0
16 UC TO 14 WRATE(CUO,1533,1534) .,FR.4,0,5X, "VALUARE MAI ARE DECIT", ,FB,4,0
17 FORWAT(CUA,1534,1535),,FR.4,0,5X, "VALUARE MAI MARE DECUST", ,FB,4,0
18 UC TO 14 WRATE(CUO,1535,1536) .,FR.4,0,5X, "VALUARE MAI MARE DECUST", ,FB,4,0
19 UC TO 14 RETURN

```

ERREURS DETECTÉES AU CUEKS ET LA TUMPELATUN : 1

VARIABLES NON REFERENCIÉES :
PUNKTRAN 90:00
SYNTHETIC 05746/86 U9-03-36

MODULE 1XHUAIA TYPE P LUNGEUR 4370 117264
MODULE S3 TYPE P LUNGEUR 0ACB 050167

UQ-05-56
RENDU D'EXPERIMENTATION FIN DE COMPILATION DE LA LOI SUR LA SANTE MENTALE

OUT = 00000
LU = 00000000000000000000000000000000

Digitized by

JOHN LANCHESTER, PRIMINI
COMPILLE FURTRAN
SANTED

1122-1130

卷之三

卷之三

卷之三

אנו למדנו בפניהם ורשותם

LEADER

卷之三

DEA: D

אפריל 1990

W E A R Y

卷之三

卷之三

ט' ט' ט' ט' ט' ט' ט' ט'

卷之三

卷之三

卷之三

- 39 -

四

6

A decorative horizontal border element located at the top of the page. It features a repeating pattern of small, stylized circular motifs connected by thin vertical and diagonal lines, creating a textured, woven-like appearance.

卷之三

• 1 •

A grid of 100 small, identical symbols arranged in a 10x10 pattern. The symbols are square-like shapes with a central cross or 'X' mark.

-42-

ALGORITMUL JURNULUI DE RAVITINARE IN CONȚINUTURI CU METODA PI - CAZUL INSTALAȚIEI BINARII DE PARAFINĂ DIN UZINA DE DATE DE PROIECTARE A PROGRAMELOR DE CALCULEARE A UIMITORILOR DE PENTRU UN GRAD DE RAVITINARE.

卷之三

הו, רצ'ו, וו'ו

ט'ז

卷之三

卷之三

THEATRE / ARTS

卷之三

W_{MIN}=(ENTIN-0.24446)/((0.00046+RL)+0.397)

1
85/08/06 06:00:00 1985.08.06 06:00:00

BUPT

- 45 -

1960-1961 学年第一学期
数学成绩表

THE JOURNAL OF CLIMATE

וְאֵת דָבָר תְּהִלָּה תְּמִיכָה תְּמִימָה וְאַתְּ בְּעֵד

卷之三

- 49 -

- 52 -

VERA K DEARIA TUES 1415 1912 1921 1111 XL11 1113 TL14 1624 XL24 XLS26 TL24 XLS28 VERA K DEARIA TUES 1415 1912 1921 1111 XL11 1113 TL14 1624 XL24 XLS26 TL24 XLS28

- 53 -

Seite	Autor	Titel	Verlag	Jahr	Band	Seiten	Preis
1	W. B. Yeats	W. B. Yeats	Rowman & Littlefield	1928	1	1-200	1.50
2	W. B. Yeats	W. B. Yeats	Rowman & Littlefield	1928	2	201-400	1.50
3	W. B. Yeats	W. B. Yeats	Rowman & Littlefield	1928	3	401-600	1.50
4	W. B. Yeats	W. B. Yeats	Rowman & Littlefield	1928	4	601-800	1.50
5	W. B. Yeats	W. B. Yeats	Rowman & Littlefield	1928	5	801-1000	1.50
6	W. B. Yeats	W. B. Yeats	Rowman & Littlefield	1928	6	1001-1200	1.50
7	W. B. Yeats	W. B. Yeats	Rowman & Littlefield	1928	7	1201-1400	1.50
8	W. B. Yeats	W. B. Yeats	Rowman & Littlefield	1928	8	1401-1600	1.50
9	W. B. Yeats	W. B. Yeats	Rowman & Littlefield	1928	9	1601-1800	1.50
10	W. B. Yeats	W. B. Yeats	Rowman & Littlefield	1928	10	1801-2000	1.50
11	W. B. Yeats	W. B. Yeats	Rowman & Littlefield	1928	11	2001-2200	1.50
12	W. B. Yeats	W. B. Yeats	Rowman & Littlefield	1928	12	2201-2400	1.50
13	W. B. Yeats	W. B. Yeats	Rowman & Littlefield	1928	13	2401-2600	1.50
14	W. B. Yeats	W. B. Yeats	Rowman & Littlefield	1928	14	2601-2800	1.50
15	W. B. Yeats	W. B. Yeats	Rowman & Littlefield	1928	15	2801-3000	1.50
16	W. B. Yeats	W. B. Yeats	Rowman & Littlefield	1928	16	3001-3200	1.50
17	W. B. Yeats	W. B. Yeats	Rowman & Littlefield	1928	17	3201-3400	1.50
18	W. B. Yeats	W. B. Yeats	Rowman & Littlefield	1928	18	3401-3600	1.50
19	W. B. Yeats	W. B. Yeats	Rowman & Littlefield	1928	19	3601-3800	1.50
20	W. B. Yeats	W. B. Yeats	Rowman & Littlefield	1928	20	3801-4000	1.50
21	W. B. Yeats	W. B. Yeats	Rowman & Littlefield	1928	21	4001-4200	1.50
22	W. B. Yeats	W. B. Yeats	Rowman & Littlefield	1928	22	4201-4400	1.50
23	W. B. Yeats	W. B. Yeats	Rowman & Littlefield	1928	23	4401-4600	1.50
24	W. B. Yeats	W. B. Yeats	Rowman & Littlefield	1928	24	4601-4800	1.50
25	W. B. Yeats	W. B. Yeats	Rowman & Littlefield	1928	25	4801-5000	1.50
26	W. B. Yeats	W. B. Yeats	Rowman & Littlefield	1928	26	5001-5200	1.50
27	W. B. Yeats	W. B. Yeats	Rowman & Littlefield	1928	27	5201-5400	1.50
28	W. B. Yeats	W. B. Yeats	Rowman & Littlefield	1928	28	5401-5600	1.50
29	W. B. Yeats	W. B. Yeats	Rowman & Littlefield	1928	29	5601-5800	1.50
30	W. B. Yeats	W. B. Yeats	Rowman & Littlefield	1928	30	5801-6000	1.50
31	W. B. Yeats	W. B. Yeats	Rowman & Littlefield	1928	31	6001-6200	1.50
32	W. B. Yeats	W. B. Yeats	Rowman & Littlefield	1928	32	6201-6400	1.50
33	W. B. Yeats	W. B. Yeats	Rowman & Littlefield	1928	33	6401-6600	1.50
34	W. B. Yeats	W. B. Yeats	Rowman & Littlefield	1928	34	6601-6800	1.50
35	W. B. Yeats	W. B. Yeats	Rowman & Littlefield	1928	35	6801-7000	1.50
36	W. B. Yeats	W. B. Yeats	Rowman & Littlefield	1928	36	7001-7200	1.50
37	W. B. Yeats	W. B. Yeats	Rowman & Littlefield	1928	37	7201-7400	1.50
38	W. B. Yeats	W. B. Yeats	Rowman & Littlefield	1928	38	7401-7600	1.50
39	W. B. Yeats	W. B. Yeats	Rowman & Littlefield	1928	39	7601-7800	1.50
40	W. B. Yeats	W. B. Yeats	Rowman & Littlefield	1928	40	7801-8000	1.50
41	W. B. Yeats	W. B. Yeats	Rowman & Littlefield	1928	41	8001-8200	1.50
42	W. B. Yeats	W. B. Yeats	Rowman & Littlefield	1928	42	8201-8400	1.50
43	W. B. Yeats	W. B. Yeats	Rowman & Littlefield	1928	43	8401-8600	1.50
44	W. B. Yeats	W. B. Yeats	Rowman & Littlefield	1928	44	8601-8800	1.50
45	W. B. Yeats	W. B. Yeats	Rowman & Littlefield	1928	45	8801-9000	1.50
46	W. B. Yeats	W. B. Yeats	Rowman & Littlefield	1928	46	9001-9200	1.50
47	W. B. Yeats	W. B. Yeats	Rowman & Littlefield	1928	47	9201-9400	1.50
48	W. B. Yeats	W. B. Yeats	Rowman & Littlefield	1928	48	9401-9600	1.50
49	W. B. Yeats	W. B. Yeats	Rowman & Littlefield	1928	49	9601-9800	1.50
50	W. B. Yeats	W. B. Yeats	Rowman & Littlefield	1928	50	9801-10000	1.50

DEATH OF A YOUNG BOY IN THE TAXI CAB

卷之三

ט' ט' ט' ט' ט' ט' ט' ט'

卷之三

16. 19 20. 42 47. 43 1937 31. 7 896

וְעַבְדָּתִי
וְעַבְדָּתִי
וְעַבְדָּתִי
וְעַבְדָּתִי
וְעַבְדָּתִי

卷之三

140-10 20103 211.003
140-10 20103 211.003

卷之三

卷之三

卷之三

卷之三

וְיַעֲשֵׂה כָּל־בְּנֵי־יִשְׂרָאֵל כָּל־יְמֵי־בָּנָיו וְיַעֲשֵׂה כָּל־בְּנֵי־יִשְׂרָאֵל כָּל־יְמֵי־בָּנָיו

卷之三

卷之三

۱۷۸
۱۷۹
۱۸۰
۱۸۱
۱۸۲
۱۸۳
۱۸۴
۱۸۵
۱۸۶
۱۸۷
۱۸۸
۱۸۹
۱۹۰
۱۹۱
۱۹۲
۱۹۳
۱۹۴
۱۹۵
۱۹۶
۱۹۷
۱۹۸
۱۹۹
۲۰۰

197 196 195 194 193 192 191 190 189 188 187

- 57 -

WALNUT CLOPSA TWO 1913 HIC 1911 TW21 1901 X111 1912 1913 TL14 TL24 XLS24 XLS24 TLEM XLEM ALONE DKA TL BPLX AR
K1 F1

61.3 60.9 59.5 58.0 56.6 55.2 53.8 52.4 51.0 49.6 48.2 46.8 45.4 44.0 42.6 41.2 39.8 38.4 37.0 35.6 34.2 32.8 31.4 30.0 28.6 27.2 25.8 24.4 23.0 21.6 20.2 18.8 17.4 16.0 14.6 13.2 11.8 10.4 9.0 7.6 6.2 4.8 3.4 2.0 0.6

وَالْمُؤْمِنُونَ الْمُؤْمِنَاتُ وَالْمُؤْمِنُونَ الْمُؤْمِنَاتُ

02:22 09:00 10:00 11:00 12:00 13:00 14:00 15:00 16:00 17:00 18:00 19:00 20:00 21:00 22:00 23:00

2
3
4
5
6
7
8
9
10
11
12
13
14
15
16
17
18
19
20
21
22
23
24
25
26
27
28
29
30
31
32
33
34
35
36
37
38
39
40
41
42
43
44
45
46
47
48
49
50
51
52
53
54
55
56
57
58
59
60
61
62
63
64
65
66
67
68
69
70
71
72
73
74
75
76
77
78
79
80
81
82
83
84
85
86
87
88
89
90
91
92
93
94
95
96
97
98
99
100

MEAN DEGREES OF FREEDOM

טבלה 1: מילוי טבלה 1	
טבלה 1: מילוי טבלה 1	טבלה 1: מילוי טבלה 1
טבלה 1: מילוי טבלה 1	טבלה 1: מילוי טבלה 1
טבלה 1: מילוי טבלה 1	טבלה 1: מילוי טבלה 1
טבלה 1: מילוי טבלה 1	טבלה 1: מילוי טבלה 1

- 60 -

三